

Einrichtungsbezogener Rückmeldebericht

2025

Mustereinrichtung



Einrichtungsbezogener Rückmeldebericht

Mustereinrichtung

Berlin

2025

Berichtszeitraum 2020-2024



vom

**Klinisch-epidemiologischen Krebsregister
Brandenburg-Berlin**

Erstellung des Rückmeldeberichts:

Dr. Andreas Lehmann
17. Dezember 2025

Eine Auswertung der Klinisch-epidemiologisches Krebsregisters
Brandenburg-Berlin gGmbH

Alle Inhalte dieses Dokumentes, einschließlich seiner Teile, insbesondere Texte, Tabellen, Fotografien und grafische Darstellungen, sind urheberrechtlich geschützt. Das Urheberrecht liegt, soweit nicht ausdrücklich anders gekennzeichnet, bei der Klinisch-epidemiologisches Krebsregister Brandenburg-Berlin gGmbH (KKRBB). Aus Gründen der besseren Lesbarkeit wird auf die gleichzeitige Verwendung der Sprachformen männlich, weiblich und divers (m/w/d) verzichtet. Sämtliche Personenbezeichnungen gelten gleichermaßen für alle Geschlechter.

Ihr Ansprechpartner im Fachbereich „Auswertung und Datennutzung“
für die Entwicklung aggregierter Rückmeldeberichte an Leistungserbringer:

Dr. rer. nat. Andreas Lehmann

- Telefon: 030 21993216 • E-Mail: andreas.lehmann@kkrbb.de

Impressum

Coverfoto:

www.pexels.com (lukas-590022)

Titelfoto:

www.unsplash.com (ani-kolleshi-vu-DaZVenY0, national-cancer-institute-BxXgTQEw1M4);
www.pexels.com (lukas-590022, valeria-boltneva-87584, bongkarn-thanyakij-3758756, andrea-piacquadio-3768131,
pixabay-208518)

Klinisch-epidemiologisches Krebsregister Brandenburg-Berlin gGmbH

- Geschäftsführung: Dr. Renate Kirschner-Schwabe
 - Dreifertstraße 12, 03044 Cottbus
 - Amtsgericht Cottbus • HRB 12270

Inhaltsverzeichnis

1 Einleitung	14
Hintergrund	14
Datensatz und Berichtszeitraum	14
Software	15
I Anzahl der gemeldeten Diagnosen und Therapien	16
2 Überblick	17
2.1 Allgemeine Informationen	17
2.2 Zeitlicher Verlauf	18
3 Überblick auf Fachabteilungsebene	19
II Qualität und Vollständigkeit der gemeldeten Diagnosen und Therapien	20
4 Vollständigkeit von Diagnose- und Histologiemerkmalen	21
4.1 Übersicht	22
5 Vollständigkeit von Therapiemerkmalen	23
5.1 Operation	23
5.2 Strahlentherapie / Nuklearmedizin	25
5.3 Systemtherapie	26
III Tumordiagnose und Patientenstruktur	27
6 Überblick	28
7 Tumoreigenschaften	29
7.1 Tumordiagnose (nach ICD-10)	29
8 Patientenstruktur	32
8.1 Geschlechterverhältnis	32
8.2 Altersstruktur	33
8.3 Herkunft der Fälle	35
IV Entitätspezifische Analysen und Darstellungen	36
9 C30-C39 - Atmungsorgane u. sonst. intrathor. Org.	37
9.1 Allgemeine Informationen	37
9.2 Vollständigkeit	38
9.2.1 Vollständigkeit von Diagnose- und Histologiemerkmalen	38
9.2.2 Vollständigkeit von Therapiemerkmalen	39
9.3 Tumoreigenschaften	40
9.3.1 Tumordiagnose (nach ICD-10)	41
9.3.2 Histologie	42
9.3.3 Histopathologisches Grading und UICC-Klassifikation	46
9.3.4 UICC-Klassifikation	46
9.3.5 Staging	46
9.3.6 Primäre Metastasierung	49
9.4 Patientenstruktur	50
9.4.1 Herkunft	51

9.5 Überlebensanalysen (nach Kaplan-Meier)	52
9.5.1 Überblick für C30-C39 - Atmungsorgane u. sonst. intrathor. Org.	52
9.5.2 Überblick für C34 - Bronchien u. Lunge	53
9.5.3 Überblick für C32 - Larynx	55
9.5.4 Überblick für C37 - Thymus	57
10 C15-C26 - Verdauungsorgane	59
10.1 Allgemeine Informationen	59
10.2 Vollständigkeit	60
10.2.1 Vollständigkeit von Diagnose- und Histologiemerkmalen	60
10.2.2 Vollständigkeit von Therapiemerkmalen	61
10.3 Tumoreigenschaften	62
10.3.1 Tumordiagnose (nach ICD-10)	62
10.3.2 Histologie	65
10.3.3 Histopathologisches Grading und UICC-Klassifikation	69
10.3.4 UICC-Klassifikation	69
10.3.5 Staging	69
10.3.6 Primäre Metastasierung	72
10.4 Patientenstruktur	73
10.4.1 Herkunft	74
10.5 Überlebensanalysen (nach Kaplan-Meier)	75
10.5.1 Überblick für C15-C26 - Verdauungsorgane	75
10.5.2 Überblick für C18 - Kolon	77
10.5.3 Überblick für C25 - Pankreas	79
10.5.4 Überblick für C20 - Rektum	81
10.5.5 Überblick für C16 - Magen	83
10.5.6 Überblick für C15 - Ösophagus	85
11 C50-C50 - Brustdrüse	87
11.1 Allgemeine Informationen	87
11.2 Vollständigkeit	88
11.2.1 Vollständigkeit von Diagnose- und Histologiemerkmalen	88
11.2.2 Vollständigkeit von Therapiemerkmalen	89
11.3 Tumoreigenschaften	90
11.3.1 Tumordiagnose (nach ICD-10)	91
11.3.2 Histologie	91
11.3.3 Histopathologisches Grading und UICC-Klassifikation	94
11.3.4 UICC-Klassifikation	94
11.3.5 Staging	94
11.3.6 Primäre Metastasierung	97
11.4 Patientenstruktur	98
11.4.1 Herkunft	99
11.5 Überlebensanalysen (nach Kaplan-Meier)	100
11.5.1 Überblick für C50-C50 - Brustdrüse	100
11.5.2 Überblick für C50 - Brustdrüse	101
12 C60-C63 - männliche Genitalorgane	103
12.1 Allgemeine Informationen	103
12.2 Vollständigkeit	104
12.2.1 Vollständigkeit von Diagnose- und Histologiemerkmalen	104
12.2.2 Vollständigkeit von Therapiemerkmalen	105
12.3 Tumoreigenschaften	107
12.3.1 Tumordiagnose (nach ICD-10)	107
12.3.2 Histologie	107
12.3.3 Histopathologisches Grading und UICC-Klassifikation	110
12.3.4 UICC-Klassifikation	110
12.3.5 Staging	110
12.3.6 Primäre Metastasierung	113

12.4 Patientenstruktur	114
12.4.1 Herkunft	115
12.5 Überlebensanalysen (nach Kaplan-Meier)	116
12.5.1 Überblick für C60-C63 - männliche Genitalorgane	116
12.5.2 Überblick für C61 - Prostata	117
12.5.3 Überblick für C62 - Hoden	119
13 C81-C96 - lymph., blutbd. u. verw. Gewebe	121
13.1 Allgemeine Informationen	121
13.2 Vollständigkeit	122
13.2.1 Vollständigkeit von Diagnose- und Histologiemerkmalen	122
13.2.2 Vollständigkeit von Therapiemerkmalen	122
13.3 Tumoreigenschaften	124
13.3.1 Tumordiagnose (nach ICD-10)	124
13.3.2 Histologie	127
13.3.3 Histopathologisches Grading und UICC-Klassifikation	130
13.3.4 UICC-Klassifikation	130
13.3.5 Staging	130
13.3.6 Primäre Metastasierung	132
13.4 Patientenstruktur	133
13.4.1 Herkunft	134
13.5 Überlebensanalysen (nach Kaplan-Meier)	135
13.5.1 Überblick für C81-C96 - lymph., blutbd. u. verw. Gewebe	135
13.5.2 Überblick für C83 - nicht folliculäres Lymph.	137
13.5.3 Überblick für C90 - Plasmoz. u. Plasmaz.-Nbldg.	139
13.5.4 Überblick für C92 - myeloische Leukämie	141
13.5.5 Überblick für C82 - folliculäres Lymph.	143
13.5.6 Überblick für C81 - Hodgkin-Lymphom	145
V Qualitätsindikatoren der Leitlinien	147

Tabellenverzeichnis

1.1	Beschreibung der Referenzeinrichtungen	14
2.1	Anzahl der gemeldeten Diagnosen, therapeutischen Behandlungen und Verläufe (REF - Referenz)	17
4.1	Qualität und Vollständigkeit von Diagnose- und Histologiemerkmalen im Zeitverlauf (REF - Referenz)	22
5.1	Operation - Qualität und Vollständigkeit von Merkmalen im Zeitverlauf (REF - Referenz)	24
5.2	Strahlentherapie - Qualität und Vollständigkeit von Therapiemerkmalen im Zeitverlauf (REF - Referenz)	25
5.3	Systemtherapie - Qualität und Vollständigkeit von Therapiemerkmalen im Zeitverlauf (REF - Referenz)	26
6.1	Beschreibung der Zusammensetzung des Kollektives	28
7.1	ICD-10 - Absolute und relative Häufigkeiten der Tumorentitäten für den Zeitverlauf (basierend auf Diagnosejahr)	29
7.2	ICD-10 - Liste der 20 häufigsten invasiven Tumorentitäten	31
8.1	Absolute Häufigkeit der Tumorfälle je Wohnort (Bundeslandsebene) und pro Berichtsjahr (Diagnosejahr)	35
9.1	Anzahl der gemeldeten Diagnosen, therapeutischen Behandlungen und Verläufe für C30-C39 - Atmungsorgane u. sonst. intrathor. Org.	37
9.2	Qualität und Vollständigkeit von Diagnose- und Histologiemerkmalen im Zeitverlauf (REF - Referenz)	38
9.3	Operation - Qualität und Vollständigkeit von Merkmalen im Zeitverlauf (REF - Referenz)	39
9.4	Strahlentherapie - Qualität und Vollständigkeit von Therapiemerkmalen im Zeitverlauf	39
9.5	Systemtherapie - Qualität und Vollständigkeit von Therapiemerkmalen im Zeitverlauf	40
9.6	ICD-10 - Absolute und relative Häufigkeiten der Tumorentitäten im Zeitverlauf (basierend auf Diagnosejahr)	41
9.7	Histologie-Übersicht für C34 - Bronchien u. Lunge - absolute Häufigkeiten der Tumorhistologien stratifiziert (nach ENCR 2017, NCT 2018) für einzelne Berichtsjahre	42
9.8	Histologie-Übersicht für C32 - Larynx - absolute Häufigkeiten der Tumorhistologien stratifiziert (nach ENCR 2017, NCT 2018) für einzelne Berichtsjahre	43
9.9	Histologie-Übersicht für C37 - Thymus - absolute Häufigkeiten der Tumorhistologien stratifiziert (nach ENCR 2017, NCT 2018) für einzelne Berichtsjahre	44
9.10	Histologie-Übersicht für C30 - Nasenhöhle u. Mittelohr - absolute Häufigkeiten der Tumorhistologien stratifiziert (nach ENCR 2017, NCT 2018) für einzelne Berichtsjahre	44
9.11	Histologie-Übersicht für C31 - Nasennebenhöhlen - absolute Häufigkeiten der Tumorhistologien stratifiziert (nach ENCR 2017, NCT 2018) für einzelne Berichtsjahre	45
9.12	Absolute und relative Häufigkeiten der Tumorfälle mit primärer Metastasierung nach ICD-10 und Zeitraum	49
9.13	Absolute Häufigkeit der Lokalisation primärer Metastasen (stratifiziert nach ICD-10)	49
9.14	Absolute Häufigkeit der Tumorfälle je Wohnort (Bundeslandsebene) und pro Berichtsjahr (Diagnosejahr)	51
9.15	Beschreibung des Patientenkollektivs: Charakteristika der eingeschlossenen Patienten für die Überlebensanalysen ('overall' - alle; einzelne ICD-10 (n >= 50))	52
9.16	Tabellarische Darstellung der Kaplan-Meier-Schätzwerte mit Konfidenzintervallen (KI) für das Gesamtüberleben für C34 - Bronchien u. Lunge der Einrichtung und Referenz	53
9.17	Tabellarische Darstellung der Kaplan-Meier-Schätzwerte mit Konfidenzintervallen (KI) für das Gesamtüberleben für C34 - Bronchien u. Lunge stratifiziert nach UICC-Klassifikation	53
9.18	Tabellarische Darstellung der Kaplan-Meier-Schätzwerte mit Konfidenzintervallen (KI) für das Gesamtüberleben für C34 - Bronchien u. Lunge stratifiziert nach Geschlecht	54

9.19 Tabellarische Darstellung der Kaplan-Meier-Schätzwerte mit Konfidenzintervallen (KI) für das Gesamtüberleben für C34 - Bronchien u. Lunge stratifiziert nach Alter bei Diagnose	54
9.20 Tabellarische Darstellung der Kaplan-Meier-Schätzwerte mit Konfidenzintervallen (KI) für das Gesamtüberleben für C32 - Larynx der Einrichtung und Referenz	55
9.21 Tabellarische Darstellung der Kaplan-Meier-Schätzwerte mit Konfidenzintervallen (KI) für das Gesamtüberleben für C32 - Larynx stratifiziert nach UICC-Klassifikation	55
9.22 Tabellarische Darstellung der Kaplan-Meier-Schätzwerte mit Konfidenzintervallen (KI) für das Gesamtüberleben für C32 - Larynx stratifiziert nach Geschlecht	56
9.23 Tabellarische Darstellung der Kaplan-Meier-Schätzwerte mit Konfidenzintervallen (KI) für das Gesamtüberleben für C32 - Larynx stratifiziert nach Alter bei Diagnose	56
9.24 Tabellarische Darstellung der Kaplan-Meier-Schätzwerte mit Konfidenzintervallen (KI) für das Gesamtüberleben für C37 - Thymus der Einrichtung und Referenz	57
9.25 Tabellarische Darstellung der Kaplan-Meier-Schätzwerte mit Konfidenzintervallen (KI) für das Gesamtüberleben für C37 - Thymus stratifiziert nach UICC-Klassifikation	57
9.26 Tabellarische Darstellung der Kaplan-Meier-Schätzwerte mit Konfidenzintervallen (KI) für das Gesamtüberleben für C37 - Thymus stratifiziert nach Geschlecht	58
9.27 Tabellarische Darstellung der Kaplan-Meier-Schätzwerte mit Konfidenzintervallen (KI) für das Gesamtüberleben für C37 - Thymus stratifiziert nach Alter bei Diagnose	58
 10.1 Anzahl der gemeldeten Diagnosen, therapeutischen Behandlungen und Verläufe für C15-C26 - Verdauungsorgane	59
10.2 Qualität und Vollständigkeit von Diagnose- und Histologiemerkmalen im Zeitverlauf (REF - Referenz)	60
10.3 Operation - Qualität und Vollständigkeit von Merkmalen im Zeitverlauf (REF - Referenz)	61
10.4 Strahlentherapie - Qualität und Vollständigkeit von Therapiemerkmalen im Zeitverlauf	61
10.5 Systemtherapie - Qualität und Vollständigkeit von Therapiemerkmalen im Zeitverlauf	62
10.6 ICD-10 - Absolute und relative Häufigkeiten der Tumorentitäten im Zeitverlauf (basierend auf Diagnosejahr)	63
10.7 Histologie-Übersicht für C18 - Kolon - absolute Häufigkeiten der Tumорhistologien stratifiziert (nach ENCR 2017, NCT 2018) für einzelne Berichtsjahre	65
10.8 Histologie-Übersicht für C25 - Pankreas - absolute Häufigkeiten der Tumорhistologien stratifiziert (nach ENCR 2017, NCT 2018) für einzelne Berichtsjahre	66
10.9 Histologie-Übersicht für C20 - Rektum - absolute Häufigkeiten der Tumорhistologien stratifiziert (nach ENCR 2017, NCT 2018) für einzelne Berichtsjahre	66
10.10 Histologie-Übersicht für C16 - Magen - absolute Häufigkeiten der Tumорhistologien stratifiziert (nach ENCR 2017, NCT 2018) für einzelne Berichtsjahre	67
10.11 Histologie-Übersicht für C15 - Ösophagus - absolute Häufigkeiten der Tumорhistologien stratifiziert (nach ENCR 2017, NCT 2018) für einzelne Berichtsjahre	68
10.12 Absolute und relative Häufigkeiten der Tumorfälle mit primärer Metastasierung nach ICD-10 und Zeitraum	72
10.13 Absolute Häufigkeit der Lokalisation primärer Metastasen (stratifiziert nach ICD-10)	72
10.14 Absolute Häufigkeit der Tumorfälle je Wohnort (Bundeslandsebene) und pro Berichtsjahr (Diagnosejahr)	74
10.15 Beschreibung des Patientenkollektivs: Charakteristika der eingeschlossenen Patienten für die Überlebensanalysen ('overall' - alle; einzelne ICD-10 (n >= 50))	76
10.16 Tabellarische Darstellung der Kaplan-Meier-Schätzwerte mit Konfidenzintervallen (KI) für das Gesamtüberleben für C18 - Kolon der Einrichtung und Referenz	77
10.17 Tabellarische Darstellung der Kaplan-Meier-Schätzwerte mit Konfidenzintervallen (KI) für das Gesamtüberleben für C18 - Kolon stratifiziert nach UICC-Klassifikation	77
10.18 Tabellarische Darstellung der Kaplan-Meier-Schätzwerte mit Konfidenzintervallen (KI) für das Gesamtüberleben für C18 - Kolon stratifiziert nach Geschlecht	78
10.19 Tabellarische Darstellung der Kaplan-Meier-Schätzwerte mit Konfidenzintervallen (KI) für das Gesamtüberleben für C18 - Kolon stratifiziert nach Alter bei Diagnose	78
10.20 Tabellarische Darstellung der Kaplan-Meier-Schätzwerte mit Konfidenzintervallen (KI) für das Gesamtüberleben für C25 - Pankreas der Einrichtung und Referenz	79
10.21 Tabellarische Darstellung der Kaplan-Meier-Schätzwerte mit Konfidenzintervallen (KI) für das Gesamtüberleben für C25 - Pankreas stratifiziert nach UICC-Klassifikation	79

10.22Tabellarische Darstellung der Kaplan-Meier-Schätzwerte mit Konfidenzintervallen (KI) für das Gesamtüberleben für C25 - Pankreas stratifiziert nach Geschlecht	80
10.23Tabellarische Darstellung der Kaplan-Meier-Schätzwerte mit Konfidenzintervallen (KI) für das Gesamtüberleben für C25 - Pankreas stratifiziert nach Alter bei Diagnose	80
10.24Tabellarische Darstellung der Kaplan-Meier-Schätzwerte mit Konfidenzintervallen (KI) für das Gesamtüberleben für C20 - Rektum der Einrichtung und Referenz	81
10.25Tabellarische Darstellung der Kaplan-Meier-Schätzwerte mit Konfidenzintervallen (KI) für das Gesamtüberleben für C20 - Rektum stratifiziert nach UICC-Klassifikation	81
10.26Tabellarische Darstellung der Kaplan-Meier-Schätzwerte mit Konfidenzintervallen (KI) für das Gesamtüberleben für C20 - Rektum stratifiziert nach Geschlecht	82
10.27Tabellarische Darstellung der Kaplan-Meier-Schätzwerte mit Konfidenzintervallen (KI) für das Gesamtüberleben für C20 - Rektum stratifiziert nach Alter bei Diagnose	82
10.28Tabellarische Darstellung der Kaplan-Meier-Schätzwerte mit Konfidenzintervallen (KI) für das Gesamtüberleben für C16 - Magen der Einrichtung und Referenz	83
10.29Tabellarische Darstellung der Kaplan-Meier-Schätzwerte mit Konfidenzintervallen (KI) für das Gesamtüberleben für C16 - Magen stratifiziert nach UICC-Klassifikation	83
10.30Tabellarische Darstellung der Kaplan-Meier-Schätzwerte mit Konfidenzintervallen (KI) für das Gesamtüberleben für C16 - Magen stratifiziert nach Geschlecht	84
10.31Tabellarische Darstellung der Kaplan-Meier-Schätzwerte mit Konfidenzintervallen (KI) für das Gesamtüberleben für C16 - Magen stratifiziert nach Alter bei Diagnose	84
10.32Tabellarische Darstellung der Kaplan-Meier-Schätzwerte mit Konfidenzintervallen (KI) für das Gesamtüberleben für C15 - Ösophagus der Einrichtung und Referenz	85
10.33Tabellarische Darstellung der Kaplan-Meier-Schätzwerte mit Konfidenzintervallen (KI) für das Gesamtüberleben für C15 - Ösophagus stratifiziert nach UICC-Klassifikation	85
10.34Tabellarische Darstellung der Kaplan-Meier-Schätzwerte mit Konfidenzintervallen (KI) für das Gesamtüberleben für C15 - Ösophagus stratifiziert nach Geschlecht	86
10.35Tabellarische Darstellung der Kaplan-Meier-Schätzwerte mit Konfidenzintervallen (KI) für das Gesamtüberleben für C15 - Ösophagus stratifiziert nach Alter bei Diagnose	86
 11.1 Anzahl der gemeldeten Diagnosen, therapeutischen Behandlungen und Verläufe für C50-C50 - Brustdrüse	87
11.2 Qualität und Vollständigkeit von Diagnose- und Histologiemerkmalen im Zeitverlauf (REF - Referenz)	88
11.3 Operation - Qualität und Vollständigkeit von Merkmalen im Zeitverlauf (REF - Referenz)	89
11.4 Strahlentherapie - Qualität und Vollständigkeit von Therapiemerkmalen im Zeitverlauf	89
11.5 Systemtherapie - Qualität und Vollständigkeit von Therapiemerkmalen im Zeitverlauf	90
11.6 ICD-10 - Absolute und relative Häufigkeiten der Tumorentitäten im Zeitverlauf (basierend auf Diagnosejahr)	91
11.7 Histologie-Übersicht für C50 - Brustdrüse - absolute Häufigkeiten der Tumorphistologien stratifiziert (nach ENCR 2017, NCT 2018) für einzelne Berichtsjahre	91
11.8 Histologie-Übersicht für D05 - CIS d. Brustdrüse - absolute Häufigkeiten der Tumorphistologien stratifiziert (nach ENCR 2017, NCT 2018) für einzelne Berichtsjahre	92
11.9 Absolute und relative Häufigkeiten der Tumorfälle mit primärer Metastasierung nach ICD-10 und Zeitraum	97
11.10Absolute Häufigkeit der Lokalisation primärer Metastasen (stratifiziert nach ICD-10)	97
11.11Absolute Häufigkeit der Tumorfälle je Wohnort (Bundeslandsebene) und pro Berichtsjahr (Diagnosejahr)	99
11.12Beschreibung des Patientenkollektivs: Charakteristika der eingeschlossenen Patienten für die Überlebensanalysen ('overall' - alle; einzelne ICD-10 (n >= 50))	100
11.13Tabellarische Darstellung der Kaplan-Meier-Schätzwerte mit Konfidenzintervallen (KI) für das Gesamtüberleben für C50 - Brustdrüse der Einrichtung und Referenz	101
11.14Tabellarische Darstellung der Kaplan-Meier-Schätzwerte mit Konfidenzintervallen (KI) für das Gesamtüberleben für C50 - Brustdrüse stratifiziert nach UICC-Klassifikation	101
11.15Tabellarische Darstellung der Kaplan-Meier-Schätzwerte mit Konfidenzintervallen (KI) für das Gesamtüberleben für C50 - Brustdrüse stratifiziert nach Geschlecht	102
11.16Tabellarische Darstellung der Kaplan-Meier-Schätzwerte mit Konfidenzintervallen (KI) für das Gesamtüberleben für C50 - Brustdrüse stratifiziert nach Alter bei Diagnose	102

12.1 Anzahl der gemeldeten Diagnosen, therapeutischen Behandlungen und Verläufe für C60-C63 - männliche Genitalorgane	103
12.2 Qualität und Vollständigkeit von Diagnose- und Histologiemerkmalen im Zeitverlauf (REF - Referenz)	104
12.3 Operation - Qualität und Vollständigkeit von Merkmalen im Zeitverlauf (REF - Referenz)	105
12.4 Strahlentherapie - Qualität und Vollständigkeit von Therapiemerkmalen im Zeitverlauf	105
12.5 Systemtherapie - Qualität und Vollständigkeit von Therapiemerkmalen im Zeitverlauf	106
12.6 ICD-10 - Absolute und relative Häufigkeiten der Tumorentitäten im Zeitverlauf (basierend auf Diagnosejahr)	107
12.7 Histologie-Übersicht für C61 - Prostata - absolute Häufigkeiten der Tumorhistologien stratifiziert (nach ENCR 2017, NCT 2018) für einzelne Berichtsjahre	108
12.8 Histologie-Übersicht für C62 - Hoden - absolute Häufigkeiten der Tumorhistologien stratifiziert (nach ENCR 2017, NCT 2018) für einzelne Berichtsjahre	108
12.9 Histologie-Übersicht für C60 - Penis - absolute Häufigkeiten der Tumorhistologien stratifiziert (nach ENCR 2017, NCT 2018) für einzelne Berichtsjahre	108
12.10 Absolute und relative Häufigkeiten der Tumorfälle mit primärer Metastasierung nach ICD-10 und Zeitraum	113
12.11 Absolute Häufigkeit der Lokalisation primärer Metastasen (stratifiziert nach ICD-10)	113
12.12 Absolute Häufigkeit der Tumorfälle je Wohnort (Bundeslandsebene) und pro Berichtsjahr (Diagnosejahr)	115
12.13 Beschreibung des Patientenkollektivs: Charakteristika der eingeschlossenen Patienten für die Überlebensanalysen ('overall' - alle; einzelne ICD-10 (n >= 50))	116
12.14 Tabellarische Darstellung der Kaplan-Meier-Schätzwerte mit Konfidenzintervallen (KI) für das Gesamtüberleben für C61 - Prostata der Einrichtung und Referenz	117
12.15 Tabellarische Darstellung der Kaplan-Meier-Schätzwerte mit Konfidenzintervallen (KI) für das Gesamtüberleben für C61 - Prostata stratifiziert nach UICC-Klassifikation	117
12.16 Tabellarische Darstellung der Kaplan-Meier-Schätzwerte mit Konfidenzintervallen (KI) für das Gesamtüberleben für C61 - Prostata stratifiziert nach Geschlecht	118
12.17 Tabellarische Darstellung der Kaplan-Meier-Schätzwerte mit Konfidenzintervallen (KI) für das Gesamtüberleben für C61 - Prostata stratifiziert nach Alter bei Diagnose	118
12.18 Tabellarische Darstellung der Kaplan-Meier-Schätzwerte mit Konfidenzintervallen (KI) für das Gesamtüberleben für C62 - Hoden der Einrichtung und Referenz	119
12.19 Tabellarische Darstellung der Kaplan-Meier-Schätzwerte mit Konfidenzintervallen (KI) für das Gesamtüberleben für C62 - Hoden stratifiziert nach UICC-Klassifikation	119
12.20 Tabellarische Darstellung der Kaplan-Meier-Schätzwerte mit Konfidenzintervallen (KI) für das Gesamtüberleben für C62 - Hoden stratifiziert nach Geschlecht	120
12.21 Tabellarische Darstellung der Kaplan-Meier-Schätzwerte mit Konfidenzintervallen (KI) für das Gesamtüberleben für C62 - Hoden stratifiziert nach Alter bei Diagnose	120
 13.1 Anzahl der gemeldeten Diagnosen, therapeutischen Behandlungen und Verläufe für C81-C96 - lymph., blutbd. u. verw. Gewebes	121
13.2 Qualität und Vollständigkeit von Diagnose- und Histologiemerkmalen im Zeitverlauf (REF - Referenz)	122
13.3 Operation - Qualität und Vollständigkeit von Merkmalen im Zeitverlauf (REF - Referenz)	123
13.4 Strahlentherapie - Qualität und Vollständigkeit von Therapiemerkmalen im Zeitverlauf	123
13.5 Systemtherapie - Qualität und Vollständigkeit von Therapiemerkmalen im Zeitverlauf	124
13.6 ICD-10 - Absolute und relative Häufigkeiten der Tumorentitäten im Zeitverlauf (basierend auf Diagnosejahr)	124
13.7 Histologie-Übersicht für C83 - nicht folliculäres Lymph. - absolute Häufigkeiten der Tumorhistologien stratifiziert (nach ENCR 2017, NCT 2018) für einzelne Berichtsjahre	127
13.8 Histologie-Übersicht für C90 - Plasmaz. u. Plasmaz.-Nbldg. - absolute Häufigkeiten der Tumorhistologien stratifiziert (nach ENCR 2017, NCT 2018) für einzelne Berichtsjahre	127
13.9 Histologie-Übersicht für C92 - myeloische Leukämie - absolute Häufigkeiten der Tumorhistologien stratifiziert (nach ENCR 2017, NCT 2018) für einzelne Berichtsjahre	128
13.10 Histologie-Übersicht für C82 - folliculäres Lymph. - absolute Häufigkeiten der Tumorhistologien stratifiziert (nach ENCR 2017, NCT 2018) für einzelne Berichtsjahre	128
13.11 Histologie-Übersicht für C81 - Hodgkin-Lymphom - absolute Häufigkeiten der Tumorhistologien stratifiziert (nach ENCR 2017, NCT 2018) für einzelne Berichtsjahre	128

13.12 Absolute und relative Häufigkeiten der Tumorfälle mit primärer Metastasierung nach ICD-10 und Zeitraum	132
13.13 Absolute Häufigkeit der Lokalisation primärer Metastasen (stratifiziert nach ICD-10)	132
13.14 Absolute Häufigkeit der Tumorfälle je Wohnort (Bundeslandsebene) und pro Berichtsjahr (Diagnosejahr)	134
13.15 Beschreibung des Patientenkollektivs: Charakteristika der eingeschlossenen Patienten für die Überlebensanalysen ('overall' - alle; einzelne ICD-10 (n >= 50))	136
13.16 Tabellarische Darstellung der Kaplan-Meier-Schätzwerte mit Konfidenzintervallen (KI) für das Gesamtüberleben für C83 - nicht folliculäres Lymph. der Einrichtung und Referenz	137
13.17 Tabellarische Darstellung der Kaplan-Meier-Schätzwerte mit Konfidenzintervallen (KI) für das Gesamtüberleben für C83 - nicht folliculäres Lymph. stratifiziert nach Geschlecht	137
13.18 Tabellarische Darstellung der Kaplan-Meier-Schätzwerte mit Konfidenzintervallen (KI) für das Gesamtüberleben für C83 - nicht folliculäres Lymph. stratifiziert nach Alter bei Diagnose	138
13.19 Tabellarische Darstellung der Kaplan-Meier-Schätzwerte mit Konfidenzintervallen (KI) für das Gesamtüberleben für C90 - Plasmoz. u. Plasmaz.-Nbldg. der Einrichtung und Referenz	139
13.20 Tabellarische Darstellung der Kaplan-Meier-Schätzwerte mit Konfidenzintervallen (KI) für das Gesamtüberleben für C90 - Plasmoz. u. Plasmaz.-Nbldg. stratifiziert nach Geschlecht	139
13.21 Tabellarische Darstellung der Kaplan-Meier-Schätzwerte mit Konfidenzintervallen (KI) für das Gesamtüberleben für C90 - Plasmoz. u. Plasmaz.-Nbldg. stratifiziert nach Alter bei Diagnose	140
13.22 Tabellarische Darstellung der Kaplan-Meier-Schätzwerte mit Konfidenzintervallen (KI) für das Gesamtüberleben für C92 - myeloische Leukämie der Einrichtung und Referenz	141
13.23 Tabellarische Darstellung der Kaplan-Meier-Schätzwerte mit Konfidenzintervallen (KI) für das Gesamtüberleben für C92 - myeloische Leukämie stratifiziert nach Geschlecht	142
13.24 Tabellarische Darstellung der Kaplan-Meier-Schätzwerte mit Konfidenzintervallen (KI) für das Gesamtüberleben für C92 - myeloische Leukämie stratifiziert nach Alter bei Diagnose	142
13.25 Tabellarische Darstellung der Kaplan-Meier-Schätzwerte mit Konfidenzintervallen (KI) für das Gesamtüberleben für C82 - folliculäres Lymph. der Einrichtung und Referenz	143
13.26 Tabellarische Darstellung der Kaplan-Meier-Schätzwerte mit Konfidenzintervallen (KI) für das Gesamtüberleben für C82 - folliculäres Lymph. stratifiziert nach Geschlecht	143
13.27 Tabellarische Darstellung der Kaplan-Meier-Schätzwerte mit Konfidenzintervallen (KI) für das Gesamtüberleben für C82 - folliculäres Lymph. stratifiziert nach Alter bei Diagnose	144
13.28 Tabellarische Darstellung der Kaplan-Meier-Schätzwerte mit Konfidenzintervallen (KI) für das Gesamtüberleben für C81 - Hodgkin-Lymphom der Einrichtung und Referenz	145
13.29 Tabellarische Darstellung der Kaplan-Meier-Schätzwerte mit Konfidenzintervallen (KI) für das Gesamtüberleben für C81 - Hodgkin-Lymphom stratifiziert nach Geschlecht	145
13.30 Tabellarische Darstellung der Kaplan-Meier-Schätzwerte mit Konfidenzintervallen (KI) für das Gesamtüberleben für C81 - Hodgkin-Lymphom stratifiziert nach Alter bei Diagnose	146

Abbildungsverzeichnis

2.1 Mengenbeziehung der therapeutischen Behandlungen	18
2.2 Zeitlicher Trend der Häufigkeiten von gemeldeten Tumorerkrankungen (Diagnosen) und therapeutischen Behandlungen	18
8.1 Geschlechterverhältnis (männlich / weiblich) der Tumorfälle für die vorkommenden Tumorentitätengruppen (nach ICD-10)	32
8.2 Geschlechterverhältnis (männlich / weiblich) der Tumorfälle für die vorkommenden Tumorentitätengruppen (nach ICD-10) - aktuelles Berichtsjahr	32
8.3 Altersverteilung und stat. Parameter - a) 5-Jahres Berichtszeitraum (2020 - 2024); b) aktuelles Berichtsjahr	33
8.4 Altersverteilung für die 5 häufigsten Tumorentitätengruppen (nach ICD-10) je Geschlecht - a) 5-Jahres Berichtszeitraum (2020 - 2024); b) aktuelles Berichtsjahr	34
8.5 Prozentuale Darstellung des Wohnorts der Patienten zum Zeitpunkt der Diagnose für Brandenburg (Gemeindeebene) und Berlin (LOR) (mit mindestens 5 Fällen) - 5-Jahres Berichtszeitraum (2020 - 2024)	35
9.1 Histopathologisches Grading für den 5-Jahres Berichtszeitraum (2020 - 2024) - absolute und relative Häufigkeiten der Differenzierungsgrade	46
9.2 Stadienverteilung nach UICC für invasive Tumorentitäten (TNM-pflichtig) für den 5-Jahres Berichtszeitraum (2020 - 2024) - absolute und relative Häufigkeiten der Differenzierungsgrade	47
9.3 TNM - Verteilung der TNM-Kategorien der 10 häufigsten invasiven Tumorentitätengruppen (TNM-pflichtig)	48
9.4 Geschlechterverhältnis (männlich / weiblich) der Tumorfälle für die Tumorentitäten (nach ICD-10)5-Jahres Berichtszeitraum (2020 - 2024)	50
9.5 Altersverteilung der vorkommenden Tumorentitäten (nach ICD-10) je Geschlecht	50
9.6 Prozentuale Darstellung des Wohnorts der Patienten zum Zeitpunkt der Diagnose für Brandenburg (Gemeindeebene) und Berlin (LOR) (mit mindestens 5 Fällen) - 5-Jahres Berichtszeitraum (2020 - 2024)	51
9.7 Darstellung des absoluten Überlebens (Kaplan-Meier-Schätzer) für C34 - Bronchien u. Lunge - a) im Vergleich zur Referenz, b) nach UICC-Klassifikation	53
9.8 Darstellung des absoluten Überlebens (Kaplan-Meier-Schätzer) für C34 - Bronchien u. Lunge - a) nach Geschlecht, b) nach Alter bei Diagnose in Gruppen	54
9.9 Darstellung des absoluten Überlebens (Kaplan-Meier-Schätzer) für C32 - Larynx - a) im Vergleich zur Referenz, b) nach UICC-Klassifikation	55
9.10 Darstellung des absoluten Überlebens (Kaplan-Meier-Schätzer) - a) nach Geschlecht, b) nach Alter bei Diagnose in Gruppen	56
9.11 Darstellung des absoluten Überlebens (Kaplan-Meier-Schätzer) für C37 - Thymus - a) im Vergleich zur Referenz, b) nach UICC-Klassifikation	57
9.12 Darstellung des absoluten Überlebens (Kaplan-Meier-Schätzer) für C37 - Thymus - a) nach Geschlecht, b) nach Alter bei Diagnose in Gruppen	58
10.1 Histopathologisches Grading für den 5-Jahres Berichtszeitraum (2020 - 2024) - absolute und relative Häufigkeiten der Differenzierungsgrade	69
10.2 Stadienverteilung nach UICC für invasive Tumorentitäten (TNM-pflichtig) für den 5-Jahres Berichtszeitraum (2020 - 2024) - absolute und relative Häufigkeiten der Differenzierungsgrade	70
10.3 TNM - Verteilung der TNM-Kategorien der 10 häufigsten invasiven Tumorentitätengruppen (TNM-pflichtig)	71
10.4 Geschlechterverhältnis (männlich / weiblich) der Tumorfälle für die Tumorentitäten (nach ICD-10)5-Jahres Berichtszeitraum (2020 - 2024)	73
10.5 Altersverteilung der vorkommenden Tumorentitäten (nach ICD-10) je Geschlecht	73
10.6 Prozentuale Darstellung des Wohnorts der Patienten zum Zeitpunkt der Diagnose für Brandenburg (Gemeindeebene) und Berlin (LOR) (mit mindestens 5 Fällen) - 5-Jahres Berichtszeitraum (2020 - 2024)	74
10.7 Darstellung des absoluten Überlebens (Kaplan-Meier-Schätzer) für C18 - Kolon - a) im Vergleich zur Referenz, b) nach UICC-Klassifikation	77

10.8 Darstellung des absoluten Überlebens (Kaplan-Meier-Schätzer) für C18 - Kolon - a) nach Geschlecht, b) nach Alter bei Diagnose in Gruppen	78
10.9 Darstellung des absoluten Überlebens (Kaplan-Meier-Schätzer) für C25 - Pankreas - a) im Vergleich zur Referenz, b) nach UICC-Klassifikation	79
10.10 Darstellung des absoluten Überlebens (Kaplan-Meier-Schätzer) - a) nach Geschlecht, b) nach Alter bei Diagnose in Gruppen	80
10.11 Darstellung des absoluten Überlebens (Kaplan-Meier-Schätzer) für C20 - Rektum - a) im Vergleich zur Referenz, b) nach UICC-Klassifikation	81
10.12 Darstellung des absoluten Überlebens (Kaplan-Meier-Schätzer) für C20 - Rektum - a) nach Geschlecht, b) nach Alter bei Diagnose in Gruppen	82
10.13 Darstellung des absoluten Überlebens (Kaplan-Meier-Schätzer) für C16 - Magen - a) im Vergleich zur Referenz, b) nach UICC-Klassifikation	83
10.14 Darstellung des absoluten Überlebens (Kaplan-Meier-Schätzer) für C16 - Magen - a) nach Geschlecht, b) nach Alter bei Diagnose in Gruppen	84
10.15 Darstellung des absoluten Überlebens (Kaplan-Meier-Schätzer) für C15 - Ösophagus - a) im Vergleich zur Referenz, b) nach UICC-Klassifikation	85
10.16 Darstellung des absoluten Überlebens (Kaplan-Meier-Schätzer) für C15 - Ösophagus - a) nach Geschlecht, b) nach Alter bei Diagnose in Gruppen	86
 11.1 Histopathologisches Grading für den 5-Jahres Berichtszeitraum (2020 - 2024) - absolute und relative Häufigkeiten der Differenzierungsgrade	94
11.2 Stadienverteilung nach UICC für invasive Tumorentitäten (TNM-pflichtig) für den 5-Jahres Berichtszeitraum (2020 - 2024) - absolute und relative Häufigkeiten der Differenzierungsgrade	95
11.3 TNM - Verteilung der TNM-Kategorien der 10 häufigsten invasiven Tumorentitätengruppen (TNM-pflichtig)	96
11.4 Geschlechterverhältnis (männlich / weiblich) der Tumorfälle für die Tumorentitäten (nach ICD-10)5-Jahres Berichtszeitraum (2020 - 2024)	98
11.5 Altersverteilung der vorkommenden Tumorentitäten (nach ICD-10) je Geschlecht	98
11.6 Prozentuale Darstellung des Wohnorts der Patienten zum Zeitpunkt der Diagnose für Brandenburg (Gemeindeebene) und Berlin (LOR) (mit mindestens 5 Fällen) - 5-Jahres Berichtszeitraum (2020 - 2024)	99
11.7 Darstellung des absoluten Überlebens (Kaplan-Meier-Schätzer) für C50 - Brustdrüse - a) im Vergleich zur Referenz, b) nach UICC-Klassifikation	101
11.8 Darstellung des absoluten Überlebens (Kaplan-Meier-Schätzer) für C50 - Brustdrüse - a) nach Geschlecht, b) nach Alter bei Diagnose in Gruppen	102
 12.1 Histopathologisches Grading für den 5-Jahres Berichtszeitraum (2020 - 2024) - absolute und relative Häufigkeiten der Differenzierungsgrade	110
12.2 Stadienverteilung nach UICC für invasive Tumorentitäten (TNM-pflichtig) für den 5-Jahres Berichtszeitraum (2020 - 2024) - absolute und relative Häufigkeiten der Differenzierungsgrade	111
12.3 TNM - Verteilung der TNM-Kategorien der 10 häufigsten invasiven Tumorentitätengruppen (TNM-pflichtig)	112
12.4 Geschlechterverhältnis (männlich / weiblich) der Tumorfälle für die Tumorentitäten (nach ICD-10)5-Jahres Berichtszeitraum (2020 - 2024)	114
12.5 Altersverteilung der vorkommenden Tumorentitäten (nach ICD-10) je Geschlecht	114
12.6 Prozentuale Darstellung des Wohnorts der Patienten zum Zeitpunkt der Diagnose für Brandenburg (Gemeindeebene) und Berlin (LOR) (mit mindestens 5 Fällen) - 5-Jahres Berichtszeitraum (2020 - 2024)	115
12.7 Darstellung des absoluten Überlebens (Kaplan-Meier-Schätzer) für C61 - Prostata - a) im Vergleich zur Referenz, b) nach UICC-Klassifikation	117
12.8 Darstellung des absoluten Überlebens (Kaplan-Meier-Schätzer) für C61 - Prostata - a) nach Geschlecht, b) nach Alter bei Diagnose in Gruppen	118
12.9 Darstellung des absoluten Überlebens (Kaplan-Meier-Schätzer) für C62 - Hoden - a) im Vergleich zur Referenz, b) nach UICC-Klassifikation	119
12.10 Darstellung des absoluten Überlebens (Kaplan-Meier-Schätzer) - a) nach Geschlecht, b) nach Alter bei Diagnose in Gruppen	120
 13.1 Histopathologisches Grading für den 5-Jahres Berichtszeitraum (2020 - 2024) - absolute und relative Häufigkeiten der Differenzierungsgrade	130

13.2 Stadienverteilung nach UICC für invasive Tumorentitäten (TNM-pflichtig) für den 5-Jahres Berichtszeitraum (2020 - 2024) - absolute und relative Häufigkeiten der Differenzierungsgrade	131
13.3 Geschlechterverhältnis (männlich / weiblich) der Tumorfälle für die Tumorentitäten (nach ICD-10)5-Jahres Berichtszeitraum (2020 - 2024)	133
13.4 Altersverteilung der vorkommenden Tumorentitäten (nach ICD-10) je Geschlecht	133
13.5 Prozentuale Darstellung des Wohnorts der Patienten zum Zeitpunkt der Diagnose für Brandenburg (Gemeindeebene) und Berlin (LOR) (mit mindestens 5 Fällen) - 5-Jahres Berichtszeitraum (2020 - 2024)	134
13.6 Darstellung des absoluten Überlebens (Kaplan-Meier-Schätzer) für C83 - nicht folliculäres Lymph. - a) im Vergleich zur Referenz, b) nach UICC-Klassifikation	137
13.7 Darstellung des absoluten Überlebens (Kaplan-Meier-Schätzer) für C83 - nicht folliculäres Lymph. - a) nach Geschlecht, b) nach Alter bei Diagnose in Gruppen	138
13.8 Darstellung des absoluten Überlebens (Kaplan-Meier-Schätzer) für C90 - Plasmoz. u. Plasmaz.-Nbldg. - a) im Vergleich zur Referenz, b) nach UICC-Klassifikation	139
13.9 Darstellung des absoluten Überlebens (Kaplan-Meier-Schätzer) - a) nach Geschlecht, b) nach Alter bei Diagnose in Gruppen	140
13.10 Darstellung des absoluten Überlebens (Kaplan-Meier-Schätzer) für C92 - myeloische Leukämie - a) im Vergleich zur Referenz, b) nach UICC-Klassifikation	141
13.11 Darstellung des absoluten Überlebens (Kaplan-Meier-Schätzer) für C92 - myeloische Leukämie - a) nach Geschlecht, b) nach Alter bei Diagnose in Gruppen	141
13.12 Darstellung des absoluten Überlebens (Kaplan-Meier-Schätzer) für C82 - folliculäres Lymph. - a) im Vergleich zur Referenz, b) nach UICC-Klassifikation	143
13.13 Darstellung des absoluten Überlebens (Kaplan-Meier-Schätzer) für C82 - folliculäres Lymph. - a) nach Geschlecht, b) nach Alter bei Diagnose in Gruppen	144
13.14 Darstellung des absoluten Überlebens (Kaplan-Meier-Schätzer) für C81 - Hodgkin-Lymphom - a) im Vergleich zur Referenz, b) nach UICC-Klassifikation	145
13.15 Darstellung des absoluten Überlebens (Kaplan-Meier-Schätzer) für C81 - Hodgkin-Lymphom - a) nach Geschlecht, b) nach Alter bei Diagnose in Gruppen	146

1 | Einleitung

Das **Klinisch-epidemiologische Krebsregister Brandenburg-Berlin (KKRBB)** (<https://kkrrb.de/>) erhebt Daten zum Verlauf von Krebserkrankungen und wertet sie aus, damit die onkologische Versorgung in Deutschland dargestellt und Ansätze für Verbesserungen detektiert werden können. Alle Ärzte, die an der Behandlung von Krebspatienten beteiligt sind – vom Hausarzt über den Pathologen bis hin zum Facharzt –, melden dem **KKRBB** Daten zum Krankheits- und Behandlungsverlauf der Krebserkrankung. Das **KKRBB** ist für Sie sowohl der Ansprechpartner als auch der Lieferant für objektive und exakte Daten und aggregierte Auswertungen, um das regionale Krebsgeschehen im Raum Brandenburg und Berlin sowie die aktuelle onkologische Versorgungsqualität abzubilden, die auch Einfluss auf die Lebensqualität von Patienten in der Region Brandenburg-Berlin hat. Ziel ist es, die Versorgungsqualität in der Region Brandenburg-Berlin stetig zu verbessern.

Mit unseren *Medien*, u. a. mit den interaktiven und entitätspezifischen Berichten oder mit dem hier vorliegenden Krankenhaus-Rückmeldebericht, möchten wir Ihnen, die von Ihnen an das **KKRBB** übermittelten und dort dokumentierten Meldungen zu meldepflichtigen Krebserkrankungen im Raum Brandenburg-Berlin in aggregierter und aufbereiteter Form zurückspiegeln. Die vielschichtigen Auswertungen unseres **Best-of-Datensatzes**, d. h. der Datensatz besteht aus allen zusammengeführten Daten eines Tumorfalles bezüglich aller Informationen von Diagnosen und therapeutischen Behandlungen, gemeldet von einem oder mehreren an der Behandlung des Patienten beteiligtem Meldern, soll Ihnen helfen, einen Einblick über das gesamte Tumorgeschehen Ihrer Patienten zu bekommen.

Hintergrund

Im April 2013 trat auf Bundesebene das *Krebsfrüherkennungs- und -registergesetz* (KFRG) in Kraft und regelt seitdem die bundesweite klinische Krebsregistrierung. Ziel dieses Gesetzes ist die Sicherstellung einer einheitlichen und systematischen Erhebung onkologisch wertvoller Daten, um in Zukunft die Qualität der onkologischen Versorgung von Krebspatienten nachhaltig zu verbessern. Die landesgesetzliche Grundlage für die Länder Brandenburg und Berlin ist der am 01.07.2016 in Kraft getretene und zum 01.01.2023 novellierte Staatsvertrag zwischen dem Land Brandenburg und dem Land Berlin über die Errichtung und den Betrieb eines klinischen Krebsregisters nach § 65c des Fünften Buches Sozialgesetzbuch.

Auf Basis dieses Vertrages werden dem **KKRBB** von Leistungserbringern in Brandenburg und Berlin für Patienten mit Hauptwohnsitz in der Bundesrepublik Deutschland die definierten, meldepflichtigen Angaben zu Tumorerkrankungen entsprechend der Meldeanlässe übermittelt.

Die Referenz, die in diesem Bericht zu Vergleichen Ihrer Einrichtung herangezogen wird, setzt sich aus Patienten mit Tumorerkrankungen zusammen, die innerhalb von Referenzeinrichtungen diagnostiziert und/oder therapiert worden sind.

Folgende Einschlusskriterien wurden zur Auswahl der Referenzeinrichtungen gesetzt:

- Referenz-Typ: Krankenhaus
- Referenz-Bundesland: Berlin

Tabelle 1.1 gibt Ihnen einen Überblick über die Auswahl der Referenzeinrichtungen.

Tabelle 1.1: Beschreibung der Referenzeinrichtungen

Bundesland	Versorgung	Krankenhaus
Berlin	stationär	49

Datensatz und Berichtszeitraum

Der zugrundeliegende Datensatz umfasst die wichtigsten tumorrelevanten Merkmale, die im *bundeseinheitlichen onkologischen Basisdatensatz* (oBDS) und seinen organspezifischen Zusatzmodulen (Kolorektales Karzinom, Mammakarzinom, Prostatakarzinom und Malignes Melanom) enthalten sind. Alle gemeldeten Daten eines Tumorfalles, also auch Meldungen von anderen an der Diagnose oder Therapie der Krebserkrankung beteiligten Ärzten, werden im **KKRBB** zu einem **Best-of-Datensatz** zusammengeführt und durch registereigene

Recherchen ergänzt.

Der **Dokumentationsstand** der Daten, auf dem die Auswertungen dieses Berichts basieren, ist der 31.10.2025. Das bedeutet, in den Auswertungen sind nur Tumorfälle und deren Therapien berücksichtigt, die zu diesem Zeitpunkt im Tumordokumentationssystem des *KKRBB* erfasst sind.

Das **aktuelle Berichtsjahr** dieses Rückmeldeberichts ist das Jahr **2024** (01.01.2024 bis 31.12.2024). Insgesamt werden neben dem *aktuellen Berichtsjahr* zwei weitere Zeiträume in der Betrachtung unterschieden. Zum einen den **gesamte Berichtszeitraum** (01.01.2017 bis 31.12.2024) und zum anderen den **5-Jahres Berichtszeitraum** (01.01.2020 bis 31.12.2024).

Hinweis: In allen Auswertungen des Krankenhaus-Rückmeldeberichts sind nur Patienten berücksichtigt, die

- zum Zeitpunkt der Diagnosestellung mindestens 18 Jahre alt waren
- deren Diagnosen nach *KFRG* meldepflichtig sind

Bitte beachten Sie, dass die Zählweise von Tumorfällen im Krankenhaus-Rückmeldebericht vom Regelwerk der Fallzählung für die DKG-Zertifizierung abweicht und daher keine direkte Vergleichbarkeit gegeben ist. Bei Fragen bezüglich DKG-Zertifizierung und onkologische Zentrenauswertung (OnkoZert) wenden Sie sich bitte an unsere Kollegin Frau Dr. Rita Schüler (Telefon: 030 21993217, E-Mail: Rita.Schueler@kkrbb.de).

Diese Version des Krankenhaus-Rückmeldeberichts setzt sich aus folgenden Teilen zusammen:

- Teil I **“Anzahl der gemeldeten Diagnosen und Therapien”** gibt Ihnen einen Überblick über die von Ihrer Einrichtung an das *KKRBB* übermittelten Meldungen zu Diagnosen und therapeutischen Behandlungen mit einem Leistungsdatum im gesamten Berichtszeitraum von 2017 bis 2024.
- Teil II **“Vollständigkeit der gemeldeten Diagnosen und Therapien”** listet Ihnen die Vollständigkeit der gemeldeten Therapiemaßnahmen bezüglich verschiedener auswertungsrelevanter Merkmale auf und analysiert den Verlauf der Vollständigkeit über den Berichtszeitraum von 2017 bis 2024.
- Teil III **“Tumordiagnose und Patientenstruktur”** beinhaltet Informationen zur Tumordiagnose und zur Patientenstruktur (u. a. Alter und Geschlecht), der in Ihrem Hause entweder diagnostizierten und / oder im Rahmen der Primärtherapie behandelten Tumorfälle bzw. Patienten.
- Teil IV **“Entitätspezifische Analysen und Darstellungen”** listet für Entitätengruppen spezifisch Fallzahlen, Vollständigkeit, Tumoreigenschaften und Patientenstruktur, als auch Überlebensanalysen.

Software

Dieser Krankenhaus-Rückmeldebericht wurde im Open Source R Paket bookdown (version 0.34) (www.bookdown.org) unter Nutzung von RStudio (www.rstudio.com) verfasst. Bei der Erstellung dieser Version des Krankenhaus-Rückmeldeberichts wurden R (R version 4.3.0 (2023-04-21 ucrt)) (www.r-project.org) sowie das Softwarepaket LaTeX (www.latex-project.org) unter Benutzung des Textsatzsystems TeX verwendet.

Alle in diesem Krankenhaus-Rückmeldebericht vorkommenden kartographischen Darstellungen basieren auf 1.) den vom *Bundesamt für Kartographie und Geodäsie* bereitgestellten Geobasisdaten (© GeoBasis-DE / BKG 2023 (2023), Bundesamt für Kartographie und Geodäsie (Frankfurt am Main) (<http://www.bkg.bund.de>), dl-de/by-2 (<https://www.govdata.de/dl-de/by-2-0>)) mit dem Datenstand von Januar 2023, sowie 2.) auf denen vom *Amt für Statistik Berlin-Brandenburg* bereitgestellten Geodaten zu *Lebensweltlich orientierten Räumen* (LOR) in Berlin (<https://www.berlin.de/sen/sbw/stadtdata/stadtwissen/sozialraumorientierte-planungsgrundlagen/lebensweltlich-orientierte-raeume/>).

TEIL I

ANZAHL DER GEMELDETOEN DIAGNOSEN UND THERAPIEN



Teil I dieses Rückmeldeberichtes stellt Ihnen eine Übersicht über die von Ihnen für den gesamten Berichtszeitraum von 2017 bis 2024 an das KKRBB übermittelten und dort dokumentierten Meldungen zu Diagnosen, Therapien und Verläufen im Rahmen einer meldepflichtigen Tumorerkrankung zur Verfügung. Unter dem Begriff "*Therapien*" werden alle therapeutischen Behandlungen (Operation, Strahlentherapie, systemische und abwartende Therapie) von Tumorerkrankungen zusammengefasst.

Hinweis: Bitte beachten Sie bei der Interpretation der Ergebnisse folgende Punkte:

- in diesem Teil des Berichtes wird keine Unterscheidung zwischen Primär- und Rezidivtherapie vorgenommen;
- bei der Auswertung von *Operationen* sind aktuell die kurativen und palliativen Operationen, aber auch diagnostische und Operationen nach Komplikationen mit eingeschlossen;
- unter *Strahlentherapie* sind sowohl strahlentherapeutische Anwendungen als auch nuklearmedizinische Therapien mitinbegriffen;
- unter "*abwartender Therapie*" fassen wir *Active Surveillance* und *Wait and see* beim Prostata-Karzinom und anderen Tumoren zusammen.

2 | Überblick

2.1. Allgemeine Informationen

Von Ihrer Einrichtung (Mustereinrichtung in Berlin) wurden im 5-Jahres Berichtszeitraum von **2020 bis 2024** insgesamt **34.263** Diagnosen und **53.522** therapeutische Behandlungen zu meldepflichtigen Tumorerkrankungen an das KKRBB übermittelt und dort verarbeitet (*Datenstand: 31.10.2025*).

Tabelle 2.1 fasst die Anzahl der neu diagnostizierten Fälle und therapeutischen Behandlungen (einzelner oder mehrerer Therapieanwendungen) nach Art der Therapie (Operation, Strahlentherapie, systemische Therapie oder abwartende Therapie) für Ihre Einrichtung über den gesamten Berichtszeitraum (2017 bis 2024), den 5-Jahres Berichtszeitraum (2020 bis 2024), als auch für das aktuelle Berichtsjahr (2024) zusammen. Dabei wird bei *“Anzahl der Behandlungen”* jede dokumentierte Therapie, also unter Umständen auch mehrere pro Tumorfall, gezählt. Dementgegen wird bei *“Anzahl der Fälle”* der Tumorfall pro Therapieart aufsummiert, wobei jede Tumorerkrankung eines Patienten als ein separater Fall definiert ist.

Zudem zeigt Ihnen **Tabelle 2.1** zum Vergleich zu anderen Einrichtungen der Referenz (sowohl für *“Anzahl der Behandlungen”* als auch für *“Anzahl der Fälle”*) den prozentualen Anteil Ihrer Einrichtung an den entsprechenden Gesamtzahlen.

Tabelle 2.1: Anzahl der gemeldeten Diagnosen, therapeutischen Behandlungen und Verläufe (REF - Referenz)

TYP	Anzahl der Behandlungen		Anzahl der Fälle	
	Einrichtung	REF	Einrichtung	REF
5-Jahres Berichtszeitraum (2020 - 2024)				
Diagnose			34263	32.19%
therapeutische Behandlungen	53522	28.08%	32835	27.82%
Operation	29864	25.13%	22864	25.20%
Strahlentherapie	4456	28.04%	4170	30.54%
Systemtherapie	18772	34.41%	11721	32.60%
abwartende Therapie	114	24.89%	114	24.89%
Verlauf	45235	41.29%	19768	35.58%
Gesamt			48461	30.15%
Aktuelles Berichtsjahr (2024)				
Diagnose			6425	31.57%
therapeutische Behandlungen	10345	29.52%	7320	29.45%
Operation	5935	27.26%	4852	27.17%
Strahlentherapie	776	29.21%	759	30.84%
Systemtherapie	3667	35.00%	2766	34.27%
abwartende Therapie	11	11.34%	11	11.34%
Verlauf	6676	40.33%	5493	39.92%
Gesamt			12795	33.00%

Anmerkung: Gesamt = Fall mit Diagnose oder Therapie in der Einrichtung; aktueller Datenstand: 31.10.2025

Im weiteren Verlauf des Krankenhaus-Rückmeldeberichts werden die *abwartenden Therapien* aufgrund der geringen Häufigkeit vorerst nicht weiter betrachtet.

Abbildung 2.1 verdeutlicht die Mengenbeziehung zwischen den durchgeführten therapeutischen Behandlungen und gibt Ihnen einen Überblick über die Verhältnisse nach Art der Therapie.

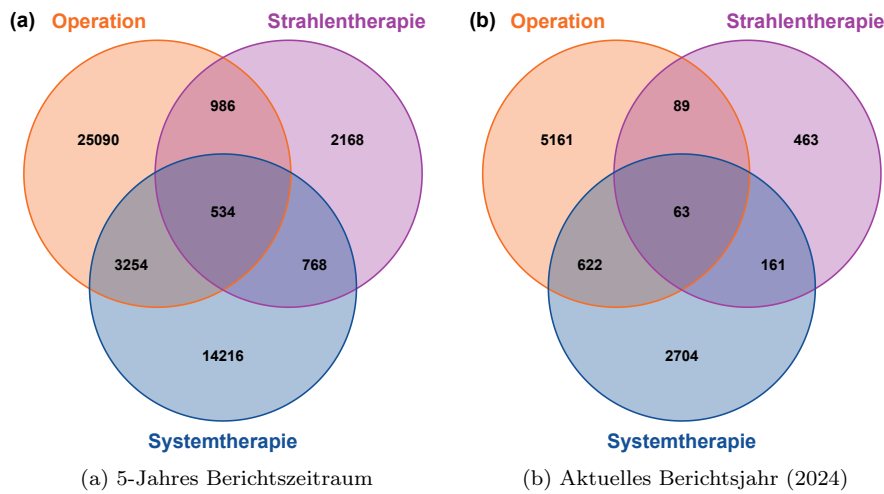


Abbildung 2.1: Mengenbeziehung der therapeutischen Behandlungen

2.2. Zeitlicher Verlauf

Abbildung 2.2 (a) veranschaulicht Ihnen für die einzelnen Berichtsjahre des 5-Jahres Berichtszeitraum (2020 - 2024) die absoluten Häufigkeiten von Diagnosen und therapeutischen Behandlungen (Operation, Strahlentherapie und Systemtherapie) von meldepflichtigen Tumorerkrankungen nach dem Jahr der Leistungserbringung (Berichtszeitraum). Zusätzlich wird Ihnen in **Abbildung 2.2 (b)** der prozentuale Anteil Ihrer Einrichtung (dunkler Farbton) an den Gesamtzahlen der Referenz (heller Farbton) nach Jahr des untersuchten Zeitraumes dargestellt.

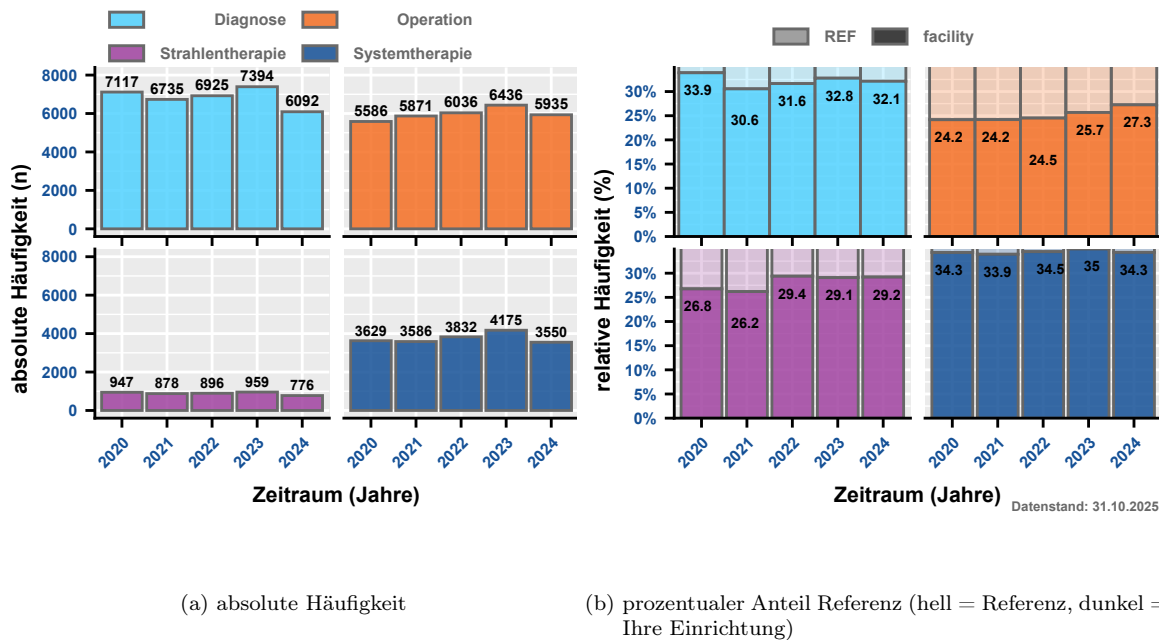


Abbildung 2.2: Zeitlicher Trend der Häufigkeiten von gemeldeten Tumorerkrankungen (Diagnosen) und therapeutischen Behandlungen

3 | Überblick auf Fachabteilungsebene

Dieser Ihnen vorliegende Gesamtbericht des Krankenhaus-Rückmeldeberichts Ihrer Einrichtung gibt Ihnen aktuell keine Auskunft über Häufigkeiten von Diagnosen und therapeutischen Behandlungen von meldepflichtigen Tumorerkrankungen auf Ebene der durchführenden Fachabteilungen. Für eine tiefergehende Analyse lesen Sie bitte den entsprechenden Einzelbericht des von Ihnen gewünschten Hauses.

TEIL II

QUALITÄT UND VOLLSTÄNDIGKEIT DER GEMELDETOEN DIAGNOSEN UND THERAPIEN



 klinisch-epidemiologisches
krebsregister
Brandenburg-Berlin

Teil II „Qualität und Vollständigkeit“ des Krankenhaus-Rückmeldeberichts analysiert die Vollständigkeit sowie die Qualität der im 5-Jahres Berichtszeitraum (2020 bis 2024) an das KKRBB gesandten Meldungen zu tumorrelevanten Diagnosen und Behandlungen bezüglich der in Ihrer Einrichtung diagnostizierten und / oder therapierten Krebserkrankungen. Die folgenden zwei Kapitel enthalten u. a. Analysen zur Vollständigkeit von meldepflichtigen Merkmalen des oBDS sowie zur Meldequalität einzelner Merkmale.

Bitte beachten Sie bei der Beurteilung der Analyseergebnisse, dass es sich bei den verwendeten Datensätzen um Best-of-Datensätze handelt, d. h., dass diese Datensätze durch weitere Meldungen von an der Therapie beteiligten Ärzte oder durch registrierte Recherchen ergänzt worden sind. Das bedeutet, dass die hier präsentierten Ergebnisse nur mit dieser Einschränkung die Vollständigkeit bzw. Qualität der eingesendeten Meldungen wiederspiegeln. Die Vollständigkeit der Erstmeldung kann geringer als die genannten Zahlen sein.

Dieser Teil des Krankenhaus-Rückmeldeberichts beinhaltet, wenn diese Informationen Ihre Einrichtung betreffen, folgende Kapitel:

- Kapitel 4 „**Vollständigkeit von Diagnose- und Histologiemerkmalen**“ analysiert Vollständigkeit und Qualität von Angaben zur Diagnose und Histologie;
- Kapitel 5 „**Vollständigkeit von Therapiemerkmalen**“ betrachtet Merkmale, die die Vollständigkeit und Qualität von Operationen, Strahlentherapien/Nuklearmedizin und Systemtherapien beschreiben

4 | Vollständigkeit von Diagnose- und Histologiemerkmalen

Folgende Merkmale werden bei der Beurteilung der Vollständigkeit bzw. Qualität von Diagnosen und Histologien betrachtet:

- a) **Diagnose-Datum** - Angabe des Diagnose-Datums (ja / nein);
- b) **tagesgenaues Diagnose-Datum** - Angabe des Diagnose-Datums ist tagesgenau (ja / nein);
- c) **Diagnosesicherung** - Angabe des Grades der Diagnosesicherung (ja / nein);
- d) **Diagnosesicherung (histol. od. zytol.)** - Diagnose basiert auf einer histologischen oder zytologischen Sicherung (ja / nein);
- e) **Lokalisation** - Angabe der Lokalisation des Tumors (ja / nein);
- f) **Seitenlokalisation** - Angabe der Seitenlokalisation des Tumors (ja / nein);
- g) **Histologie** - Angabe der Histologie des Tumors bei histologisch oder zytologisch gesicherten Diagnosen (ja / nein);
- h) **Histologie-Schlüssel** - Spezifität des Histologie-Schlüssels bei histologisch oder zytologisch gesicherten Diagnosen (Histologie-Schlüssel o.n.A. oder mit fraglicher Dignität werden ausgeschlossen);
- i) **Histologie-Datum** - Angabe des Histologie-Datums bei histologisch oder zytologisch gesicherten Diagnosen (ja / nein);
- j) **Grading** - Angabe des Gradings von grading-pflichtigen Tumoren (ja / nein);
- k) **UICC-Klassifikation (klin. + pathol.)** - Angabe der UICC-Klassifikation von klinisch oder pathologisch gesicherten, TNM-pflichtigen Tumoren (ja / nein);
- l) **T-Kategorie (klin. + pathol.)** - Angabe der T-Kategorie des TNM von klinisch oder pathologisch gesicherten, TNM-pflichtigen Tumoren (ja / nein);
- m) **N-Kategorie (klin. + pathol.)** - Angabe der N-Kategorie des TNM von klinisch oder pathologisch gesicherten, TNM-pflichtigen Tumoren (ja / nein);
- n) **M-Kategorie (klin. + pathol.)** - Angabe der M-Kategorie des TNM von klinisch oder pathologisch gesicherten, TNM-pflichtigen Tumoren (ja / nein);
- o) **UICC-Klassifikation (klin.)** - Angabe der UICC-Klassifikation von klinisch gesicherten, TNM-pflichtigen Tumoren (ja / nein);
- p) **T-Kategorie (klin.)** - Angabe der T-Kategorie des TNM von klinisch gesicherten, TNM-pflichtigen Tumoren (ja / nein);
- q) **N-Kategorie (klin.)** - Angabe der N-Kategorie des TNM von klinisch gesicherten, TNM-pflichtigen Tumoren (ja / nein);
- r) **M-Kategorie (klin.)** - Angabe der M-Kategorie des TNM von klinisch gesicherten, TNM-pflichtigen Tumoren (ja / nein);
- s) **Allgemeiner Leistungszustand** - Angabe nach ECOG oder Karnofsky (ja/nein)

Das Merkmal **Gesamt** gibt Ihnen die absolute Häufigkeit, der in Ihrer Einrichtung durchgeführten und in unserem Best-of-Datensatz dokumentierten Diagnosen, an (siehe auch Abbildung 2.2 (a)).

Hinweis: Folgende Punkte sollten bei der Interpretation dieser Analysen bedacht werden.

Die Berechnung:

- beruht auf einem **Best-of-Datensatz**;
- erfolgt auf Ebene der **Diagnose** und nicht auf Ebene der Meldung;
- von prozentualen Anteilen bezieht sich auf **Gesamt**.

Zudem werden *keine Angaben* oder *unbekannt* (wenn nicht anders in der Merkmalsbeschreibung ausgewiesen) negativ auf die Vollständigkeit bzw. Qualität der Merkmale angerechnet.

4.1. Übersicht

Tabelle 4.1 gibt Ihnen einen Überblick über die Qualität und Vollständigkeit der beschriebenen Diagnose- und Histologiemerkmale für durchgeführte Diagnosen Ihrer Einrichtung sowohl für den 5-Jahres Berichtszeitraum (2020 bis 2024) als auch für die einzelnen Berichtsjahre (basierend auf dem Diagnosejahr). Dargestellt sind für alle Merkmale absolute und relative Häufigkeiten. Zudem zeigt Ihnen **Tabelle 4.1** zur Einordnung der Zahlen Ihrer Einrichtung die prozentualen Ergebnisse der Vollständigkeit der entsprechenden Referenz (REF) für den 5-Jahres Berichtszeitraum (2020 bis 2024).

Tabelle 4.1: Qualität und Vollständigkeit von Diagnose- und Histologiemerkmalen im Zeitverlauf (REF - Referenz)

Merkmalsname	2020	2021	2022	2023	2024	Gesamt	REF
Thematik: DIAGNOSE und HISTOLOGIE							
Gesamt	7117	6735	6925	7394	6092	34263	
Diagnose-Datum	n 7117	n 6735	n 6925	n 7394	n 6092	34263	
	% 100.0%	% 100.0%	% 100.0%	% 100.0%	% 100.0%	100.0%	100.0%
tagesgen. Diagnose-Datum	n 6908	n 6523	n 6683	n 7159	n 5968	33241	
	% 97.1%	% 96.9%	% 96.5%	% 96.8%	% 98.0%	97.0%	97.2%
Diagnosesicherung (DS)	n 7116	n 6734	n 6925	n 7394	n 6091	34260	
	% 100.0%	% 100.0%	% 100.0%	% 100.0%	% 100.0%	100.0%	100.0%
DS (histol. od. zytol.)	n 6664	n 6345	n 6526	n 7006	n 5797	32338	
	% 93.6%	% 94.2%	% 94.2%	% 94.8%	% 95.2%	94.4%	94.5%
Lokalisation	n 7117	n 6735	n 6925	n 7394	n 6092	34263	
	% 100.0%	% 100.0%	% 100.0%	% 100.0%	% 100.0%	100.0%	100.0%
Seitenlokalisation	n 7117	n 6735	n 6925	n 7394	n 6091	34262	
	% 100.0%	% 100.0%	% 100.0%	% 100.0%	% 100.0%	100.0%	100.0%
Histologie*	n 6648	n 6317	n 6503	n 6966	n 5786	32220	
	% 100.0%	% 100.0%	% 100.0%	% 100.0%	% 100.0%	100.0%	100.0%
Histologie-Schlüssel*	n 6584	n 6258	n 6442	n 6909	n 5748	31941	
	% 99.0%	% 99.0%	% 99.0%	% 99.1%	% 99.3%	99.1%	98.5%
Histologie-Datum*	n 6651	n 6318	n 6499	n 6960	n 5784	32212	
	% 100.0%	% 100.0%	% 99.9%	% 99.9%	% 100.0%	99.9%	99.8%
Grading*	n 4587	n 4445	n 4508	n 4736	n 4007	22283	
	% 99.5%	% 99.7%	% 99.7%	% 99.8%	% 99.7%	99.7%	99.6%
klin. u. / od. pathol. TNM							
UICC-Klassifikation*	n 5318	n 4930	n 5181	n 5713	n 4697	25839	
	% 93.5%	% 92.5%	% 92.8%	% 94.5%	% 94.0%	93.5%	95.4%
TNM (T-Kategorie)*	n 5131	n 4737	n 4971	n 5535	n 4597	24971	
	% 90.2%	% 88.9%	% 89.1%	% 91.6%	% 92.0%	90.3%	92.6%
TNM (N-Kategorie)*	n 4807	n 4484	n 4578	n 5094	n 4229	23192	
	% 84.5%	% 84.1%	% 82.0%	% 84.3%	% 84.6%	83.9%	86.2%
TNM (M-Kategorie)*	n 4993	n 4715	n 4888	n 5471	n 4485	24552	
	% 93.9%	% 94.7%	% 94.3%	% 94.7%	% 93.9%	94.3%	91.6%
klin. TNM							
UICC-Klassifikation*	n 3885	n 3715	n 3875	n 4448	n 3614	19537	
	% 73.0%	% 74.6%	% 74.8%	% 77.0%	% 75.6%	75.0%	68.0%
TNM (T-Kategorie)*	n 4052	n 3816	n 3986	n 4588	n 3716	20158	
	% 76.2%	% 76.6%	% 76.9%	% 79.4%	% 77.8%	77.4%	70.9%
TNM (N-Kategorie)*	n 3993	n 3797	n 3940	n 4529	n 3669	19928	
	% 75.1%	% 76.2%	% 76.0%	% 78.4%	% 76.8%	76.5%	69.3%
TNM (M-Kategorie)*	n 4005	n 3825	n 3967	n 4544	n 3664	20005	
	% 75.3%	% 76.8%	% 76.6%	% 78.6%	% 76.7%	76.8%	69.4%
ECOG	n 4269	n 4372	n 4464	n 5571	n 4747	23423	
	% 65.0%	% 70.5%	% 70.1%	% 79.2%	% 81.5%	73.2%	66.8%

Anmerkung: n - Anzahl; aktueller Datenstand vom 31.10.2025

* n des Merkmals weicht von Gesamt n ab

5 | Vollständigkeit von Therapiemerkmalen

Bei der Beurteilung der Vollständigkeit bzw. Qualität von tumortherapeutischen Behandlungen werden entsprechende Merkmale separat für **Operation**, **Strahlentherapie / Nuklearmedizin** und **Systemtherapie** analysiert.

Das Merkmal **Gesamt** gibt Ihnen die absolute Häufigkeit der in Ihrer Einrichtung durchgeführten und in unserem Best-of-Datensatz dokumentierten tumortherapeutischen Behandlungen an (siehe auch Abbildung 2.2 (a)).

Hinweis: Folgende Punkte sollten bei der Interpretation dieser Analysen bedacht werden.

Die Berechnung:

- beruht auf einem **Best-of-Datensatz**;
- erfolgt auf Ebene der **Behandlung / Therapie** und nicht auf Ebene der Meldung;
- von prozentualen Anteilen bezieht sich auf **Gesamt**.

Zudem werden *keine Angaben* oder *unbekannt* (wenn nicht anders in der Merkmalsbeschreibung ausgewiesen) negativ auf die Vollständigkeit bzw. Qualität der Merkmale angerechnet.

5.1. Operation

Folgende Merkmale werden bei der Beurteilung der Vollständigkeit bzw. Qualität von Operationen betrachtet:

- a) **OP-Datum** - Angabe des Operationsdatums (ja / nein);
- b) **tagesgenaues OP-Datum** - Angabe des Operationsdatums ist tagesgenau (ja / nein);
- c) **Therapieintention** - Angabe der Intention der Operation (kurativ, palliativ, diagnostisch, Revision/Komplikation, Sontiges);
- d) **OP-Schlüssel vollständig** - Angabe des OP-Schlüssel (mindestens 5-stellig und kein "y" im OP-Schlüssel);
- e) **lokale R-Klassifikation** - Angabe der Residualtumor-(R)-Klassifikation (lokal) (kein (R0), mikroskopisch (R1), makroskopisch (R2), Vorhandensein kann nicht beurteilt werden (RX)) bei tumorresezierenden OPs (n < n gesamt);
- f) **globale R-Klassifikation** - Angabe der Residualtumor-(R)-Klassifikation (global) (kein (R0), mikroskopisch (R1), makroskopisch (R2), Vorhandensein kann nicht beurteilt werden (RX)) bei tumorresezierenden OPs (n < n gesamt);
- g) **Anzahl Lymphknoten (untersucht)** - Angabe der Anzahl untersuchter Lymphknoten bei lymphknotenresezierenden OPs (ja / nein; n = 0 ist gültig) (n < n gesamt);
- h) **Anzahl Lymphknoten (befallen)** - Angabe der Anzahl befallener Lymphknoten bei lymphknotenresezierenden OPs (ja / nein; n = 0 ist gültig) (n < n gesamt);
- i) **Anzahl Sentinel-Lymphknoten (untersucht)** - Angabe der Anzahl untersuchter Sentinel-Lymphknoten bei Sentinel-lymphknotenresezierenden OPs (ja / nein; n = 0 ist gültig) (n < n gesamt);
- j) **Anzahl Sentinel-Lymphknoten (befallen)** - Angabe der Anzahl befallener Sentinel-Lymphknoten bei Sentinel-lymphknotenresezierenden OPs (ja / nein; n = 0 ist gültig) (n < n gesamt);
- k) **Komplikationen** - Angabe, ob Komplikationen bei der OP aufgetreten sind (ja / nein)

Tabelle 5.1 gibt Ihnen einen Überblick über die Qualität und Vollständigkeit der beschriebenen Therapiemerkmale für durchgeführte Operationen Ihrer Einrichtung sowohl für den 5-Jahres Berichtszeitraum (2020 bis 2024) als auch für die einzelnen Berichtsjahre (basierend auf dem Jahr der Leistungserbringung). Dargestellt sind für alle Merkmale absolute und relative Häufigkeiten. Zudem zeigt Ihnen **Tabelle 5.1** zur Einordnung der Zahlen Ihrer Einrichtung die prozentualen Ergebnisse der Vollständigkeit der Referenz (REF) für den 5-Jahres Berichtszeitraum (2020 bis 2024).

Tabelle 5.1: Operation - Qualität und Vollständigkeit von Merkmalen im Zeitverlauf (REF - Referenz)

Merkmalsname	2020	2021	2022	2023	2024	Gesamt	REF
Behandlung: OPERATION							
Gesamt	5586	5871	6036	6436	5935	29864	
OP-Datum	n 5586	n 5871	n 6036	n 6436	n 5935	29864	
	% 100.0%	% 100.0%	% 100.0%	% 100.0%	% 100.0%	100.0%	100.0%
Tagesgenauigkeit (OP)	n 5579	n 5860	n 6032	n 6431	n 5934	29836	
	% 99.9%	% 99.8%	% 99.9%	% 99.9%	% 100.0%	99.9%	99.8%
Therapieintention	n 5580	n 5860	n 6032	n 6433	n 5914	29819	
	% 99.9%	% 99.8%	% 99.9%	% 100.0%	% 99.6%	99.8%	99.8%
OP-Schlüssel vollst.	n 5513	n 5770	n 5937	n 6353	n 5900	29473	
	% 98.7%	% 98.3%	% 98.4%	% 98.7%	% 99.4%	98.7%	97.9%
lokale R-Klass.*	n 3684	n 3789	n 3887	n 4612	n 4347	20319	
	% 98.6%	% 98.0%	% 97.7%	% 97.2%	% 97.7%	97.8%	98.8%
globale R-Klass.*	n 3519	n 3708	n 3816	n 4517	n 4297	19857	
	% 94.2%	% 95.9%	% 95.9%	% 95.2%	% 96.5%	95.6%	95.4%
Anzahl Lymphkn. (unters.)*	n 2236	n 2281	n 2280	n 2776	n 2628	12201	
	% 89.6%	% 86.9%	% 87.9%	% 90.7%	% 91.4%	89.4%	84.3%
Anzahl Lymphkn. (befall.)*	n 2235	n 2280	n 2280	n 2774	n 2629	12198	
	% 89.5%	% 86.9%	% 87.9%	% 90.6%	% 91.5%	89.4%	84.3%
Anzahl Sent.-LK. (unters.)*	n 53	n 72	n 87	n 29	n 29	270	
	% 93.0%	% 83.7%	% 88.8%	% 52.7%	% 50.0%	76.3%	87.2%
Anzahl Sent.-LK. (befall.)*	n 53	n 72	n 88	n 29	n 29	271	
	% 93.0%	% 83.7%	% 89.8%	% 52.7%	% 50.0%	76.6%	87.4%
Komplikationen	n 3924	n 4288	n 4826	n 5324	n 4722	23084	
	% 70.2%	% 73.0%	% 80.0%	% 82.7%	% 79.6%	77.3%	66.8%

Anmerkung: aktueller Datenstand vom 31.10.2025

* n des Merkmals weicht von Gesamt n ab

5.2. Strahlentherapie / Nuklearmedizin

Folgende Merkmale werden bei der Beurteilung der Vollständigkeit bzw. Qualität von strahlentherapeutischen oder nuklearmedizinischen Behandlungen betrachtet:

- a) **Anfang und Ende der Therapie** - Angabe des Beginn- und Ende-Datums der Therapie gemeldet (ja / nein);
- b) **Anfang der Therapie** - Angabe des Beginn-Datums der Therapie gemeldet (ja / nein);
- c) **Ende der Therapie** - Angabe des Ende-Datums der Therapie gemeldet (ja / nein);
- d) **Einzeldosis** - Angabe zur Einzeldosis (ja / nein);
- e) **Gesamtdosis** - Angabe zur Gesamtdosis (ja / nein);
- f) **Therapieintention** - Angabe der Intention der Therapie (kurativ, palliativ bzw. symptomatisch, Sonstiges);
- g) **Stellung zur OP** - Angabe zur Stellung der Therapie im Behandlungskonzept (Bezug zur Operation) (Therapie ohne operative Behandlung, neoadjuvante (präoperative) Therapie, postoperative Therapie, intraoperative Therapie, Sonstige);
- h) **Applikationsart** - Angabe zur Applikationsart (Teletherapie (perkutane Therapie), Endokavitäre Kontakttherapie, Interstitielle Kontakttherapie, Therapie mit offenen Radionukliden (metabolische Therapie), Sonstiges, Andere Kontakttherapie);
- i) **Nebenwirkungen** - Angabe zu Nebenwirkungen (NW ab Grad III) (ja / nein);
- j) **Grad der Nebenwirkungen** - Angabe zum Grad der Nebenwirkung (NW ab Grad III) (ja / nein);
- k) **Therapieabschluss** - Angabe zum Therapieabschluss (Status / Ende) (Abbruch wegen Nebenwirkungen, reguläres Ende, Patient verweigert weitere Therapie, reguläres Ende mit Dosisreduktion, Abbruch wegen Progress, sonstiger Abbruchgrund, unbekannt)

Tabelle 5.2 gibt Ihnen einen Überblick über die Qualität und Vollständigkeit der beschriebenen Therapiemerkmale für durchgeführte Strahlentherapien Ihrer Einrichtung sowohl für den 5-Jahres Berichtszeitraum (2020 bis 2024) als auch für die einzelnen Berichtsjahre (basierend auf dem Jahr der Leistungserbringung). Dargestellt sind für alle Merkmale absolute und relative Häufigkeiten. Zudem zeigt Ihnen **Tabelle 5.2** zur Einordnung der Zahlen Ihrer Einrichtung die prozentualen Ergebnisse der Vollständigkeit der entsprechenden Referenz (REF) für den 5-Jahres Berichtszeitraum (2020 bis 2024).

Tabelle 5.2: Strahlentherapie - Qualität und Vollständigkeit von Therapiemerkmalen im Zeitverlauf (REF - Referenz)

Merkmalsname	2020	2021	2022	2023	2024	Gesamt	REF
Behandlung: STRAHLENTHERAPIE und NUKLEARMEDIZIN							
Gesamt	947	878	896	959	776	4456	
Anfang und Ende d. Th.*	n 933	n 873	n 885	n 943	n 713	4347	
	% 98.5%	% 99.4%	% 98.8%	% 98.3%	% 91.9%	97.6%	98.7%
Anfang der Th.	n 947	n 878	n 896	n 959	n 776	4456	
	% 100.0%	% 100.0%	% 100.0%	% 100.0%	% 100.0%	100.0%	100.0%
Ende der Th.*	n 933	n 873	n 885	n 943	n 713	4347	
	% 98.5%	% 99.4%	% 98.8%	% 98.3%	% 91.9%	97.6%	98.7%
Einzeldosis*	n 908	n 849	n 861	n 908	n 730	4256	
	% 96.0%	% 97.0%	% 96.5%	% 95.1%	% 94.8%	95.9%	87.4%
Gesamtdosis	n 922	n 867	n 882	n 937	n 713	4321	
	% 97.6%	% 98.7%	% 98.5%	% 97.7%	% 92.1%	97.1%	96.0%
Therapieintention	n 947	n 878	n 896	n 959	n 776	4456	
	% 100.0%	% 100.0%	% 100.0%	% 100.0%	% 100.0%	100.0%	100.0%
Stellung zur OP	n 947	n 878	n 896	n 959	n 776	4456	
	% 100.0%	% 100.0%	% 100.0%	% 100.0%	% 100.0%	100.0%	100.0%
Applikationsart	n 946	n 878	n 896	n 959	n 776	4455	
	% 99.9%	% 100.0%	% 100.0%	% 100.0%	% 100.0%	100.0%	100.0%
Nebenwirkungen	n 318	n 503	n 656	n 475	n 364	2316	
	% 33.6%	% 57.3%	% 73.2%	% 49.5%	% 46.9%	52.0%	75.9%
Grad der NW*	n 36	n 27	n 27	n 31	n 21	142	
	% 97.3%	% 87.1%	% 100.0%	% 96.9%	% 100.0%	95.9%	96.7%
Therapieabschluss	n 922	n 862	n 866	n 928	n 699	4277	
	% 97.4%	% 98.2%	% 96.7%	% 96.8%	% 90.1%	96.0%	97.5%

Anmerkung: aktueller Datenstand vom 31.10.2025

* n des Merkmals weicht von Gesamt n ab

5.3. Systemtherapie

Folgende Merkmale werden bei der Beurteilung der Vollständigkeit bzw. Qualität der systemischen Therapien betrachtet:

- Anfang und Ende der Therapie** - Angabe des Beginn- und Ende-Datums der Therapie gemeldet (ohne Hormontherapien) (ja / nein);
- Anfang der Therapie** - Angabe des Beginn-Datums der Therapie gemeldet (ja / nein);
- Ende der Therapie** - Angabe des Ende-Datums der Therapie gemeldet (ohne Hormontherapien) (ja / nein);
- Typ der systemischen Therapie** - Angabe zum Typ der Therapie (ja / nein);
- Therapieprotokoll / Substanz** - Angabe zum Therapieprotokoll bzw. zu den Substanzen (ja / nein);
- Therapieintention** - Angabe der Intention der Therapie (kurativ, palliativ bzw. symptomatisch, Sonstiges);
- Stellung zur OP** - Angabe zur Stellung der Therapie im Behandlungskonzept (Bezug zur Operation) (Therapie ohne operative Behandlung, neoadjuvante (präoperative) Therapie, postoperative Therapie, intraoperative Therapie, Sonstige);
- Nebenwirkungen** - Angabe zu Nebenwirkungen (NW ab Grad III) (ja / nein / unbekannt);
- Therapieabschluss** - Angabe zum Therapieabschluss (Status / Ende) (Abbruch wegen Nebenwirkungen, reguläres Ende, Patient verweigert weitere Therapie, reguläres Ende mit Dosisreduktion, Abbruch wegen Progress, sonstiger Abbruchgrund, unbekannt)

Die folgende Tabelle gibt Ihnen einen Überblick über die Qualität und Vollständigkeit der beschriebenen Therapiemerkmale für durchgeführte Systemtherapien Ihrer Einrichtung sowohl für den 5-Jahres Berichtszeitraum (2020 bis 2024) als auch für die einzelnen Berichtsjahre (basierend auf dem Jahr der Leistungserbringung). Dargestellt sind für alle Merkmale absolute und relative Häufigkeiten. Zudem zeigt Ihnen diese Tabelle zur Einordnung der Zahlen Ihrer Einrichtung die prozentualen Ergebnisse der Vollständigkeit der Referenz (REF) für den 5-Jahres Berichtszeitraum (2020 bis 2024).

Tabelle 5.3: Systemtherapie - Qualität und Vollständigkeit von Therapiemerkmalen im Zeitverlauf (REF - Referenz)

Merkmalsname	2020	2021	2022	2023	2024	Gesamt	REF
Behandlung: SYSTEMTHERAPIE							
Gesamt	3629	3586	3832	4175	3550	18772	
Anfang und Ende d. Th.*	n 3127	n 3138	n 3159	n 3405	n 2491	n 15320	
	% 89.8%	% 91.1%	% 85.8%	% 85.7%	% 73.9%	% 85.3%	77.9%
Anfang der Th.	n 3629	n 3586	n 3832	n 4175	n 3550	n 18772	
	% 100.0%	% 100.0%	% 100.0%	% 100.0%	% 100.0%	% 100.0%	100.0%
Ende der Th.*	n 3127	n 3138	n 3159	n 3405	n 2491	n 15320	
	% 89.8%	% 91.1%	% 85.8%	% 85.7%	% 73.9%	% 85.3%	77.9%
Typ d. syst. Th.	n 3616	n 3566	n 3811	n 4145	n 3535	n 18673	
	% 99.6%	% 99.4%	% 99.5%	% 99.3%	% 99.6%	% 99.5%	99.7%
Th.protokoll / Subs.	n 3600	n 3551	n 3792	n 4131	n 3506	n 18580	
	% 99.2%	% 99.0%	% 99.0%	% 98.9%	% 98.8%	% 99.0%	99.0%
Therapieintention	n 3575	n 3554	n 3758	n 4120	n 3504	n 18511	
	% 98.5%	% 99.1%	% 98.1%	% 98.7%	% 98.7%	% 98.6%	99.3%
Stellung zur OP	n 3580	n 3544	n 3784	n 4114	n 3466	n 18488	
	% 98.6%	% 98.8%	% 98.7%	% 98.5%	% 97.6%	% 98.5%	98.6%
Nebenwirkungen*	n 1182	n 1440	n 1815	n 1790	n 1125	n 7352	
	% 32.6%	% 40.2%	% 47.4%	% 42.9%	% 31.7%	% 39.2%	37.9%
Therapieabschluss	n 3166	n 3153	n 3164	n 3295	n 2409	n 15187	
	% 87.2%	% 87.9%	% 82.6%	% 78.9%	% 67.9%	% 80.9%	75.2%

Anmerkung: aktueller Datenstand vom 31.10.2025

* n des Merkmals weicht von Gesamt n ab

TEIL III

TUMORDIAGNOSE UND PATIENTENSTRUKTUR



Teil III „*Tumordiagnose und Patientenstruktur*“ des Krankenhaus-Rückmeldeberichts analysiert für Ihre Einrichtung die Tumoreigenschaften der im 5-Jahres Berichtszeitraum (2020 bis 2024) auftretenden Krebskrankungen und beschreibt Ihnen das Kollektiv an Patienten.

Hinweis

Bitte beachten Sie bei der Interpretation der Ergebnisse, dass die Zählweise von Tumorfällen im Rückmeldebericht von der Art der Fallzählung für die DKG-Zertifizierung abweicht (siehe auch Einleitung).

Dieser Abschnitt des Krankenhaus-Rückmeldeberichts beinhaltet folgende Kapitel:

- Kapitel 6 „**Überblick**“ gibt Ihnen einen Überblick über die Grundgesamtheit dieses Abschnitts;
- Kapitel 7 „**Tumordiagnose**“ betrachtet die Diagnose, der in Ihrer Einrichtung diagnostizierten und/oder behandelten Tumorerkrankungen;
- Kapitel 8 „**Patientenstruktur**“ analysiert u. a. Geschlecht, Alter und Herkunft der Tumorfälle Ihrer Einrichtung

6 | Überblick

Tabelle 6.1 gibt Ihnen einen Überblick über die Zusammensetzung des Patientenkollektives Ihrer Einrichtung bezüglich Tumorfällen mit alleiniger Diagnose oder Therapie oder Diagnose und Primärtherapie, sowie zusätzlich mit alleinigem Verlauf.

Tabelle 6.1: Beschreibung der Zusammensetzung des Kollektives

Variable	**Overall**, N = 37,584	**Diagnose**, N = 9,236	**Primärtherapie**, N = 7,268	**beides**, N = 21,080
Geschlecht, n (%)				
M	17,742 (47%)	4,871 (53%)	2,923 (40%)	9,948 (47%)
S	1 (<0.1%)	0 (0%)	1 (<0.1%)	0 (0%)
W	19,840 (53%)	4,365 (47%)	4,343 (60%)	11,132 (53%)
X	1 (<0.1%)	0 (0%)	1 (<0.1%)	0 (0%)
Alter bei Diagnose, Median (IQR)	69 (59, 78)	74 (64, 81)	65 (56, 73)	69 (59, 77)
Alter (gruppiert), n (%)				
18-49	4,059 (11%)	686 (7.4%)	840 (12%)	2,533 (12%)
50-74	21,060 (56%)	4,254 (46%)	4,866 (67%)	11,940 (57%)
75+	12,465 (33%)	4,296 (47%)	1,562 (21%)	6,607 (31%)
ECOG, n (%)				
0	5,656 (15%)	2,974 (32%)	1,232 (17%)	1,450 (6.9%)
1	15,584 (41%)	2,150 (23%)	3,614 (50%)	9,820 (47%)
2	6,292 (17%)	1,562 (17%)	846 (12%)	3,884 (18%)
3	2,300 (6.1%)	855 (9.3%)	224 (3.1%)	1,221 (5.8%)
4	822 (2.2%)	408 (4.4%)	46 (0.6%)	368 (1.7%)
5	209 (0.6%)	121 (1.3%)	16 (0.2%)	72 (0.3%)
U	5 (<0.1%)	0 (0%)	5 (<0.1%)	0 (0%)
X	6,716 (18%)	1,166 (13%)	1,285 (18%)	4,265 (20%)
Diagnosejahr, n (%)				
2020	7,431 (20%)	1,990 (22%)	1,448 (20%)	3,993 (19%)
2021	7,486 (20%)	1,984 (21%)	1,471 (20%)	4,031 (19%)
2022	7,763 (21%)	1,936 (21%)	1,545 (21%)	4,282 (20%)
2023	8,132 (22%)	1,768 (19%)	1,610 (22%)	4,754 (23%)
2024	6,772 (18%)	1,558 (17%)	1,194 (16%)	4,020 (19%)
Bundland (Wohnort z.Z.				
Diagnose), n (%)				
Baden-Württemberg	191 (0.5%)	14 (0.2%)	53 (0.7%)	124 (0.6%)
Bayern	98 (0.3%)	12 (0.1%)	27 (0.4%)	59 (0.3%)
Berlin	29,028 (77%)	7,550 (82%)	5,372 (74%)	16,106 (76%)
Brandenburg	6,634 (18%)	1,449 (16%)	1,487 (20%)	3,698 (18%)
Bremen	37 (<0.1%)	5 (<0.1%)	2 (<0.1%)	30 (0.1%)
Hamburg	15 (<0.1%)	0 (0%)	1 (<0.1%)	14 (<0.1%)
Hessen	77 (0.2%)	10 (0.1%)	25 (0.3%)	42 (0.2%)
Mecklenburg-Vorpommern	262 (0.7%)	48 (0.5%)	43 (0.6%)	171 (0.8%)
Niedersachsen	419 (1.1%)	39 (0.4%)	75 (1.0%)	305 (1.4%)
Nordrhein-Westfalen	89 (0.2%)	17 (0.2%)	29 (0.4%)	43 (0.2%)
Rheinland-Pfalz	28 (<0.1%)	5 (<0.1%)	5 (<0.1%)	18 (<0.1%)
Saarland	6 (<0.1%)	1 (<0.1%)	2 (<0.1%)	3 (<0.1%)
Sachsen	246 (0.7%)	24 (0.3%)	50 (0.7%)	172 (0.8%)
Sachsen-Anhalt	205 (0.5%)	38 (0.4%)	36 (0.5%)	131 (0.6%)
Schleswig-Holstein	186 (0.5%)	19 (0.2%)	49 (0.7%)	118 (0.6%)
Thueringen	58 (0.2%)	4 (<0.1%)	11 (0.2%)	43 (0.2%)
unbekannt	5 (<0.1%)	1 (<0.1%)	1 (<0.1%)	3 (<0.1%)

7 | Tumoreigenschaften

Kapitel 7 fasst die **Tumordiagnosen** (7.1) für die Tumorfälle zusammen, die in Ihrer Einrichtung diagnostiziert bzw. im Rahmen der Primärtherapie behandelt wurden.

7.1. Tumordiagnose (nach ICD-10)

Die Tumordiagnosen Ihrer Einrichtung werden mit Hilfe der *“Internationalen statistischen Klassifikation der Krankheiten und verwandter Gesundheitsprobleme”* (ICD-10) (3-stellig) beschrieben. Die Auflistung umfasst bösartige Neubildungen (C00-C96), deren Frühstadien und *in situ*-Karzinome sowie gutartige Tumoren des zentralen Nervensystems (D00-D09 und D32-D47). Eine Ausnahme bilden die nicht-melanotischen Neuerkrankungen der Haut (C44, D04.-), die im dargestellten Berichtszeitraum nicht erfasst wurden.

Tabelle 7.1 umfasst die absolute und relative Häufigkeiten der Tumorentitäten beruhend auf dem Jahr der Erstdiagnose für die einzelnen Berichtsjahre und dem 5-Jahres Berichtszeitraum (2020 bis 2024). Die prozentualen Angaben in diesen Spalten beziehen sich auf die Gesamtanzahl an Tumorfällen Ihrer Einrichtung. Zudem zeigt Ihnen **Tabelle 7.1** in Spalte *REF* den prozentualen Anteil Ihrer Einrichtung an den entsprechenden Gesamtzahlen der in der Referenz diagnostizierten Tumorfälle.

Tabelle 7.1: ICD-10 - Absolute und relative Häufigkeiten der Tumorentitäten für den Zeitverlauf (basierend auf Diagnosejahr)

ICD-10 (Diagnose)	2020	2021	2022	2023	2024	Gesamt	REF
C00-C14 - Lippe, Mundhöhle u. Pharynx							
C00 - Lippe	6 (0.1%)	2 (0.0%)	8 (0.1%)	7 (0.1%)	5 (0.1%)	28 (0.1%)	11.9%
C01 - Zungengrund	25 (0.3%)	22 (0.3%)	22 (0.3%)	25 (0.3%)	17 (0.3%)	111 (0.3%)	18.8%
C02 - Zunge	23 (0.3%)	29 (0.4%)	33 (0.4%)	35 (0.4%)	31 (0.5%)	151 (0.4%)	17.2%
C03 - Zahnfleisch	18 (0.2%)	30 (0.4%)	27 (0.3%)	31 (0.4%)	21 (0.3%)	127 (0.3%)	24.8%
C04 - Mundboden	21 (0.3%)	18 (0.2%)	26 (0.3%)	30 (0.4%)	13 (0.2%)	108 (0.3%)	16.9%
C05 - Gaumen	8 (0.1%)	7 (0.1%)	14 (0.2%)	16 (0.2%)	5 (0.1%)	50 (0.1%)	16.8%
C06 - Teile d. Mundes n.n.b.	5 (0.1%)	12 (0.2%)	10 (0.1%)	11 (0.1%)	7 (0.1%)	45 (0.1%)	15.6%
C07 - Parotis	13 (0.2%)	11 (0.1%)	11 (0.1%)	15 (0.2%)	8 (0.1%)	58 (0.2%)	17.7%
C08 - große Speicheldrüsen	3 (0.0%)	5 (0.1%)	3 (0.0%)	6 (0.1%)	5 (0.1%)	22 (0.1%)	23.4%
C09 - Tonsille	49 (0.7%)	39 (0.5%)	41 (0.5%)	51 (0.6%)	34 (0.5%)	214 (0.6%)	20.3%
C10 - Oropharynx	28 (0.4%)	14 (0.2%)	17 (0.2%)	18 (0.2%)	13 (0.2%)	90 (0.2%)	11.8%
C11 - Nasopharynx	4 (0.1%)	10 (0.1%)	10 (0.1%)	10 (0.1%)	10 (0.1%)	44 (0.1%)	27.0%
C12 - Recessus piriformis	4 (0.1%)	5 (0.1%)	6 (0.1%)	1 (0.0%)	2 (0.0%)	18 (0.0%)	14.8%
C13 - Hypopharynx	15 (0.2%)	14 (0.2%)	16 (0.2%)	9 (0.1%)	23 (0.3%)	77 (0.2%)	13.7%
C14 - n.n.b.	2 (0.0%)	3 (0.0%)	5 (0.1%)	2 (0.0%)	1 (0.0%)	13 (0.0%)	23.2%
gesamt	224 (3.0%)	221 (3.0%)	249 (3.2%)	267 (3.3%)	195 (2.9%)	1156 (3.1%)	17.6%
C15-C26 - Verdauungsorgane							
C15 - Ösophagus	90 (1.2%)	92 (1.2%)	115 (1.5%)	93 (1.1%)	71 (1.0%)	461 (1.2%)	15.4%
C16 - Magen	154 (2.1%)	147 (2.0%)	169 (2.2%)	166 (2.0%)	160 (2.4%)	796 (2.1%)	13.0%
C17 - Dünndarm	39 (0.5%)	45 (0.6%)	24 (0.3%)	32 (0.4%)	29 (0.4%)	169 (0.4%)	14.9%
C18 - Kolon	536 (7.2%)	517 (6.9%)	453 (5.8%)	448 (5.5%)	423 (6.2%)	2377 (6.3%)	15.6%
C19 - Rektosigmoid	1 (0.0%)	2 (0.0%)	3 (0.0%)	1 (0.0%)	1 (0.0%)	8 (0.0%)	4.9%
C20 - Rektum	224 (3.0%)	203 (2.7%)	202 (2.6%)	206 (2.5%)	176 (2.6%)	1011 (2.7%)	14.2%
C21 - Anus u. Analkanal	71 (1.0%)	61 (0.8%)	56 (0.7%)	62 (0.8%)	53 (0.8%)	303 (0.8%)	24.1%
C22 - Leber u. intrahepat. Galleng.	79 (1.1%)	96 (1.3%)	99 (1.3%)	73 (0.9%)	67 (1.0%)	414 (1.1%)	9.3%
C23 - Gallenblase	28 (0.4%)	12 (0.2%)	14 (0.2%)	16 (0.2%)	11 (0.2%)	81 (0.2%)	11.8%
C24 - Gallenwege n.n.b.	40 (0.5%)	43 (0.6%)	42 (0.5%)	42 (0.5%)	31 (0.5%)	198 (0.5%)	13.4%
C25 - Pankreas	259 (3.5%)	271 (3.6%)	292 (3.8%)	232 (2.9%)	201 (3.0%)	1255 (3.3%)	14.3%
C26 - n.n.b.	1 (0.0%)	-	2 (0.0%)	-	-	3 (0.0%)	4.5%
gesamt	1522 (20.5%)	1489 (19.9%)	1471 (18.9%)	1371 (16.9%)	1223 (18.1%)	7076 (18.8%)	14.3%
C30-C39 - Atmungsorgane u. sonst. intrathor. Org.							
C30 - Nasenhöhle u. Mittelohr	7 (0.1%)	6 (0.1%)	9 (0.1%)	12 (0.1%)	16 (0.2%)	50 (0.1%)	17.9%
C31 - Nasennebenhöhlen	7 (0.1%)	5 (0.1%)	6 (0.1%)	10 (0.1%)	5 (0.1%)	33 (0.1%)	20.4%
C32 - Larynx	39 (0.5%)	47 (0.6%)	30 (0.4%)	41 (0.5%)	53 (0.8%)	210 (0.6%)	14.6%
C33 - Trachea	-	3 (0.0%)	1 (0.0%)	-	-	4 (0.0%)	14.8%
C34 - Bronchien u. Lunge	1505 (20.3%)	1586 (21.2%)	1587 (20.4%)	1554 (19.1%)	1271 (18.8%)	7503 (20.0%)	28.5%
C37 - Thymus	11 (0.1%)	9 (0.1%)	6 (0.1%)	13 (0.2%)	15 (0.2%)	54 (0.1%)	21.9%
C38 - Mediastinum u. Pleura	3 (0.0%)	4 (0.1%)	1 (0.0%)	2 (0.0%)	3 (0.0%)	13 (0.0%)	11.1%
C39 - n.n.b.	-	-	-	-	-	-	-
gesamt	1572 (21.2%)	1660 (22.2%)	1640 (21.1%)	1632 (20.1%)	1363 (20.1%)	7867 (20.9%)	27.5%
C40-C41 - Knochen u. Gelenkknorpel							
C40 - Knochen u. Glenkknorpel	10 (0.1%)	7 (0.1%)	8 (0.1%)	-	1 (0.0%)	26 (0.1%)	16.6%

Tabelle 7.1: ICD-10 - Absolute und relative Häufigkeiten der Tumorentitäten für den Zeitverlauf (basierend auf Diagnosejahr) (continued)

ICD-10 (Diagnose)	2020	2021	2022	2023	2024	Gesamt	REF
C41 - n.n.b. gesamt	10 (0.1%) 20 (0.3%)	5 (0.1%) 12 (0.2%)	6 (0.1%) 14 (0.2%)	10 (0.1%) 10 (0.1%)	4 (0.1%) 5 (0.1%)	35 (0.1%) 61 (0.2%)	16.1% 16.3%
C43-C44 - Melanom u. sonst. bösart. Neubldg. d. Haut							
C43 - malignes Melanom d. Haut	105 (1.4%)	170 (2.3%)	174 (2.2%)	116 (1.4%)	136 (2.0%)	701 (1.9%)	8.0%
C44 - Sonstige bösart. Neubldg. Haut gesamt	- 105 (1.4%)	- 170 (2.3%)	- 174 (2.2%)	- 116 (1.4%)	- 136 (2.0%)	- 701 (1.9%)	- 8.0%
C45-C49 - mesotheliales Gew. u. Weichteilgew.							
C45 - Mesotheliom	33 (0.4%)	22 (0.3%)	20 (0.3%)	33 (0.4%)	23 (0.3%)	131 (0.3%)	29.2%
C46 - Kaposi-Sarkom	-	-	1 (0.0%)	1 (0.0%)	1 (0.0%)	3 (0.0%)	3.8%
C47 - Periphere Nerven u. ANS	1 (0.0%)	-	2 (0.0%)	-	3 (0.0%)	6 (0.0%)	18.8%
C48 - Retroperitoneum u. Peritoneum	12 (0.2%)	9 (0.1%)	8 (0.1%)	11 (0.1%)	8 (0.1%)	48 (0.1%)	9.9%
C49 - sonst. Bdgw. u. a. Weicht. gesamt	38 (0.5%) 84 (1.1%)	32 (0.4%) 63 (0.8%)	26 (0.3%) 57 (0.7%)	27 (0.3%) 72 (0.9%)	18 (0.3%) 53 (0.8%)	141 (0.4%) 329 (0.9%)	10.0% 13.4%
C50-C50 - Brustdrüse							
C50 - Brustdrüse gesamt	1048 (14.1%) 1048 (14.1%)	1134 (15.1%) 1134 (15.1%)	1174 (15.1%) 1174 (15.1%)	1282 (15.8%) 1282 (15.8%)	1048 (15.5%) 1048 (15.5%)	5686 (15.1%) 5686 (15.1%)	18.7% 18.7%
C51-C58 - weiblichen Genitalorgane							
C51 - Vulva	24 (0.3%)	25 (0.3%)	16 (0.2%)	15 (0.2%)	15 (0.2%)	95 (0.3%)	8.5%
C52 - Vagina	5 (0.1%)	2 (0.0%)	1 (0.0%)	6 (0.1%)	7 (0.1%)	21 (0.1%)	10.9%
C53 - Cervix uteri	30 (0.4%)	30 (0.4%)	31 (0.4%)	38 (0.5%)	34 (0.5%)	163 (0.4%)	7.5%
C54 - Corpus uteri	93 (1.3%)	117 (1.6%)	100 (1.3%)	128 (1.6%)	110 (1.6%)	548 (1.5%)	13.0%
C55 - Uterus n.n.b.	2 (0.0%)	1 (0.0%)	3 (0.0%)	1 (0.0%)	-	7 (0.0%)	5.3%
C56 - Ovar	53 (0.7%)	67 (0.9%)	54 (0.7%)	64 (0.8%)	47 (0.7%)	285 (0.8%)	9.3%
C57 - n.n.b.	5 (0.1%)	5 (0.1%)	7 (0.1%)	8 (0.1%)	8 (0.1%)	33 (0.1%)	13.8%
C58 - Plazenta gesamt	- 212 (2.9%)	- 247 (3.3%)	- 212 (2.7%)	- 260 (3.2%)	- 221 (3.3%)	- 1152 (3.1%)	- 10.3%
C60-C63 - männliche Genitalorgane							
C60 - Penis	7 (0.1%)	7 (0.1%)	7 (0.1%)	16 (0.2%)	9 (0.1%)	46 (0.1%)	10.3%
C61 - Prostata	444 (6.0%)	373 (5.0%)	515 (6.6%)	710 (8.7%)	585 (8.6%)	2627 (7.0%)	9.0%
C62 - Hoden	47 (0.6%)	26 (0.3%)	45 (0.6%)	47 (0.6%)	46 (0.7%)	211 (0.6%)	13.2%
C63 - n.n.b. gesamt	- 498 (6.7%)	- 406 (5.4%)	- 568 (7.3%)	- 774 (9.5%)	- 642 (9.5%)	- 2888 (7.7%)	- 9.2%
C64-C68 - Harnorgane							
C64 - Niere	93 (1.3%)	80 (1.1%)	105 (1.4%)	166 (2.0%)	137 (2.0%)	581 (1.5%)	9.2%
C65 - Nierenbecken	5 (0.1%)	6 (0.1%)	10 (0.1%)	6 (0.1%)	14 (0.2%)	41 (0.1%)	7.5%
C66 - Ureter	5 (0.1%)	5 (0.1%)	9 (0.1%)	6 (0.1%)	4 (0.1%)	29 (0.1%)	7.9%
C67 - Harnblase	99 (1.3%)	83 (1.1%)	129 (1.7%)	137 (1.7%)	167 (2.5%)	615 (1.6%)	8.0%
C68 - n.n.b. gesamt	4 (0.1%) 206 (2.8%)	7 (0.1%) 181 (2.4%)	5 (0.1%) 258 (3.3%)	10 (0.1%) 325 (4.0%)	2 (0.0%) 324 (4.8%)	28 (0.1%) 1294 (3.4%)	7.8% 8.5%
C69-C72 - Auge, Gehirn u. sonst. Teile d. ZNS							
C69 - Auge u. Augenanhangesgebilde	288 (3.9%)	282 (3.8%)	254 (3.3%)	268 (3.3%)	190 (2.8%)	1282 (3.4%)	92.2%
C70 - Meningen	1 (0.0%)	1 (0.0%)	3 (0.0%)	1 (0.0%)	-	6 (0.0%)	9.7%
C71 - Gehirn	82 (1.1%)	75 (1.0%)	77 (1.0%)	76 (0.9%)	47 (0.7%)	357 (0.9%)	12.2%
C72 - Rückenmark u. Hirnnerven gesamt	1 (0.0%) 372 (5.0%)	6 (0.1%) 364 (4.9%)	5 (0.1%) 339 (4.4%)	5 (0.1%) 350 (4.3%)	6 (0.1%) 243 (3.6%)	23 (0.1%) 1668 (4.4%)	20.7% 37.2%
C73-C75 - Schilddrüse u. sonst. endokr. Drüsen							
C73 - Schilddrüse	153 (2.1%)	122 (1.6%)	125 (1.6%)	139 (1.7%)	124 (1.8%)	663 (1.8%)	28.4%
C74 - Nebenniere	3 (0.0%)	3 (0.0%)	4 (0.1%)	12 (0.1%)	4 (0.1%)	26 (0.1%)	19.7%
C75 - Endokr. Drüsen u. verw. Str. gesamt	1 (0.0%) 157 (2.1%)	3 (0.0%) 128 (1.7%)	1 (0.0%) 130 (1.7%)	2 (0.0%) 153 (1.9%)	1 (0.0%) 129 (1.9%)	8 (0.0%) 697 (1.9%)	16.0% 27.7%
C76-C80 - n.n.b. Lokalisationen							
C76 - sonst. u. n.n.b. Lok.	9 (0.1%)	8 (0.1%)	7 (0.1%)	14 (0.2%)	13 (0.2%)	51 (0.1%)	22.8%
C77 - Lymphknoten	-	-	-	-	-	-	-
C78 - sek. Neubldg. d. Atr.- u. V.org.	-	-	-	-	-	-	-
C79 - n.n.b. sek. Neubldg.	-	-	-	-	-	-	-
C80 - unbekannte Primärlok.	112 (1.5%)	134 (1.8%)	142 (1.8%)	106 (1.3%)	100 (1.5%)	594 (1.6%)	11.5%
gesamt	121 (1.6%)	142 (1.9%)	149 (1.9%)	120 (1.5%)	113 (1.7%)	645 (1.7%)	12.0%
C81-C96 - lymph., blutbd. u. verw. Gewebe							
C81 - Hodgkin-Lymphom	38 (0.5%)	28 (0.4%)	36 (0.5%)	26 (0.3%)	41 (0.6%)	169 (0.4%)	16.5%
C82 - folliculäres Lymph.	65 (0.9%)	30 (0.4%)	56 (0.7%)	40 (0.5%)	40 (0.6%)	231 (0.6%)	15.9%
C83 - nicht folliculäres Lymph.	138 (1.9%)	128 (1.7%)	140 (1.8%)	166 (2.0%)	139 (2.1%)	711 (1.9%)	16.4%
C84 - reifzellige T/NK-Zell-Lymph.	12 (0.2%)	11 (0.1%)	11 (0.1%)	11 (0.1%)	8 (0.1%)	53 (0.1%)	11.2%
C85 - Non-Hodgkin n.n.b.	31 (0.4%)	21 (0.3%)	20 (0.3%)	24 (0.3%)	17 (0.3%)	113 (0.3%)	12.8%
C86 - weitere spez. T/NK-Zell-Lymph.	6 (0.1%)	6 (0.1%)	7 (0.1%)	6 (0.1%)	9 (0.1%)	34 (0.1%)	21.2%
C88 - immunproliferative Krankh.	24 (0.3%)	22 (0.3%)	22 (0.3%)	20 (0.2%)	11 (0.2%)	99 (0.3%)	13.1%

Tabelle 7.1: ICD-10 - Absolute und relative Häufigkeiten der Tumorentitäten für den Zeitverlauf (basierend auf Diagnosejahr) (continued)

ICD-10 (Diagnose)	2020	2021	2022	2023	2024	Gesamt	REF
C90 - Plasmoz. u. Plasmaz.-Nbldg.	101 (1.4%)	83 (1.1%)	98 (1.3%)	82 (1.0%)	60 (0.9%)	424 (1.1%)	14.7%
C91 - lymphatische Leukämie	28 (0.4%)	32 (0.4%)	33 (0.4%)	38 (0.5%)	33 (0.5%)	164 (0.4%)	6.1%
C92 - myeloische Leukämie	54 (0.7%)	90 (1.2%)	77 (1.0%)	70 (0.9%)	67 (1.0%)	358 (1.0%)	14.0%
C93 - Monozytenleukämie	7 (0.1%)	13 (0.2%)	7 (0.1%)	8 (0.1%)	5 (0.1%)	40 (0.1%)	13.6%
C94 - sonst. Leukämie n.b. Zelltyps	1 (0.0%)	-	2 (0.0%)	1 (0.0%)	1 (0.0%)	5 (0.0%)	3.9%
C95 - n.n.b. Leukämien	3 (0.0%)	1 (0.0%)	2 (0.0%)	2 (0.0%)	1 (0.0%)	9 (0.0%)	7.3%
C96 - n.n.b.	1 (0.0%)	3 (0.0%)	-	4 (0.0%)	2 (0.0%)	10 (0.0%)	10.9%
gesamt	509 (6.8%)	468 (6.3%)	511 (6.6%)	498 (6.1%)	434 (6.4%)	2420 (6.4%)	13.6%
D00-D09 - In-situ-Neubildungen							
D00 - CIS d. Mundh., Ösoph., Magen	6 (0.1%)	6 (0.1%)	9 (0.1%)	13 (0.2%)	9 (0.1%)	43 (0.1%)	11.7%
D01 - CIS sonst. u. n.n.b. V.org.	142 (1.9%)	173 (2.3%)	194 (2.5%)	183 (2.3%)	80 (1.2%)	772 (2.1%)	10.4%
D02 - CIS d. Mittelohres u. Atm.syst.	8 (0.1%)	9 (0.1%)	9 (0.1%)	9 (0.1%)	3 (0.0%)	38 (0.1%)	15.8%
D03 - CIS d. Haut	17 (0.2%)	41 (0.5%)	41 (0.5%)	21 (0.3%)	30 (0.4%)	150 (0.4%)	4.0%
D05 - CIS d. Brustdrüse	146 (2.0%)	129 (1.7%)	125 (1.6%)	139 (1.7%)	118 (1.7%)	657 (1.7%)	21.7%
D06 - CIS d. Cervix uteri	176 (2.4%)	127 (1.7%)	76 (1.0%)	62 (0.8%)	15 (0.2%)	456 (1.2%)	2.3%
D07 - CIS sonst. u. n.n.b. Genitalorg.	31 (0.4%)	25 (0.3%)	27 (0.3%)	15 (0.2%)	5 (0.1%)	103 (0.3%)	5.2%
D09 - CIS sonst. u. n.n.b. Lok.	68 (0.9%)	59 (0.8%)	116 (1.5%)	196 (2.4%)	156 (2.3%)	595 (1.6%)	8.9%
gesamt	594 (8.0%)	569 (7.6%)	597 (7.7%)	638 (7.8%)	416 (6.1%)	2814 (7.5%)	6.5%
D10-D36 - gutartige Neubildungen							
D32 - Meningen	79 (1.1%)	86 (1.1%)	100 (1.3%)	106 (1.3%)	94 (1.4%)	465 (1.2%)	22.0%
D33 - Gehirn u. a. Teile d. ZNS	26 (0.3%)	50 (0.7%)	35 (0.5%)	57 (0.7%)	42 (0.6%)	210 (0.6%)	25.0%
D35 - sonst. u. n.n.b. endokr. Drüsen	18 (0.2%)	25 (0.3%)	29 (0.4%)	29 (0.4%)	30 (0.4%)	131 (0.3%)	23.2%
gesamt	123 (1.7%)	161 (2.2%)	164 (2.1%)	192 (2.4%)	166 (2.5%)	806 (2.1%)	22.9%
D37-D48 - Neubildungen uns. oder unbek. Verh.							
D39 - weiblichen Genitalorgane	12 (0.2%)	16 (0.2%)	12 (0.2%)	12 (0.1%)	10 (0.1%)	62 (0.2%)	9.3%
D41 - Harnorgane	-	-	1 (0.0%)	1 (0.0%)	-	2 (0.0%)	1.4%
D42 - Meningen	9 (0.1%)	3 (0.0%)	3 (0.0%)	7 (0.1%)	5 (0.1%)	27 (0.1%)	18.1%
D43 - Gehirn u. ZNS	11 (0.1%)	16 (0.2%)	6 (0.1%)	16 (0.2%)	16 (0.2%)	65 (0.2%)	19.6%
D44 - endokr. Drüsen	-	-	1 (0.0%)	1 (0.0%)	3 (0.0%)	5 (0.0%)	9.8%
D45 - Polycythaemia vera	3 (0.0%)	3 (0.0%)	4 (0.1%)	6 (0.1%)	2 (0.0%)	18 (0.0%)	4.4%
D46 - myelodysplast. Syndrome	20 (0.3%)	25 (0.3%)	20 (0.3%)	12 (0.1%)	16 (0.2%)	93 (0.2%)	6.0%
D47 - lymph. u. blutb. Gew.	9 (0.1%)	8 (0.1%)	9 (0.1%)	17 (0.2%)	9 (0.1%)	52 (0.1%)	3.7%
gesamt	64 (0.9%)	71 (0.9%)	56 (0.7%)	72 (0.9%)	61 (0.9%)	324 (0.9%)	6.9%
GESAMT	7431	7486	7763	8132	6772	37584	14.1%

Zur Übersicht für Sie sind in **Tabelle 7.2** die häufigsten invasiven Tumorentitäten bezogen auf den 5-Jahres Berichtszeitraum (2020 bis 2024) aufgelistet. Bitte beachten Sie, dass oft bei weiteren Analysen im Verlauf des Rückmeldeberichts auf diese Entitäten bzw. deren Entitätengruppen Bezug genommen wird.

Tabelle 7.2: ICD-10 - Liste der 20 häufigsten invasiven Tumorentitäten

ID	Tumorentität (ICD-10)	n	ID	Tumorentität (ICD-10)	n
1	C34 - Bronchien u. Lunge	7503	6	C25 - Pankreas	1255
2	C50 - Brustdrüse	5686	7	C20 - Rektum	1011
3	C61 - Prostata	2627	8	C16 - Magen	796
4	C18 - Kolon	2377	9	C83 - nicht follikuläres Lymph.	711
5	C69 - Auge u. Augenanhangesgeilde	1282	10	C43 - malignes Melanom d. Haut	701

8 | Patientenstruktur

Im folgenden Kapitel wird die Patientenstruktur der in Ihrer Einrichtung diagnostizierten bzw. primärtherapierten Tumorfälle beschrieben. In der Auswertung wird u. a. das *Geschlechterverhältnis* (8.1), die *Altersstruktur* (8.2) und die *Herkunft* (8.3) der Tumorfälle nach Tumorentität (ICD-10) und Diagnosejahr (gesamter Berichtszeitraum 2017 - 2024 und aktuelles Berichtsjahr 2024) analysiert.

8.1. Geschlechterverhältnis

Abbildung 8.1 zeigt Ihnen die absolute Häufigkeit der betrachteten Tumorfälle aufgesplittet nach Geschlecht (männlich / weiblich) und Tumorentitätengruppe (nach ICD-10) für den 5-Jahres Berichtszeitraum (2020 bis 2024) (basierend auf dem Diagnosejahr). Es sei darauf hingewiesen, dass sich die x-Achsen für beide Geschlechter in derer Skala unterscheiden können.

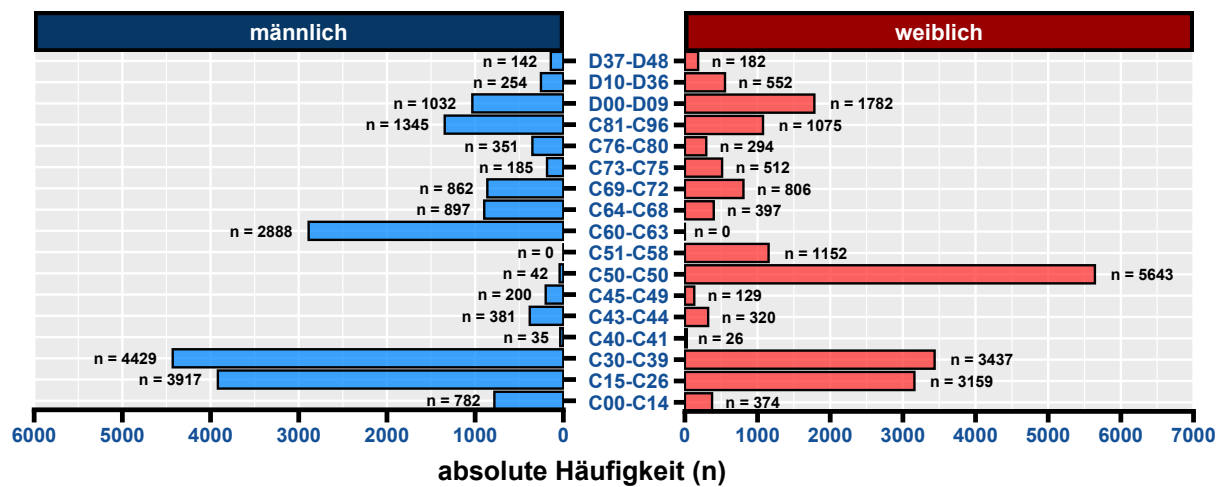


Abbildung 8.1: Geschlechterverhältnis (männlich / weiblich) der Tumorfälle für die vorkommenden Tumorentitätengruppen (nach ICD-10)

Abbildung 8.2 stellt Ihnen das Geschlechterverhältnis (absolute Häufigkeit) der betrachteten Tumorfälle für die das aktuelle Berichtsjahr (2024 - basierend auf Diagnosejahr) dar.

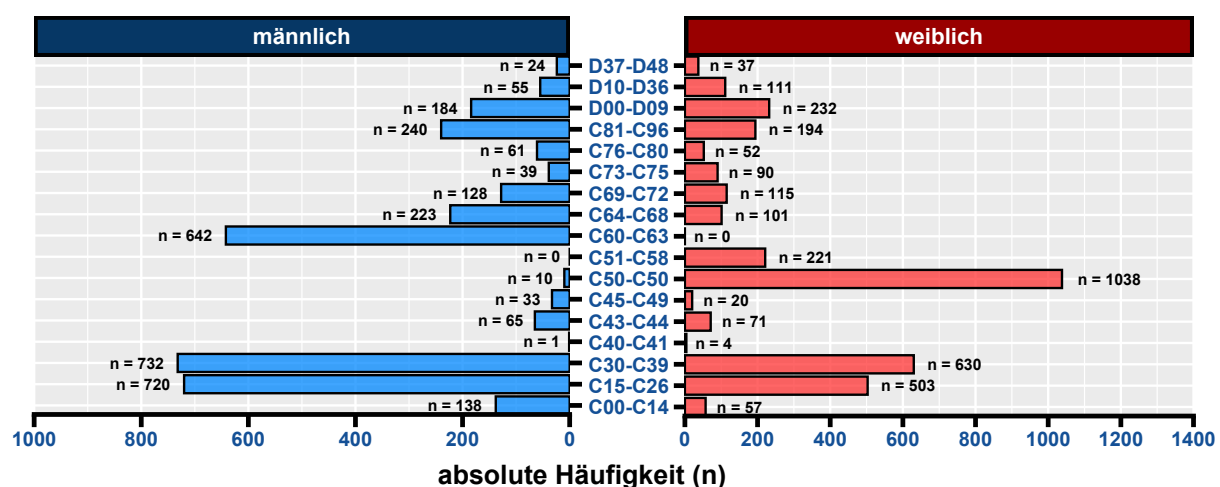


Abbildung 8.2: Geschlechterverhältnis (männlich / weiblich) der Tumorfälle für die vorkommenden Tumorentitätengruppen (nach ICD-10) - aktuelles Berichtsjahr

8.2. Altersstruktur

Abbildung 8.3 (a) veranschaulicht Ihnen die Altersverteilung in 5-Jahresklassen und deskriptive Kenngrößen (MD - Median, MW - Mittelwert, SD - Standardabweichung, SE - Standardfehler, MIN - Minimum und MAX - Maximum) ihrer Tumorfälle für den 5-Jahres Berichtszeitraum (2020 bis 2024) und **Abbildung 8.3 (b)** für das aktuelle Berichtsjahr in Form eines Histogramms.

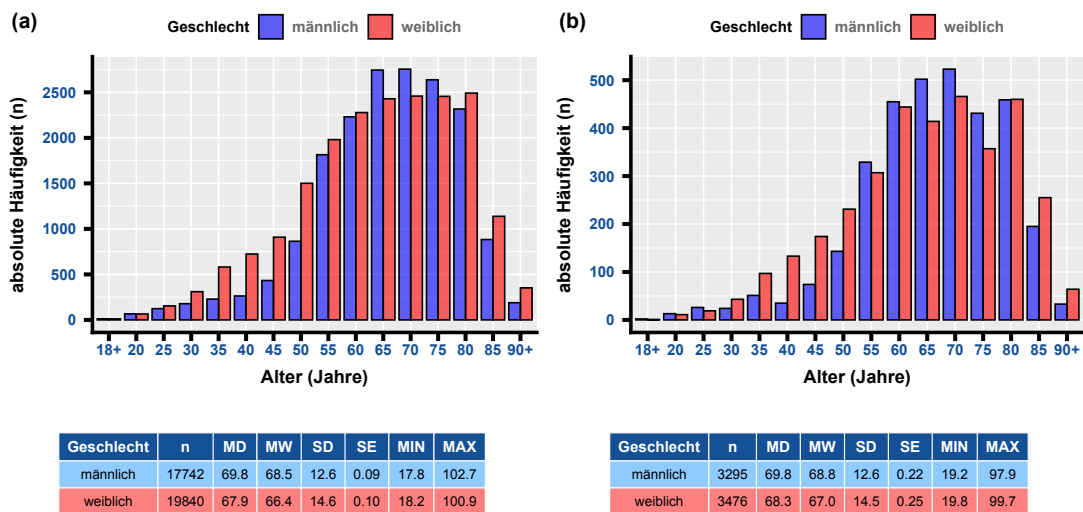


Abbildung 8.3: Altersverteilung und stat. Parameter - a) 5-Jahres Berichtszeitraum (2020 - 2024); b) aktuelles Berichtsjahr

Abbildung 8.4 veranschaulicht Ihnen die Altersverteilung der 5 häufigsten Tumorentitätengruppen (nach ICD-10) für Frauen und Männer.

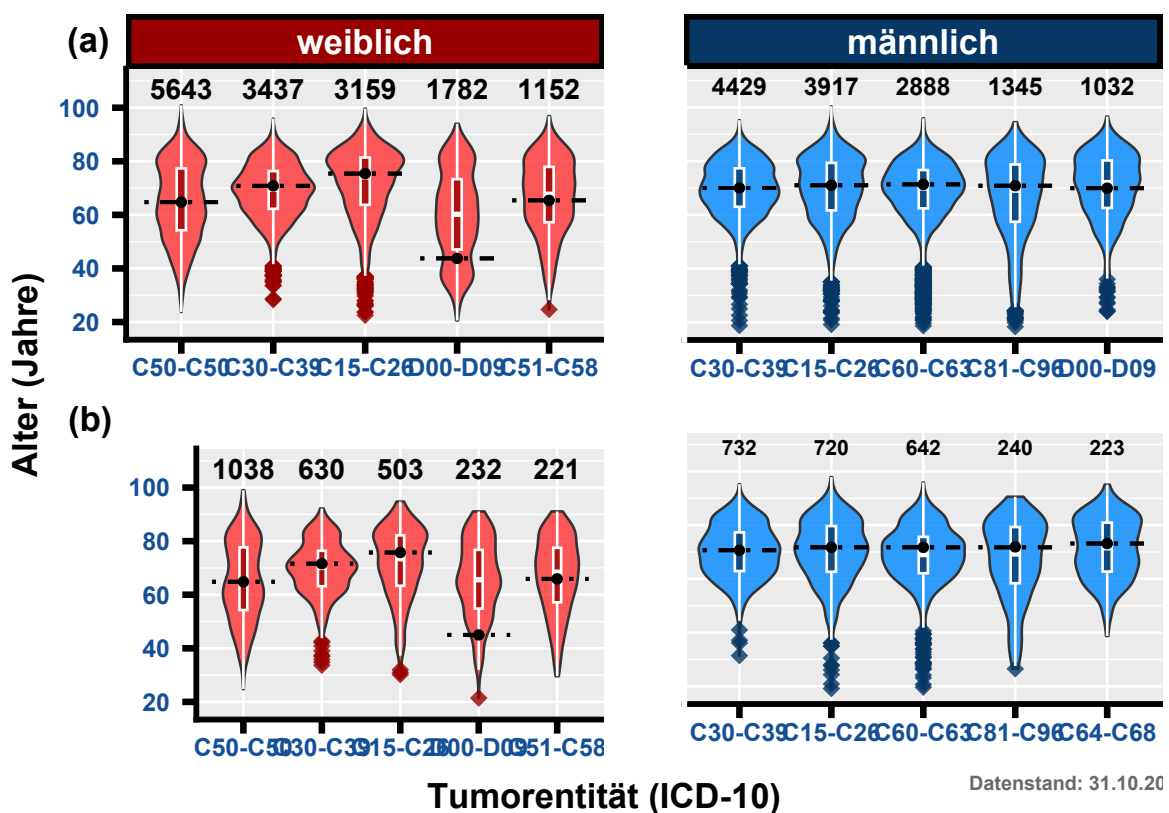


Abbildung 8.4: Altersverteilung für die 5 häufigsten Tumorentitätengruppen (nach ICD-10) je Geschlecht - a 5-Jahres Berichtszeitraum (2020 - 2024); b) aktuelles Berichtsjahr

8.3. Herkunft der Fälle

Das Patientenkollektiv Ihrer Einrichtung stammt, basierend auf dem Wohnort zum Zeitpunkt der Diagnose, aus **16 Bundesländern**. Dabei kommen **29.028** Fälle aus dem Bundesland Berlin und **6.634** Fälle aus dem Bundesland Brandenburg. Aus dem Bundesland Niedersachsen kommen mit 419 Fällen die meisten Patienten, die nicht in der Region Brandenburg-Berlin zum Zeitpunkt der Diagnose wohnhaft waren. Die folgenden kartographischen Darstellungen stellen Ihnen den Wohnort zum Zeitpunkt der Diagnose Ihrer Patienten detaillierter dar (wenn mindestens 25 Tumorfälle vorliegen). Für Patienten aus dem Bundesland Brandenburg werden die Zahlen (prozentual) auf Gemeindeebene, für Berliner Patienten basierend auf den Prognoseräumen (Konzept der Lebensweltlich orientierten Räumen (LOR)) erhoben. Bitte beachten Sie, dass nur Prognoseräume und Gemeinden in der Darstellung berücksichtigt werden, wenn diese mindestens 5 Tumorfälle vorweisen (**Abbildung 8.5**).

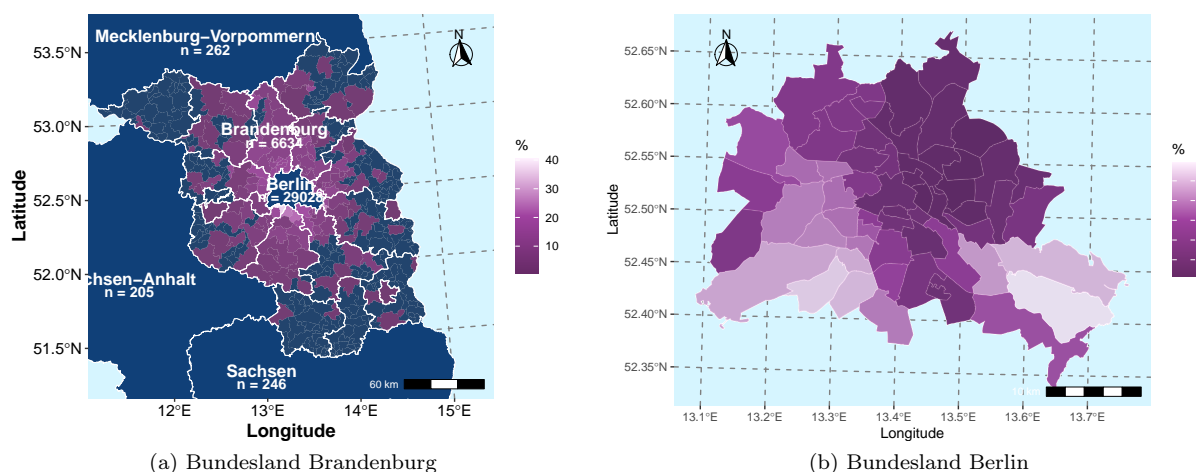


Abbildung 8.5: Prozentuale Darstellung des Wohnorts der Patienten zum Zeitpunkt der Diagnose für Brandenburg (Gemeindeebene) und Berlin (LOR) (mit mindestens 5 Fällen) - 5-Jahres Berichtszeitraum (2020 - 2024)

Tabelle 8.1 stellt Ihnen die absoluten Häufigkeiten der betrachteten Tumorfälle nach Wohnort zum Zeitpunkt der Krebsdiagnose getrennt nach Diagnosejahr (einzelne Berichtsjahre 2020 - 2024) dar. Dabei steht "BRB" für Brandenburg, "B" für Berlin und "Andere BL" für alle anderen Bundesländer.

Tabelle 8.1: Absolute Häufigkeit der Tumorfälle je Wohnort (Bundeslandebene) und pro Berichtsjahr (Diagnosejahr)

Berichtsjahr	BB	BE	Andere BL
2020	1303	5736	389
2021	1279	5822	385
2022	1371	5979	412
2023	1485	6219	427
2024	1196	5272	304

Anmerkung: aktueller Datenstand: 31.10.2025

TEIL IV

ENTITÄTENSPEZIFSCHE ANALYSEN UND DARSTELLUNGEN



Teil IV „*Entitätspezifische Analysen und Darstellungen*“ des Krankenhaus-Rückmeldeberichts enthält basierend auf den Analysen in Teil III spezifische Auswertungen und Darstellungen für Entitätengruppen. Die Einteilung der Tumordiagnosen in Entitätengruppen erfolgte nach der ICD-10-Klassifikation.

Bitte beachten Sie, dass maximal die fünf häufigsten invasiven Entitätengruppen (Mindestfallzahl ≥ 25 im 5-Jahres Berichtszeitraum von **2020 bis 2024**) in entsprechenden Kapiteln dargestellt werden. Im Folgenden werden u. a. die Fallzahlen, Vollständigkeit, Tumoreigenschaften, Patientenstruktur und Überlebensanalysen abgebildet.

Sollten Sie tiefergehende Analysen oder Auswertungen für in diesem Teil nicht abgebildete Entitätengruppen wünschen, stellen wir Ihnen gerne weitere Darstellungen und Statistiken auf Anfrage (per E-Mail an Datenauswertung@kkrrb.de) zur Verfügung.

9 | C30-C39 - Atmungsorgane u. sonst. intrathor. Org.

Das Kapitel **C30-C39 - Atmungsorgane u. sonst. intrathor. Org.** dieses Rückmeldeberichtes stellt Ihnen verschiedene Auswertungen und Darstellungen zu Tumorfällen von Patienten mit Diagnosen der Gruppe C30-C39 - Atmungsorgane u. sonst. intrathor. Org. zu Verfügung. Neben den Fall- und Behandlungszahlen sowie den Vollständigkeitsangaben werden die Tumoreigenschaften und Patientenstruktur als auch Überlebensanalysen präsentiert.

9.1. Allgemeine Informationen

Tabelle 9.1 fasst die Anzahl der neu diagnostizierten Fälle und therapeutischen Behandlungen (einzelner oder mehrerer Therapieanwendungen) nach Art der Therapie (Operation, Strahlentherapie/Nuklearmedizin, systemische Therapie oder abwartende Therapie) und Verlauf für Tumoren der Gruppe C30-C39 - Atmungsorgane u. sonst. intrathor. Org. Ihrer Einrichtung über den 5-Jahres Berichtszeitraum (2020 bis 2024), als auch für das aktuelle Berichtsjahr (2024) zusammen.

Tabelle 9.1: Anzahl der gemeldeten Diagnosen, therapeutischen Behandlungen und Verläufe für C30-C39 - Atmungsorgane u. sonst. intrathor. Org.

TYP	Anzahl der Behandlungen		Anzahl der Fälle	
	Einrichtung	REF	Einrichtung	REF
5-Jahres Berichtszeitraum (2020 - 2024)				
Diagnose			7818	48.34%
therapeutische Behandlungen	11860	51.36%	6491	49.01%
Operation	3315	45.91%	2654	46.27%
Strahlentherapie	550	23.77%	454	24.10%
Systemtherapie	7960	58.94%	4642	55.60%
abwartende Therapie	1	50.00%	1	50.00%
Verlauf	16573	70.00%	5757	60.14%
Gesamt			12283	46.98%
Aktuelles Berichtsjahr (2024)				
Diagnose			1294	45.61%
therapeutische Behandlungen	2005	49.30%	1332	48.26%
Operation	592	43.02%	478	42.30%
Strahlentherapie	101	38.70%	93	38.27%
Systemtherapie	1304	53.93%	954	53.18%
abwartende Therapie	0	0.00%	0	0.00%
Verlauf	2176	67.31%	1508	64.12%
Gesamt			2615	51.25%

Anmerkung: Gesamt = Fall mit Diagnose oder Therapie in der Einrichtung; aktueller Datenstand: 31.10.2025

9.2. Vollständigkeit

Im Abschnitt **Vollständigkeit** werden analog zu Teil II “Qualität und Vollständigkeit” die Vollständigkeit sowie die Qualität der an das KKRBB gesandten Meldungen zu tumorrelevanten Behandlungen bezüglich der in Ihrer Einrichtung diagnostizierten und / oder therapierten Krebserkrankungen der Tumorentitätengruppe **C30-C39 - Atmungsorgane u. sonst. intrathor. Org.** für den 5-Jahres Berichtszeitraum (2020 bis 2024) beschrieben. Weitere Informationen bezüglich Definition dieser Merkmale finden Sie in Teil II “Qualität und Vollständigkeit” des Rückmeldeberichts.

9.2.1 Vollständigkeit von Diagnose- und Histologiemerkmalen

Tabelle 9.2 gibt Ihnen einen Überblick über die Qualität und Vollständigkeit der beschriebenen Diagnose- und Histologiemerkmale für durchgeführte Diagnosen Ihrer Einrichtung; sowohl für den Gesamtzeitraum als auch für die einzelnen Berichtsjahre (basierend auf dem Diagnosejahr). Zudem zeigt Ihnen **Tabelle 9.2** zur Einordnung Ihrer Zahlen die prozentualen Ergebnisse der Vollständigkeit der Referenz (REF).

Tabelle 9.2: Qualität und Vollständigkeit von Diagnose- und Histologiemerkmalen im Zeitverlauf (REF - Referenz)

Merkmalsname	2020	2021	2022	2023	2024	Gesamt	REF
Thematik: DIAGNOSE und HISTOLOGIE							
Gesamt	1734	1619	1591	1580	1294	7818	
Diagnose-Datum	n 1734	1619	1591	1580	1294	7818	
	% 100.0%	100.0%	100.0%	100.0%	100.0%	100.0%	100.0%
tagesgen. Diagnose-Datum	n 1679	1579	1545	1546	1273	7622	
	% 96.8%	97.5%	97.1%	97.8%	98.4%	97.5%	97.2%
Diagnosesicherung (DS)	n 1734	1619	1591	1580	1294	7818	
	% 100.0%	100.0%	100.0%	100.0%	100.0%	100.0%	100.0%
DS (histol. od. zytol.)	n 1664	1575	1549	1542	1255	7585	
	% 96.0%	97.3%	97.4%	97.6%	97.0%	97.0%	91.0%
Lokalisation	n 1734	1619	1591	1580	1294	7818	
	% 100.0%	100.0%	100.0%	100.0%	100.0%	100.0%	100.0%
Seitenlokalisation	n 1734	1619	1591	1580	1294	7818	
	% 100.0%	100.0%	100.0%	100.0%	100.0%	100.0%	100.0%
Histologie*	n 1656	1564	1545	1523	1250	7538	
	% 99.9%	99.9%	100.0%	99.9%	100.0%	99.9%	100.0%
Histologie-Schlüssel*	n 1639	1546	1528	1508	1242	7463	
	% 98.9%	98.7%	98.9%	98.9%	99.4%	98.9%	97.5%
Histologie-Datum*	n 1658	1566	1545	1523	1246	7538	
	% 100.0%	100.0%	100.0%	99.9%	99.7%	99.9%	99.8%
Grading*	n 1622	1509	1510	1469	1189	7299	
	% 99.6%	99.7%	99.7%	99.9%	99.7%	99.7%	99.4%
klin. u. / od. pathol. TNM							
UICC-Klassifikation*	n 1558	1433	1426	1415	1094	6926	
	% 95.2%	94.2%	93.9%	95.5%	90.9%	94.1%	96.2%
TNM (T-Kategorie)*	n 1535	1420	1393	1393	1080	6821	
	% 93.8%	93.3%	91.8%	94.0%	89.7%	92.7%	93.1%
TNM (N-Kategorie)*	n 1524	1420	1395	1398	1073	6810	
	% 93.2%	93.3%	91.9%	94.3%	89.1%	92.5%	92.5%
TNM (M-Kategorie)*	n 1526	1427	1413	1412	1065	6843	
	% 96.5%	98.3%	98.3%	98.4%	97.1%	97.7%	97.2%
klin. TNM							
UICC-Klassifikation*	n 1366	1300	1314	1367	1048	6395	
	% 86.4%	89.5%	91.4%	95.3%	95.5%	91.3%	90.5%
TNM (T-Kategorie)*	n 1366	1304	1328	1379	1055	6432	
	% 86.4%	89.8%	92.4%	96.1%	96.2%	91.8%	92.0%
TNM (N-Kategorie)*	n 1358	1302	1327	1378	1052	6417	
	% 85.9%	89.7%	92.3%	96.0%	95.9%	91.6%	91.9%
TNM (M-Kategorie)*	n 1373	1310	1332	1379	1053	6447	
	% 86.8%	90.2%	92.6%	96.1%	96.0%	92.1%	92.2%
ECOG	n 1435	1434	1423	1459	1126	6877	
	% 85.8%	92.8%	94.5%	95.3%	95.3%	92.5%	85.8%

Tabelle 9.2: Qualität und Vollständigkeit von Diagnose- und Histologiemerkmalen im Zeitverlauf (REF - Referenz) (continued)

Merkmalname	2020	2021	2022	2023	2024	Gesamt	REF
-------------	------	------	------	------	------	--------	-----

Anmerkung: n - Anzahl; aktueller Datenstand vom 31.10.2025

* n des Merkmals weicht von Gesamt n ab

9.2.2 Vollständigkeit von Therapiemerkmalen

9.2.2.1 Operation

Tabelle 9.3 gibt Ihnen einen Überblick über die Qualität und Vollständigkeit der beschriebenen Therapiemerkmale für durchgeführte Operationen Ihrer Einrichtung; sowohl für den Gesamtzeitraum als auch für die einzelnen Berichtsjahre (basierend auf dem Jahr der Leistungserbringung). Zudem zeigt Ihnen **Tabelle 9.3** zur Einordnung der Zahlen Ihrer Einrichtung die prozentualen Ergebnisse der Vollständigkeit der Referenz (REF).

Tabelle 9.3: Operation - Qualität und Vollständigkeit von Merkmalen im Zeitverlauf (REF - Referenz)

Merkmalname	2020	2021	2022	2023	2024	Gesamt	REF
Behandlung: OPERATION							
Gesamt	611	654	696	762	592	3315	
OP-Datum	n 611	n 654	n 696	n 762	n 592	3315	
	% 100.0%	% 100.0%	% 100.0%	% 100.0%	% 100.0%	100.0%	100.0%
Tagesgenauigkeit (OP)	n 611	n 654	n 696	n 762	n 591	3314	
	% 100.0%	% 100.0%	% 100.0%	% 100.0%	% 99.8%	100.0%	99.9%
Therapieintention	n 610	n 653	n 695	n 762	n 590	3310	
	% 99.8%	% 99.8%	% 99.9%	% 100.0%	% 99.7%	99.8%	99.6%
OP-Schlüssel vollst.	n 602	n 645	n 692	n 752	n 589	3280	
	% 98.5%	% 98.6%	% 99.4%	% 98.7%	% 99.5%	98.9%	98.2%
lokale R-Klass.*	n 367	n 427	n 434	n 497	n 373	2098	
	% 99.7%	% 100.0%	% 99.8%	% 100.0%	% 99.7%	99.9%	99.2%
globale R-Klass.*	n 361	n 420	n 432	n 494	n 368	2075	
	% 98.1%	% 98.4%	% 99.3%	% 99.4%	% 98.4%	98.8%	94.5%
Anzahl Lymphkn. (unters.)*	n 332	n 330	n 337	n 429	n 310	1738	
	% 92.0%	% 82.9%	% 78.9%	% 90.5%	% 92.5%	87.1%	83.7%
Anzahl Lymphkn. (befall.)*	n 332	n 330	n 337	n 427	n 311	1737	
	% 92.0%	% 82.9%	% 78.9%	% 90.1%	% 92.8%	87.1%	83.6%
Komplikationen	n 364	n 351	n 383	n 408	n 376	1882	
	% 59.6%	% 53.7%	% 55.0%	% 53.5%	% 63.5%	56.8%	59.7%

Anmerkung: aktueller Datenstand vom 31.10.2025

* n des Merkmals weicht von Gesamt n ab

9.2.2.2 Strahlentherapie / Nuklearmedizin

Tabelle 9.4 gibt Ihnen einen Überblick über die Qualität und Vollständigkeit der beschriebenen Therapiemerkmale für durchgeführte Strahlentherapien Ihres Hauses; sowohl für den Gesamtzeitraum als auch für die einzelnen Berichtsjahre (basierend auf dem Jahr der Leistungserbringung). Zudem zeigt Ihnen **Tabelle 9.4** zur Einordnung der Zahlen Ihres Hauses die prozentualen Ergebnisse Referenz.

Tabelle 9.4: Strahlentherapie - Qualität und Vollständigkeit von Therapiemerkmalen im Zeitverlauf

Merkmal_name	TYP	2020	2021	2022	2023	2024	Gesamt	REF
Behandlung: STRAHLENTHERAPIE und NUKLEARMEDIZIN								
Gesamt		115	123	115	96	101	550	
Anfang und Ende d. Th.*	n 112	n 123	n 114	n 94	n 94	537		
	% 97.4%	% 100.0%	% 99.1%	% 97.9%	% 93.1%	97.6%	98.9%	
Anfang der Th.	n 115	n 123	n 115	n 96	n 101	550		
	% 100.0%	% 100.0%	% 100.0%	% 100.0%	% 100.0%	100.0%	100.0%	

Tabelle 9.4: Strahlentherapie - Qualität und Vollständigkeit von Therapiemerkmalen im Zeitverlauf (continued)

Merkmalsname	TYP	2020	2021	2022	2023	2024	Gesamt	REF
Ende der Th.*	n	112	123	114	94	94	537	97.6% 98.9%
	%	97.4%	100.0%	99.1%	97.9%	93.1%		
Einzeldosis*	n	115	118	113	95	100	541	98.7% 98.3%
	%	100.0%	97.5%	98.3%	99.0%	99.0%		
Gesamtdosis	n	114	123	112	93	94	536	97.5% 98.1%
	%	99.1%	100.0%	97.4%	96.9%	93.1%		
Therapieintention	n	115	123	115	96	101	550	100.0% 100.0%
	%	100.0%	100.0%	100.0%	100.0%	100.0%		
Stellung zur OP	n	115	123	115	96	101	550	100.0% 100.0%
	%	100.0%	100.0%	100.0%	100.0%	100.0%		
Applikationsart	n	115	123	115	96	101	550	100.0% 100.0%
	%	100.0%	100.0%	100.0%	100.0%	100.0%		
Nebenwirkungen	n	12	12	10	11	9	54	9.8% 52.1%
	%	10.4%	9.8%	8.7%	11.5%	8.9%		
Grad der NW*	n	3	7	1	1	3	15	100.0% 97.7%
	%	100.0%	100.0%	100.0%	100.0%	100.0%		
Therapieabschluss	n	111	121	111	91	92	526	95.6% 97.6%
	%	96.5%	98.4%	96.5%	94.8%	91.1%		

Anmerkung: aktueller Datenstand vom 31.10.2025

* n des Merkmals weicht von Gesamt n ab

9.2.2.3 Systemtherapie

Die folgende Tabelle gibt Ihnen einen Überblick über die Qualität und Vollständigkeit der beschriebenen Therapiemerkmale für durchgeführte Systemtherapien Ihrer Einrichtung; sowohl für den Gesamtzeitraum als auch für die einzelnen Berichtsjahre (basierend auf dem Jahr der Leistungserbringung). Zudem zeigt Ihnen diese Tabelle zur Einordnung der Zahlen Ihrer Einrichtung die prozentualen Ergebnisse der Vollständigkeit der Referenz (REF).

Tabelle 9.5: Systemtherapie - Qualität und Vollständigkeit von Therapiemerkmalen im Zeitverlauf

Merkmalsname	2020	2021	2022	2023	2024	Gesamt	REF
Behandlung: SYSTEMTHERAPIE							
Gesamt	1621	1704	1644	1688	1303	7960	
Anfang und Ende d. Th.*	n	1581	1665	1583	1623	1134	7586
	%	97.6%	97.7%	96.3%	96.1%	87.0%	95.3% 80.6%
Anfang der Th.	n	1621	1704	1644	1688	1303	7960
	%	100.0%	100.0%	100.0%	100.0%	100.0%	100.0% 100.0%
Ende der Th.*	n	1581	1665	1583	1623	1134	7586
	%	97.6%	97.7%	96.3%	96.1%	87.0%	95.3% 80.6%
Typ d. syst. Th.	n	1621	1704	1644	1688	1303	7960
	%	100.0%	100.0%	100.0%	100.0%	100.0%	100.0% 100.0%
Th.protokoll / Subs.	n	1614	1685	1628	1678	1293	7898
	%	99.6%	98.9%	99.0%	99.4%	99.2%	99.2% 99.1%
Therapieintention	n	1615	1698	1637	1684	1298	7932
	%	99.6%	99.6%	99.6%	99.8%	99.6%	99.6% 99.4%
Stellung zur OP	n	1614	1686	1628	1678	1293	7899
	%	99.6%	98.9%	99.0%	99.4%	99.2%	99.2% 98.9%
Nebenwirkungen*	n	449	605	827	849	499	3229
	%	27.7%	35.5%	50.3%	50.3%	38.3%	40.6% 21.2%
Therapieabschluss	n	1583	1648	1570	1521	1061	7383
	%	97.7%	96.7%	95.5%	90.1%	81.4%	92.8% 78.9%

Anmerkung: aktueller Datenstand vom 31.10.2025

* n des Merkmals weicht von Gesamt n ab

9.3. Tumoreigenschaften

Im Abschnitt **Tumoreigenschaften** wird Ihnen für die Patienten mit Tumordiagnosen der Tumorentitätengruppe **C30-C39 - Atmungsorgane u. sonst. intrathor. Org.** Ihrer Einrichtung u. a. die Histologien, Klassifizierungen

und Metastasen dargestellt. Bei den Analysen wird der 5-Jahres Berichtszeitraum von **2020 bis 2024** betrachtet.

9.3.1 Tumordiagnose (nach ICD-10)

Die Tumordiagnosen werden in diesem Unterabschnitt basierend auf der 5-stelligen ICD-10 beschrieben. **Tabelle 9.6** umfasst die absolute und relative Häufigkeiten der Tumorentitäten beruhend auf dem Jahr der Erstdiagnose für die einzelnen Berichtsjahre und dem Zeitraum (2020 bis 2024). Die prozentualen Angaben in diesen Spalten beziehen sich auf die Gesamtanzahl an Tumorfällen Ihrer Einrichtung. Zudem zeigt Ihnen **Tabelle 9.6** in Spalte *REF* den prozentualen Anteil Ihrer Einrichtung an den entsprechenden Gesamtzahlen der in der Referenz diagnostizierten Tumorfälle.

Tabelle 9.6: ICD-10 - Absolute und relative Häufigkeiten der Tumorentitäten im Zeitverlauf (basierend auf Diagnosejahr)

ICD-10 (Diagnose)	2020	2021	2022	2023	2024	Gesamt	REF
C30 - Nasenhöhle u. Mittelohr	C30.0	7 (0.4%)	6 (0.4%)	8 (0.5%)	12 (0.7%)	15 (1.1%)	48 (0.6%) 18.2%
	C30.1	-	-	1 (0.1%)	-	1 (0.1%)	2 (0.0%) 13.3%
	gesamt	7 (0.4%)	6 (0.4%)	9 (0.5%)	12 (0.7%)	16 (1.2%)	50 (0.6%) 17.9%
C31 - Nasennebenhöhlen	C31.0	4 (0.3%)	2 (0.1%)	1 (0.1%)	3 (0.2%)	4 (0.3%)	14 (0.2%) 19.7%
	C31.1	-	-	-	1 (0.1%)	1 (0.1%)	2 (0.0%) 13.3%
	C31.2	-	-	-	1 (0.1%)	-	1 (0.0%) 33.3%
C31 - Nasennebenhöhlen	C31.3	-	-	1 (0.1%)	-	-	1 (0.0%) 11.1%
	C31.8	2 (0.1%)	2 (0.1%)	2 (0.1%)	4 (0.2%)	-	10 (0.1%) 25.6%
	C31.9	1 (0.1%)	1 (0.1%)	2 (0.1%)	1 (0.1%)	-	5 (0.1%) 20.0%
C32 - Larynx	gesamt	7 (0.4%)	5 (0.3%)	6 (0.4%)	10 (0.6%)	5 (0.4%)	33 (0.4%) 20.4%
	C32.0	19 (1.2%)	22 (1.3%)	19 (1.2%)	17 (1.0%)	22 (1.6%)	99 (1.3%) 13.1%
	C32.1	7 (0.4%)	17 (1.0%)	4 (0.2%)	12 (0.7%)	16 (1.2%)	56 (0.7%) 18.0%
C32 - Larynx	C32.2	-	2 (0.1%)	1 (0.1%)	1 (0.1%)	-	4 (0.1%) 11.8%
	C32.3	-	-	-	1 (0.1%)	-	1 (0.0%) 8.3%
	C32.8	11 (0.7%)	2 (0.1%)	3 (0.2%)	6 (0.4%)	10 (0.7%)	32 (0.4%) 16.7%
C32 - Larynx	C32.9	2 (0.1%)	4 (0.2%)	3 (0.2%)	4 (0.2%)	5 (0.4%)	18 (0.2%) 13.2%
	gesamt	39 (2.5%)	47 (2.8%)	30 (1.8%)	41 (2.5%)	53 (3.9%)	210 (2.7%) 14.6%
C33 - Trachea	C33	-	3 (0.2%)	1 (0.1%)	-	-	4 (0.1%) 14.8%
	gesamt	-	3 (0.2%)	1 (0.1%)	-	-	4 (0.1%) 14.8%
C34 - Bronchien u. Lunge	C34.0	126 (8.0%)	147 (8.9%)	136 (8.3%)	155 (9.5%)	95 (7.0%)	659 (8.4%) 30.3%
	C34.1	755 (48.0%)	749 (45.1%)	771 (47.0%)	810 (49.6%)	649 (47.6%)	3734 (47.5%) 31.4%
	C34.2	77 (4.9%)	81 (4.9%)	82 (5.0%)	67 (4.1%)	54 (4.0%)	361 (4.6%) 34.3%
C34 - Bronchien u. Lunge	C34.3	423 (26.9%)	488 (29.4%)	462 (28.2%)	437 (26.8%)	390 (28.6%)	2200 (28.0%) 33.9%
	C34.8	81 (5.2%)	76 (4.6%)	85 (5.2%)	61 (3.7%)	48 (3.5%)	351 (4.5%) 23.7%
	C34.9	43 (2.7%)	45 (2.7%)	51 (3.1%)	24 (1.5%)	35 (2.6%)	198 (2.5%) 6.3%
C37 - Thymus	gesamt	1505 (95.7%)	1586 (95.5%)	1587 (96.8%)	1554 (95.2%)	1271 (93.3%)	7503 (95.4%) 28.5%
	C37	11 (0.7%)	9 (0.5%)	6 (0.4%)	13 (0.8%)	15 (1.1%)	54 (0.7%) 21.9%
	gesamt	11 (0.7%)	9 (0.5%)	6 (0.4%)	13 (0.8%)	15 (1.1%)	54 (0.7%) 21.9%
C38 - Mediastinum u. Pleura	C38.0	-	1 (0.1%)	-	-	-	1 (0.0%) 14.3%
	C38.1	1 (0.1%)	1 (0.1%)	-	-	-	2 (0.0%) 9.5%
	C38.3	2 (0.1%)	1 (0.1%)	-	-	1 (0.1%)	4 (0.1%) 9.1%
	C38.4	-	1 (0.1%)	1 (0.1%)	2 (0.1%)	2 (0.1%)	6 (0.1%) 15.4%
	gesamt	3 (0.2%)	4 (0.2%)	1 (0.1%)	2 (0.1%)	3 (0.2%)	13 (0.2%) 11.1%
GESAMT	GESAMT	1572	1660	1640	1632	1363	7867 27.5%

Anmerkung: aktueller Datenstand: 31.10.2025

9.3.2 Histologie

Die nachfolgenden Analysen umfassen sowohl eine Kategorisierung der Tumoren nach deren dokumentierter Histologie (Hauptklassen nach *ENCR 2017* und *NCT 2018*) sowie das Vorkommen dieser **Histologie-Hauptklassen** (bspw. Karzinome) innerhalb der fünf am häufigsten vorkommenden Entitäten innerhalb der Tumorentitätengruppe **C30-C39 - Atmungsorgane u. sonst. intrathor. Org.** Ihrer Einrichtung. Zudem werden die **Histologie-Hauptklassen** nach den vorhandenen Histologie-Gruppen (nach *ENCR 2017* und *NCT 2018*) und die Verteilung der Histologie-Schlüssel (nach *ICD-O*) für die vorkommenden Tumorentitäten (nach *ICD-10*) tabellarisch dargestellt.

Der folgenden Tabellen beschreiben Ihnen die Tumorfälle (aufgeschlüsselt nach *ICD-10*), die in Ihrer Einrichtung im 5-Jahres Berichtszeitraum (2020 bis 2024) diagnostiziert oder im Rahmen der Primärtherapie behandelt worden sind, nach deren **Histologie** (Histologie-Schlüssel nach *ICD-O*).

Als Referenz zur Kategorisierung der Histologie-Schlüssel wurden verwendet:

- ENCR 2017 - Ardanaz et. al.: Working Group ENCR guidelines for reporting of multiple primary malignant (invasive) neoplasms - ENCR Multiple primary rules version 4
- NCT 2018 - Adzersen u. Schäfer: Handbuch der allgemeinen Tumordokumentation, 7. Auflage

Tabelle 9.7: Histologie-Übersicht für C34 - Bronchien u. Lunge - absolute Häufigkeiten der Tumorhistologien stratifiziert (nach ENCR 2017, NCT 2018) für einzelne Berichtsjahre

Gruppe	Histologie-Schlüssel	2020	2021	2022	2023	2024	Gesamt
Karzinome							
Plattenepi.- u. Überg.zell-Ca.	8070/2: Plattenepithel-Carcinoma in situ o.n.A.	0	0	1	0	0	1
Plattenepi.- u. Überg.zell-Ca.	8070/3: Plattenepithelkarzinom o.n.A.	213	159	150	139	173	834
Plattenepi.- u. Überg.zell-Ca.	8070/6: Plattenepithelkarzinom-Met. o.n.A.	9	5	5	10	8	37
Plattenepi.- u. Überg.zell-Ca.	8071/3: Verhorrendes PE-Karzinom o.n.A.	31	37	26	39	15	148
Plattenepi.- u. Überg.zell-Ca.	8072/3: Großzell. n. verh. PE-Karzinom o.n.A.	99	162	153	154	82	650
Plattenepi.- u. Überg.zell-Ca.	8073/3: Kleinzelliges n. verh. PE-Karzinom	1	2	0	0	0	3
Plattenepi.- u. Überg.zell-Ca.	8074/3: Spindelzelliges PE-Karzinom	1	1	1	0	0	3
Plattenepi.- u. Überg.zell-Ca.	8078/3: PE-Karzinom mit Hornbildung	1	0	0	0	0	1
Plattenepi.- u. Überg.zell-Ca.	8083/3: Basaloïdes Plattenepithelkarzinom	4	2	2	2	1	11
Plattenepi.- u. Überg.zell-Ca.	Total	359	368	338	344	279	1688
Adenokarzinome	8140/2: Adenocarcinoma in situ o.n.A.	0	0	0	1	0	1
Adenokarzinome	8140/3: Adenokarzinom o.n.A.	516	432	530	519	478	2475
Adenokarzinome	8140/6: Adenokarzinom-Metastase o.n.A.	77	90	79	62	61	369
Adenokarzinome	8144/3: Adenokarzinom vom intestinalen Typ	0	0	2	0	0	2
Adenokarzinome	8190/3: Trabekuläres Adenokarzinom	0	0	0	1	0	1
Adenokarzinome	8200/3: Adenoid-zystisches Karzinom	2	2	1	0	0	5
Adenokarzinome	8211/3: Tubuläres Adenokarzinom	0	1	0	0	0	1
Adenokarzinome	8230/3: Solides Karzinom o.n.A.	28	57	47	59	23	214
Adenokarzinome	8251/3: Alveoläres Adenokarzinom	1	0	0	0	0	1
Adenokarzinome	8255/3: Adenokarzinom mit gemischten Subtypen	0	0	1	0	3	4
Adenokarzinome	8260/3: Papilläres Adenokarzinom o.n.A.	14	20	16	17	8	75
Adenokarzinome	8265/3: Mikropapilläres Karzinom o.n.A.	2	7	6	3	3	21
Adenokarzinome	8310/3: Klarzelliges Adenokarzinom o.n.A.	0	1	0	0	0	1
Adenokarzinome	8323/3: Gemischzelliges Adenokarzinom	0	13	0	1	0	14
Adenokarzinome	8330/3: Follikuläres Adenokarzinom o.n.A.	0	0	0	0	1	1
Adenokarzinome	8333/3: Fetales Adenokarzinom	1	0	0	1	0	2
Adenokarzinome	8480/3: Muzinöses Adenokarzinom	9	10	3	3	4	29
Adenokarzinome	8480/6: Pseudomyxoma peritonei	1	0	0	0	0	1
Adenokarzinome	8481/3: Schleimbildendes Adenokarzinom	1	1	0	0	1	3
Adenokarzinome	8490/3: Siegelringzellkarzinom	1	0	1	0	1	3
Adenokarzinome	8500/3: Invasives duktales Karzinom o.n.A.	0	0	1	0	0	1
Adenokarzinome	8550/3: Azinuszellkarzinom	22	33	9	0	1	65
Adenokarzinome	8551/3: Azinuszell-Zystadenokarzinom	14	47	44	64	29	198
Adenokarzinome	8572/3: Adenokarzinom mit Spindelzellmetaplasie	0	0	1	0	0	1
Adenokarzinome	8574/3: Adenokarzinom m. neuroendokr. Diff.	0	0	0	2	0	2

Tabelle 9.7: Histologie-Übersicht für C34 - Bronchien u. Lunge - absolute Häufigkeiten der Tumorhistologien stratifiziert (nach ENCR 2017, NCT 2018) für einzelne Berichtsjahre (continued)

Gruppe	Histologie-Schlüssel	2020	2021	2022	2023	2024	Gesamt	
Adenokarzinome	Total	689	714	741	733	613	3490	
andere n.b. Karzinome	8030/3: Riesenzell- und Spindelzellkarzinom	0	1	0	0	0	1	
andere n.b. Karzinome	8031/3: Riesenzellkarzinom	0	1	0	0	0	1	
andere n.b. Karzinome	8032/3: Spindelzellkarzinom o.n.A.	3	1	0	0	1	5	
andere n.b. Karzinome	8033/3: Pseudosarkomatöses Karzinom	4	8	6	8	8	34	
andere n.b. Karzinome	8046/3: Nichtkleinzelliges Karzinom	60	52	44	24	25	205	
andere n.b. Karzinome	8430/3: Mukoepidermoid-Karzinom	0	0	1	0	1	2	
andere n.b. Karzinome	8560/3: Adenosquamöses Karzinom	11	17	20	18	13	79	
andere n.b. Karzinome	8562/3: Epithelial-myoepitheliales Karzinom	0	0	1	2	1	4	
andere n.b. Karzinome	8980/3: Karzinosarkom o.n.A.	2	3	4	0	0	9	
andere n.b. Karzinome	Total	80	83	76	52	49	340	
n.n.b. Karzinome	8010/3: Karzinom o.n.A.	16	14	8	12	4	54	
n.n.b. Karzinome	8010/6: Karzinom-Metastase o.n.A.	8	9	3	3	2	25	
n.n.b. Karzinome	8010/9: Karzinomatose	1	2	1	1	1	6	
n.n.b. Karzinome	8012/3: Großzelliges Karzinom o.n.A.	13	15	15	9	9	61	
n.n.b. Karzinome	8020/3: Undifferenziertes Karzinom o.n.A.	1	1	0	1	0	3	
n.n.b. Karzinome	8022/3: Pleomorphes Karzinom	5	14	18	10	9	56	
n.n.b. Karzinome	8050/3: Papilläres Karzinom o.n.A.	0	0	0	0	1	1	
n.n.b. Karzinome	Total	44	55	45	36	26	206	
	Total	1172	1220	1200	1165	967	5724	
neuroendokrine T.								
neuroendokrine T.	8013/3: Großzell. Neuroendokr. Karzinom	24	25	31	40	24	144	
neuroendokrine T.	8041/3: Kleinzell. Karzinom o.n.A.	170	177	205	173	129	854	
neuroendokrine T.	8042/3: Haferzell-Karzinom	0	0	1	1	0	2	
neuroendokrine T.	8043/3: Kleinzell. Spindelzell. Karzinom	0	1	0	0	1	2	
neuroendokrine T.	8044/3: Kleinzell. Karzinom v.	0	1	2	1	2	6	
neuroendokrine T.	Intermediärtyp	8045/3: Komb. Kleinzell. Karzinom	10	21	16	13	15	75
neuroendokrine T.	8243/3: Becherzellkarzinoid	0	0	0	1	0	1	
neuroendokrine T.	8244/3: Gem. adeno-neuroendokr.	0	1	0	1	0	2	
neuroendokrine T.	Karzinom	8246/3: Neuroendokrines Karzinom o.n.A.	4	4	2	1	1	12
neuroendokrine T.	Total	208	230	257	231	172	1098	
	Total	208	230	257	231	172	1098	
Sarkome u. Weichgewebetumoren								
andere n.b. Sarkome	8805/3: Undifferenziertes Sarkom	1	0	0	0	0	1	
andere n.b. Sarkome	Total	1	0	0	0	0	1	
n.n.b. Sarkome	8801/3: Spindelzellsarkom	1	0	0	1	0	2	
n.n.b. Sarkome	8802/3: Riesenzyllensarkom	0	0	0	1	0	1	
n.n.b. Sarkome	8803/3: Kleinzyllenges Sarkom	0	0	0	1	0	1	
n.n.b. Sarkome	Total	1	0	0	3	0	4	
	Total	2	0	0	3	0	5	
Andere Tumorarten								
n.n.b. Tumorarten	8000/6: Neoplasie, Metastase	0	0	1	4	2	7	
n.n.b. Tumorarten	8002/3: Kleinzylliger maligner T.	0	1	0	0	0	1	
n.n.b. Tumorarten	Total	0	1	1	4	2	8	
	Total	0	1	1	4	2	8	

Tabelle 9.8: Histologie-Übersicht für C32 - Larynx - absolute Häufigkeiten der Tumorhistologien stratifiziert (nach ENCR 2017, NCT 2018) für einzelne Berichtsjahre

Gruppe	Schlüssel	2020	2021	2022	2023	2024	Gesamt
Karzinome							
Plattenepi.- u. Überg.zell-Ca.	8070/2: Plattenepithel-Carcinoma in situ o.n.A.	0	1	0	0	0	1
Plattenepi.- u. Überg.zell-Ca.	8070/3: Plattenepithelkarzinom o.n.A.	25	31	22	13	25	116
Plattenepi.- u. Überg.zell-Ca.	8070/6: Plattenepithelkarzinom-Met. o.n.A.	0	1	0	0	1	2
Plattenepi.- u. Überg.zell-Ca.	8071/3: Verhorrendes PE-Karzinom o.n.A.	9	9	8	18	21	65
Plattenepi.- u. Überg.zell-Ca.	8072/3: Großzell. n. verh. PE-Karzinom o.n.A.	3	3	0	4	4	14
Plattenepi.- u. Überg.zell-Ca.	8074/3: Spindelzelliges PE-Karzinom o.n.A.	0	0	0	1	0	1
Plattenepi.- u. Überg.zell-Ca.	8083/3: Basaloïdes Plattenepithelkarzinom	1	0	0	0	0	1
Plattenepi.- u. Überg.zell-Ca.	8086/3: Plattenepithelkarzinom, HPV-negativ	0	0	0	1	0	1

Tabelle 9.8: Histologie-Übersicht für C32 - Larynx - absolute Häufigkeiten der Tumorhistologien stratifiziert (nach ENCR 2017, NCT 2018) für einzelne Berichtsjahre (continued)

Gruppe	Schlüssel	2020	2021	2022	2023	2024	Gesamt
Plattenepi.- u. Überg.zell-Ca.	Total	38	45	30	37	51	201
Adenokarzinome	8140/6: Adenokarzinom-Metastase o.n.A.	1	0	0	0	0	1
Adenokarzinome	8200/3: Adenoid-zystisches Karzinom	0	0	0	0	1	1
Adenokarzinome	8550/3: Azinuszellkarzinom	0	0	0	0	1	1
Adenokarzinome	Total	1	0	0	0	2	3
andere n.b. Karzinome	8560/3: Adenosquamöses Karzinom	0	0	0	1	0	1
andere n.b. Karzinome	Total	0	0	0	1	0	1
		39	45	30	38	53	205
neuroendokrine T.							
neuroendokrine T.	8041/3: Kleinzell. Karzinom o.n.A.	0	0	0	1	0	1
neuroendokrine T.	Total	0	0	0	1	0	1
		0	0	0	1	0	1
Sarkome u. Weichgewebetumoren							
Chondrosarkom	9220/3: Chondrosarkom o.n.A.	0	1	0	0	0	1
Chondrosarkom	Total	0	1	0	0	0	1
		0	1	0	0	0	1

Tabelle 9.9: Histologie-Übersicht für C37 - Thymus - absolute Häufigkeiten der Tumorhistologien stratifiziert (nach ENCR 2017, NCT 2018) für einzelne Berichtsjahre

Gruppe	Schlüssel	2020	2021	2022	2023	2024	Gesamt
Karzinome							
Plattenepi.- u. Überg.zell-Ca.	8070/3: Plattenepithelkarzinom o.n.A.	1	1	1	0	0	3
Plattenepi.- u. Überg.zell-Ca.	8071/3: Verhorndes PE-Karzinom o.n.A.	1	0	0	0	0	1
Plattenepi.- u. Überg.zell-Ca.	8072/3: Großzell. n. verh. PE-Karzinom o.n.A.	0	0	0	1	1	2
Plattenepi.- u. Überg.zell-Ca.	8123/3: Basaloïdkarzinom	0	0	0	0	1	1
Plattenepi.- u. Überg.zell-Ca.	Total	2	1	1	1	2	7
Adenokarzinome	8140/3: Adenokarzinom o.n.A.	0	1	0	0	0	1
Adenokarzinome	Total	0	1	0	0	0	1
n.n.b. Karzinome	8010/3: Karzinom o.n.A.	0	0	0	1	0	1
n.n.b. Karzinome	Total	0	0	0	1	0	1
		2	2	1	2	2	9
Thymome							
Thymome	8586/3: Thymuskarzinom o.n.A.	0	0	1	1	1	3
Thymome	Total	0	0	1	1	1	3
		0	0	1	1	1	3

Tabelle 9.10: Histologie-Übersicht für C30 - Nasenhöhle u. Mittelohr - absolute Häufigkeiten der Tumorhistologien stratifiziert (nach ENCR 2017, NCT 2018) für einzelne Berichtsjahre

Gruppe	Schlüssel	2020	2021	2022	2023	2024	Gesamt
Karzinome							
Plattenepi.- u. Überg.zell-Ca.	8070/3: Plattenepithelkarzinom o.n.A.	0	2	1	6	8	17
Plattenepi.- u. Überg.zell-Ca.	8071/3: Verhorndes PE-Karzinom o.n.A.	2	1	2	4	2	11
Plattenepi.- u. Überg.zell-Ca.	8072/3: Großzell. n. verh. PE-Karzinom o.n.A.	0	0	1	0	1	2
Plattenepi.- u. Überg.zell-Ca.	Total	2	3	4	10	11	30
Adenokarzinome	8140/3: Adenokarzinom o.n.A.	0	0	0	0	1	1
Adenokarzinome	8144/3: Adenokarzinom vom intestinalen Typ	0	0	0	0	1	1
Adenokarzinome	Total	0	0	0	0	2	2
andere n.b. Karzinome	8430/3: Mukoepidermoid-Karzinom	0	0	1	0	0	1
andere n.b. Karzinome	Total	0	0	1	0	0	1
n.n.b. Karzinome	8010/3: Karzinom o.n.A.	0	0	2	0	1	3
n.n.b. Karzinome	8020/3: Undifferenziertes Karzinom o.n.A.	1	0	0	1	0	2
n.n.b. Karzinome	Total	1	0	2	1	1	5
		3	3	7	11	14	38
Melanome							
Melanome	8720/3: Malignes Melanom o.n.A.	1	2	2	0	0	5

Tabelle 9.10: Histologie-Übersicht für C30 - Nasenhöhle u. Mittelohr - absolute Häufigkeiten der Tumorhistologien stratifiziert (nach ENCR 2017, NCT 2018) für einzelne Berichtsjahre (continued)

Gruppe	Schlüssel	2020	2021	2022	2023	2024	Gesamt
Melanome	Total	1	2	2	0	0	5
Total		1	2	2	0	0	5
Tumoren des ZNS							
Neuro./gem.-neuro.-gliale T.	9522/3: Olfaktorius-Neuroblastom	1	1	0	1	2	5
Neuro./gem.-neuro.-gliale T.	Total	1	1	0	1	2	5
Total		1	1	0	1	2	5

Tabelle 9.11: Histologie-Übersicht für C31 - Nasennebenhöhlen - absolute Häufigkeiten der Tumorhistologien stratifiziert (nach ENCR 2017, NCT 2018) für einzelne Berichtsjahre

Gruppe	Schlüssel	2020	2021	2022	2023	2024	Gesamt
Karzinome							
Plattenepi.- u. Überg.zell-Ca.	8051/3: Verruköses Karzinom o.n.A.	0	0	0	0	1	1
Plattenepi.- u. Überg.zell-Ca.	8070/3: Plattenepithelkarzinom o.n.A.	2	1	1	2	1	7
Plattenepi.- u. Überg.zell-Ca.	8071/3: Verhorrendes PE-Karzinom o.n.A.	3	0	0	2	0	5
Plattenepi.- u. Überg.zell-Ca.	8072/3: Großzell. n. verh. PE-Karzinom o.n.A.	0	1	0	3	0	4
Plattenepi.- u. Überg.zell-Ca.	8083/3: Basaloides Plattenepithelkarzinom	0	1	0	1	0	2
Plattenepi.- u. Überg.zell-Ca.	8085/3: Plattenepithelkarzinom, HPV-positiv	0	0	1	0	0	1
Plattenepi.- u. Überg.zell-Ca.	Total	5	3	2	8	2	20
Adnex- u. Hautanhangsneopl.	8420/3: Zeruminaladenokarzinom	0	0	0	1	0	1
Adnex- u. Hautanhangsneopl.	Total	0	0	0	1	0	1
Adenokarzinome	8200/3: Adenoid-zystisches Karzinom	0	0	1	0	2	3
Adenokarzinome	Total	0	0	1	0	2	3
n.n.b. Karzinome	8020/3: Undifferenziertes Karzinom o.n.A.	0	0	2	0	0	2
n.n.b. Karzinome	Total	0	0	2	0	0	2
Total		5	3	5	9	4	26
neuroendokrine T.							
neuroendokrine T.	8013/3: Großzell. Neuroendokr. Karzinom	1	0	0	0	0	1
neuroendokrine T.	8244/3: Gem. adeno-neuroendokr. Karzinom	0	1	0	0	0	1
neuroendokrine T.	8246/3: Neuroendokrines Karzinom o.n.A.	0	0	0	1	0	1
neuroendokrine T.	Total	1	1	0	1	0	3
Total		1	1	0	1	0	3
Melanome							
Melanome	8720/3: Malignes Melanom o.n.A.	1	0	0	0	0	1
Melanome	Total	1	0	0	0	0	1
Total		1	0	0	0	0	1
Sarkome u. Weichgewebetumoren							
andere n.b. Sarkome	8890/3: Leiomyosarkom o.n.A.	0	0	0	0	1	1
andere n.b. Sarkome	8920/3: Alveoläres Rhabdomyosarkom	0	0	1	0	0	1
andere n.b. Sarkome	Total	0	0	1	0	1	2
Total		0	0	1	0	1	2

9.3.3 Histopathologisches Grading und UICC-Klassifikation

Die Analyse des histopathologischen Gradings beruht auf den ermittelten **häufigsten Tumorentitäten** (nach ICD-10) (siehe **Abschnitt 7.1**). Von diesen Tumoren wurden ausschließlich die gradingpflichtigen ausgewählt (Entscheidungskriteria basierend auf ICD-10, ICD-O und Histologie), deren Diagnose histologisch oder zytologisch gesichert wurde, und bezüglich der Verteilung der Differenzierungsgrade analysiert.

Folgende Differenzierungsgrade wurden ausgewertet:

- **G1** -> gut differenziert
- **G2** -> mäßig differenziert
- **G3** -> schlecht differenziert
- **G4** -> undifferenziert
- **GX** -> unbekannt

Abbildung 9.1 gibt Ihnen für die häufigsten Tumorfälle Ihrer Einrichtung einen Überblick über die absolute und relative Häufigkeiten der Differenzierungsgrade des histopathologischen Gradings für die betrachteten Tumorfälle von gradingpflichtigen Tumorentitäten. Im Gegensatz zu **Abbildung 9.1 a)** ist in **Abbildung 9.1 b)** das Grading (absolute und relative Häufigkeiten) **ohne** die Fälle mit fehlender Angabe zu den Differenzierungsgraden dargestellt.

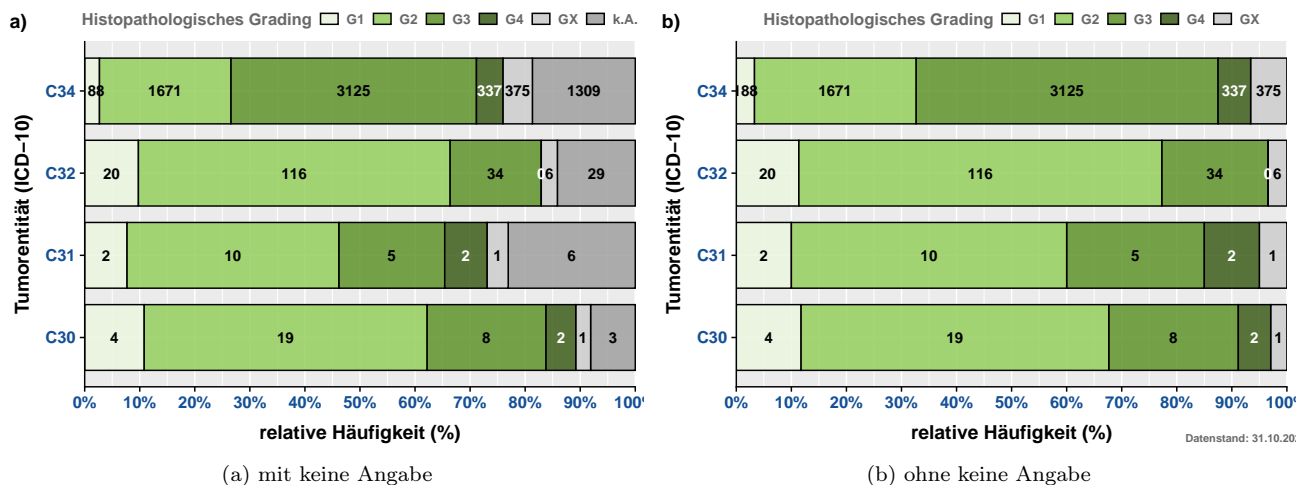


Abbildung 9.1: Histopathologisches Grading für den 5-Jahres Berichtszeitraum (2020 - 2024) - absolute und relative Häufigkeiten der Differenzierungsgrade

9.3.4 UICC-Klassifikation

Die Beschreibung der Stadienverteilung nach UICC beruht auf den ermittelten invasiven Tumorentitäten (nach ICD-10). Von diesen Tumoren wurden ausschließlich die TNM-pflichtigen ausgewählt (Entscheidungskriteria basierend auf ICD-10, ICD-O und Histologie) und bezüglich der Verteilung der Stadien analysiert. In der Auswertung wurden vorrangig pathologische UICC-Stadien verwendet. Lag aufgrund neoadjuvanter oder nicht operativer Behandlungen die pathologische Variante nicht vor, wurde in der Berechnung auf die klinischen UICC-Stadien zurückgegriffen.

Die folgende Abbildung gibt Ihnen einen Überblick über die absoluten und relativen Häufigkeiten der einzelnen Stadien nach UICC für die betrachteten Fälle von TNM-pflichtigen Tumorentitäten (Tumorentitätengruppen nach ICD-10).

9.3.5 Staging

Die Beschreibung der TNM-Verteilung beruht auf den ermittelten häufigsten invasiven Tumorentitäten und wird in der folgenden Abbildung dargestellt. Von diesen Tumoren wurden ausschließlich die TNM-pflichtigen ausgewählt und analysiert (Entscheidungskriteria basierend auf ICD-10, ICD-O und Histologie). In der Auswertung

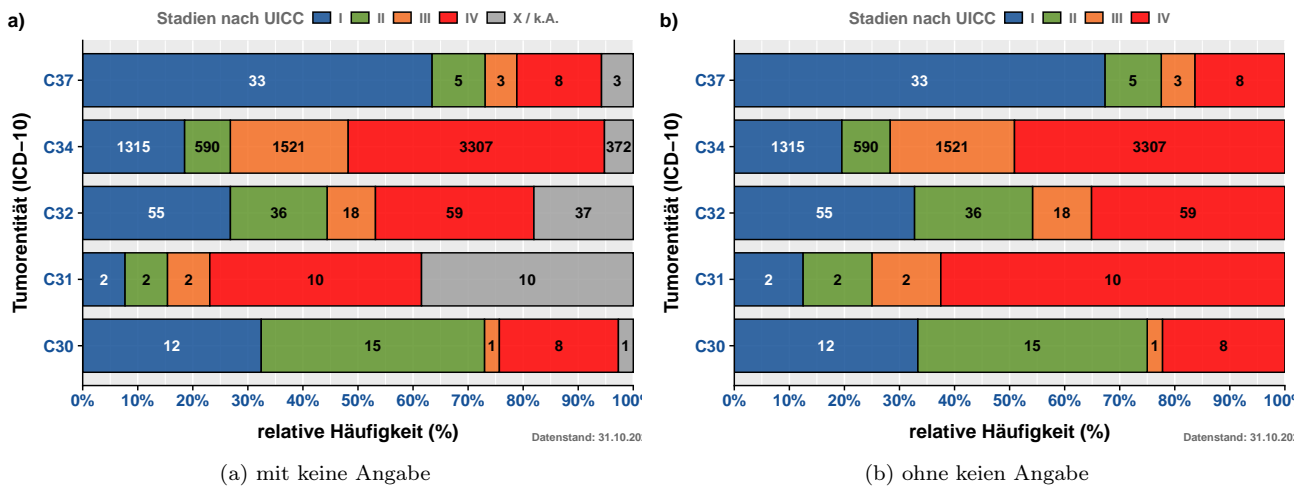


Abbildung 9.2: Stadienverteilung nach UICC für invasive Tumorentitäten (TNM-pflichtig) für den 5-Jahres Berichtszeitraum (2020 - 2024) - absolute und relative Häufigkeiten der Differenzierungsgrade

wurden vorrangig pathologische TNM-Kategorien verwendet. Lag aufgrund neoadjuvanter oder nicht operativer Behandlungen die pathologische Variante nicht vor, wurde in der Berechnung auf die klinischen TNM-Kategorien zurückgegriffen.

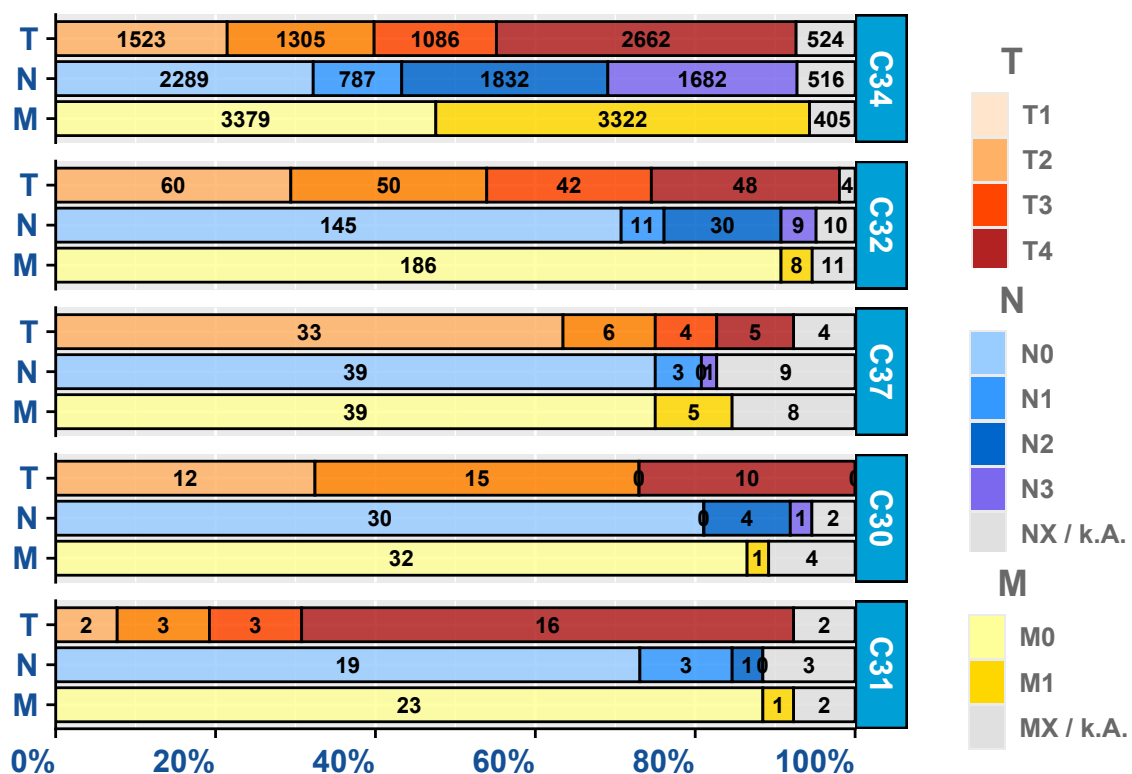


Abbildung 9.3: TNM - Verteilung der TNM-Kategorien der 10 häufigsten invasiven Tumorentitätengruppen (TNM-pflichtig)

9.3.6 Primäre Metastasierung

In diesem Abschnitt wird die primäre Metastasierung Ihrer Tumorfälle analysiert. Primäre Metastasierung umfasst Metastasen, die innerhalb von 92 Tagen nach Diagnosestellung aufgetreten sind. **Tabelle 9.12** listet die primär metastasierten Tumorfälle für die häufigsten Tumorentitäten (ICD-10) auf.

Tabelle 9.12: Absolute und relative Häufigkeiten der Tumorfälle mit primärer Metastasierung nach ICD-10 und Zeitraum

ICD-10 (Diagnose)	Berichtsjahr					GESAMT
	2020	2021	2022	2023	2024	
C30 - Nasenhöhle u. Mittelohr	1 (0.1%)	1 (0.1%)	1 (0.1%)	-	-	3 (0.1%)
C31 - Nasennebenhöhlen	-	-	-	1 (0.1%)	-	1 (0.0%)
C32 - Larynx	1 (0.1%)	1 (0.1%)	1 (0.1%)	1 (0.1%)	3 (0.5%)	7 (0.2%)
C33 - Trachea	-	-	-	-	-	-
C34 - Bronchien u. Lunge	741 (99.5%)	770 (99.4%)	788 (99.7%)	754 (99.5%)	587 (99.0%)	3640 (99.4%)
C37 - Thymus	2 (0.3%)	1 (0.1%)	-	1 (0.1%)	1 (0.2%)	5 (0.1%)
C38 - Mediastinum u. Pleura	-	2 (0.3%)	-	1 (0.1%)	2 (0.3%)	5 (0.1%)
GESAMT	745	775	790	758	593	3661

Anmerkung: aktueller Datenstand: 31.10.2025

Tabelle 9.13 zeigt die absolute Häufigkeit der Lokalisationen der primären Fernmetastasen.

Tabelle 9.13: Absolute Häufigkeit der Lokalisation primärer Metastasen (stratifiziert nach ICD-10)

Lokalisation	C31	C34	C38	C37	C32	C30	n
GEN Generalisierte Metastasierung	0	11	0	0	0	0	11
SKI Hautmetastasen	0	41	0	0	0	0	41
BRA Hirnmetastasen	0	951	0	1	0	0	952
MAR Knochenmarkmetastasen	0	14	0	0	0	0	14
OSS Knochenmetastasen	1	1304	1	0	3	0	1309
HEP Lebermetastasen	1	928	1	0	1	0	931
PUL Lungenmetastasen	1	1108	1	2	3	2	1117
LYM Lymphknotenmetastasen	1	713	1	0	3	1	719
OTH Metastasen in anderen Organen	0	548	1	1	0	1	551
SPL Milzmetastasen	0	6	0	0	0	0	6
ADR Nebennierenmetastasen	1	889	1	0	0	0	891
PER Peritoneummetastasen	0	78	0	0	0	0	78
PLE Pleurametastasen	0	912	4	4	0	0	920
gesamt	5	7503	10	8	10	4	7540

Anmerkung: aktueller Datenstand: 31.10.2025

9.4. Patientenstruktur

Im Abschnitt Patientenstruktur wird Ihnen für die Patienten mit Tumordiagnosen C30-C39 - Atmungsorgane u. sonst. intrathor. Org. das Geschlechterverhältnis, die Altersstruktur sowie die Herkunft der Fälle zum Zeitpunkt der Diagnose dargestellt. Dabei wird der 5-Jahres Berichtszeitraum von **2020 bis 2024** betrachtet.

Abbildung 9.4 zeigt Ihnen die absolute Häufigkeit der betrachteten Tumorfälle aufgesplittet nach Geschlecht (männlich / weiblich) und Tumorentität (ICD-10). Abgebildet sind die in Ihrer Einrichtung aufgetretenen invasiven Tumorentitäten der Berichtsjahre 2020 bis 2024 (basierend auf dem Diagnosejahr).

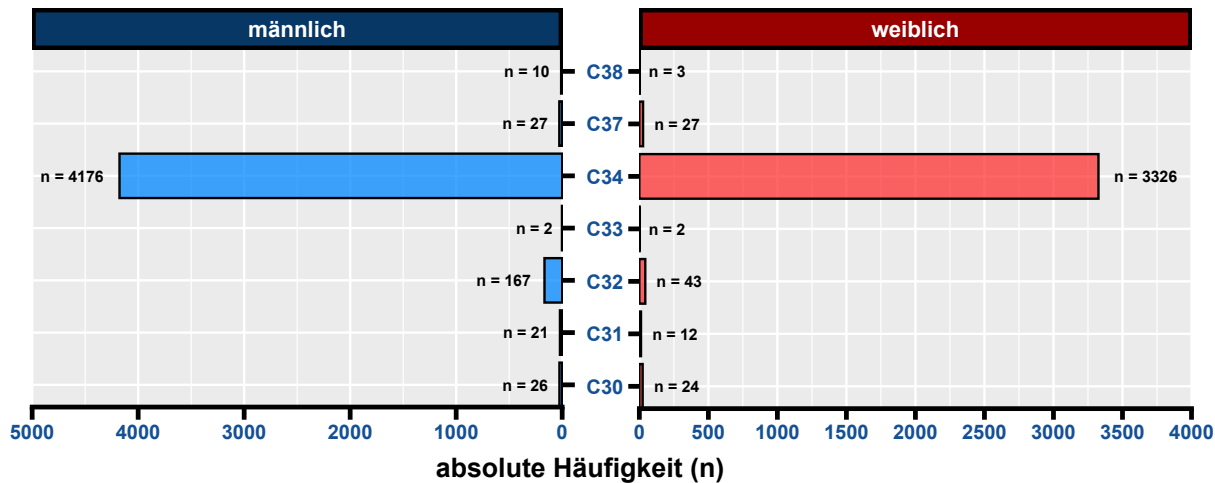


Abbildung 9.4: Geschlechterverhältnis (männlich / weiblich) der Tumorfälle für die Tumorentitäten (nach ICD-10) 5-Jahres Berichtszeitraum (2020 - 2024)

Abbildung 9.5 veranschaulicht Ihnen die Altersverteilung der Tumorentitäten (nach ICD-10) für Männer und Frauen.

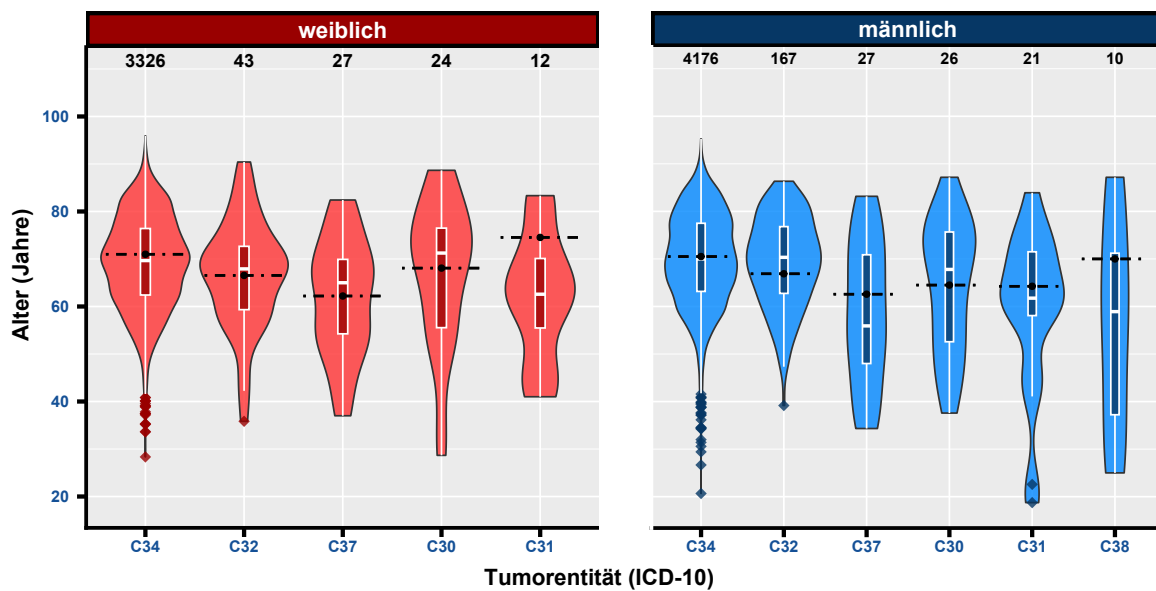


Abbildung 9.5: Altersverteilung der vorkommenden Tumorentitäten (nach ICD-10) je Geschlecht

9.4.1 Herkunft

Das Patientenkollektiv Ihrer Einrichtung stammt, basierend auf dem Wohnort zum Zeitpunkt der Diagnose, aus **14 Bundesländern**. Dabei kommen **5.987** Fälle aus dem Bundesland Berlin und **1.748** Fälle aus dem Bundesland Brandenburg. Aus dem Bundesland Mecklenburg-Vorpommern kommen mit **49** Fällen die meisten Patienten, die nicht in der Region Brandenburg-Berlin zum Zeitpunkt der Diagnose wohnhaft waren. Die folgenden kartographischen Darstellungen stellen Ihnen den Wohnort zum Zeitpunkt der Diagnose Ihrer Patienten detaillierter dar (wenn mindestens 25 Tumorfälle vorliegen). Für Patienten aus dem Bundesland Brandenburg werden die Zahlen (prozentual) auf Gemeindeebene, für Berliner Patienten basierend auf den Prognoseräumen (Konzept der Lebensweltlich orientierten Räumen (LOR)) erhoben. Bitte beachten Sie, dass nur Prognoseräume und Gemeinden in der Darstellung berücksichtigt werden, wenn diese mindestens 5 Tumorfälle vorweisen (**Abbildung 9.6**).

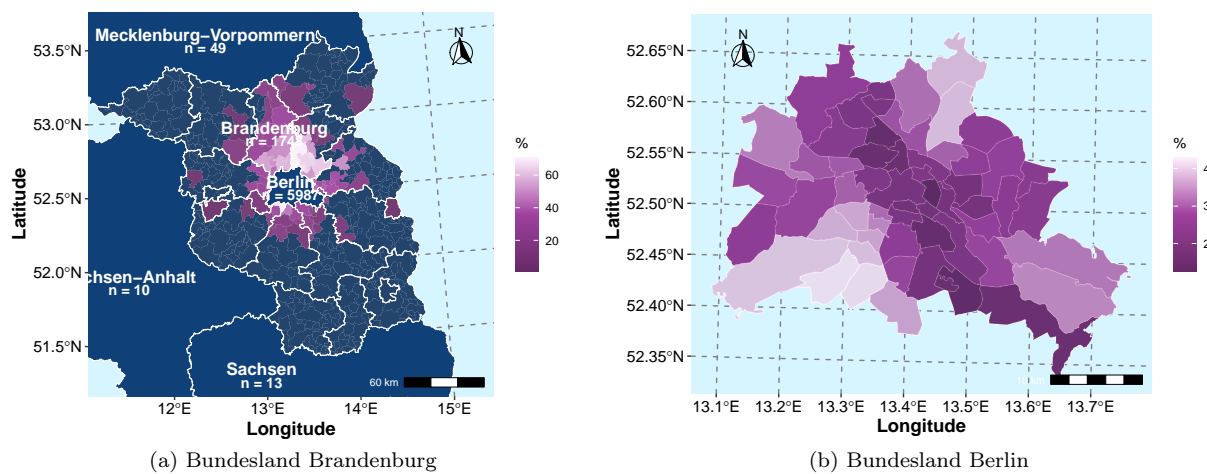


Abbildung 9.6: Prozentuale Darstellung des Wohnorts der Patienten zum Zeitpunkt der Diagnose für Brandenburg (Gemeindeebene) und Berlin (LOR) (mit mindestens 5 Fällen) - 5-Jahres Berichtszeitraum (2020 - 2024)

Tabelle 9.14 stellt Ihnen die absoluten Häufigkeiten der betrachteten Tumorfälle nach Wohnort zum Zeitpunkt der Krebsdiagnose getrennt nach Diagnosejahr (einzelne Berichtsjahre 2020 - 2024) dar. Dabei steht "BB" für Brandenburg, "BE" für Berlin und "Andere BL" für alle anderen Bundesländer.

Tabelle 9.14: Absolute Häufigkeit der Tumorfälle je Wohnort (Bundeslandebene) und pro Berichtsjahr (Diagnosejahr)

Berichtsjahr	BB	BE	Andere BL
2020	331	1212	28
2021	368	1272	20
2022	374	1230	36
2023	379	1220	33
2024	296	1053	14

Anmerkung: aktueller Datenstand: 31.10.2025

9.5. Überlebensanalysen (nach Kaplan-Meier)

Dieser Abschnitt beschreibt das absolute Überleben (Anteil der Patienten, die zu einem bestimmten Zeitpunkt nach ihrer Diagnose noch leben; basierend auf Kaplan-Meier-Schätzwerten) für Patienten Ihrer Einrichtung (diagnostiziert bzw. primärtherapiert) mit Tumordiagnosen der Gruppe **C30-C39 - Atmungsorgane u. sonst. intrathor. Org.**, stellt Vergleiche mit Ihrer entsprechenden Referenz (siehe: Beschreibung in der Einleitung) an und analysiert das Gesamtüberleben stratifiziert u. a. nach UICC-Klassifikation, Geschlecht und Alter ("18-49 Jahre", "50-74 Jahre", "75+ Jahre"). Dabei ist zu berücksichtigen, dass das Patientenkollektiv Ihrer Einrichtung sich hinsichtlich Alter, Geschlecht, ECOG, Krankheitsstadien und weiteren Tumoreigenschaften von dem anderer Einrichtungen unterscheiden kann, was die direkte Vergleichbarkeit einschränkt. Stichtag für die Überlebensberechnungen ist der 31.12.2024, das bedeutet, dass die Betrachtung der Überlebenszeit bis zu diesem Datum erfolgt, da bis zu diesem Datum von einer vollständigen Erfassung des Lebendstatus der Patientinnen und Patienten auszugehen ist.

Bei der Interpretation der Überlebensstatistiken achten Sie bitte auf folgende Punkte:

- es werden nur für invasive Tumorentitäten (C00-C97) Überlebensanalysen gerechnet
- die Kaplan-Meier-Schätzwerte beruhen auf den Daten von 01.01.2020 bis zum aktuellen Stichtag 31.12.2024
- Konfidenzintervalle, die eine große Spannweite aufweisen, deuten auf ein größere Ungenauigkeit des Kaplan-Meier-Schätzers hin
- eine geringe Fallanzahl (Gesamt oder pro untersuchte Gruppe) führt zu größeren Konfidenzintervallen

Auf Anfrage (per E-Mail an Datenauswertung@kkrbb.de) stellen wir Ihnen gerne weitere Überlebensdarstellungen und Statistiken Tumorentitäten zur Verfügung.

9.5.1 Überblick für C30-C39 - Atmungsorgane u. sonst. intrathor. Org.

Tabelle 9.15 gibt Ihnen einen Überblick über das Patientenkollektiv, für die die Überlebensanalysen gerechnet wurden. Des Weiteren finden Sie für die fünf häufigsten ICD-10 dieser Gruppe ($n \geq 50$) eine separate Auflistung der Merkmale der betrachteten Population.

Tabelle 9.15: Beschreibung des Patientenkollektivs: Charakteristika der eingeschlossenen Patienten für die Überlebensanalysen ('overall' - alle; einzelne ICD-10 ($n \geq 50$))

Variable	**Overall**, N = 7,361	**C32**, N = 171	**C34**, N = 7,074	**C37**, N = 51
Geschlecht, n (%)				
M	4,129 (56%)	137 (80%)	3,926 (55%)	26 (51%)
W	3,231 (44%)	34 (20%)	3,147 (44%)	25 (49%)
X	1 (<0.1%)	0 (0%)	1 (<0.1%)	0 (0%)
Alter bei Diagnose, Median (IQR)	70 (63, 77)	69 (61, 75)	70 (63, 77)	63 (52, 71)
Altersgruppe, n (%)				
18-49	215 (2.9%)	7 (4.1%)	188 (2.7%)	12 (24%)
50-74	4,878 (66%)	118 (69%)	4,690 (66%)	30 (59%)
75+	2,268 (31%)	46 (27%)	2,196 (31%)	9 (18%)
Diagnosejahr, n (%)				
2020	1,482 (20%)	28 (16%)	1,433 (20%)	10 (20%)
2021	1,542 (21%)	38 (22%)	1,488 (21%)	8 (16%)
2022	1,538 (21%)	25 (15%)	1,499 (21%)	5 (9.8%)
2023	1,553 (21%)	32 (19%)	1,490 (21%)	13 (25%)
2024	1,246 (17%)	48 (28%)	1,164 (16%)	15 (29%)
UICC-Klassifikation, n (%)				
I	1,462 (20%)	56 (33%)	1,356 (19%)	35 (69%)
II	658 (8.9%)	36 (21%)	600 (8.5%)	5 (9.8%)
III	1,581 (21%)	18 (11%)	1,553 (22%)	3 (5.9%)
IV	3,660 (50%)	61 (36%)	3,565 (50%)	8 (16%)
ECOG, n (%)				
0	3,161 (43%)	79 (46%)	3,014 (43%)	35 (69%)
1	2,299 (31%)	55 (32%)	2,226 (31%)	7 (14%)
2	976 (13%)	14 (8.2%)	956 (14%)	0 (0%)
3	355 (4.8%)	2 (1.2%)	350 (4.9%)	0 (0%)
4	82 (1.1%)	0 (0%)	82 (1.2%)	0 (0%)
X	488 (6.6%)	21 (12%)	446 (6.3%)	9 (18%)

Tabelle 9.15: Beschreibung des Patientenkollektivs: Charakteristika der eingeschlossenen Patienten für die Überlebensanalysen ('overall' - alle; einzelne ICD-10 (n >= 50)) (continued)

Variable	**Overall**, N = 7,361	**C32**, N = 171	**C34**, N = 7,074	**C37**, N = 51
<i>Anmerkung:</i> aktueller Datenstand: 31.10.2025; aktueller Stichtag: 31.12.2024				

9.5.2 Überblick für C34 - Bronchien u. Lunge

Abbildung 9.7 a) stellt die absoluten Überlebensraten (Kaplan-Meier-Schätzer) für Patienten mit Tumordiagnosen der Tumorentität C34 - Bronchien u. Lunge Ihrer Einrichtung im Vergleich zur Referenz bis 5 Jahre nach Erstdiagnose (60 Monate) grafisch dar. In **Abbildung 9.7 b)** werden die absoluten Überlebensraten Ihrer Einrichtung stratifiziert nach UICC-Klassifikation gezeigt.

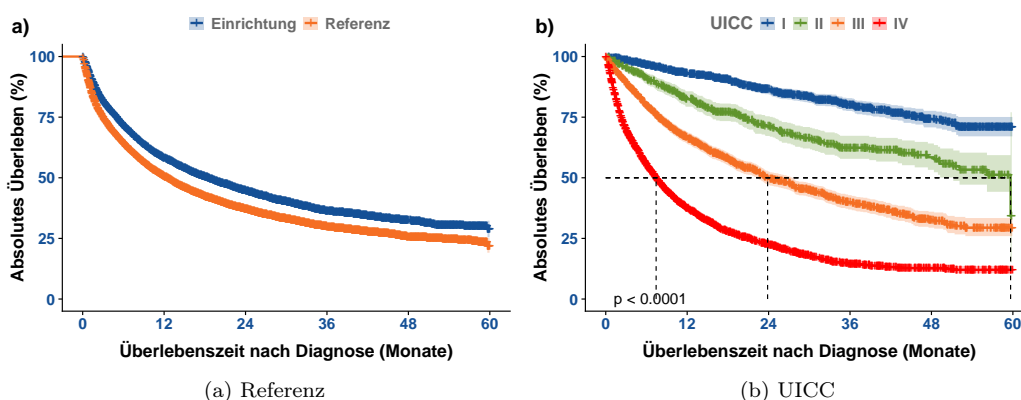


Abbildung 9.7: Darstellung des absoluten Überlebens (Kaplan-Meier-Schätzer) für C34 - Bronchien u. Lunge - a) im Vergleich zur Referenz, b) nach UICC-Klassifikation

In den **Tabellen 9.16** und **9.17** werden die Kaplan-Meier-Schätzer (mit Konfidenzintervallen) stratifiziert für das 1-Jahres bis 5-Jahres Überleben sowie für den entsprechenden Median aufgelistet.

Tabelle 9.16: Tabellarische Darstellung der Kaplan-Meier-Schätzwerte mit Konfidenzintervallen (KI) für das Gesamtüberleben für C34 - Bronchien u. Lunge der Einrichtung und Referenz

Zeit (Monate)	Einrichtung		Referenz	
	Überlebensrate (%)	95%-KI (%)	Überlebensrate (%)	95%-KI (%)
0	99.9	99.8 - 100	99.8	99.7 - 99.8
12	58.2	57 - 59.4	50.6	49.8 - 51.5
24	44.7	43.5 - 46	37.2	36.3 - 38.1
36	36.4	35.1 - 37.8	29.9	29 - 30.8
48	32.4	31 - 33.9	25.7	24.8 - 26.7
Median (Monate)	18.5	17.1 - 19.5	12.5	11.9 - 13

Tabelle 9.17: Tabellarische Darstellung der Kaplan-Meier-Schätzwerte mit Konfidenzintervallen (KI) für das Gesamtüberleben für C34 - Bronchien u. Lunge stratifiziert nach UICC-Klassifikation

Zeit (Monate)	UICC = I		UICC = II		UICC = III		UICC = IV	
	Überlebensrate (%)	95%-KI (%)						
0	99.9	99.8 - 100	100.0	100 - 100	99.9	99.8 - 100	99.9	99.8 - 100
12	92.8	91.4 - 94.3	82.4	79.3 - 85.7	66.4	64 - 68.9	37.5	35.9 - 39.2
24	86.5	84.5 - 88.6	71.2	67.2 - 75.4	49.8	47.2 - 52.7	22.5	21 - 24.1
36	80.1	77.5 - 82.8	62.4	57.8 - 67.3	39.8	36.9 - 42.8	14.4	13 - 15.9
48	74.1	70.8 - 77.6	58.5	53.3 - 64.1	32.6	29.4 - 36	12.6	11.2 - 14.1
Median (Monate)	NA	NA - NA	59.7	51.2 - NA	23.9	22.3 - 27.5	7.4	7.1 - 7.9

Anmerkung: aktueller Datenstand: 31.10.2025; aktueller Stichtag: 31.12.2024

Die folgenden Abbildungen **9.8** stellen das Gesamtüberleben für Patienten Ihrer Einrichtung mit Tumordiagnosen der Gruppe C34 - Bronchien u. Lunge nach Geschlecht und Alter bei Diagnose dar. In den **Tabellen 9.18** und **9.19** werden die Kaplan-Meier-Schätzer (mit Konfidenzintervallen) stratifiziert nach Geschlecht und Alter bei Diagnose für das 1-Jahres bis 5-Jahres Überleben sowie für den entsprechenden Median aufgelistet.

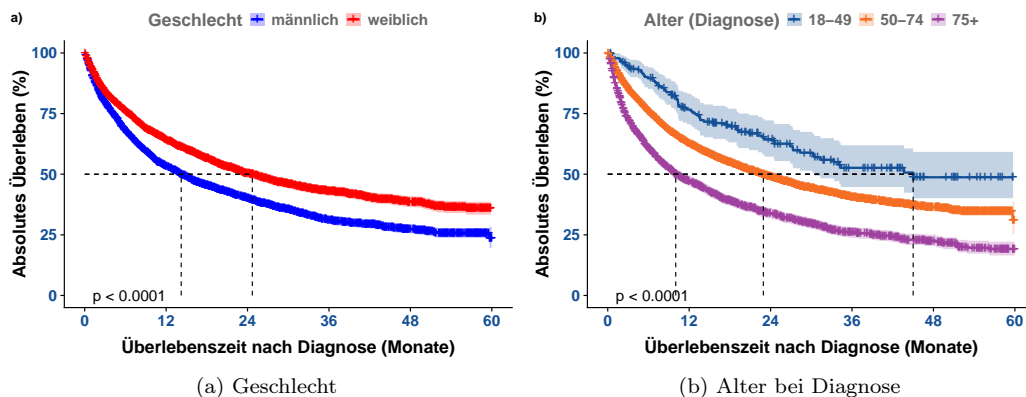


Abbildung 9.8: Darstellung des absoluten Überlebens (Kaplan-Meier-Schätzer) für C34 - Bronchien u. Lunge - a) nach Geschlecht, b) nach Alter bei Diagnose in Gruppen

Tabelle 9.18: Tabellarische Darstellung der Kaplan-Meier-Schätzwerte mit Konfidenzintervallen (KI) für das Gesamtüberleben für C34 - Bronchien u. Lunge stratifiziert nach Geschlecht

Zeit (Monate)	männlich		weiblich	
	Überlebensrate (%)	95%-KI (%)	Überlebensrate (%)	95%-KI (%)
0	99.9	99.8 - 100	100.0	99.9 - 100
12	53.4	51.8 - 55	64.1	62.4 - 65.9
24	40.2	38.6 - 41.9	50.4	48.5 - 52.4
36	31.1	29.4 - 32.9	43.0	41 - 45.1
48	27.4	25.6 - 29.4	38.6	36.5 - 41
Median (Monate)	14.2	13.4 - 15.5	24.7	22.5 - 27.2

Anmerkung: aktueller Datenstand: 31.10.2025; aktueller Stichtag: 31.12.2024

Tabelle 9.19: Tabellarische Darstellung der Kaplan-Meier-Schätzwerte mit Konfidenzintervallen (KI) für das Gesamtüberleben für C34 - Bronchien u. Lunge stratifiziert nach Alter bei Diagnose

Zeit (Monate)	Alter = 18-49		Alter = 50-74		Alter = 75+	
	Überlebensrate (%)	95%-KI (%)	Überlebensrate (%)	95%-KI (%)	Überlebensrate (%)	95%-KI (%)
0	100.0	100 - 100	100.0	99.9 - 100	99.8	99.6 - 100
12	76.7	70.6 - 83.2	62.6	61.2 - 64	47.1	45 - 49.4
24	64.3	57.3 - 72.2	49.0	47.5 - 50.6	33.8	31.7 - 36.1
36	52.6	44.7 - 62	40.6	39 - 42.4	25.9	23.8 - 28.3
48	48.7	40.1 - 59.2	36.3	34.5 - 38.2	22.6	20.4 - 25.1
Median (Monate)	45.0	30.5 - NA	22.9	21.4 - 24.7	10.0	9.2 - 11.4

Anmerkung: aktueller Datenstand: 31.10.2025; aktueller Stichtag: 31.12.2024

9.5.3 Überblick für C32 - Larynx

Abbildung 9.9 a) stellt die absoluten Überlebensraten (Kaplan-Meier-Schätzer) für Patienten Ihrer Einrichtung im Vergleich zur Referenz bis 5 Jahre nach Erstdiagnose (60 Monate) grafisch dar. In **Abbildung 9.9 b)** werden die absoluten Überlebensraten Ihrer Einrichtung stratifiziert nach UICC-Klassifikation gezeigt.

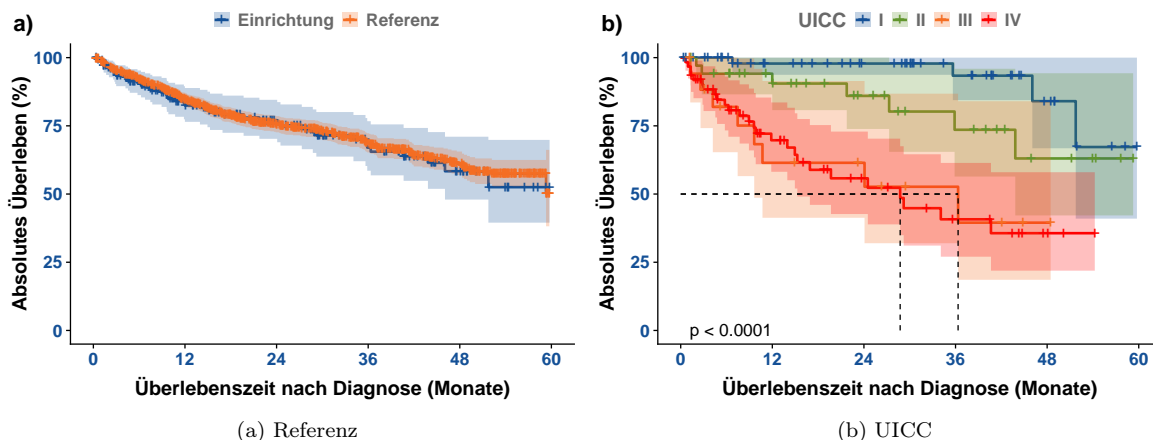


Abbildung 9.9: Darstellung des absoluten Überlebens (Kaplan-Meier-Schätzer) für C32 - Larynx - a) im Vergleich zur Referenz, b) nach UICC-Klassifikation

In den **Tabellen 9.20** und **9.21** werden die Kaplan-Meier-Schätzer (mit Konfidenzintervallen) stratifiziert für das 1-Jahres bis 5-Jahres Überleben sowie für den entsprechenden Median aufgelistet.

Tabelle 9.20: Tabellarische Darstellung der Kaplan-Meier-Schätzwerte mit Konfidenzintervallen (KI) für das Gesamtüberleben für C32 - Larynx der Einrichtung und Referenz

Zeit (Monate)	Einrichtung		Referenz	
	Überlebensrate (%)	95%-KI (%)	Überlebensrate (%)	95%-KI (%)
0	100.0	100 - 100	99.9	99.7 - 100
12	82.4	76.5 - 88.9	84.7	82.4 - 87.1
24	77.1	70.2 - 84.5	75.5	72.6 - 78.6
36	67.0	58.6 - 76.7	68.7	65.3 - 72.3
48	58.4	48 - 71	61.2	57 - 65.6
Median (Monate)	NA	46.1 - NA	NA	59.3 - NA

Tabelle 9.21: Tabellarische Darstellung der Kaplan-Meier-Schätzwerte mit Konfidenzintervallen (KI) für das Gesamtüberleben für C32 - Larynx stratifiziert nach UICC-Klassifikation

Zeit (Monate)	UICC = I		UICC = II		UICC = III		UICC = IV	
	Überlebensrate (%)	95%-KI (%)	Überlebensrate (%)	95%-KI (%)	Überlebensrate (%)	95%-KI (%)	Überlebensrate (%)	95%-KI (%)
0	100.0	100 - 100	100.0	100 - 100	100.0	100 - 100	100.0	100 - 100
12	97.8	93.7 - 100	90.5	80.8 - 100	61.4	41.3 - 91.4	69.7	58.2 - 83.6
24	97.8	93.7 - 100	86.0	73.9 - 100	61.4	41.3 - 91.4	55.8	42.7 - 72.9
36	93.4	84.4 - 100	73.6	56.4 - 95.9	52.7	32 - 86.8	40.7	27 - 61.4
48	84.0	66.8 - 100	63.0	42.2 - 94.3	39.5	18.6 - 84	35.6	21.9 - 58
Median (Monate)	NA	51.7 - NA	NA	43.8 - NA	36.3	9.6 - NA	28.7	15.3 - NA

Anmerkung: aktueller Datenstand: 31.10.2025; aktueller Stichtag: 31.12.2024

Die folgenden Abbildungen **9.10** stellen das Gesamtüberleben für Patienten Ihrer Einrichtung nach Geschlecht und Alter bei Diagnose dar. In den **Tabellen 9.22** und **9.23** werden die Kaplan-Meier-Schätzer (mit Konfidenzintervallen) stratifiziert nach Geschlecht und Alter bei Diagnose für das 1-Jahres bis 5-Jahres Überleben sowie für den entsprechenden Median aufgelistet.

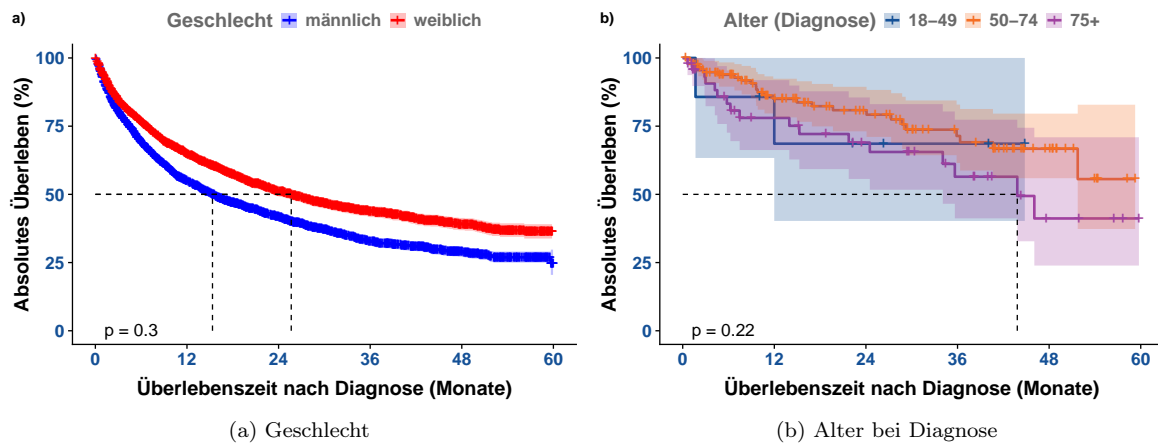


Abbildung 9.10: Darstellung des absoluten Überlebens (Kaplan-Meier-Schätzer) - a) nach Geschlecht, b) nach Alter bei Diagnose in Gruppen

Tabelle 9.22: Tabellarische Darstellung der Kaplan-Meier-Schätzwerte mit Konfidenzintervallen (KI) für das Gesamtüberleben für C32 - Larynx stratifiziert nach Geschlecht

Zeit (Monate)	männlich		weiblich	
	Überlebensrate (%)	95%-KI (%)	Überlebensrate (%)	95%-KI (%)
0	99.9	99.8 - 100	100.0	99.9 - 100
12	54.8	53.2 - 56.4	64.7	63 - 66.5
24	41.8	40.1 - 43.4	51.1	49.3 - 53.1
36	32.8	31.1 - 34.6	43.6	41.6 - 45.7
48	28.9	27.1 - 30.8	39.0	36.9 - 41.4
Median (Monate)	15.3	14.2 - 16.6	25.7	23.2 - 28

Anmerkung: aktueller Datenstand: 31.10.2025; aktueller Stichtag: 31.12.2024

Tabelle 9.23: Tabellarische Darstellung der Kaplan-Meier-Schätzwerte mit Konfidenzintervallen (KI) für das Gesamtüberleben für C32 - Larynx stratifiziert nach Alter bei Diagnose

Zeit (Monate)	Alter = 18-49		Alter = 50-74		Alter = 75+	
	Überlebensrate (%)	95%-KI (%)	Überlebensrate (%)	95%-KI (%)	Überlebensrate (%)	95%-KI (%)
0	100.0	100 - 100	100.0	100 - 100	100.0	100 - 100
12	68.6	40.3 - 100	85.0	78.2 - 92.4	78.0	66.3 - 91.9
24	68.6	40.3 - 100	80.9	73.1 - 89.4	69.0	55.6 - 85.5
36	68.6	40.3 - 100	71.4	61.5 - 82.9	56.5	41.2 - 77.4
48	NA	NA - NA	66.7	55.9 - 79.6	41.2	23.9 - 70.9
Median (Monate)	NA	12 - NA	NA	51.7 - NA	43.8	34.1 - NA

Anmerkung: aktueller Datenstand: 31.10.2025; aktueller Stichtag: 31.12.2024

9.5.4 Überblick für C37 - Thymus

Abbildung 9.11 a) stellt die absoluten Überlebensraten (Kaplan-Meier-Schätzer) für Patienten Ihrer Einrichtung im Vergleich zur Referenz bis 5 Jahre nach Erstdiagnose (60 Monate) grafisch dar. In **Abbildung 9.11 b)** werden die absoluten Überlebensraten Ihrer Einrichtung stratifiziert nach UICC-Klassifikation gezeigt.

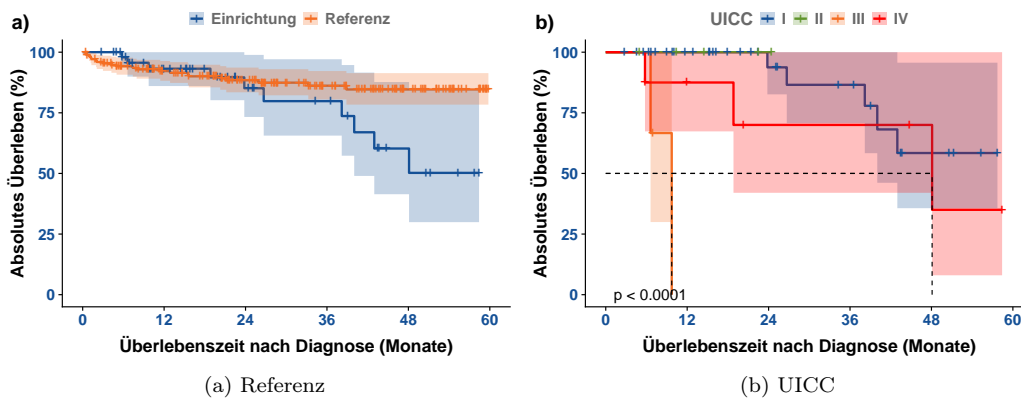


Abbildung 9.11: Darstellung des absoluten Überlebens (Kaplan-Meier-Schätzer) für C37 - Thymus - a) im Vergleich zur Referenz, b) nach UICC-Klassifikation

In den **Tabellen 9.24** und **9.25** werden die Kaplan-Meier-Schätzer (mit Konfidenzintervallen) stratifiziert für das 1-Jahres bis 5-Jahres Überleben sowie für den entsprechenden Median aufgelistet.

Tabelle 9.24: Tabellarische Darstellung der Kaplan-Meier-Schätzwerte mit Konfidenzintervallen (KI) für das Gesamtüberleben für C37 - Thymus der Einrichtung und Referenz

Zeit (Monate)	Einrichtung		Referenz	
	Überlebensrate (%)	95%-KI (%)	Überlebensrate (%)	95%-KI (%)
0	100.0	100 - 100	100.0	100 - 100
12	93.2	86 - 100	92.2	88.2 - 96.4
24	85.1	73.3 - 98.9	88.4	83.5 - 93.7
36	79.8	65.6 - 97.1	86.2	80.5 - 92.2
48	60.3	41.4 - 87.7	84.6	78.4 - 91.4
Median (Monate)	NA	40 - NA	NA	NA - NA

Tabelle 9.25: Tabellarische Darstellung der Kaplan-Meier-Schätzwerte mit Konfidenzintervallen (KI) für das Gesamtüberleben für C37 - Thymus stratifiziert nach UICC-Klassifikation

Zeit (Monate)	UICC = I		UICC = II		UICC = III		UICC = IV	
	Überlebensrate (%)	95%-KI (%)	Überlebensrate (%)	95%-KI (%)	Überlebensrate (%)	95%-KI (%)	Überlebensrate (%)	95%-KI (%)
0	100.0	100 - 100	100	100 - 100	100.0	100 - 100	100.0	100 - 100
12	100.0	100 - 100	100	100 - 100	NA	NA - NA	87.5	67.3 - 100
24	93.8	82.6 - 100	100	100 - 100	NA	NA - NA	70.0	42 - 100
36	86.5	70.7 - 100	NA	NA - NA	NA	NA - NA	70.0	42 - 100
48	58.4	35.7 - 95.7	NA	NA - NA	NA	NA - NA	70.0	42 - 100
Median (Monate)	NA	40 - NA	NA	NA - NA	9.7	6.6 - NA	48.1	18.8 - NA

Anmerkung: aktueller Datenstand: 31.10.2025; aktueller Stichtag: 31.12.2024

Die folgenden Abbildungen **9.12** stellen das Gesamtüberleben für Patienten Ihrer Einrichtung nach Geschlecht und Alter bei Diagnose dar. In den **Tabellen 9.26** und **9.27** werden die Kaplan-Meier-Schätzer (mit Konfidenzintervallen) stratifiziert nach Geschlecht und Alter bei Diagnose für das 1-Jahres bis 5-Jahres Überleben sowie für den entsprechenden Median aufgelistet.

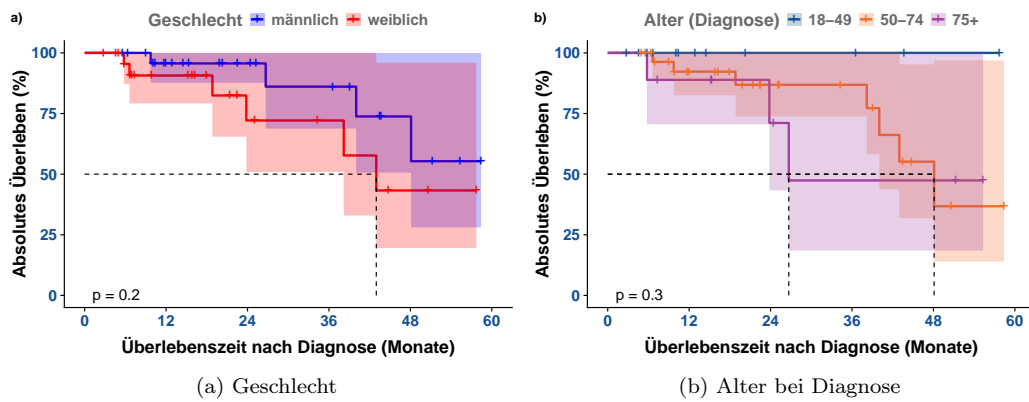


Abbildung 9.12: Darstellung des absoluten Überlebens (Kaplan-Meier-Schätzer) für C37 - Thymus - a) nach Geschlecht, b) nach Alter bei Diagnose in Gruppen

Tabelle 9.26: Tabellarische Darstellung der Kaplan-Meier-Schätzwerte mit Konfidenzintervallen (KI) für das Gesamtüberleben für C37 - Thymus stratifiziert nach Geschlecht

Zeit (Monate)	männlich		weiblich	
	Überlebensrate (%)	95%-KI (%)	Überlebensrate (%)	95%-KI (%)
0	100.0	100 - 100	100.0	100 - 100
12	95.7	87.7 - 100	90.7	79.2 - 100
24	95.7	87.7 - 100	72.1	50.9 - 100
36	86.1	68.8 - 100	72.1	50.9 - 100
48	73.8	50.6 - 100	43.3	19.5 - 96
Median (Monate)	NA	48.1 - NA	43.0	38.2 - NA

Anmerkung: aktueller Datenstand: 31.10.2025; aktueller Stichtag: 31.12.2024

Tabelle 9.27: Tabellarische Darstellung der Kaplan-Meier-Schätzwerte mit Konfidenzintervallen (KI) für das Gesamtüberleben für C37 - Thymus stratifiziert nach Alter bei Diagnose

Zeit (Monate)	Alter = 18-49		Alter = 50-74		Alter = 75+	
	Überlebensrate (%)	95%-KI (%)	Überlebensrate (%)	95%-KI (%)	Überlebensrate (%)	95%-KI (%)
0	100	100 - 100	100.0	100 - 100	100.0	100 - 100
12	100	100 - 100	92.3	82.5 - 100	88.9	70.6 - 100
24	100	100 - 100	86.9	73.8 - 100	71.1	43.3 - 100
36	100	100 - 100	86.9	73.8 - 100	47.4	18.5 - 100
48	100	100 - 100	55.1	31.9 - 95.3	47.4	18.5 - 100
Median (Monate)	NA	NA - NA	48.1	40 - NA	26.7	23.8 - NA

Anmerkung: aktueller Datenstand: 31.10.2025; aktueller Stichtag: 31.12.2024

10 | C15-C26 - Verdauungsorgane

Das Kapitel **C15-C26 - Verdauungsorgane** dieses Rückmeldeberichtes stellt Ihnen verschiedene Auswertungen und Darstellungen zu Tumorfällen von Patienten mit Diagnosen der Gruppe C15-C26 - Verdauungsorgane zu Verfügung. Neben den Fall- und Behandlungszahlen sowie den Vollständigkeitsangaben werden die Tumoreigenschaften und Patientenstruktur als auch Überlebensanalysen präsentiert.

10.1. Allgemeine Informationen

Tabelle 10.1 fasst die Anzahl der neu diagnostizierten Fälle und therapeutischen Behandlungen (einzelner oder mehrerer Therapieanwendungen) nach Art der Therapie (Operation, Strahlentherapie/Nuklearmedizin, systemische Therapie oder abwartende Therapie) und Verlauf für Tumoren der Gruppe C15-C26 - Verdauungsorgane Ihrer Einrichtung über den 5-Jahres Berichtszeitraum (2020 bis 2024), als auch für das aktuelle Berichtsjahr (2024) zusammen.

Tabelle 10.1: Anzahl der gemeldeten Diagnosen, therapeutischen Behandlungen und Verläufe für C15-C26 - Verdauungsorgane

TYP	Anzahl der Behandlungen		Anzahl der Fälle	
	Einrichtung	REF	Einrichtung	REF
5-Jahres Berichtszeitraum (2020 - 2024)				
Diagnose			7901	32.09%
therapeutische Behandlungen	8796	24.66%	5623	26.34%
Operation	5799	25.78%	4619	27.20%
Strahlentherapie	215	9.89%	205	12.38%
Systemtherapie	2756	25.31%	1780	24.89%
abwartende Therapie	6	50.00%	6	50.00%
Verlauf	5573	25.70%	2932	25.91%
Gesamt			12478	29.51%
Aktuelles Berichtsjahr (2024)				
Diagnose			1278	29.52%
therapeutische Behandlungen	1572	25.10%	1177	25.96%
Operation	1113	28.54%	931	28.22%
Strahlentherapie	31	7.87%	31	8.91%
Systemtherapie	437	22.26%	370	23.31%
abwartende Therapie	3	100.00%	3	100.00%
Verlauf	872	23.33%	738	24.31%
Gesamt			2091	26.62%

Anmerkung: Gesamt = Fall mit Diagnose oder Therapie in der Einrichtung; aktueller Datenstand: 31.10.2025

10.2. Vollständigkeit

Im Abschnitt **Vollständigkeit** werden analog zu Teil II “Qualität und Vollständigkeit” die Vollständigkeit sowie die Qualität der an das KKRBB gesandten Meldungen zu tumorrelevanten Behandlungen bezüglich der in Ihrer Einrichtung diagnostizierten und / oder therapierten Krebserkrankungen der Tumorentitätengruppe **C15-C26 - Verdauungsorgane** für den 5-Jahres Berichtszeitraum (2020 bis 2024) beschrieben. Weitere Informationen bezüglich Definition dieser Merkmale finden Sie in Teil II “Qualität und Vollständigkeit” des Rückmeldeberichts.

10.2.1 Vollständigkeit von Diagnose- und Histologiemerkmalen

Tabelle 10.2 gibt Ihnen einen Überblick über die Qualität und Vollständigkeit der beschriebenen Diagnose- und Histologiemerkmale für durchgeführte Diagnosen Ihrer Einrichtung; sowohl für den Gesamtzeitraum als auch für die einzelnen Berichtsjahre (basierend auf dem Diagnosejahr). Zudem zeigt Ihnen **Tabelle 10.2** zur Einordnung Ihrer Zahlen die prozentualen Ergebnisse der Vollständigkeit der Referenz (REF).

Tabelle 10.2: Qualität und Vollständigkeit von Diagnose- und Histologiemerkmalen im Zeitverlauf (REF - Referenz)

Merkmalsname	2020	2021	2022	2023	2024	Gesamt	REF
Thematik: DIAGNOSE und HISTOLOGIE							
Gesamt	1803	1629	1638	1553	1278	7901	
Diagnose-Datum	n	1803	1629	1638	1553	1278	7901
	%	100.0%	100.0%	100.0%	100.0%	100.0%	100.0%
tagesgen. Diagnose-Datum	n	1724	1539	1554	1479	1239	7535
	%	95.6%	94.5%	94.9%	95.2%	96.9%	95.4%
Diagnosesicherung (DS)	n	1802	1629	1638	1552	1277	7898
	%	99.9%	100.0%	100.0%	99.9%	99.9%	100.0%
DS (histol. od. zytol.)	n	1703	1526	1554	1475	1210	7468
	%	94.5%	93.7%	94.9%	95.0%	94.7%	94.5%
Lokalisation	n	1803	1629	1638	1553	1278	7901
	%	100.0%	100.0%	100.0%	100.0%	100.0%	100.0%
Seitenlokalisation	n	1803	1629	1638	1553	1278	7901
	%	100.0%	100.0%	100.0%	100.0%	100.0%	100.0%
Histologie*	n	1697	1515	1539	1461	1204	7416
	%	100.0%	100.0%	100.0%	100.0%	100.0%	100.0%
Histologie-Schlüssel*	n	1676	1497	1524	1448	1196	7341
	%	98.8%	98.8%	99.0%	99.1%	99.3%	99.0%
Histologie-Datum*	n	1697	1513	1537	1455	1202	7404
	%	100.0%	99.9%	99.9%	99.6%	99.8%	99.8%
Grading*	n	1368	1229	1193	1153	1006	5949
	%	99.5%	99.8%	99.6%	99.9%	99.7%	99.7%
klin. u. / od. pathol. TNM							
UICC-Klassifikation*	n	1436	1265	1248	1217	980	6146
	%	92.3%	90.4%	89.6%	90.9%	89.7%	90.7%
TNM (T-Kategorie)*	n	1277	1110	1101	1073	903	5464
	%	82.1%	79.3%	79.0%	80.1%	82.7%	80.6%
TNM (N-Kategorie)*	n	1238	1070	1056	1028	850	5242
	%	79.6%	76.5%	75.8%	76.8%	77.8%	77.3%
TNM (M-Kategorie)*	n	1295	1160	1124	1125	938	5642
	%	94.4%	93.0%	93.7%	93.8%	92.4%	93.5%
klin. TNM							
UICC-Klassifikation*	n	812	708	711	672	544	3447
	%	59.2%	56.8%	59.3%	56.0%	53.6%	57.1%
TNM (T-Kategorie)*	n	922	771	774	755	610	3832
	%	67.2%	61.8%	64.6%	63.0%	60.1%	63.5%
TNM (N-Kategorie)*	n	913	766	767	749	605	3800
	%	66.5%	61.4%	64.0%	62.5%	59.6%	63.0%
TNM (M-Kategorie)*	n	929	805	795	783	616	3928
	%	67.7%	64.6%	66.3%	65.3%	60.7%	65.1%
ECOG	n	1076	951	951	1042	898	4918
	%	67.3%	65.8%	67.2%	74.9%	75.5%	69.9%
							76.1%

Anmerkung: n - Anzahl; aktueller Datenstand vom 31.10.2025

* n des Merkmals weicht von Gesamt n ab

10.2.2 Vollständigkeit von Therapiemerkmalen

10.2.2.1 Operation

Tabelle 10.3 gibt Ihnen einen Überblick über die Qualität und Vollständigkeit der beschriebenen Therapiemerkmale für durchgeführte Operationen Ihrer Einrichtung; sowohl für den Gesamtzeitraum als auch für die einzelnen Berichtsjahre (basierend auf dem Jahr der Leistungserbringung). Zudem zeigt Ihnen **Tabelle 10.3** zur Einordnung der Zahlen Ihrer Einrichtung die prozentualen Ergebnisse der Vollständigkeit der Referenz (REF).

Tabelle 10.3: Operation - Qualität und Vollständigkeit von Merkmalen im Zeitverlauf (REF - Referenz)

Merkmalsname	2020	2021	2022	2023	2024	Gesamt	REF
Behandlung: OPERATION							
Gesamt	1190	1180	1125	1191	1113	5799	
OP-Datum	n 1190	n 1180	n 1125	n 1191	n 1113	5799	
	% 100.0%	% 100.0%	% 100.0%	% 100.0%	% 100.0%	100.0%	100.0%
Tagesgenauigkeit (OP)	n 1189	n 1178	n 1125	n 1189	n 1113	5794	
	% 99.9%	% 99.8%	% 100.0%	% 99.8%	% 100.0%	99.9%	99.9%
Therapieintention	n 1189	n 1177	n 1124	n 1191	n 1108	5789	
	% 99.9%	% 99.7%	% 99.9%	% 100.0%	% 99.6%	99.8%	99.8%
OP-Schlüssel vollst.	n 1169	n 1165	n 1112	n 1174	n 1106	5726	
	% 98.2%	% 98.7%	% 98.8%	% 98.6%	% 99.4%	98.7%	97.7%
lokale R-Klass.*	n 828	n 828	n 758	n 841	n 792	4047	
	% 99.4%	% 99.5%	% 99.2%	% 98.8%	% 99.9%	99.4%	99.2%
globale R-Klass.*	n 810	n 818	n 739	n 802	n 784	3953	
	% 97.2%	% 98.3%	% 96.7%	% 94.2%	% 98.9%	97.1%	96.4%
Anzahl Lymphkn. (unters.)*	n 709	n 671	n 591	n 683	n 664	3318	
	% 94.5%	% 90.1%	% 89.7%	% 92.5%	% 95.3%	92.4%	85.7%
Anzahl Lymphkn. (befall.)*	n 709	n 671	n 591	n 684	n 664	3319	
	% 94.5%	% 90.1%	% 89.7%	% 92.7%	% 95.3%	92.5%	85.7%
Komplikationen	n 925	n 945	n 1025	n 1143	n 1036	5074	
	% 77.7%	% 80.1%	% 91.1%	% 96.0%	% 93.1%	87.5%	76.3%

Anmerkung: aktueller Datenstand vom 31.10.2025

* n des Merkmals weicht von Gesamt n ab

10.2.2.2 Strahlentherapie / Nuklearmedizin

Tabelle 10.4 gibt Ihnen einen Überblick über die Qualität und Vollständigkeit der beschriebenen Therapiemerkmale für durchgeführte Strahlentherapien Ihres Hauses; sowohl für den Gesamtzeitraum als auch für die einzelnen Berichtsjahre (basierend auf dem Jahr der Leistungserbringung). Zudem zeigt Ihnen **Tabelle 10.4** zur Einordnung der Zahlen Ihres Hauses die prozentualen Ergebnisse Referenz.

Tabelle 10.4: Strahlentherapie - Qualität und Vollständigkeit von Therapiemerkmalen im Zeitverlauf

Merkmalsname	TYP	2020	2021	2022	2023	2024	Gesamt	REF
Behandlung: STRAHLENTHERAPIE und NUKLEARMEDIZIN								
Gesamt		59	45	36	44	31	215	
Anfang und Ende d. Th.*	n 58	n 43	n 35	n 41	n 29	206		
	% 98.3%	% 95.6%	% 97.2%	% 93.2%	% 93.5%	95.8%	98.3%	
Anfang der Th.	n 59	n 45	n 36	n 44	n 31	215		
	% 100.0%	% 100.0%	% 100.0%	% 100.0%	% 100.0%	100.0%	100.0%	
Ende der Th.*	n 58	n 43	n 35	n 41	n 29	206		
	% 98.3%	% 95.6%	% 97.2%	% 93.2%	% 93.5%	95.8%	98.3%	
Einzeldosis*	n 55	n 40	n 33	n 42	n 27	197		
	% 93.2%	% 88.9%	% 91.7%	% 95.5%	% 87.1%	91.6%	71.1%	
Gesamtdosis	n 58	n 43	n 35	n 43	n 29	208		
	% 98.3%	% 95.6%	% 100.0%	% 97.7%	% 96.7%	97.7%	95.0%	
Therapieintention	n 59	n 45	n 36	n 44	n 31	215		
	% 100.0%	% 100.0%	% 100.0%	% 100.0%	% 100.0%	100.0%	100.0%	
Stellung zur OP	n 59	n 45	n 36	n 44	n 31	215		

Tabelle 10.4: Strahlentherapie - Qualität und Vollständigkeit von Therapiemerkmalen im Zeitverlauf (continued)

Merkmalsname	TYP	2020	2021	2022	2023	2024	Gesamt	REF
Applikationsart	%	100.0%	100.0%	100.0%	100.0%	100.0%	100.0%	99.9%
	n	59	45	36	44	31	215	
Nebenwirkungen	%	100.0%	100.0%	100.0%	100.0%	100.0%	100.0%	100.0%
	n	40	33	31	35	23	162	
Grad der NW*	%	67.8%	73.3%	86.1%	79.5%	74.2%	75.3%	87.4%
	n	0	0	0	2	0	2	
Therapieabschluss	%	0.0%	0.0%	0.0%	100.0%	0.0%	66.7%	75.0%
	n	58	41	33	41	28	201	
	%	98.3%	91.1%	91.7%	93.2%	90.3%	93.5%	97.7%

Anmerkung: aktueller Datenstand vom 31.10.2025

* n des Merkmals weicht von Gesamt n ab

10.2.2.3 Systemtherapie

Die folgende Tabelle gibt Ihnen einen Überblick über die Qualität und Vollständigkeit der beschriebenen Therapiemerkmale für durchgeführte Systemtherapien Ihrer Einrichtung; sowohl für den Gesamtzeitraum als auch für die einzelnen Berichtsjahre (basierend auf dem Jahr der Leistungserbringung). Zudem zeigt Ihnen diese Tabelle zur Einordnung der Zahlen Ihrer Einrichtung die prozentualen Ergebnisse der Vollständigkeit der Referenz (REF).

Tabelle 10.5: Systemtherapie - Qualität und Vollständigkeit von Therapiemerkmalen im Zeitverlauf

Merkmalsname	2020	2021	2022	2023	2024	Gesamt	REF
Behandlung: SYSTEMTHERAPIE							
Gesamt	560	593	644	536	423	2756	
Anfang und Ende d. Th.*	n	473	514	489	404	2122	
	%	84.6%	86.8%	75.9%	75.5%	57.2%	77.1% 77.8%
Anfang der Th.	n	560	593	644	536	423	2756
	%	100.0%	100.0%	100.0%	100.0%	100.0%	100.0% 100.0%
Ende der Th.*	n	473	514	489	404	2122	
	%	84.6%	86.8%	75.9%	75.5%	57.2%	77.1% 77.8%
Typ d. syst. Th.	n	560	593	644	536	423	2756
	%	100.0%	100.0%	100.0%	100.0%	100.0%	100.0% 99.9%
Th.protokoll / Subs.	n	555	592	641	529	417	2734
	%	99.1%	99.8%	99.5%	98.7%	98.6%	99.2% 99.2%
Therapieintention	n	555	588	640	534	420	2737
	%	99.1%	99.2%	99.4%	99.6%	99.3%	99.3% 99.4%
Stellung zur OP	n	544	585	636	517	415	2697
	%	97.1%	98.7%	98.8%	96.5%	98.1%	97.9% 99.0%
Nebenwirkungen*	n	256	319	340	267	167	1349
	%	45.7%	53.8%	52.8%	49.8%	39.5%	48.9% 39.9%
Therapieabschluss	n	487	518	484	389	225	2103
	%	87.0%	87.4%	75.2%	72.6%	53.2%	76.3% 76.7%

Anmerkung: aktueller Datenstand vom 31.10.2025

* n des Merkmals weicht von Gesamt n ab

10.3. Tumoreigenschaften

Im Abschnitt **Tumoreigenschaften** wird Ihnen für die Patienten mit Tumordiagnosen der Tumorentitätengruppe **C15-C26 - Verdauungsorgane** Ihrer Einrichtung u. a. die Histologien, Klassifizierungen und Metastasen dargestellt. Bei den Analysen wird der 5-Jahres Berichtszeitraum von **2020 bis 2024** betrachtet.

10.3.1 Tumordiagnose (nach ICD-10)

Die Tumordiagnosen werden in diesem Unterabschnitt basierend auf der 5-stelligen ICD-10 beschrieben. **Tabelle 10.6** umfasst die absolute und relative Häufigkeiten der Tumorentitäten beruhend auf dem Jahr der Erst-

diagnose für die einzelnen Berichtsjahre und dem Zeitraum (2020 bis 2024). Die prozentualen Angaben in diesen Spalten beziehen sich auf die Gesamtanzahl an Tumorfällen Ihrer Einrichtung. Zudem zeigt Ihnen **Tabelle 10.6** in Spalte *REF* den prozentualen Anteil Ihrer Einrichtung an den entsprechenden Gesamtzahlen der in der Referenz diagnostizierten Tumorfälle.

Tabelle 10.6: ICD-10 - Absolute und relative Häufigkeiten der Tumorentitäten im Zeitverlauf (basierend auf Diagnosejahr)

ICD-10 (Diagnose)	2020	2021	2022	2023	2024	Gesamt	REF
C15 - Ösophagus	C15.0	1 (0.1%)	1 (0.1%)	5 (0.3%)	3 (0.2%)	3 (0.2%)	13 (0.2%) 10.7%
	C15.1	3 (0.2%)	5 (0.3%)	5 (0.3%)	-	2 (0.2%)	15 (0.2%) 14.2%
	C15.2	2 (0.1%)	2 (0.1%)	1 (0.1%)	2 (0.1%)	2 (0.2%)	9 (0.1%) 18.8%
	C15.3	11 (0.7%)	8 (0.5%)	12 (0.7%)	11 (0.7%)	8 (0.6%)	50 (0.6%) 17.6%
	C15.4	16 (1.0%)	15 (0.9%)	10 (0.6%)	15 (1.0%)	14 (1.1%)	70 (0.9%) 13.8%
	C15.5	41 (2.5%)	48 (2.9%)	62 (3.7%)	48 (3.1%)	32 (2.4%)	231 (2.9%) 17.9%
	C15.8	4 (0.2%)	3 (0.2%)	4 (0.2%)	3 (0.2%)	3 (0.2%)	17 (0.2%) 9.8%
	C15.9	12 (0.7%)	10 (0.6%)	16 (1.0%)	11 (0.7%)	7 (0.5%)	56 (0.7%) 11.9%
	gesamt	90 (5.4%)	92 (5.5%)	115 (6.9%)	93 (5.9%)	71 (5.4%)	461 (5.8%) 15.4%
C16 - Magen	C16.0	54 (3.2%)	58 (3.5%)	57 (3.4%)	73 (4.7%)	66 (5.0%)	308 (3.9%) 16.9%
	C16.1	4 (0.2%)	5 (0.3%)	9 (0.5%)	10 (0.6%)	14 (1.1%)	42 (0.5%) 16.3%
	C16.2	38 (2.3%)	22 (1.3%)	39 (2.3%)	23 (1.5%)	31 (2.4%)	153 (1.9%) 10.8%
	C16.3	26 (1.6%)	25 (1.5%)	28 (1.7%)	23 (1.5%)	20 (1.5%)	122 (1.5%) 12.1%
	C16.4	2 (0.1%)	2 (0.1%)	-	1 (0.1%)	4 (0.3%)	9 (0.1%) 7.6%
	C16.5	1 (0.1%)	2 (0.1%)	4 (0.2%)	3 (0.2%)	2 (0.2%)	12 (0.2%) 16.9%
	C16.6	2 (0.1%)	2 (0.1%)	-	2 (0.1%)	3 (0.2%)	9 (0.1%) 18.0%
	C16.8	9 (0.5%)	6 (0.4%)	6 (0.4%)	8 (0.5%)	5 (0.4%)	34 (0.4%) 10.5%
	C16.9	18 (1.1%)	25 (1.5%)	26 (1.6%)	23 (1.5%)	15 (1.1%)	107 (1.4%) 10.0%
C17 - Dünndarm	gesamt	154 (9.2%)	147 (8.8%)	169 (10.1%)	166 (10.6%)	160 (12.2%)	796 (10.1%) 13.0%
	C17.0	13 (0.8%)	21 (1.3%)	11 (0.7%)	13 (0.8%)	12 (0.9%)	70 (0.9%) 16.0%
	C17.1	6 (0.4%)	9 (0.5%)	5 (0.3%)	3 (0.2%)	5 (0.4%)	28 (0.4%) 16.1%
	C17.2	14 (0.8%)	8 (0.5%)	3 (0.2%)	14 (0.9%)	10 (0.8%)	49 (0.6%) 13.9%
	C17.3	-	-	-	-	1 (0.1%)	1 (0.0%) 16.7%
	C17.8	-	1 (0.1%)	-	1 (0.1%)	-	2 (0.0%) 8.3%
	C17.9	6 (0.4%)	6 (0.4%)	5 (0.3%)	1 (0.1%)	1 (0.1%)	19 (0.2%) 14.2%
	gesamt	39 (2.3%)	45 (2.7%)	24 (1.4%)	32 (2.0%)	29 (2.2%)	169 (2.1%) 14.9%
	C18	-	1 (0.1%)	-	-	-	1 (0.0%) 6.2%
C18 - Kolon	C18.0	89 (5.3%)	83 (5.0%)	77 (4.6%)	82 (5.2%)	64 (4.9%)	395 (5.0%) 15.8%
	C18.1	17 (1.0%)	24 (1.4%)	11 (0.7%)	14 (0.9%)	16 (1.2%)	82 (1.0%) 14.7%
	C18.2	134 (8.0%)	110 (6.6%)	96 (5.7%)	107 (6.8%)	119 (9.1%)	566 (7.2%) 17.6%
	C18.3	25 (1.5%)	43 (2.6%)	28 (1.7%)	31 (2.0%)	35 (2.7%)	162 (2.1%) 15.7%
	C18.4	40 (2.4%)	39 (2.3%)	51 (3.0%)	51 (3.3%)	34 (2.6%)	215 (2.7%) 15.3%
	C18.5	16 (1.0%)	14 (0.8%)	16 (1.0%)	16 (1.0%)	15 (1.1%)	77 (1.0%) 16.3%
	C18.6	29 (1.7%)	25 (1.5%)	34 (2.0%)	25 (1.6%)	18 (1.4%)	131 (1.7%) 16.8%
	C18.7	179 (10.7%)	172 (10.3%)	136 (8.1%)	118 (7.5%)	117 (8.9%)	722 (9.1%) 16.0%
	C18.8	2 (0.1%)	4 (0.2%)	1 (0.1%)	1 (0.1%)	1 (0.1%)	9 (0.1%) 10.6%
C19 - Rektosigmoid	C18.9	5 (0.3%)	2 (0.1%)	3 (0.2%)	3 (0.2%)	4 (0.3%)	17 (0.2%) 2.4%
	gesamt	536 (32.1%)	517 (31.0%)	453 (27.1%)	448 (28.6%)	423 (32.2%)	2377 (30.1%) 15.6%
	C19	1 (0.1%)	2 (0.1%)	3 (0.2%)	1 (0.1%)	1 (0.1%)	8 (0.1%) 4.9%
C20 - Rektum	gesamt	1 (0.1%)	2 (0.1%)	3 (0.2%)	1 (0.1%)	1 (0.1%)	8 (0.1%) 4.9%
	C20	224 (13.4%)	203 (12.2%)	202 (12.1%)	206 (13.1%)	176 (13.4%)	1011 (12.8%) 14.2%
	gesamt	224 (13.4%)	203 (12.2%)	202 (12.1%)	206 (13.1%)	176 (13.4%)	1011 (12.8%) 14.2%
	C21.0	15 (0.9%)	10 (0.6%)	6 (0.4%)	7 (0.4%)	8 (0.6%)	46 (0.6%) 17.5%

Tabelle 10.6: ICD-10 - Absolute und relative Häufigkeiten der Tumorentitäten im Zeitverlauf (basiert auf Diagnosejahr) (continued)

ICD-10 (Diagnose)	2020	2021	2022	2023	2024	Gesamt	REF
C21 - Anus u. Analkanal	C21.1	51 (3.1%)	48 (2.9%)	44 (2.6%)	54 (3.4%)	39 (3.0%)	236 (3.0%) 27.2%
	C21.8	5 (0.3%)	3 (0.2%)	6 (0.4%)	1 (0.1%)	6 (0.5%)	21 (0.3%) 17.2%
	gesamt	71 (4.3%)	61 (3.7%)	56 (3.3%)	62 (4.0%)	53 (4.0%)	303 (3.8%) 24.1%
C22 - Leber u. intrahepat. Galleng.	C22.0	41 (2.5%)	56 (3.4%)	51 (3.0%)	43 (2.7%)	41 (3.1%)	232 (2.9%) 9.6%
	C22.1	26 (1.6%)	29 (1.7%)	30 (1.8%)	21 (1.3%)	17 (1.3%)	123 (1.6%) 9.7%
	C22.3	1 (0.1%)	1 (0.1%)	1 (0.1%)	-	3 (0.2%)	6 (0.1%) 21.4%
	C22.4	-	-	2 (0.1%)	-	-	2 (0.0%) 15.4%
	C22.7	10 (0.6%)	10 (0.6%)	14 (0.8%)	6 (0.4%)	5 (0.4%)	45 (0.6%) 10.6%
	C22.9	1 (0.1%)	-	1 (0.1%)	3 (0.2%)	1 (0.1%)	6 (0.1%) 2.0%
	gesamt	79 (4.7%)	96 (5.8%)	99 (5.9%)	73 (4.7%)	67 (5.1%)	414 (5.2%) 9.3%
C23 - Gallenblase	C23	28 (1.7%)	12 (0.7%)	14 (0.8%)	16 (1.0%)	11 (0.8%)	81 (1.0%) 11.8%
	gesamt	28 (1.7%)	12 (0.7%)	14 (0.8%)	16 (1.0%)	11 (0.8%)	81 (1.0%) 11.8%
C24 - Gallenwege n.n.b.	C24	-	1 (0.1%)	-	-	-	1 (0.0%) 33.3%
	C24.0	15 (0.9%)	22 (1.3%)	19 (1.1%)	27 (1.7%)	20 (1.5%)	103 (1.3%) 11.6%
	C24.1	19 (1.1%)	15 (0.9%)	19 (1.1%)	12 (0.8%)	8 (0.6%)	73 (0.9%) 20.1%
	C24.8	1 (0.1%)	2 (0.1%)	2 (0.1%)	1 (0.1%)	-	6 (0.1%) 12.2%
	C24.9	5 (0.3%)	3 (0.2%)	2 (0.1%)	2 (0.1%)	3 (0.2%)	15 (0.2%) 8.5%
	gesamt	40 (2.4%)	43 (2.6%)	42 (2.5%)	42 (2.7%)	31 (2.4%)	198 (2.5%) 13.4%
	C25.0	133 (8.0%)	158 (9.5%)	181 (10.8%)	132 (8.4%)	120 (9.1%)	724 (9.2%) 17.6%
C25 - Pankreas	C25.1	36 (2.2%)	32 (1.9%)	27 (1.6%)	29 (1.9%)	23 (1.8%)	147 (1.9%) 14.1%
	C25.2	41 (2.5%)	42 (2.5%)	41 (2.4%)	35 (2.2%)	37 (2.8%)	196 (2.5%) 15.3%
	C25.3	1 (0.1%)	-	-	-	1 (0.1%)	2 (0.0%) 10.0%
	C25.4	-	-	-	1 (0.1%)	4 (0.3%)	5 (0.1%) 20.0%
	C25.7	-	-	-	-	1 (0.1%)	1 (0.0%) 3.0%
	C25.8	14 (0.8%)	5 (0.3%)	8 (0.5%)	10 (0.6%)	5 (0.4%)	42 (0.5%) 10.9%
	gesamt	259 (15.5%)	271 (16.2%)	292 (17.4%)	232 (14.8%)	201 (15.3%)	1255 (15.9%) 14.3%
C26 - n.n.b.	C26.8	-	-	1 (0.1%)	-	-	1 (0.0%) 25.0%
	C26.9	1 (0.1%)	-	1 (0.1%)	-	-	2 (0.0%) 5.6%
	gesamt	1 (0.1%)	-	2 (0.1%)	-	-	3 (0.0%) 4.5%
D00 - CIS d. Mundh., Ösoph., Magen	D00.0	1 (0.1%)	3 (0.2%)	4 (0.2%)	6 (0.4%)	2 (0.2%)	16 (0.2%) 13.8%
	D00.1	2 (0.1%)	1 (0.1%)	3 (0.2%)	2 (0.1%)	6 (0.5%)	14 (0.2%) 11.7%
	D00.2	3 (0.2%)	2 (0.1%)	2 (0.1%)	5 (0.3%)	1 (0.1%)	13 (0.2%) 9.8%
	gesamt	6 (0.4%)	6 (0.4%)	9 (0.5%)	13 (0.8%)	9 (0.7%)	43 (0.5%) 11.7%
D01 - CIS sonst. u. n.n.b. V.org.	D01.0	89 (5.3%)	112 (6.7%)	129 (7.7%)	120 (7.7%)	46 (3.5%)	496 (6.3%) 10.1%
	D01.1	1 (0.1%)	2 (0.1%)	-	-	-	3 (0.0%) 4.6%
	D01.2	27 (1.6%)	34 (2.0%)	44 (2.6%)	22 (1.4%)	17 (1.3%)	144 (1.8%) 8.7%
	D01.3	15 (0.9%)	15 (0.9%)	10 (0.6%)	22 (1.4%)	11 (0.8%)	73 (0.9%) 13.8%
	D01.4	2 (0.1%)	4 (0.2%)	3 (0.2%)	8 (0.5%)	2 (0.2%)	19 (0.2%) 22.6%
	D01.5	7 (0.4%)	3 (0.2%)	4 (0.2%)	4 (0.3%)	1 (0.1%)	19 (0.2%) 17.4%
	D01.7	1 (0.1%)	3 (0.2%)	4 (0.2%)	7 (0.4%)	3 (0.2%)	18 (0.2%) 17.8%
	gesamt	142 (8.5%)	173 (10.4%)	194 (11.6%)	183 (11.7%)	80 (6.1%)	772 (9.8%) 10.4%
GESAMT	GESAMT	1670	1668	1674	1567	1312	7891 13.8%

Anmerkung: aktueller Datenstand: 31.10.2025

10.3.2 Histologie

Die nachfolgenden Analysen umfassen sowohl eine Kategorisierung der Tumoren nach deren dokumentierter Histologie (Hauptklassen nach *ENCR 2017* und *NCT 2018*) sowie das Vorkommen dieser **Histologie-Hauptklassen** (bspw. Karzinome) innerhalb der fünf am häufigsten vorkommenden Entitäten innerhalb der Tumorentitätengruppe **C15-C26 - Verdauungsorgane** Ihrer Einrichtung. Zudem werden die **Histologie-Hauptklassen** nach den vorhandenen Histologie-Gruppen (nach *ENCR 2017* und *NCT 2018*) und die Verteilung der Histologie-Schlüssel (nach *ICD-O*) für die vorkommenden Tumorentitäten (nach *ICD-10*) tabellarisch dargestellt.

Der folgenden Tabellen beschreiben Ihnen die Tumorfälle (aufgeschlüsselt nach *ICD-10*), die in Ihrer Einrichtung im 5-Jahres Berichtszeitraum (2020 bis 2024) diagnostiziert oder im Rahmen der Primärtherapie behandelt worden sind, nach deren **Histologie** (Histologie-Schlüssel nach *ICD-O*).

Als Referenz zur Kategorisierung der Histologie-Schlüssel wurden verwendet:

- ENCR 2017 - Ardanaz et. al.: Working Group ENCR guidelines for reporting of multiple primary malignant (invasive) neoplasms - ENCR Multiple primary rules version 4
- NCT 2018 - Adzersen u. Schäfer: Handbuch der allgemeinen Tumordokumentation, 7. Auflage

Tabelle 10.7: Histologie-Übersicht für C18 - Kolon - absolute Häufigkeiten der Tumorhistologien stratifiziert (nach ENCR 2017, NCT 2018) für einzelne Berichtsjahre

Gruppe	Histologie-Schlüssel	2020	2021	2022	2023	2024	Gesamt
Karzinome							
Plattenepi.- u. Überg.zell-Ca.	8070/3: Plattenepithelkarzinom o.n.A.	0	0	0	0	1	1
Plattenepi.- u. Überg.zell-Ca.	Total	0	0	0	0	1	1
Adenokarzinome	8140/2: Adenocarcinoma in situ o.n.A.	0	0	1	0	0	1
Adenokarzinome	8140/3: Adenokarzinom o.n.A.	473	456	397	395	382	2103
Adenokarzinome	8140/6: Adenokarzinom-Metastase o.n.A.	9	10	13	7	2	41
Adenokarzinome	8144/3: Adenokarzinom vom intestinalen Typ	1	1	0	0	3	5
Adenokarzinome	8148/2: Glanduläre intraepitheliale Neoplasie, hochgradig	1	0	1	0	1	3
Adenokarzinome	8210/3: Adenokarzinom in adenomatösem Polypen	1	1	0	2	1	5
Adenokarzinome	8211/3: Tubuläres Adenokarzinom	0	1	1	6	3	11
Adenokarzinome	8213/3: Serrated adenocarcinoma	0	0	0	1	0	1
Adenokarzinome	8230/3: Solides Karzinom o.n.A.	0	1	0	0	0	1
Adenokarzinome	8263/0: Tubulovillöses Adenom o.n.A.	0	0	0	1	0	1
Adenokarzinome	8263/3: Adenokarzinom in tubulovillösem Adenom	1	0	1	0	0	2
Adenokarzinome	8265/3: Mikropapilläres Karzinom o.n.A.	0	0	1	0	0	1
Adenokarzinome	8480/1: Niedriggradige muzinöse Neoplasie der Appendix	0	0	0	0	1	1
Adenokarzinome	8480/3: Muzinöses Adenokarzinom	16	11	9	18	9	63
Adenokarzinome	8481/3: Schleimbildendes Adenokarzinom	0	1	0	0	0	1
Adenokarzinome	8490/3: Siegelringzellkarzinom	2	0	2	1	2	7
Adenokarzinome	8510/3: Medulläres Karzinom o.n.A.	4	6	0	1	0	11
Adenokarzinome	8512/3: Medulläres Karzinom mit lymphoidem Stroma	0	1	0	0	0	1
Adenokarzinome	Total	508	489	426	432	404	2259
n.n.b. Karzinome	8010/3: Karzinom o.n.A.	8	2	3	1	2	16
n.n.b. Karzinome	8010/9: Karzinomatose	0	0	1	0	0	1
n.n.b. Karzinome	8020/3: Undifferenziertes Karzinom o.n.A.	0	0	1	1	0	2
n.n.b. Karzinome	Total	8	2	5	2	2	19
		516	491	431	434	407	2279
neuroendokrine T.							
neuroendokrine T.	8013/3: Großzell. Neuroendokr. Karzinom	0	0	1	0	1	2
neuroendokrine T.	8041/3: Kleinzell. Karzinom o.n.A.	0	2	1	0	0	3
neuroendokrine T.	8154/3: Malig. gem. endokr. u. exokr. Pankreast.	0	0	1	0	0	1
neuroendokrine T.	8243/3: Becherzellkarzinoid	2	6	3	4	2	17
neuroendokrine T.	8244/3: Gem. adeno-neuroendokr. Karzinom	1	1	0	0	0	2
neuroendokrine T.	8246/3: Neuroendokrines Karzinom o.n.A.	0	0	2	1	2	5
neuroendokrine T.	Total	3	9	8	5	5	30
		3	9	8	5	5	30

Tabelle 10.8: Histologie-Übersicht für C25 - Pankreas - absolute Häufigkeiten der Tumorhistologien stratifiziert (nach ENCR 2017, NCT 2018) für einzelne Berichtsjahre

Gruppe	Schlüssel	2020	2021	2022	2023	2024	Gesamt
Karzinome							
Plattenepi.- u. Überg.zell-Ca.	8070/3: Plattenepithelkarzinom o.n.A.	0	0	2	0	0	2
Plattenepi.- u. Überg.zell-Ca.	Total	0	0	2	0	0	2
Adenokarzinome	8140/3: Adenokarzinom o.n.A.	107	85	83	77	80	432
Adenokarzinome	8140/6: Adenokarzinom-Metastase o.n.A.	45	41	38	34	23	181
Adenokarzinome	8163/3: Karzinom vom pankreatobiliären Typ	0	1	1	2	3	7
Adenokarzinome	8211/3: Tubuläres Adenokarzinom	0	0	0	0	1	1
Adenokarzinome	8480/3: Muzinöses Adenokarzinom	2	2	1	2	2	9
Adenokarzinome	8480/6: Pseudomyxoma peritonei	1	0	0	0	0	1
Adenokarzinome	8490/3: Siegelringzellkarzinom	1	0	1	0	2	4
Adenokarzinome	8490/6: Metastase e. Siegelringzellkarzinomes	1	0	0	0	0	1
Adenokarzinome	8500/3: Invasives duktales Karzinom o.n.A.	40	62	91	52	35	280
Adenokarzinome	8503/3: Intradukt. papilläres Adenokarzinom m. Invasion	0	0	1	0	0	1
Adenokarzinome	8510/3: Medulläres Karzinom o.n.A.	0	0	1	0	0	1
Adenokarzinome	8523/3: Invasives duktales Karzinom gemischt mit anderen Karzinom-Typen	0	1	0	0	0	1
Adenokarzinome	8550/3: Azinuszellkarzinom	0	1	1	1	0	3
Adenokarzinome	8552/3: Gemischtes azinär-duktales Karzinom	0	0	1	0	0	1
Adenokarzinome	Total	197	193	219	168	146	923
andere n.b. Karzinome	8046/3: Nichtkleinzelliges Karzinom	0	0	2	0	0	2
andere n.b. Karzinome	8560/3: Adenosquamöses Karzinom	0	2	3	2	4	11
andere n.b. Karzinome	Total	0	2	5	2	4	13
n.n.b. Karzinome	8010/3: Karzinom o.n.A.	14	24	19	13	5	75
n.n.b. Karzinome	8010/6: Karzinom-Metastase o.n.A.	1	3	3	0	0	7
n.n.b. Karzinome	8020/3: Undifferenziertes Karzinom o.n.A.	2	0	0	0	0	2
n.n.b. Karzinome	Total	17	27	22	13	5	84
	Total	214	222	248	183	155	1022
neuroendokrine T.							
neuroendokrine T.	8013/3: Großzell. Neuroendokr. Karzinom	0	0	0	0	1	1
neuroendokrine T.	8041/3: Kleinzell. Karzinom o.n.A.	0	0	1	1	0	2
neuroendokrine T.	8246/3: Neuroendokrines Karzinom o.n.A.	0	1	1	1	0	3
neuroendokrine T.	Total	0	1	2	2	1	6
Andere Tumorarten							
n.n.b. Tumorarten	8000/6: Neoplasie, Metastase	0	1	0	1	1	3
n.n.b. Tumorarten	8000/9: Maligne Neoplasie, unsicher ob Primärtumor oder Metastase	2	0	0	0	0	2
n.n.b. Tumorarten	Total	2	1	0	1	1	5
	Total	2	1	0	1	1	5

Tabelle 10.9: Histologie-Übersicht für C20 - Rektum - absolute Häufigkeiten der Tumorhistologien stratifiziert (nach ENCR 2017, NCT 2018) für einzelne Berichtsjahre

Gruppe	Schlüssel	2020	2021	2022	2023	2024	Gesamt
Karzinome							
Plattenepi.- u. Überg.zell-Ca.	8070/3: Plattenepithelkarzinom o.n.A.	0	0	1	1	0	2
Plattenepi.- u. Überg.zell-Ca.	Total	0	0	1	1	0	2
Adenokarzinome	8140/3: Adenokarzinom o.n.A.	209	189	182	192	169	941
Adenokarzinome	8140/6: Adenokarzinom-Metastase o.n.A.	2	0	0	1	3	6
Adenokarzinome	8144/3: Adenokarzinom vom intestinalen Typ	0	0	1	0	0	1
Adenokarzinome	8145/3: Diffuses Karzinom	1	0	0	0	0	1
Adenokarzinome	8148/2: Glanduläre intraepitheliale Neoplasie, hochgradig	0	1	0	0	0	1
Adenokarzinome	8210/3: Adenokarzinom in adenomatösem Polypen	0	0	2	0	0	2
Adenokarzinome	8211/3: Tubuläres Adenokarzinom	2	1	4	2	1	10
Adenokarzinome	8215/3: Adenokarzinom der Analdrüsen	0	0	0	1	0	1
Adenokarzinome	8263/3: Adenokarzinom in tubulovillösem Adenom	1	0	0	0	0	1
Adenokarzinome	8265/3: Mikropapilläres Karzinom o.n.A.	0	1	0	0	0	1
Adenokarzinome	8480/3: Muzinöses Adenokarzinom	1	3	4	0	0	8
Adenokarzinome	8490/3: Siegelringzellkarzinom	1	2	0	1	0	4

Tabelle 10.9: Histologie-Übersicht für C20 - Rektum - absolute Häufigkeiten der Tumorhistologien stratifiziert (nach ENCR 2017, NCT 2018) für einzelne Berichtsjahre (continued)

Gruppe	Schlüssel	2020	2021	2022	2023	2024	Gesamt
Adenokarzinome	Total	217	197	193	197	173	977
andere n.b. Karzinome	8014/3: Großzelliges Karzinom mit rhabdoidem Phänotyp	0	0	0	0	1	1
andere n.b. Karzinome	8560/3: Adenosquamöses Karzinom	1	0	0	0	0	1
andere n.b. Karzinome	Total	1	0	0	0	1	2
n.n.b. Karzinome	8010/3: Karzinom o.n.A.	0	0	0	0	1	1
n.n.b. Karzinome	Total	0	0	0	0	1	1
	Total	218	197	194	198	175	982
neuroendokrine T.							
neuroendokrine T.	8154/3: Malig. gem. endokr. u. exokr. Pankreast.	0	0	0	1	0	1
neuroendokrine T.	8244/3: Gem. adeno-neuroendokr. Karzinom	0	0	1	0	0	1
neuroendokrine T.	8246/3: Neuroendokrines Karzinom o.n.A.	2	3	0	0	0	5
neuroendokrine T.	Total	2	3	1	1	0	7
	Total	2	3	1	1	0	7
Melanome							
Melanome	8720/3: Malignes Melanom o.n.A.	0	0	0	1	0	1
Melanome	Total	0	0	0	1	0	1
	Total	0	0	0	1	0	1
Sarkome u. Weichgewebetumoren							
andere n.b. Sarkome	8890/3: Leiomyosarkom o.n.A.	0	0	1	0	0	1
andere n.b. Sarkome	Total	0	0	1	0	0	1
	Total	0	0	1	0	0	1

Tabelle 10.10: Histologie-Übersicht für C16 - Magen - absolute Häufigkeiten der Tumorhistologien stratifiziert (nach ENCR 2017, NCT 2018) für einzelne Berichtsjahre

Gruppe	Schlüssel	2020	2021	2022	2023	2024	Gesamt
Karzinome							
Plattenepi.- u. Überg.zell-Ca.	8070/3: Plattenepithelkarzinom o.n.A.	0	1	0	2	1	4
Plattenepi.- u. Überg.zell-Ca.	8070/6: Plattenepithelkarzinom-Met. o.n.A.	0	0	0	0	1	1
Plattenepi.- u. Überg.zell-Ca.	8071/3: Verhorrendes PE-Karzinom o.n.A.	0	1	0	0	0	1
Plattenepi.- u. Überg.zell-Ca.	Total	0	2	0	2	2	6
Adnex- u. Hautanhangsneopl.	8420/3: Zeruminaladenokarzinom	0	0	1	0	0	1
Adnex- u. Hautanhangsneopl.	Total	0	0	1	0	0	1
Adenokarzinome	8140/2: Adenocarcinoma in situ o.n.A.	1	0	0	0	0	1
Adenokarzinome	8140/3: Adenokarzinom o.n.A.	102	91	106	105	96	500
Adenokarzinome	8140/6: Adenokarzinom-Metastase o.n.A.	0	2	2	4	3	11
Adenokarzinome	8144/3: Adenokarzinom vom intestinalen Typ	3	1	2	3	1	10
Adenokarzinome	8145/3: Diffuses Karzinom	4	1	2	0	2	9
Adenokarzinome	8148/2: Glanduläre intraepitheliale Neoplasie, hochgradig	0	0	1	0	0	1
Adenokarzinome	8211/3: Tubuläres Adenokarzinom	4	7	2	5	3	21
Adenokarzinome	8255/3: Adenokarzinom mit gemischten Subtypen	1	1	3	1	2	8
Adenokarzinome	8260/3: Papilläres Adenokarzinom o.n.A.	0	1	0	0	0	1
Adenokarzinome	8480/3: Muzinöses Adenokarzinom	2	0	1	1	2	6
Adenokarzinome	8490/3: Siegelringzellkarzinom	10	10	16	12	12	60
Adenokarzinome	8490/6: Metastase e. Siegelringzellkarzinomes	1	0	1	0	1	3
Adenokarzinome	8500/3: Invasives duktales Karzinom o.n.A.	0	0	1	0	0	1
Adenokarzinome	8550/3: Azinuszellkarzinom	0	1	0	0	0	1
Adenokarzinome	Total	128	115	137	131	122	633
n.n.b. Karzinome	8010/3: Karzinom o.n.A.	4	0	1	1	2	8
n.n.b. Karzinome	Total	4	0	1	1	2	8
	Total	132	117	139	134	126	648
neuroendokrine T.							
neuroendokrine T.	8013/3: Großz. Neuroendokr. Karzinom	0	2	0	0	0	2
neuroendokrine T.	8154/3: Malig. gem. endokr. u. exokr. Pankreast.	1	0	0	0	0	1
neuroendokrine T.	8242/3: Malig. Enterochromaffin-like-cell-T.	0	1	0	0	0	1
neuroendokrine T.	8246/3: Neuroendokrines Karzinom o.n.A.	0	0	0	0	1	1

Tabelle 10.10: Histologie-Übersicht für C16 - Magen - absolute Häufigkeiten der Tumorhistologien stratifiziert (nach ENCR 2017, NCT 2018) für einzelne Berichtsjahre (continued)

Gruppe	Schlüssel	2020	2021	2022	2023	2024	Gesamt
neuroendokrine T.	Total	1	3	0	0	1	5
Total		1	3	0	0	1	5
Sarkome u. Weichgewebetumoren							
andere n.b. Sarkome	8901/3: Adultes pleomorphes Rhabdomyosarkom	1	0	0	0	0	1
andere n.b. Sarkome	Total	1	0	0	0	0	1
n.n.b. Sarkome	8802/3: Riesenzeichensarkom	0	1	0	0	0	1
n.n.b. Sarkome	Total	0	1	0	0	0	1
Total		1	1	0	0	0	2
Andere Tumorarten							
n.n.b. Tumorarten	8000/9: Maligne Neoplasie, unsicher ob Primärtumor oder Metastase	0	0	0	0	1	1
n.n.b. Tumorarten	Total	0	0	0	0	1	1
Total		0	0	0	0	1	1

Tabelle 10.11: Histologie-Übersicht für C15 - Ösophagus - absolute Häufigkeiten der Tumorhistologien stratifiziert (nach ENCR 2017, NCT 2018) für einzelne Berichtsjahre

Gruppe	Schlüssel	2020	2021	2022	2023	2024	Gesamt
Karzinome							
Plattenepi.- u. Überg.zell-Ca.	8070/3: Plattenepithelkarzinom o.n.A.	42	36	43	37	27	185
Plattenepi.- u. Überg.zell-Ca.	8070/6: Plattenepithelkarzinom-Met. o.n.A.	0	1	1	1	0	3
Plattenepi.- u. Überg.zell-Ca.	8071/3: Verhorrendes PE-Karzinom o.n.A.	2	5	10	5	4	26
Plattenepi.- u. Überg.zell-Ca.	8072/3: Großzell. n. verh. PE-Karzinom o.n.A.	2	3	1	2	1	9
Plattenepi.- u. Überg.zell-Ca.	8077/2: Sq. intraepith. Neopl. hochgradig	0	0	0	0	1	1
Plattenepi.- u. Überg.zell-Ca.	8078/3: PE-Karzinom mit Hornbildung	0	1	0	0	0	1
Plattenepi.- u. Überg.zell-Ca.	8083/3: Basaloïdes Plattenepithelkarzinom	1	2	0	0	0	3
Plattenepi.- u. Überg.zell-Ca.	Total	47	48	55	45	33	228
Adenokarzinome	8140/2: Adenocarcinoma in situ o.n.A.	0	0	1	0	0	1
Adenokarzinome	8140/3: Adenokarzinom o.n.A.	36	35	53	37	30	191
Adenokarzinome	8140/6: Adenokarzinom-Metastase o.n.A.	0	0	1	0	2	3
Adenokarzinome	8143/3: Oberflächlich spreitendes Adenokarzinom	0	1	0	0	0	1
Adenokarzinome	8144/3: Adenokarzinom vom intestinalen Typ	0	0	1	0	1	2
Adenokarzinome	8211/3: Tubuläres Adenokarzinom	0	3	0	0	0	3
Adenokarzinome	8480/3: Muzinöses Adenokarzinom	0	0	0	1	1	2
Adenokarzinome	8481/3: Schleimbildendes Adenokarzinom	0	1	0	0	0	1
Adenokarzinome	8490/3: Siegelringzellkarzinom	2	0	0	0	1	3
Adenokarzinome	Total	38	40	56	38	35	207
andere n.b. Karzinome	8560/3: Adenosquamöses Karzinom	0	0	0	3	0	3
andere n.b. Karzinome	Total	0	0	0	3	0	3
n.n.b. Karzinome	8010/3: Karzinom o.n.A.	1	0	2	3	0	6
n.n.b. Karzinome	8010/6: Karzinom-Metastase o.n.A.	0	0	1	0	0	1
n.n.b. Karzinome	8020/3: Undifferenziertes Karzinom o.n.A.	0	1	0	0	0	1
n.n.b. Karzinome	Total	1	1	3	3	0	8
Total		86	89	114	89	68	446
neuroendokrine T.							
neuroendokrine T.	8013/3: Großz. Neuroendokr. Karzinom	0	1	0	0	0	1
neuroendokrine T.	8041/3: Kleinzell. Karzinom o.n.A.	2	0	0	0	1	3
neuroendokrine T.	8246/3: Neuroendokrines Karzinom o.n.A.	1	0	0	0	0	1
neuroendokrine T.	Total	3	1	0	0	1	5
Total		3	1	0	0	1	5
Sarkome u. Weichgewebetumoren							
andere n.b. Sarkome	9043/3: Biphasisches Synovialsarkom	1	0	0	0	0	1
andere n.b. Sarkome	Total	1	0	0	0	0	1
Total		1	0	0	0	0	1

10.3.3 Histopathologisches Grading und UICC-Klassifikation

Die Analyse des histopathologischen Gradings beruht auf den ermittelten **häufigsten Tumorentitäten** (nach ICD-10) (siehe **Abschnitt 7.1**). Von diesen Tumoren wurden ausschließlich die gradingpflichtigen ausgewählt (Entscheidungskriteria basierend auf ICD-10, ICD-O und Histologie), deren Diagnose histologisch oder zytologisch gesichert wurde, und bezüglich der Verteilung der Differenzierungsgrade analysiert.

Folgende Differenzierungsgrade wurden ausgewertet:

- **G1** -> gut differenziert
- **G2** -> mäßig differenziert
- **G3** -> schlecht differenziert
- **G4** -> undifferenziert
- **GX** -> unbekannt

Abbildung 10.1 gibt Ihnen für die häufigsten Tumorfälle Ihrer Einrichtung einen Überblick über die absolute und relative Häufigkeiten der Differenzierungsgrade des histopathologischen Gradings für die betrachteten Tumorfälle von gradingpflichtigen Tumorentitäten. Im Gegensatz zu **Abbildung 10.1 a)** ist in **Abbildung 10.1 b)** das Grading (absolute und relative Häufigkeiten) **ohne** die Fälle mit fehlender Angabe zu den Differenzierungsgraden dargestellt.

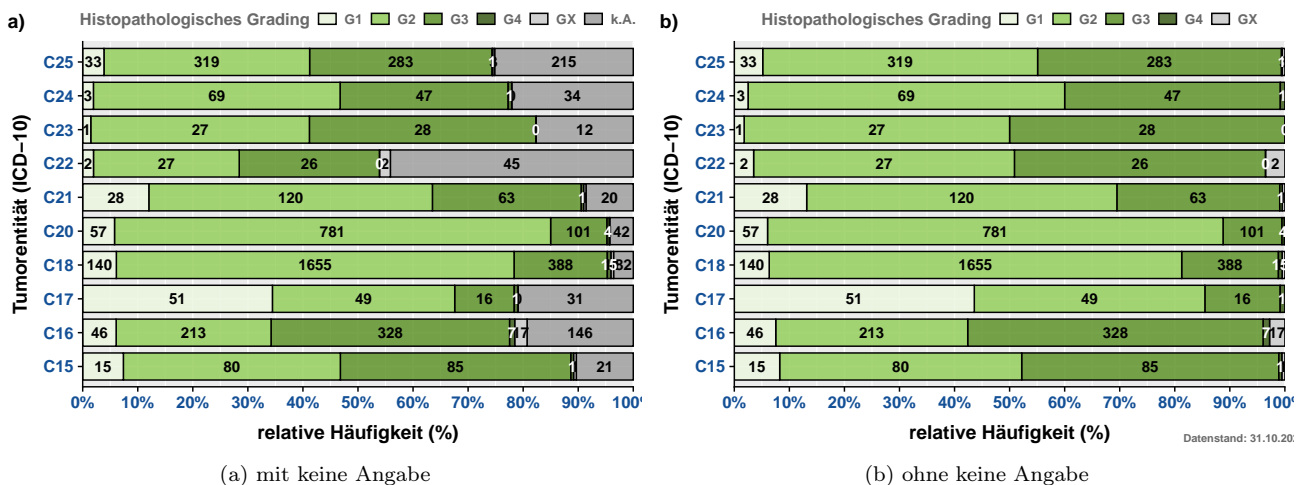


Abbildung 10.1: Histopathologisches Grading für den 5-Jahres Berichtszeitraum (2020 - 2024) - absolute und relative Häufigkeiten der Differenzierungsgrade

10.3.4 UICC-Klassifikation

Die Beschreibung der Stadienverteilung nach UICC beruht auf den ermittelten invasiven Tumorentitäten (nach ICD-10). Von diesen Tumoren wurden ausschließlich die TNM-pflichtigen ausgewählt (Entscheidungskriteria basierend auf ICD-10, ICD-O und Histologie) und bezüglich der Verteilung der Stadien analysiert. In der Auswertung wurden vorrangig pathologische UICC-Stadien verwendet. Lag aufgrund neoadjuvanter oder nicht operativer Behandlungen die pathologische Variante nicht vor, wurde in der Berechnung auf die klinischen UICC-Stadien zurückgegriffen.

Die folgende Abbildung gibt Ihnen einen Überblick über die absoluten und relativen Häufigkeiten der einzelnen Stadien nach UICC für die betrachteten Fälle von TNM-pflichtigen Tumorentitäten (Tumorentitätengruppen nach ICD-10).

10.3.5 Staging

Die Beschreibung der TNM-Verteilung beruht auf den ermittelten häufigsten invasiven Tumorentitäten und wird in der folgenden Abbildung dargestellt. Von diesen Tumoren wurden ausschließlich die TNM-pflichtigen ausgewählt und analysiert (Entscheidungskriteria basierend auf ICD-10, ICD-O und Histologie). In der Auswertung

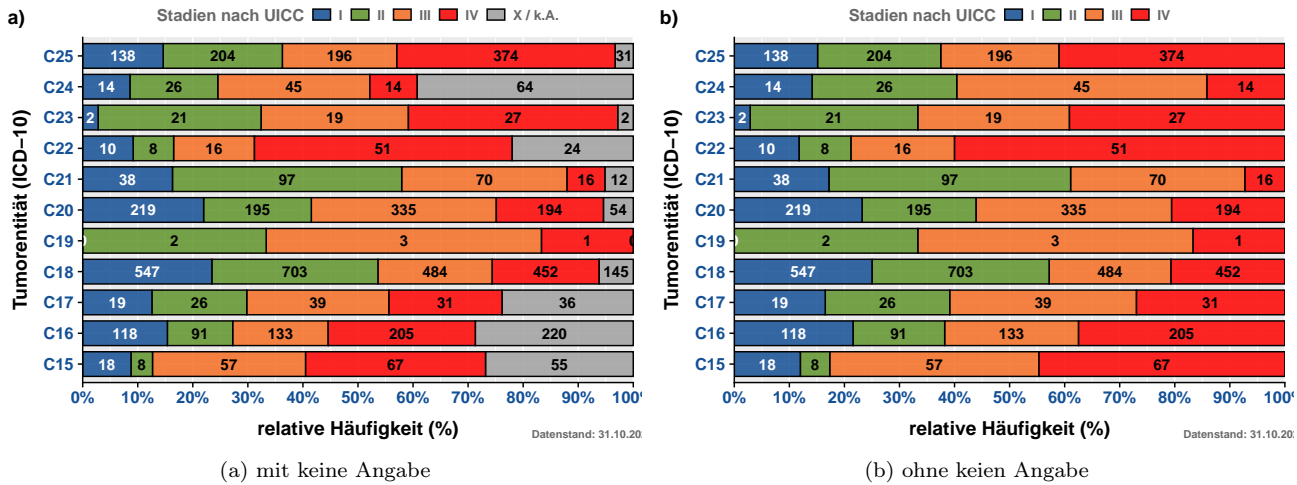


Abbildung 10.2: Stadienverteilung nach UICC für invasive Tumorentitäten (TNM-pflichtig) für den 5-Jahres Berichtszeitraum (2020 - 2024) - absolute und relative Häufigkeiten der Differenzierungsgrade

wurden vorrangig pathologische TNM-Kategorien verwendet. Lag aufgrund neoadjuvanter oder nicht operativer Behandlungen die pathologische Variante nicht vor, wurde in der Berechnung auf die klinischen TNM-Kategorien zurückgegriffen.

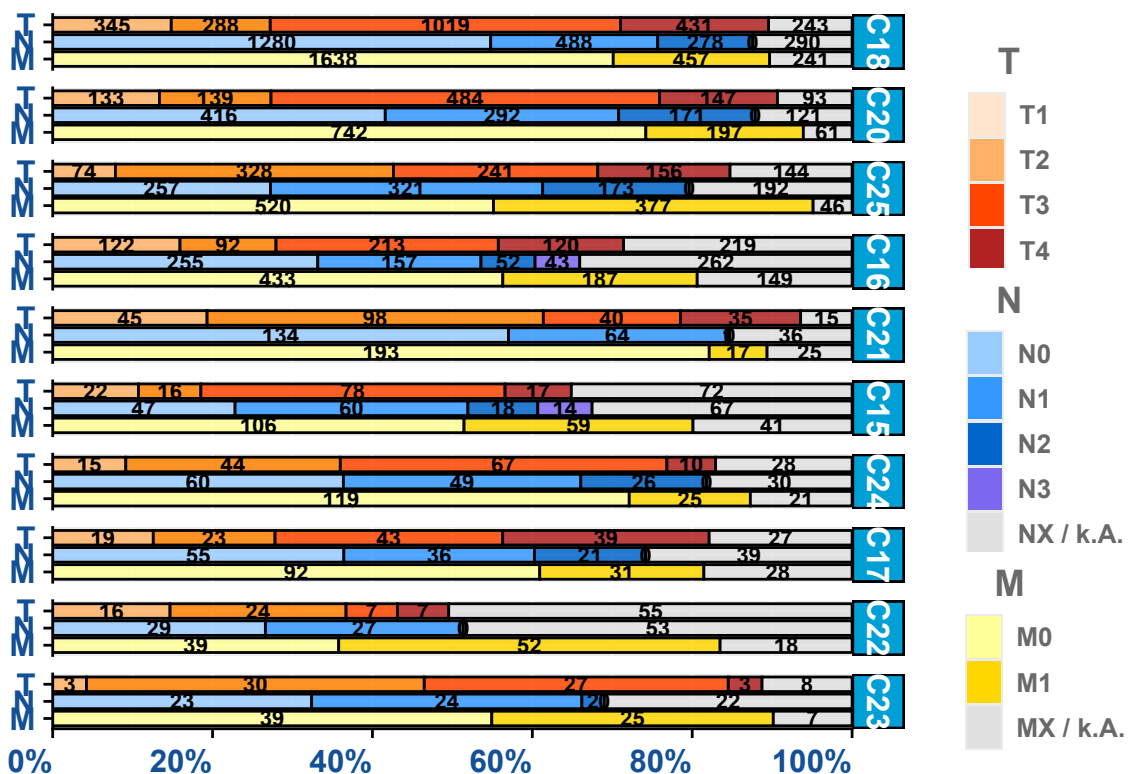


Abbildung 10.3: TNM - Verteilung der TNM-Kategorien der 10 häufigsten invasiven Tumorentitätengruppen (TNM-pflichtig)

10.3.6 Primäre Metastasierung

In diesem Abschnitt wird die primäre Metastasierung Ihrer Tumorfälle analysiert. Primäre Metastasierung umfasst Metastasen, die innerhalb von 92 Tagen nach Diagnosestellung aufgetreten sind. **Tabelle 10.12** listet die primär metastasierten Tumorfälle für die häufigsten Tumorentitäten (ICD-10) auf.

Tabelle 10.12: Absolute und relative Häufigkeiten der Tumorfälle mit primärer Metastasierung nach ICD-10 und Zeitraum

ICD-10 (Diagnose)	Berichtsjahr					GESAMT
	2020	2021	2022	2023	2024	
C15 - Ösophagus	19 (4.5%)	25 (6.2%)	31 (7.6%)	18 (5.0%)	24 (8.4%)	117 (6.2%)
C16 - Magen	45 (10.7%)	39 (9.7%)	43 (10.5%)	41 (11.5%)	37 (12.9%)	205 (10.9%)
C17 - Dünndarm	14 (3.3%)	8 (2.0%)	5 (1.2%)	7 (2.0%)	7 (2.4%)	41 (2.2%)
C18 - Kolon	116 (27.5%)	104 (25.9%)	103 (25.2%)	88 (24.6%)	79 (27.5%)	490 (26.1%)
C20 - Rektum	44 (10.4%)	48 (11.9%)	39 (9.6%)	41 (11.5%)	39 (13.6%)	211 (11.2%)
C21 - Anus u. Analkanal	5 (1.2%)	5 (1.2%)	6 (1.5%)	4 (1.1%)	2 (0.7%)	22 (1.2%)
C22 - Leber u. intrahepat.	23 (5.5%)	33 (8.2%)	33 (8.1%)	24 (6.7%)	10 (3.5%)	123 (6.6%)
Galleng.						
C23 - Gallenblase	9 (2.1%)	7 (1.7%)	8 (2.0%)	5 (1.4%)	5 (1.7%)	34 (1.8%)
C24 - Gallenwege n.n.b.	8 (1.9%)	4 (1.0%)	8 (2.0%)	12 (3.4%)	5 (1.7%)	37 (2.0%)
C25 - Pankreas	139 (32.9%)	129 (32.1%)	132 (32.4%)	117 (32.8%)	79 (27.5%)	596 (31.8%)
GESAMT	422	402	408	357	287	1876

Anmerkung: aktueller Datenstand: 31.10.2025

Tabelle 10.13 zeigt die absolute Häufigkeit der Lokalisationen der primären Fernmetastasen.

Tabelle 10.13: Absolute Häufigkeit der Lokalisation primärer Metastasen (stratifiziert nach ICD-10)

Lokalisation	C15	C16	C18	C20	C22	C23	C24	C25	C17	C19	C21	C26	D01	n
GE] Generalisierte Metastasierung	0	0	0	0	0	1	0	1	0	0	0	0	0	2
SKI Hautmetastasen	2	0	1	0	0	0	0	1	0	0	2	0	0	6
BR] Hirnmetastasen	4	4	3	1	1	1	0	4	0	0	0	0	0	18
MARKnochenmarkmetastasen	0	3	0	0	0	0	0	1	0	0	0	0	0	4
OSS Knochenmetastasen	22	25	14	10	29	1	2	32	1	0	1	0	0	137
HEP Lebermetastasen	54	92	342	157	49	25	22	435	26	1	11	2	2	1218
PU] Lungenmetastasen	39	26	114	80	46	3	8	137	3	1	4	0	0	461
LYM Lymphknotenmetastasen	39	45	74	24	37	5	10	84	3	0	12	0	0	333
OT] Metastasen in anderen Organen	12	29	33	9	14	2	1	52	5	1	1	0	0	159
SPL Milzmetastasen	0	0	2	0	0	1	0	2	0	0	0	0	0	5
AD] Nebennierenmetastasen	4	6	12	1	1	1	1	23	0	0	0	0	0	49
PER Peritoneummetastasen	13	88	166	24	18	13	12	155	12	0	0	0	0	501
PLI Pleurametastasen	4	6	3	0	3	1	1	14	0	0	0	0	0	32
gesamt	193	324	764	306	198	54	57	941	50	3	31	2	2	2925

Anmerkung: aktueller Datenstand: 31.10.2025

10.4. Patientenstruktur

Im Abschnitt Patientenstruktur wird Ihnen für die Patienten mit Tumordiagnosen C15-C26 - Verdauungsorgane das Geschlechterverhältnis, die Altersstruktur sowie die Herkunft der Fälle zum Zeitpunkt der Diagnose dargestellt. Dabei wird der 5-Jahres Berichtszeitraum von **2020 bis 2024** betrachtet.

Abbildung 10.4 zeigt Ihnen die absolute Häufigkeit der betrachteten Tumorfälle aufgesplittet nach Geschlecht (männlich / weiblich) und Tumorentität (ICD-10). Abgebildet sind die in Ihrer Einrichtung aufgetretenen invasiven Tumorentitäten der Berichtsjahre 2020 bis 2024 (basierend auf dem Diagnosejahr).

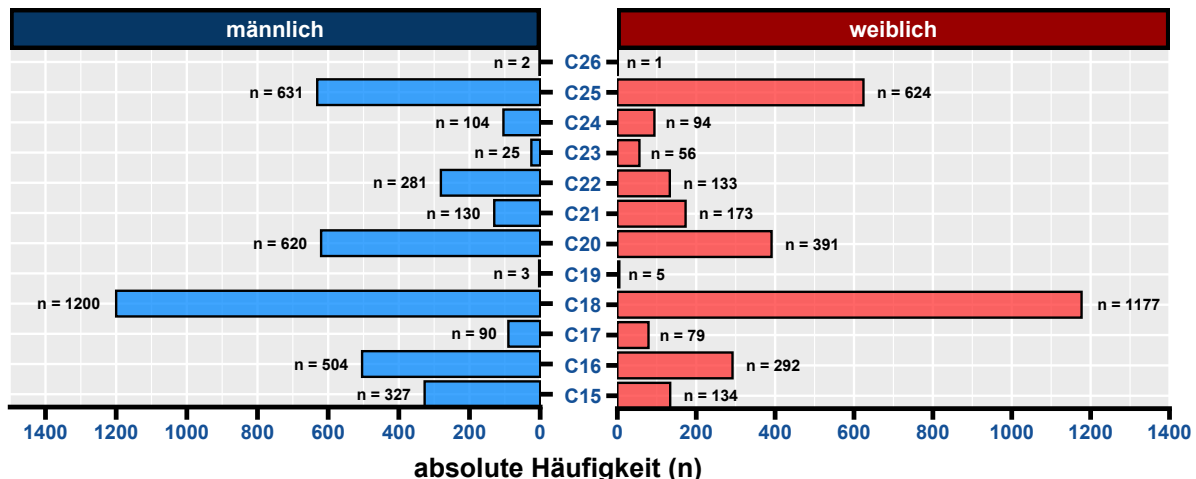


Abbildung 10.4: Geschlechterverhältnis (männlich / weiblich) der Tumorfälle für die Tumorentitäten (nach ICD-10) 5-Jahres Berichtszeitraum (2020 - 2024)

Abbildung 10.5 veranschaulicht Ihnen die Altersverteilung der Tumorentitäten (nach ICD-10) für Männer und Frauen.

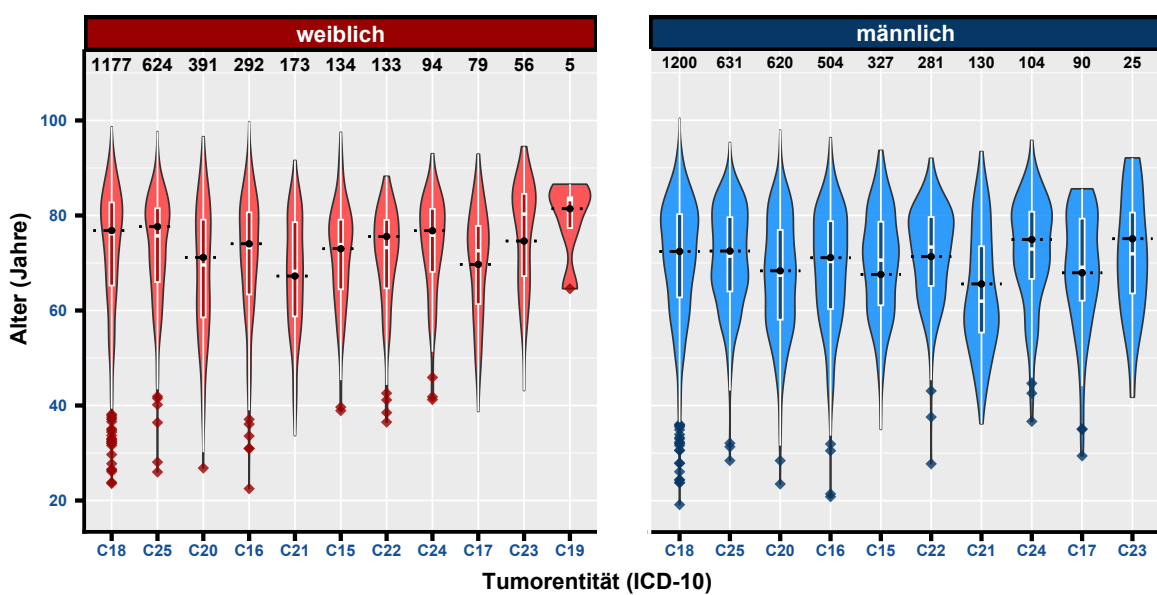


Abbildung 10.5: Altersverteilung der vorkommenden Tumorentitäten (nach ICD-10) je Geschlecht

10.4.1 Herkunft

Das Patientenkollektiv Ihrer Einrichtung stammt, basierend auf dem Wohnort zum Zeitpunkt der Diagnose, aus **16 Bundesländern**. Dabei kommen **6.392** Fälle aus dem Bundesland Berlin und **1.223** Fälle aus dem Bundesland Brandenburg. Aus dem Bundesland Sachsen-Anhalt kommen mit **90** Fällen die meisten Patienten, die nicht in der Region Brandenburg-Berlin zum Zeitpunkt der Diagnose wohnhaft waren. Die folgenden kartographischen Darstellungen stellen Ihnen den Wohnort zum Zeitpunkt der Diagnose Ihrer Patienten detaillierter dar (wenn mindestens 25 Tumorfälle vorliegen). Für Patienten aus dem Bundesland Brandenburg werden die Zahlen (prozentual) auf Gemeindeebene, für Berliner Patienten basierend auf den Prognoseräumen (Konzept der Lebensweltlich orientierten Räumen (LOR)) erhoben. Bitte beachten Sie, dass nur Prognoseräume und Gemeinden in der Darstellung berücksichtigt werden, wenn diese mindestens 5 Tumorfälle vorweisen (**Abbildung 10.6**).

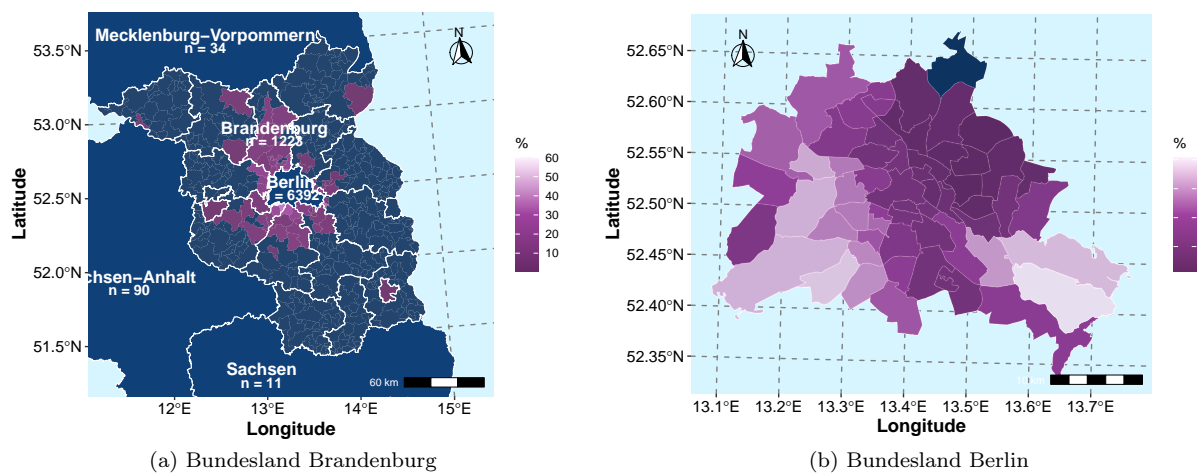


Abbildung 10.6: Prozentuale Darstellung des Wohnorts der Patienten zum Zeitpunkt der Diagnose für Brandenburg (Gemeindeebene) und Berlin (LOR) (mit mindestens 5 Fällen) - 5-Jahres Berichtszeitraum (2020 - 2024)

Tabelle 10.14 stellt Ihnen die absoluten Häufigkeiten der betrachteten Tumorfälle nach Wohnort zum Zeitpunkt der Krebsdiagnose getrennt nach Diagnosejahr (einzelne Berichtsjahre 2020 - 2024) dar. Dabei steht "BB" für Brandenburg, "BE" für Berlin und "Andere BL" für alle anderen Bundesländer.

Tabelle 10.14: Absolute Häufigkeit der Tumorfälle je Wohnort (Bundeslandebene) und pro Berichtsjahr (Diagnosejahr)

Berichtsjahr	BB	BE	Andere BL
2020	261	1357	52
2021	258	1344	66
2022	268	1336	70
2023	236	1274	56
2024	200	1081	31

Anmerkung: aktueller Datenstand: 31.10.2025

10.5. Überlebensanalysen (nach Kaplan-Meier)

Dieser Abschnitt beschreibt das absolute Überleben (Anteil der Patienten, die zu einem bestimmten Zeitpunkt nach ihrer Diagnose noch leben; basierend auf Kaplan-Meier-Schätzwerten) für Patienten Ihrer Einrichtung (diagnostiziert bzw. primärtherapiert) mit Tumordiagnosen der Gruppe **C15-C26 - Verdauungsorgane**, stellt Vergleiche mit Ihrer entsprechenden Referenz (siehe: Beschreibung in der Einleitung) an und analysiert das Gesamtüberleben stratifiziert u. a. nach UICC-Klassifikation, Geschlecht und Alter ("18-49 Jahre", "50-74 Jahre", "75+ Jahre"). Dabei ist zu berücksichtigen, dass das Patientenkollektiv Ihrer Einrichtung sich hinsichtlich Alter, Geschlecht, ECOG, Krankheitsstadien und weiteren Tumoreigenschaften von dem anderer Einrichtungen unterscheiden kann, was die direkte Vergleichbarkeit einschränkt. Stichtag für die Überlebensberechnungen ist der 31.12.2024, das bedeutet, dass die Betrachtung der Überlebenszeit bis zu diesem Datum erfolgt, da bis zu diesem Datum von einer vollständigen Erfassung des Lebendstatus der Patientinnen und Patienten auszugehen ist.

Bei der Interpretation der Überlebensstatistiken achten Sie bitte auf folgende Punkte:

- es werden nur für invasive Tumorentitäten (C00-C97) Überlebensanalysen gerechnet
- die Kaplan-Meier-Schätzwerte beruhen auf den Daten von 01.01.2020 bis zum aktuellen Stichtag 31.12.2024
- Konfidenzintervalle, die eine große Spannweite aufweisen, deuten auf ein größere Ungenauigkeit des Kaplan-Meier-Schätzers hin
- eine geringe Fallanzahl (Gesamt oder pro untersuchte Gruppe) führt zu größeren Konfidenzintervallen

Auf Anfrage (per E-Mail an Datenauswertung@kkrbb.de) stellen wir Ihnen gerne weitere Überlebensdarstellungen und Statistiken Tumorentitäten zur Verfügung.

10.5.1 Überblick für C15-C26 - Verdauungsorgane

Tabelle 10.15 gibt Ihnen einen Überblick über das Patientenkollektiv, für die die Überlebensanalysen gerechnet wurden. Des Weiteren finden Sie für die fünf häufigsten ICD-10 dieser Gruppe ($n \geq 50$) eine separate Auflistung der Merkmale der betrachteten Population.

Tabelle 10.15: Beschreibung des Patientenkollektivs: Charakteristika der eingeschlossenen Patienten für die Überlebensanalysen ('overall' - alle; einzelne ICD-10 (n >= 50))

Variable	**Overall**, N = 6,102	**C15**, N = 322	**C16**, N = 559	**C18**, N = 2,218	**C20**, N = 950	**C25**, N = 1,152
Geschlecht, n (%)						
M	3,384 (55%)	226 (70%)	378 (68%)	1,128 (51%)	588 (62%)	584 (51%)
W	2,718 (45%)	96 (30%)	181 (32%)	1,090 (49%)	362 (38%)	568 (49%)
Alter bei Diagnose, Median (IQR)	72 (62, 80)	71 (62, 77)	71 (61, 79)	74 (64, 81)	68 (58, 77)	73 (65, 81)
Altersgruppe, n (%)						
18-49	377 (6.2%)	12 (3.7%)	50 (8.9%)	143 (6.4%)	85 (8.9%)	34 (3.0%)
50-74	3,231 (53%)	201 (62%)	307 (55%)	1,035 (47%)	567 (60%)	608 (53%)
75+	2,494 (41%)	109 (34%)	202 (36%)	1,040 (47%)	298 (31%)	510 (44%)
Diagnosejahr, n (%)						
2020	1,340 (22%)	57 (18%)	115 (21%)	509 (23%)	212 (22%)	244 (21%)
2021	1,279 (21%)	61 (19%)	98 (18%)	482 (22%)	191 (20%)	248 (22%)
2022	1,243 (20%)	88 (27%)	118 (21%)	415 (19%)	182 (19%)	266 (23%)
2023	1,180 (19%)	66 (20%)	109 (19%)	420 (19%)	196 (21%)	212 (18%)
2024	1,060 (17%)	50 (16%)	119 (21%)	392 (18%)	169 (18%)	182 (16%)
UICC-Klassifikation, n (%)						
I	1,230 (20%)	34 (11%)	119 (21%)	552 (25%)	219 (23%)	154 (13%)
II	1,526 (25%)	52 (16%)	94 (17%)	709 (32%)	197 (21%)	233 (20%)
III	1,540 (25%)	102 (32%)	135 (24%)	489 (22%)	338 (36%)	216 (19%)
IV	1,806 (30%)	134 (42%)	211 (38%)	468 (21%)	196 (21%)	549 (48%)
ECOG, n (%)						
0	2,374 (39%)	99 (31%)	189 (34%)	862 (39%)	468 (49%)	410 (36%)
1	1,338 (22%)	81 (25%)	129 (23%)	489 (22%)	170 (18%)	277 (24%)
2	422 (6.9%)	25 (7.8%)	28 (5.0%)	162 (7.3%)	57 (6.0%)	74 (6.4%)
3	137 (2.2%)	9 (2.8%)	8 (1.4%)	44 (2.0%)	19 (2.0%)	33 (2.9%)
4	25 (0.4%)	2 (0.6%)	1 (0.2%)	9 (0.4%)	2 (0.2%)	5 (0.4%)
X	1,806 (30%)	106 (33%)	204 (36%)	652 (29%)	234 (25%)	353 (31%)

Anmerkung: aktueller Datenstand: 31.10.2025; aktueller Stichtag: 31.12.2024

10.5.2 Überblick für C18 - Kolon

Abbildung 10.7 a) stellt die absoluten Überlebensraten (Kaplan-Meier-Schätzer) für Patienten mit Tumordiagnosen der Tumorentität C18 - Kolon Ihrer Einrichtung im Vergleich zur Referenz bis 5 Jahre nach Erstdiagnose (60 Monate) grafisch dar. In **Abbildung 10.7 b)** werden die absoluten Überlebensraten Ihrer Einrichtung stratifiziert nach UICC-Klassifikation gezeigt.

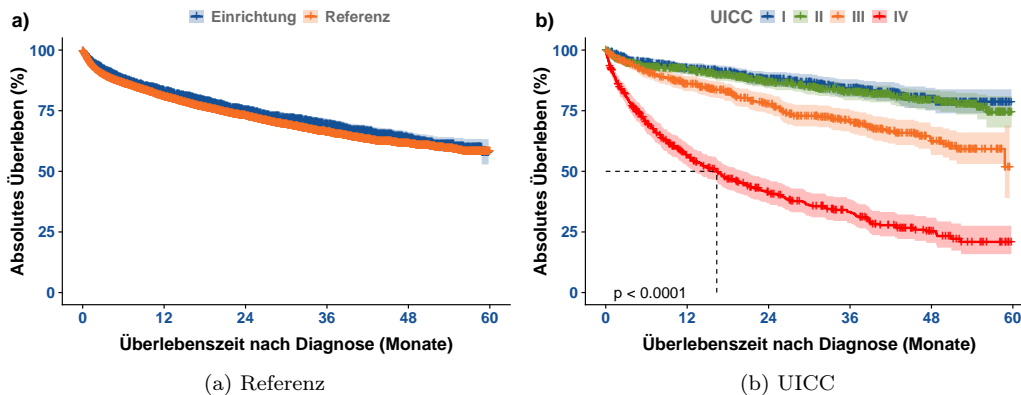


Abbildung 10.7: Darstellung des absoluten Überlebens (Kaplan-Meier-Schätzer) für C18 - Kolon - a) im Vergleich zur Referenz, b) nach UICC-Klassifikation

In den **Tabellen 10.16** und **10.17** werden die Kaplan-Meier-Schätzer (mit Konfidenzintervallen) stratifiziert für das 1-Jahres bis 5-Jahres Überleben sowie für den entsprechenden Median aufgelistet.

Tabelle 10.16: Tabellarische Darstellung der Kaplan-Meier-Schätzwerte mit Konfidenzintervallen (KI) für das Gesamtüberleben für C18 - Kolon der Einrichtung und Referenz

Zeit (Monate)	Einrichtung			Referenz		
	Überlebensrate (%)	95%-KI (%)	Überlebensrate (%)	95%-KI (%)		
0	100.0	99.9 - 100	99.9	99.9 - 100		
12	83.3	81.7 - 84.9	80.9	80.1 - 81.6		
24	75.3	73.3 - 77.3	72.9	72 - 73.8		
36	69.6	67.4 - 71.8	66.3	65.2 - 67.3		
48	63.5	60.9 - 66.2	61.5	60.3 - 62.7		
Median (Monate)	NA	NA - NA	NA	NA - NA		

Tabelle 10.17: Tabellarische Darstellung der Kaplan-Meier-Schätzwerte mit Konfidenzintervallen (KI) für das Gesamtüberleben für C18 - Kolon stratifiziert nach UICC-Klassifikation

Zeit (Monate)	UICC = I		UICC = II		UICC = III		UICC = IV	
	Überlebensrate (%)	95%-KI (%)						
0	100.0	100 - 100	100.0	100 - 100	99.8	99.4 - 100	100.0	100 - 100
12	92.5	90.2 - 94.8	92.0	90 - 94.1	86.1	83 - 89.4	56.8	52.3 - 61.6
24	87.8	84.9 - 90.9	86.9	84.3 - 89.7	77.6	73.7 - 81.7	41.3	36.8 - 46.5
36	84.3	80.7 - 88	82.6	79.3 - 86	70.6	66.1 - 75.4	33.2	28.6 - 38.5
48	79.6	75.1 - 84.4	79.3	75.5 - 83.4	62.3	56.7 - 68.3	25.2	20.5 - 30.9
Median (Monate)	NA	NA - NA	NA	NA - NA	NA	58.8 - NA	16.4	12.8 - 20.4

Anmerkung: aktueller Datenstand: 31.10.2025; aktueller Stichtag: 31.12.2024

Die folgenden Abbildungen **10.8** stellen das Gesamtüberleben für Patienten Ihrer Einrichtung mit Tumordiagnosen der Gruppe C18 - Kolon nach Geschlecht und Alter bei Diagnose dar. In den **Tabellen 10.18** und **10.19** werden die Kaplan-Meier-Schätzer (mit Konfidenzintervallen) stratifiziert nach Geschlecht und Alter bei Diagnose für das 1-Jahres bis 5-Jahres Überleben sowie für den entsprechenden Median aufgelistet.

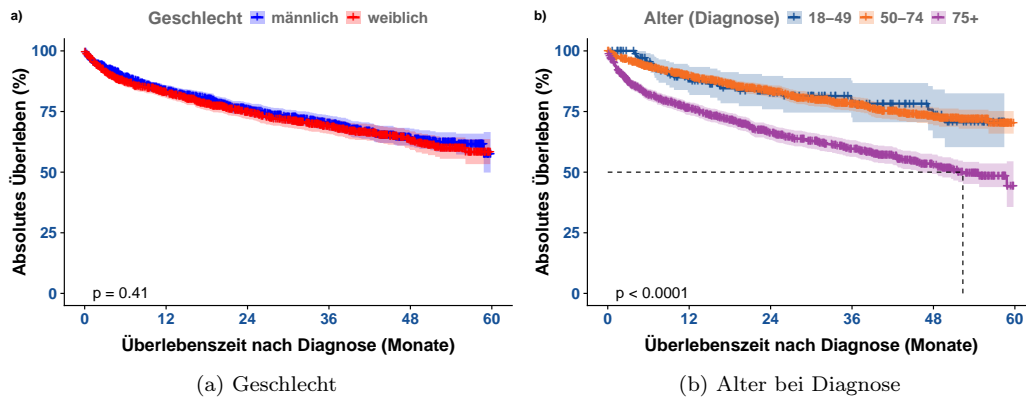


Abbildung 10.8: Darstellung des absoluten Überlebens (Kaplan-Meier-Schätzer) für C18 - Kolon - a) nach Geschlecht, b) nach Alter bei Diagnose in Gruppen

Tabelle 10.18: Tabellarische Darstellung der Kaplan-Meier-Schätzwerte mit Konfidenzintervallen (KI) für das Gesamtüberleben für C18 - Kolon stratifiziert nach Geschlecht

Zeit (Monate)	männlich		weiblich	
	Überlebensrate (%)	95%-KI (%)	Überlebensrate (%)	95%-KI (%)
0	100.0	100 - 100	99.9	99.7 - 100
12	83.7	81.5 - 85.9	82.9	80.7 - 85.3
24	75.9	73.2 - 78.7	74.6	71.9 - 77.5
36	70.2	67.1 - 73.4	68.9	65.8 - 72.2
48	64.1	60.6 - 68	62.9	59.1 - 66.8
Median (Monate)	NA	58.8 - NA	NA	NA - NA

Anmerkung: aktueller Datenstand: 31.10.2025; aktueller Stichtag: 31.12.2024

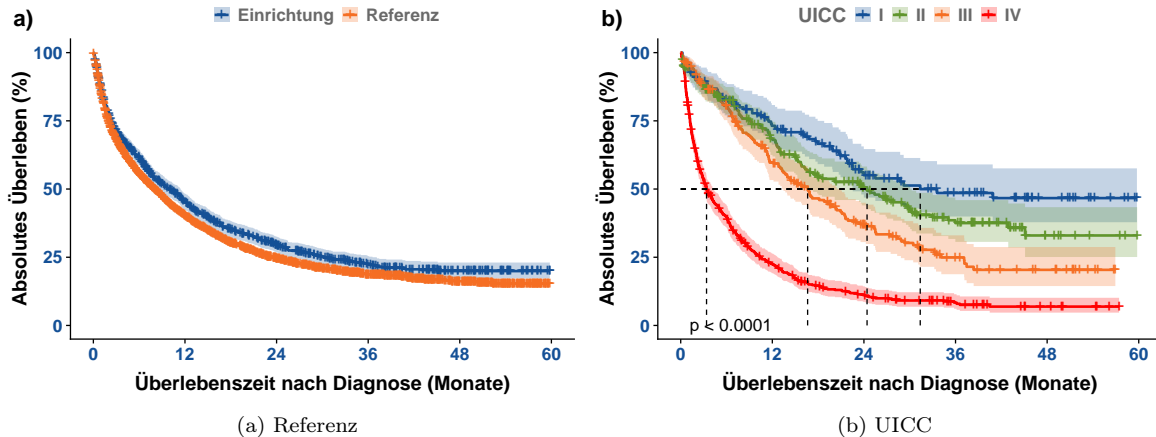
Tabelle 10.19: Tabellarische Darstellung der Kaplan-Meier-Schätzwerte mit Konfidenzintervallen (KI) für das Gesamtüberleben für C18 - Kolon stratifiziert nach Alter bei Diagnose

Zeit (Monate)	Alter = 18-49		Alter = 50-74		Alter = 75+	
	Überlebensrate (%)	95%-KI (%)	Überlebensrate (%)	95%-KI (%)	Überlebensrate (%)	95%-KI (%)
0	100.0	100 - 100	100.0	100 - 100	99.9	99.7 - 100
12	88.3	82.8 - 94	89.7	87.8 - 91.6	76.3	73.6 - 79
24	82.5	75.9 - 89.7	83.4	80.9 - 85.9	66.3	63.2 - 69.5
36	79.8	72.5 - 87.8	78.2	75.3 - 81.3	59.7	56.3 - 63.2
48	73.4	64 - 84.1	72.9	69.3 - 76.6	53.1	49.3 - 57.2
Median (Monate)	NA	NA - NA	NA	NA - NA	52.3	46.1 - NA

Anmerkung: aktueller Datenstand: 31.10.2025; aktueller Stichtag: 31.12.2024

10.5.3 Überblick für C25 - Pankreas

Abbildung 10.9 a) stellt die absoluten Überlebensraten (Kaplan-Meier-Schätzer) für Patienten Ihrer Einrichtung im Vergleich zur Referenz bis 5 Jahre nach Erstdiagnose (60 Monate) grafisch dar. In **Abbildung 10.9 b)** werden die absoluten Überlebensraten Ihrer Einrichtung stratifiziert nach UICC-Klassifikation gezeigt.



In den **Tabellen 10.20** und **10.21** werden die Kaplan-Meier-Schätzer (mit Konfidenzintervallen) stratifiziert für das 1-Jahres bis 5-Jahres Überleben sowie für den entsprechenden Median aufgelistet.

Tabelle 10.20: Tabellarische Darstellung der Kaplan-Meier-Schätzwerte mit Konfidenzintervallen (KI) für das Gesamtüberleben für C25 - Pankreas der Einrichtung und Referenz

Zeit (Monate)	Einrichtung			Referenz	
	Überlebensrate (%)	95%-KI (%)	Überlebensrate (%)	95%-KI (%)	
0	100.0	100 - 100	99.8	99.6 - 99.9	
12	45.2	42.3 - 48.3	40.3	39 - 41.7	
24	29.5	26.8 - 32.5	24.6	23.4 - 25.9	
36	22.4	19.7 - 25.4	18.7	17.5 - 20	
48	19.9	17.2 - 23.1	16.2	15 - 17.6	
Median (Monate)	9.9	8.7 - 11.4	8.0	7.6 - 8.6	

Tabelle 10.21: Tabellarische Darstellung der Kaplan-Meier-Schätzwerte mit Konfidenzintervallen (KI) für das Gesamtüberleben für C25 - Pankreas stratifiziert nach UICC-Klassifikation

Zeit (Monate)	UICC = I		UICC = II		UICC = III		UICC = IV	
	Überlebensrate (%)	95%-KI (%)						
0	100.0	100 - 100	100.0	100 - 100	100.0	100 - 100	100.0	100 - 100
12	73.2	66.3 - 80.8	68.5	62.5 - 75.1	59.8	53.3 - 67.2	22.5	19.1 - 26.3
24	55.1	46.9 - 64.7	50.6	44 - 58.3	37.1	30.6 - 45	11.2	8.7 - 14.3
36	48.5	39.9 - 59	37.5	30.6 - 45.9	24.9	18.8 - 33	8.4	6.1 - 11.4
48	46.7	37.8 - 57.6	33.0	25.1 - 43.4	20.4	14.4 - 28.8	6.9	4.7 - 10.1
Median (Monate)	31.4	22.5 - NA	24.4	16.9 - 30.3	16.6	13.3 - 21	3.4	2.9 - 4.3

Anmerkung: aktueller Datenstand: 31.10.2025; aktueller Stichtag: 31.12.2024

Die folgenden Abbildungen **10.10** stellen das Gesamtüberleben für Patienten Ihrer Einrichtung nach Geschlecht und Alter bei Diagnose dar. In den **Tabellen 10.22** und **10.23** werden die Kaplan-Meier-Schätzer (mit Konfidenzintervallen) stratifiziert nach Geschlecht und Alter bei Diagnose für das 1-Jahres bis 5-Jahres Überleben sowie für den entsprechenden Median aufgelistet.

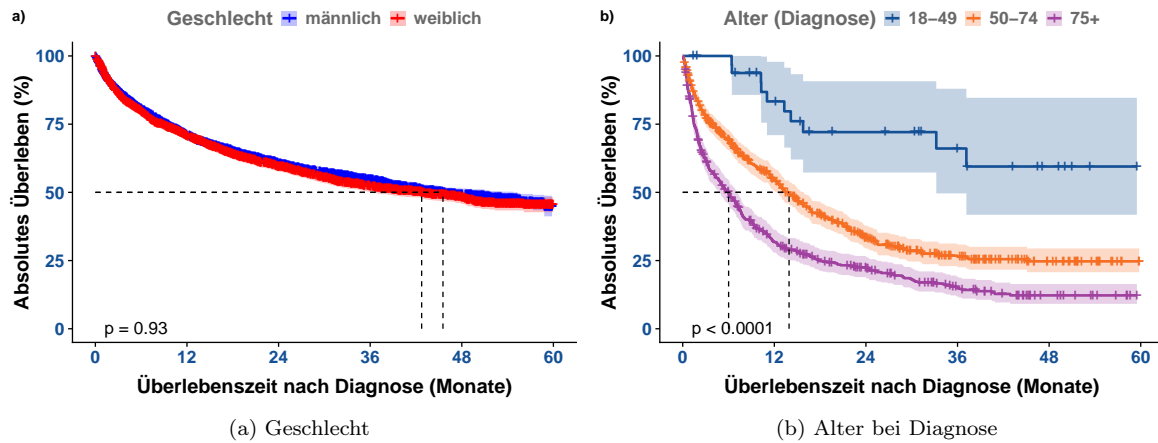


Abbildung 10.10: Darstellung des absoluten Überlebens (Kaplan-Meier-Schätzer) - a) nach Geschlecht, b) nach Alter bei Diagnose in Gruppen

Tabelle 10.22: Tabellarische Darstellung der Kaplan-Meier-Schätzwerte mit Konfidenzintervallen (KI) für das Gesamtüberleben für C25 - Pankreas stratifiziert nach Geschlecht

Zeit (Monate)	männlich		weiblich	
	Überlebensrate (%)	95%-KI (%)	Überlebensrate (%)	95%-KI (%)
0	100.0	100 - 100	100.0	99.9 - 100
12	71.0	69.4 - 72.6	70.9	69.1 - 72.7
24	60.6	58.9 - 62.5	59.6	57.6 - 61.6
36	54.6	52.7 - 56.6	52.2	50.1 - 54.4
48	49.2	47 - 51.4	48.1	45.8 - 50.6
Median (Monate)	45.5	40.4 - 55.3	42.7	36.1 - 48.7

Anmerkung: aktueller Datenstand: 31.10.2025; aktueller Stichtag: 31.12.2024

Tabelle 10.23: Tabellarische Darstellung der Kaplan-Meier-Schätzwerte mit Konfidenzintervallen (KI) für das Gesamtüberleben für C25 - Pankreas stratifiziert nach Alter bei Diagnose

Zeit (Monate)	Alter = 18-49		Alter = 50-74		Alter = 75+	
	Überlebensrate (%)	95%-KI (%)	Überlebensrate (%)	95%-KI (%)	Überlebensrate (%)	95%-KI (%)
0	100.0	100 - 100	100.0	100 - 100	100.0	100 - 100
12	83.3	71 - 97.8	54.6	50.6 - 58.9	31.8	27.9 - 36.2
24	72.1	57.3 - 90.7	33.4	29.5 - 37.8	22.2	18.7 - 26.4
36	66.1	49.6 - 88	26.4	22.6 - 30.9	15.0	11.8 - 19.1
48	59.5	41.8 - 84.7	24.7	20.7 - 29.4	12.2	9.1 - 16.4
Median (Monate)	NA	33.2 - NA	13.9	12.2 - 15.8	6.0	4.8 - 7

Anmerkung: aktueller Datenstand: 31.10.2025; aktueller Stichtag: 31.12.2024

10.5.4 Überblick für C20 - Rektum

Abbildung 10.11 a) stellt die absoluten Überlebensraten (Kaplan-Meier-Schätzer) für Patienten Ihrer Einrichtung im Vergleich zur Referenz bis 5 Jahre nach Erstdiagnose (60 Monate) grafisch dar. In **Abbildung 10.11 b)** werden die absoluten Überlebensraten Ihrer Einrichtung stratifiziert nach UICC-Klassifikation gezeigt.

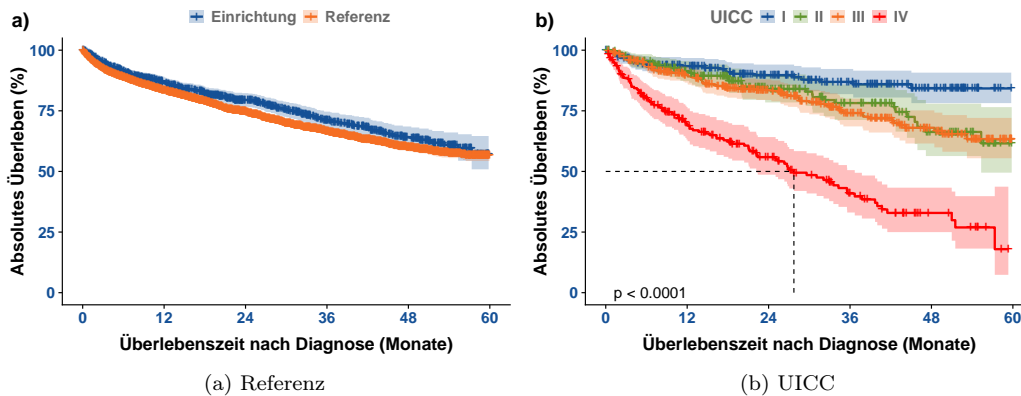


Abbildung 10.11: Darstellung des absoluten Überlebens (Kaplan-Meier-Schätzer) für C20 - Rektum - a) im Vergleich zur Referenz, b) nach UICC-Klassifikation

In den **Tabellen 10.24** und **10.25** werden die Kaplan-Meier-Schätzer (mit Konfidenzintervallen) stratifiziert für das 1-Jahres bis 5-Jahres Überleben sowie für den entsprechenden Median aufgelistet.

Tabelle 10.24: Tabellarische Darstellung der Kaplan-Meier-Schätzwerte mit Konfidenzintervallen (KI) für das Gesamtüberleben für C20 - Rektum der Einrichtung und Referenz

Zeit (Monate)	Einrichtung		Referenz	
	Überlebensrate (%)	95%-KI (%)	Überlebensrate (%)	95%-KI (%)
0	100.0	100 - 100	100.0	100 - 100
12	86.8	84.6 - 89.1	83.6	82.5 - 84.7
24	79.4	76.7 - 82.3	74.7	73.4 - 76.1
36	71.0	67.6 - 74.7	66.7	65.1 - 68.3
48	64.1	59.9 - 68.5	60.2	58.3 - 62.1
Median (Monate)	NA	NA - NA	NA	NA - NA

Tabelle 10.25: Tabellarische Darstellung der Kaplan-Meier-Schätzwerte mit Konfidenzintervallen (KI) für das Gesamtüberleben für C20 - Rektum stratifiziert nach UICC-Klassifikation

Zeit (Monate)	UICC = I		UICC = II		UICC = III		UICC = IV	
	Überlebensrate (%)	95%-KI (%)						
0	100.0	100 - 100	100.0	100 - 100	100.0	100 - 100	100.0	100 - 100
12	93.3	90 - 96.8	91.3	87.3 - 95.5	89.9	86.6 - 93.3	69.5	63.1 - 76.6
24	89.6	85.3 - 94.1	84.0	78.5 - 90	83.6	79.4 - 87.9	55.9	48.7 - 64.2
36	86.9	81.9 - 92.3	78.2	71.2 - 85.8	74.1	68.6 - 80	40.9	33.1 - 50.5
48	84.2	78.2 - 90.7	66.3	56.3 - 78	68.0	61.5 - 75.2	32.9	25 - 43.3
Median (Monate)	NA	NA - NA	NA	55.3 - NA	NA	NA - NA	27.7	22.2 - 36.7

Anmerkung: aktueller Datenstand: 31.10.2025; aktueller Stichtag: 31.12.2024

Die folgenden Abbildungen **10.12** stellen das Gesamtüberleben für Patienten Ihrer Einrichtung nach Geschlecht und Alter bei Diagnose dar. In den **Tabellen 10.26** und **10.27** werden die Kaplan-Meier-Schätzer (mit Konfidenzintervallen) stratifiziert nach Geschlecht und Alter bei Diagnose für das 1-Jahres bis 5-Jahres Überleben sowie für den entsprechenden Median aufgelistet.

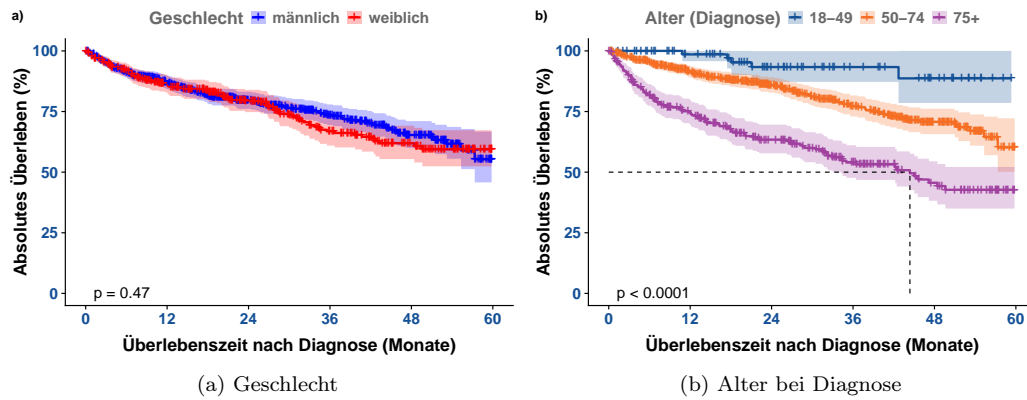


Abbildung 10.12: Darstellung des absoluten Überlebens (Kaplan-Meier-Schätzer) für C20 - Rektum - a) nach Geschlecht, b) nach Alter bei Diagnose in Gruppen

Tabelle 10.26: Tabellarische Darstellung der Kaplan-Meier-Schätzwerte mit Konfidenzintervallen (KI) für das Gesamtüberleben für C20 - Rektum stratifiziert nach Geschlecht

Zeit (Monate)	männlich		weiblich	
	Überlebensrate (%)	95%-KI (%)	Überlebensrate (%)	95%-KI (%)
0	100.0	100 - 100	100.0	100 - 100
12	87.0	84.3 - 89.9	86.5	82.9 - 90.2
24	79.6	76.1 - 83.2	79.2	74.7 - 83.9
36	73.5	69.4 - 77.9	66.8	60.9 - 73.3
48	65.3	60 - 71.1	61.9	55.4 - 69.2
Median (Monate)	NA	57.3 - NA	NA	NA - NA

Anmerkung: aktueller Datenstand: 31.10.2025; aktueller Stichtag: 31.12.2024

Tabelle 10.27: Tabellarische Darstellung der Kaplan-Meier-Schätzwerte mit Konfidenzintervallen (KI) für das Gesamtüberleben für C20 - Rektum stratifiziert nach Alter bei Diagnose

Zeit (Monate)	Alter = 18-49		Alter = 50-74		Alter = 75+	
	Überlebensrate (%)	95%-KI (%)	Überlebensrate (%)	95%-KI (%)	Überlebensrate (%)	95%-KI (%)
0	100.0	100 - 100	100.0	100 - 100	100.0	100 - 100
12	98.6	95.8 - 100	91.5	89.1 - 93.9	74.7	69.8 - 79.9
24	93.3	87.2 - 99.9	85.9	82.8 - 89.1	63.4	57.8 - 69.6
36	93.3	87.2 - 99.9	77.2	73 - 81.6	54.0	47.6 - 61.1
48	88.7	78.5 - 100	70.7	65.7 - 76.2	45.6	38.2 - 54.5
Median (Monate)	NA	NA - NA	NA	NA - NA	44.4	34.3 - NA

Anmerkung: aktueller Datenstand: 31.10.2025; aktueller Stichtag: 31.12.2024

10.5.5 Überblick für C16 - Magen

Abbildung 10.13 a) stellt die absoluten Überlebensraten (Kaplan-Meier-Schätzer) für Patienten Ihrer Einrichtung im Vergleich zur Referenz bis 5 Jahre nach Erstdiagnose (60 Monate) grafisch dar. In **Abbildung 10.13 b)** werden die absoluten Überlebensraten Ihrer Einrichtung stratifiziert nach UICC-Klassifikation gezeigt.

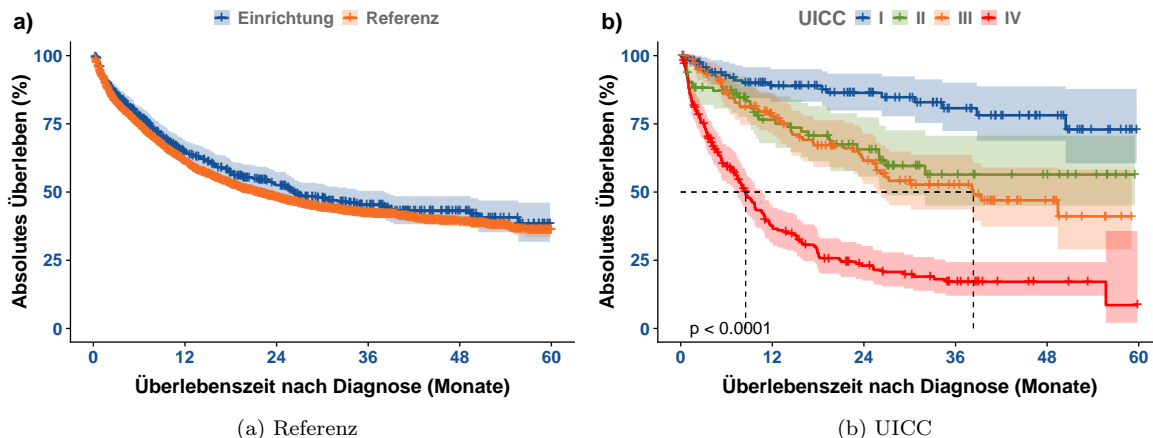


Abbildung 10.13: Darstellung des absoluten Überlebens (Kaplan-Meier-Schätzer) für C16 - Magen - a) im Vergleich zur Referenz, b) nach UICC-Klassifikation

In den **Tabellen 10.28** und **10.29** werden die Kaplan-Meier-Schätzer (mit Konfidenzintervallen) stratifiziert für das 1-Jahres bis 5-Jahres Überleben sowie für den entsprechenden Median aufgelistet.

Tabelle 10.28: Tabellarische Darstellung der Kaplan-Meier-Schätzwerte mit Konfidenzintervallen (KI) für das Gesamtüberleben für C16 - Magen der Einrichtung und Referenz

Zeit (Monate)	Einrichtung			Referenz	
	Überlebensrate (%)	95%-KI (%)	Überlebensrate (%)	95%-KI (%)	
0	100.0	100 - 100	99.9	99.8 - 100	
12	65.0	60.9 - 69.3	61.4	59.7 - 63.1	
24	52.5	48.1 - 57.3	48.1	46.3 - 49.9	
36	45.2	40.6 - 50.4	42.5	40.6 - 44.4	
48	43.0	38.2 - 48.5	39.3	37.3 - 41.4	
Median (Monate)	26.3	22.6 - 38.1	21.6	19.3 - 24	

Tabelle 10.29: Tabellarische Darstellung der Kaplan-Meier-Schätzwerte mit Konfidenzintervallen (KI) für das Gesamtüberleben für C16 - Magen stratifiziert nach UICC-Klassifikation

Zeit (Monate)	UICC = I		UICC = II		UICC = III		UICC = IV	
	Überlebensrate (%)	95%-KI (%)						
0	100.0	100 - 100	100.0	100 - 100	100.0	100 - 100	100.0	100 - 100
12	88.9	83.1 - 95	76.5	67.9 - 86.2	78.6	71.7 - 86.1	37.7	31.4 - 45.3
24	86.4	79.9 - 93.4	65.6	55.6 - 77.4	61.5	53 - 71.4	23.0	17.5 - 30.2
36	80.7	72.4 - 90.1	56.4	45 - 70.7	52.7	43.6 - 63.6	17.1	12 - 24.3
48	78.1	68.8 - 88.7	56.4	45 - 70.7	47.0	37.3 - 59.1	17.1	12 - 24.3
Median (Monate)	NA	NA - NA	NA	26.8 - NA	38.3	25.6 - NA	8.5	7.2 - 10.7

Anmerkung: aktueller Datenstand: 31.10.2025; aktueller Stichtag: 31.12.2024

Die folgenden Abbildungen **10.14** stellen das Gesamtüberleben für Patienten Ihrer Einrichtung nach Geschlecht und Alter bei Diagnose dar. In den **Tabellen 10.30** und **10.31** werden die Kaplan-Meier-Schätzer (mit Konfidenzintervallen) stratifiziert nach Geschlecht und Alter bei Diagnose für das 1-Jahres bis 5-Jahres Überleben sowie für den entsprechenden Median aufgelistet.

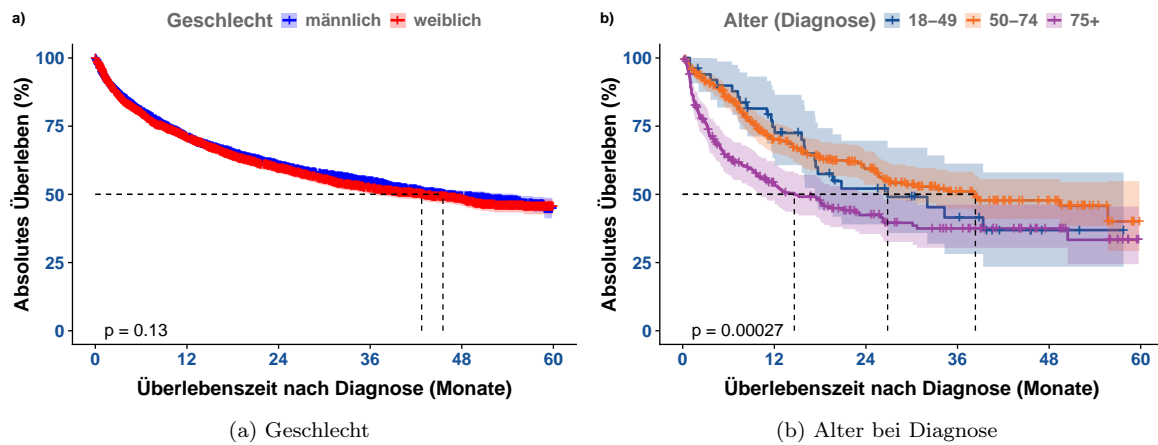


Abbildung 10.14: Darstellung des absoluten Überlebens (Kaplan-Meier-Schätzer) für C16 - Magen - a) nach Geschlecht, b) nach Alter bei Diagnose in Gruppen

Tabelle 10.30: Tabellarische Darstellung der Kaplan-Meier-Schätzwerte mit Konfidenzintervallen (KI) für das Gesamtüberleben für C16 - Magen stratifiziert nach Geschlecht

Zeit (Monate)	männlich		weiblich	
	Überlebensrate (%)	95%-KI (%)	Überlebensrate (%)	95%-KI (%)
0	100.0	100 - 100	100.0	99.9 - 100
12	71.0	69.4 - 72.6	70.9	69.1 - 72.7
24	60.6	58.9 - 62.5	59.6	57.6 - 61.6
36	54.6	52.7 - 56.6	52.2	50.1 - 54.4
48	49.2	47 - 51.4	48.1	45.8 - 50.6
Median (Monate)	45.5	40.4 - 55.3	42.7	36.1 - 48.7

Anmerkung: aktueller Datenstand: 31.10.2025; aktueller Stichtag: 31.12.2024

Tabelle 10.31: Tabellarische Darstellung der Kaplan-Meier-Schätzwerte mit Konfidenzintervallen (KI) für das Gesamtüberleben für C16 - Magen stratifiziert nach Alter bei Diagnose

Zeit (Monate)	Alter = 18-49		Alter = 50-74		Alter = 75+	
	Überlebensrate (%)	95%-KI (%)	Überlebensrate (%)	95%-KI (%)	Überlebensrate (%)	95%-KI (%)
0	100.0	100 - 100	100.0	100 - 100	100.0	100 - 100
12	74.7	63.3 - 88.2	70.2	65 - 75.9	54.5	47.7 - 62.2
24	52.1	39 - 69.7	59.3	53.5 - 65.7	42.4	35.4 - 50.7
36	41.5	28.1 - 61.3	51.1	44.7 - 58.3	37.5	30.4 - 46.2
48	36.9	23.4 - 58	47.8	41 - 55.6	37.5	30.4 - 46.2
Median (Monate)	26.8	17.3 - NA	38.3	26 - NA	14.6	9.9 - 26

Anmerkung: aktueller Datenstand: 31.10.2025; aktueller Stichtag: 31.12.2024

10.5.6 Überblick für C15 - Ösophagus

Abbildung 10.15 a) stellt die absoluten Überlebensraten (Kaplan-Meier-Schätzer) für Patienten Ihrer Einrichtung im Vergleich zur Referenz bis 5 Jahre nach Erstdiagnose (60 Monate) grafisch dar. In **Abbildung 10.15 b)** werden die absoluten Überlebensraten Ihrer Einrichtung stratifiziert nach UICC-Klassifikation gezeigt.

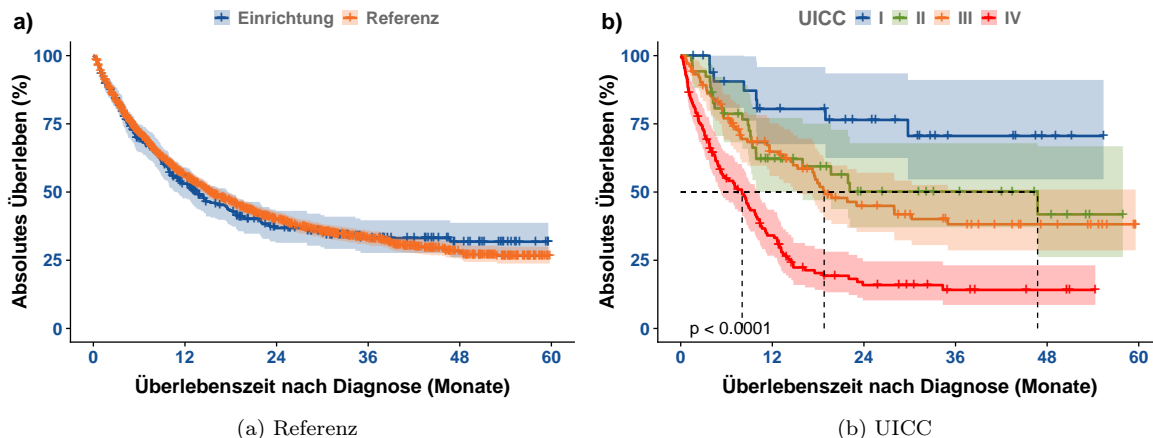


Abbildung 10.15: Darstellung des absoluten Überlebens (Kaplan-Meier-Schätzer) für C15 - Ösophagus - a) im Vergleich zur Referenz, b) nach UICC-Klassifikation

In den **Tabellen 10.32** und **10.33** werden die Kaplan-Meier-Schätzer (mit Konfidenzintervallen) stratifiziert für das 1-Jahres bis 5-Jahres Überleben sowie für den entsprechenden Median aufgelistet.

Tabelle 10.32: Tabellarische Darstellung der Kaplan-Meier-Schätzwerte mit Konfidenzintervallen (KI) für das Gesamtüberleben für C15 - Ösophagus der Einrichtung und Referenz

Zeit (Monate)	Einrichtung		Referenz	
	Überlebensrate (%)	95%-KI (%)	Überlebensrate (%)	95%-KI (%)
0	100.0	100 - 100	100.0	100 - 100
12	53.1	47.7 - 59.1	56.1	53.7 - 58.6
24	36.8	31.4 - 43.1	40.1	37.6 - 42.8
36	33.1	27.7 - 39.6	33.2	30.7 - 36
48	31.8	26.1 - 38.7	28.4	25.7 - 31.4
Median (Monate)	13.4	10.6 - 17.6	15.3	14.1 - 17.3

Tabelle 10.33: Tabellarische Darstellung der Kaplan-Meier-Schätzwerte mit Konfidenzintervallen (KI) für das Gesamtüberleben für C15 - Ösophagus stratifiziert nach UICC-Klassifikation

Zeit (Monate)	UICC = I		UICC = II		UICC = III		UICC = IV	
	Überlebensrate (%)	95%-KI (%)						
0	100.0	100 - 100	100.0	100 - 100	100.0	100 - 100	100.0	100 - 100
12	80.5	67.6 - 95.8	62.1	50 - 77.2	64.8	55.9 - 75.2	34.1	26.7 - 43.5
24	76.4	62.5 - 93.5	50.2	37.1 - 67.9	44.9	35.4 - 57.1	15.9	10.3 - 24.6
36	70.6	54.7 - 91.1	50.2	37.1 - 67.9	38.2	28.6 - 50.9	14.1	8.6 - 23.1
48	70.6	54.7 - 91.1	41.8	26.2 - 66.8	38.2	28.6 - 50.9	14.1	8.6 - 23.1
Median (Monate)	NA	NA - NA	46.8	9.9 - NA	18.8	15.3 - NA	8.0	5.3 - 10.1

Anmerkung: aktueller Datenstand: 31.10.2025; aktueller Stichtag: 31.12.2024

Die folgenden Abbildungen **10.16** stellen das Gesamtüberleben für Patienten Ihrer Einrichtung nach Geschlecht und Alter bei Diagnose dar. In den **Tabellen 10.34** und **10.35** werden die Kaplan-Meier-Schätzer (mit Konfidenzintervallen) stratifiziert nach Geschlecht und Alter bei Diagnose für das 1-Jahres bis 5-Jahres Überleben sowie für den entsprechenden Median aufgelistet.

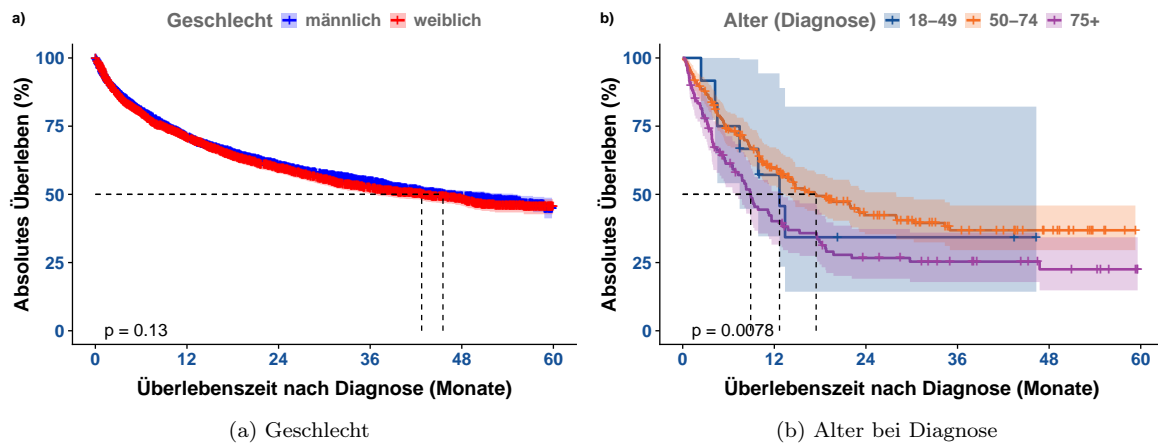


Abbildung 10.16: Darstellung des absoluten Überlebens (Kaplan-Meier-Schätzer) für C15 - Ösophagus - a) nach Geschlecht, b) nach Alter bei Diagnose in Gruppen

Tabelle 10.34: Tabellarische Darstellung der Kaplan-Meier-Schätzwerte mit Konfidenzintervallen (KI) für das Gesamtüberleben für C15 - Ösophagus stratifiziert nach Geschlecht

Zeit (Monate)	männlich		weiblich	
	Überlebensrate (%)	95%-KI (%)	Überlebensrate (%)	95%-KI (%)
0	100.0	100 - 100	100.0	99.9 - 100
12	71.0	69.4 - 72.6	70.9	69.1 - 72.7
24	60.6	58.9 - 62.5	59.6	57.6 - 61.6
36	54.6	52.7 - 56.6	52.2	50.1 - 54.4
48	49.2	47 - 51.4	48.1	45.8 - 50.6
Median (Monate)	45.5	40.4 - 55.3	42.7	36.1 - 48.7

Anmerkung: aktueller Datenstand: 31.10.2025; aktueller Stichtag: 31.12.2024

Tabelle 10.35: Tabellarische Darstellung der Kaplan-Meier-Schätzwerte mit Konfidenzintervallen (KI) für das Gesamtüberleben für C15 - Ösophagus stratifiziert nach Alter bei Diagnose

Zeit (Monate)	Alter = 18-49		Alter = 50-74		Alter = 75+	
	Überlebensrate (%)	95%-KI (%)	Überlebensrate (%)	95%-KI (%)	Überlebensrate (%)	95%-KI (%)
0	100.0	100 - 100	100.0	100 - 100	100.0	100 - 100
12	57.1	34.6 - 94.4	59.8	53.2 - 67.2	40.2	31.6 - 51.1
24	34.3	14.3 - 82.2	42.4	35.4 - 50.8	26.7	19.1 - 37.3
36	34.3	14.3 - 82.2	36.8	29.6 - 45.9	25.3	17.9 - 36
48	NA	NA - NA	36.8	29.6 - 45.9	22.5	14.8 - 34.3
Median (Monate)	12.7	7.5 - NA	17.5	13.5 - 28	8.9	6.9 - 13.1

Anmerkung: aktueller Datenstand: 31.10.2025; aktueller Stichtag: 31.12.2024

11 | C50-C50 - Brustdrüse

Das Kapitel **C50-C50 - Brustdrüse** dieses Rückmeldeberichtes stellt Ihnen verschiedene Auswertungen und Darstellungen zu Tumorfällen von Patienten mit Diagnosen der Gruppe C50-C50 - Brustdrüse zu Verfügung. Neben den Fall- und Behandlungszahlen sowie den Vollständigkeitsangaben werden die Tumoreigenschaften und Patientenstruktur als auch Überlebensanalysen präsentiert.

11.1. Allgemeine Informationen

Tabelle 11.1 fasst die Anzahl der neu diagnostizierten Fälle und therapeutischen Behandlungen (einzelner oder mehrerer Therapieanwendungen) nach Art der Therapie (Operation, Strahlentherapie/Nuklearmedizin, systemische Therapie oder abwartende Therapie) und Verlauf für Tumoren der Gruppe C50-C50 - Brustdrüse Ihrer Einrichtung über den 5-Jahres Berichtszeitraum (2020 bis 2024), als auch für das aktuelle Berichtsjahr (2024) zusammen.

Tabelle 11.1: Anzahl der gemeldeten Diagnosen, therapeutischen Behandlungen und Verläufe für C50-C50 - Brustdrüse

TYP	Anzahl der Behandlungen		Anzahl der Fälle	
	Einrichtung	REF	Einrichtung	REF
5-Jahres Berichtszeitraum (2020 - 2024)				
Diagnose			5906	45.03%
therapeutische Behandlungen	7968	32.06%	5423	32.22%
Operation	6055	32.87%	4917	31.98%
Strahlentherapie	291	18.10%	272	18.68%
Systemtherapie	1616	33.56%	1111	31.33%
abwartende Therapie	0	0.00%	0	0.00%
Verlauf	10752	56.72%	4689	47.67%
Gesamt			10437	34.84%
Aktuelles Berichtsjahr (2024)				
Diagnose			1097	49.02%
therapeutische Behandlungen	1565	36.32%	1180	36.93%
Operation	1289	38.94%	1077	37.84%
Strahlentherapie	20	8.93%	20	9.52%
Systemtherapie	346	40.05%	295	39.81%
abwartende Therapie	0	0.00%	0	0.00%
Verlauf	1567	60.95%	1537	61.55%
Gesamt			2960	48.09%

Anmerkung: Gesamt = Fall mit Diagnose oder Therapie in der Einrichtung; aktueller Datenstand: 31.10.2025

11.2. Vollständigkeit

Im Abschnitt *Vollständigkeit* werden analog zu Teil II “*Qualität und Vollständigkeit*” die Vollständigkeit sowie die Qualität der an das KKRBB gesandten Meldungen zu tumorrelevanten Behandlungen bezüglich der in Ihrer Einrichtung diagnostizierten und / oder therapierten Krebserkrankungen der Tumorentitätengruppe **C50-C50 - Brustdrüse** für den 5-Jahres Berichtszeitraum (2020 bis 2024) beschrieben. Weitere Informationen bezüglich Definition dieser Merkmale finden Sie in Teil II “*Qualität und Vollständigkeit*” des Rückmeldeberichts.

11.2.1 Vollständigkeit von Diagnose- und Histologiemerkmalen

Tabelle 11.2 gibt Ihnen einen Überblick über die Qualität und Vollständigkeit der beschriebenen Diagnose- und Histologiemerkmale für durchgeführte Diagnosen Ihrer Einrichtung; sowohl für den Gesamtzeitraum als auch für die einzelnen Berichtsjahre (basierend auf dem Diagnosejahr). Zudem zeigt Ihnen **Tabelle 11.2** zur Einordnung Ihrer Zahlen die prozentualen Ergebnisse der Vollständigkeit der Referenz (REF).

Tabelle 11.2: Qualität und Vollständigkeit von Diagnose- und Histologiemerkmalen im Zeitverlauf (REF - Referenz)

Merkmalsname	2020	2021	2022	2023	2024	Gesamt	REF
Thematik: DIAGNOSE und HISTOLOGIE							
Gesamt	1118	1192	1152	1347	1097	5906	
Diagnose-Datum	n 1118	1192	1152	1347	1097	5906	
	% 100.0%	100.0%	100.0%	100.0%	100.0%	100.0%	100.0%
tagesgen. Diagnose-Datum	n 1094	1174	1127	1332	1090	5817	
	% 97.9%	98.5%	97.8%	98.9%	99.4%	98.5%	97.6%
Diagnosesicherung (DS)	n 1118	1192	1152	1346	1097	5905	
	% 100.0%	100.0%	100.0%	99.9%	100.0%	100.0%	100.0%
DS (histol. od. zytol.)	n 1109	1189	1133	1331	1089	5851	
	% 99.2%	99.7%	98.4%	98.8%	99.3%	99.1%	98.8%
Lokalisation	n 1118	1192	1152	1347	1097	5906	
	% 100.0%	100.0%	100.0%	100.0%	100.0%	100.0%	100.0%
Seitenlokalisation	n 1118	1192	1152	1347	1097	5906	
	% 100.0%	100.0%	100.0%	100.0%	100.0%	100.0%	100.0%
Histologie*	n 1105	1189	1131	1329	1089	5843	
	% 100.0%	100.0%	100.0%	100.0%	100.0%	100.0%	100.0%
Histologie-Schlüssel*	n 1094	1187	1125	1327	1087	5820	
	% 99.0%	99.8%	99.5%	99.8%	99.8%	99.6%	99.4%
Histologie-Datum*	n 1105	1189	1131	1329	1089	5843	
	% 100.0%	100.0%	100.0%	100.0%	100.0%	100.0%	99.7%
Grading*	n 1101	1182	1137	1319	1083	5822	
	% 99.8%	99.8%	99.9%	99.8%	100.0%	99.9%	99.9%
klin. u. / od. pathol. TNM							
UICC-Klassifikation*	n 1068	1159	1090	1286	1065	5668	
	% 96.8%	97.9%	95.8%	97.3%	98.3%	97.2%	97.9%
TNM (T-Kategorie)*	n 1055	1145	1080	1286	1062	5628	
	% 95.6%	96.7%	94.9%	97.3%	98.1%	96.5%	97.0%
TNM (N-Kategorie)*	n 1053	1144	1076	1286	1060	5619	
	% 95.5%	96.6%	94.6%	97.3%	97.9%	96.4%	96.6%
TNM (M-Kategorie)*	n 1034	1134	1071	1272	1046	5557	
	% 97.3%	98.4%	97.5%	97.4%	98.1%	97.7%	96.5%
klin. TNM							
UICC-Klassifikation*	n 967	1091	994	1232	1015	5299	
	% 91.0%	94.6%	90.4%	94.3%	95.2%	93.2%	89.9%
TNM (T-Kategorie)*	n 967	1093	997	1237	1022	5316	
	% 91.0%	94.8%	90.7%	94.7%	95.9%	93.5%	90.2%
TNM (N-Kategorie)*	n 965	1093	995	1234	1021	5308	
	% 90.8%	94.8%	90.5%	94.5%	95.8%	93.3%	90.0%
TNM (M-Kategorie)*	n 938	1073	984	1219	1004	5218	
	% 88.2%	93.1%	89.5%	93.3%	94.2%	91.8%	88.0%
ECOG	n 718	869	770	1172	992	4521	
	% 66.8%	74.9%	69.5%	88.1%	92.2%	78.6%	68.1%

Anmerkung: n - Anzahl; aktueller Datenstand vom 31.10.2025

* n des Merkmals weicht von Gesamt n ab

11.2.2 Vollständigkeit von Therapiemerkmalen

11.2.2.1 Operation

Tabelle 11.3 gibt Ihnen einen Überblick über die Qualität und Vollständigkeit der beschriebenen Therapiemerkmale für durchgeführte Operationen Ihrer Einrichtung; sowohl für den Gesamtzeitraum als auch für die einzelnen Berichtsjahre (basierend auf dem Jahr der Leistungserbringung). Zudem zeigt Ihnen **Tabelle 11.3** zur Einordnung der Zahlen Ihrer Einrichtung die prozentualen Ergebnisse der Vollständigkeit der Referenz (REF).

Tabelle 11.3: Operation - Qualität und Vollständigkeit von Merkmalen im Zeitverlauf (REF - Referenz)

Merkmalsname	2020	2021	2022	2023	2024	Gesamt	REF
Behandlung: OPERATION							
Gesamt	1057	1187	1134	1388	1289	6055	
OP-Datum	n 1057	n 1187	n 1134	n 1388	n 1289	n 6055	
	% 100.0%	% 100.0%	% 100.0%	% 100.0%	% 100.0%	% 100.0%	
Tagesgenauigkeit (OP)	n 1054	n 1186	n 1134	n 1386	n 1289	n 6049	
	% 99.7%	% 99.9%	% 100.0%	% 99.9%	% 100.0%	% 99.9%	
Therapieintention	n 1057	n 1186	n 1133	n 1387	n 1289	n 6052	
	% 100.0%	% 99.9%	% 99.9%	% 99.9%	% 100.0%	% 100.0%	
OP-Schlüssel vollst.	n 1054	n 1174	n 1127	n 1387	n 1286	n 6028	
	% 99.7%	% 98.9%	% 99.4%	% 99.9%	% 99.8%	% 99.6%	
lokale R-Klass.*	n 969	n 1121	n 1053	n 1253	n 1194	n 5590	
	% 99.9%	% 99.9%	% 100.0%	% 99.8%	% 99.9%	% 99.9%	
globale R-Klass.*	n 963	n 1104	n 1053	n 1254	n 1194	n 5568	
	% 99.3%	% 98.4%	% 100.0%	% 99.9%	% 99.9%	% 99.5%	
Anzahl Lymphkn. (unters.)*	n 694	n 801	n 795	n 967	n 877	n 4134	
	% 89.8%	% 86.8%	% 92.9%	% 94.3%	% 93.2%	% 91.5%	
Anzahl Lymphkn. (befall.)*	n 693	n 801	n 795	n 967	n 877	n 4133	
	% 89.7%	% 86.8%	% 92.9%	% 94.3%	% 93.2%	% 91.5%	
Anzahl Sent.-LK. (unters.)*	n 14	n 6	n 16	n 10	n 9	n 55	
	% 100.0%	% 66.7%	% 100.0%	% 100.0%	% 100.0%	% 94.8%	
Anzahl Sent.-LK. (befall.)*	n 14	n 6	n 16	n 10	n 9	n 55	
	% 100.0%	% 66.7%	% 100.0%	% 100.0%	% 100.0%	% 94.8%	
Komplikationen	n 850	n 962	n 1013	n 1265	n 1154	n 5244	
	% 80.4%	% 81.0%	% 89.3%	% 91.1%	% 89.5%	% 86.6%	
							81.6%

Anmerkung: aktueller Datenstand vom 31.10.2025

* n des Merkmals weicht von Gesamt n ab

11.2.2.2 Strahlentherapie / Nuklearmedizin

Tabelle 11.4 gibt Ihnen einen Überblick über die Qualität und Vollständigkeit der beschriebenen Therapiemerkmale für durchgeführte Strahlentherapien Ihres Hauses; sowohl für den Gesamtzeitraum als auch für die einzelnen Berichtsjahre (basierend auf dem Jahr der Leistungserbringung). Zudem zeigt Ihnen **Tabelle 11.4** zur Einordnung der Zahlen Ihres Hauses die prozentualen Ergebnisse Referenz.

Tabelle 11.4: Strahlentherapie - Qualität und Vollständigkeit von Therapiemerkmalen im Zeitverlauf

Merkmalsname	TYP	2020	2021	2022	2023	2024	Gesamt	REF
Behandlung: STRAHLENTHERAPIE und NUKLEARMEDIZIN								
Gesamt		66	71	62	72	20	291	
Anfang und Ende d. Th.*	n 64	n 71	n 61	n 72	n 20	n 288		
	% 97.0%	% 100.0%	% 98.4%	% 100.0%	% 100.0%	% 99.0%		
Anfang der Th.	n 66	n 71	n 62	n 72	n 20	n 291		
	% 100.0%	% 100.0%	% 100.0%	% 100.0%	% 100.0%	% 100.0%		
Ende der Th.*	n 64	n 71	n 61	n 72	n 20	n 288		
	% 97.0%	% 100.0%	% 98.4%	% 100.0%	% 100.0%	% 99.0%		
Einzeldosis*	n 61	n 67	n 57	n 70	n 20	n 275		
	% 92.4%	% 95.7%	% 96.6%	% 97.2%	% 100.0%	% 95.8%		
Gesamtdosis	n 65	n 68	n 60	n 71	n 20	n 284		

Tabelle 11.4: Strahlentherapie - Qualität und Vollständigkeit von Therapiemerkmalen im Zeitverlauf (continued)

Merkmalsname	TYP	2020	2021	2022	2023	2024	Gesamt	REF
Therapieintention	%	98.5%	95.8%	96.8%	98.6%	100.0%	97.6%	98.5%
	n	66	71	62	72	20	291	
	%	100.0%	100.0%	100.0%	100.0%	100.0%	100.0%	100.0%
Stellung zur OP	n	66	71	62	72	20	291	
	%	100.0%	100.0%	100.0%	100.0%	100.0%	100.0%	100.0%
Applikationsart	n	66	71	62	72	20	291	
	%	100.0%	100.0%	100.0%	100.0%	100.0%	100.0%	99.9%
Nebenwirkungen	n	56	60	54	47	16	233	
	%	84.8%	84.5%	87.1%	65.3%	80.0%	80.1%	94.5%
Therapieabschluss	n	62	70	60	69	19	280	
	%	93.9%	98.6%	96.8%	95.8%	95.0%	96.2%	98.0%

Anmerkung: aktueller Datenstand vom 31.10.2025

* n des Merkmals weicht von Gesamt n ab

11.2.2.3 Systemtherapie

Die folgende Tabelle gibt Ihnen einen Überblick über die Qualität und Vollständigkeit der beschriebenen Therapiemerkmale für durchgeführte Systemtherapien Ihrer Einrichtung; sowohl für den Gesamtzeitraum als auch für die einzelnen Berichtsjahre (basierend auf dem Jahr der Leistungserbringung). Zudem zeigt Ihnen diese Tabelle zur Einordnung der Zahlen Ihrer Einrichtung die prozentualen Ergebnisse der Vollständigkeit der Referenz (REF).

Tabelle 11.5: Systemtherapie - Qualität und Vollständigkeit von Therapiemerkmalen im Zeitverlauf

Merkmalsname	2020	2021	2022	2023	2024	Gesamt	REF
Behandlung: SYSTEMTHERAPIE							
Gesamt	340	306	315	399	256	1616	
Anfang und Ende d. Th.*	n %	188 81.0%	155 82.0%	159 80.3%	171 69.5%	62 56.9%	735 75.5% 71.1%
Anfang der Th.	n %	340 100.0%	306 100.0%	315 100.0%	399 100.0%	256 100.0%	1616 100.0% 100.0%
Ende der Th.*	n %	188 81.0%	155 82.0%	159 80.3%	171 69.5%	62 56.9%	735 75.5% 71.1%
Typ d. syst. Th.	n %	327 96.2%	287 93.8%	296 94.0%	369 92.5%	244 95.3%	1523 94.2% 97.7%
Th.protokoll / Subs.	n %	337 99.1%	304 99.3%	313 99.4%	394 98.7%	255 99.6%	1603 99.2% 99.3%
Therapieintention	n %	339 99.7%	305 99.7%	315 100.0%	397 99.5%	253 98.8%	1609 99.6% 99.8%
Stellung zur OP	n %	332 97.6%	304 99.3%	313 99.4%	394 98.7%	218 85.2%	1561 96.6% 98.7%
Nebenwirkungen*	n %	84 24.7%	92 30.1%	101 32.1%	96 24.1%	55 21.5%	428 26.5% 30.0%
Therapieabschluss	n %	204 60.0%	179 58.5%	188 59.7%	207 51.9%	143 55.9%	921 57.0% 58.2%

Anmerkung: aktueller Datenstand vom 31.10.2025

* n des Merkmals weicht von Gesamt n ab

11.3. Tumoreigenschaften

Im Abschnitt **Tumoreigenschaften** wird Ihnen für die Patienten mit Tumordiagnosen der Tumorentitätengruppe **C50-C50 - Brustdrüse** Ihrer Einrichtung u. a. die Histologien, Klassifizierungen und Metastasen dargestellt. Bei den Analysen wird der 5-Jahres Berichtszeitraum von **2020 bis 2024** betrachtet.

11.3.1 Tumordiagnose (nach ICD-10)

Die Tumordiagnosen werden in diesem Unterabschnitt basierend auf der 5-stelligen ICD-10 beschrieben. **Tabelle 11.6** umfasst die absolute und relative Häufigkeiten der Tumorentitäten beruhend auf dem Jahr der Erstdiagnose für die einzelnen Berichtsjahre und dem Zeitraum (2020 bis 2024). Die prozentualen Angaben in diesen Spalten beziehen sich auf die Gesamtanzahl an Tumorfällen Ihrer Einrichtung. Zudem zeigt Ihnen **Tabelle 11.6** in Spalte *REF* den prozentualen Anteil Ihrer Einrichtung an den entsprechenden Gesamtzahlen der in der Referenz diagnostizierten Tumorfälle.

Tabelle 11.6: ICD-10 - Absolute und relative Häufigkeiten der Tumorentitäten im Zeitverlauf (basierend auf Diagnosejahr)

ICD-10 (Diagnose)	2020	2021	2022	2023	2024	Gesamt	REF
C50 - Brustdrüse	C50.0	7 (0.6%)	12 (1.0%)	17 (1.3%)	4 (0.3%)	8 (0.7%)	48 (0.8%) 15.7%
	C50.1	55 (4.6%)	53 (4.2%)	51 (3.9%)	63 (4.4%)	49 (4.2%)	271 (4.3%) 19.0%
	C50.2	136 (11.4%)	121 (9.6%)	125 (9.6%)	150 (10.6%)	107 (9.2%)	639 (10.1%) 22.7%
	C50.3	75 (6.3%)	79 (6.3%)	63 (4.8%)	70 (4.9%)	64 (5.5%)	351 (5.5%) 20.8%
	C50.4	436 (36.5%)	490 (38.8%)	448 (34.5%)	469 (33.0%)	403 (34.6%)	2246 (35.4%) 21.6%
	C50.5	91 (7.6%)	106 (8.4%)	93 (7.2%)	114 (8.0%)	88 (7.5%)	492 (7.8%) 22.3%
	C50.6	2 (0.2%)	2 (0.2%)	5 (0.4%)	3 (0.2%)	-	12 (0.2%) 14.5%
	C50.8	176 (14.7%)	199 (15.8%)	284 (21.9%)	324 (22.8%)	280 (24.0%)	1263 (19.9%) 19.8%
	C50.9	70 (5.9%)	72 (5.7%)	88 (6.8%)	85 (6.0%)	49 (4.2%)	364 (5.7%) 7.2%
	gesamt	1048 (87.8%)	1134 (89.8%)	1174 (90.4%)	1282 (90.2%)	1048 (89.9%)	5686 (89.6%) 18.7%
D05 - CIS d. Brustdrüse	D05.0	6 (0.5%)	1 (0.1%)	-	8 (0.6%)	5 (0.4%)	20 (0.3%) 19.2%
	D05.1	137 (11.5%)	126 (10.0%)	118 (9.1%)	120 (8.4%)	105 (9.0%)	606 (9.6%) 22.7%
	D05.7	2 (0.2%)	2 (0.2%)	6 (0.5%)	9 (0.6%)	4 (0.3%)	23 (0.4%) 16.0%
	D05.9	1 (0.1%)	-	1 (0.1%)	2 (0.1%)	4 (0.3%)	8 (0.1%) 7.5%
	gesamt	146 (12.2%)	129 (10.2%)	125 (9.6%)	139 (9.8%)	118 (10.1%)	657 (10.4%) 21.7%
GESAMT	GESAMT	1194	1263	1299	1421	1166	6343 19.0%

Anmerkung: aktueller Datenstand: 31.10.2025

11.3.2 Histologie

Die nachfolgenden Analysen umfassen sowohl eine Kategorisierung der Tumoren nach deren dokumentierter Histologie (Hauptklassen nach *ENCR 2017* und *NCT 2018*) sowie das Vorkommen dieser **Histologie-Hauptklassen** (bspw. Karzinome) innerhalb der fünf am häufigsten vorkommenden Entitäten innerhalb der Tumorentitätengruppe **C50-C50 - Brustdrüse** Ihrer Einrichtung. Zudem werden die **Histologie-Hauptklassen** nach den vorhandenen Histologie-Gruppen (nach *ENCR 2017* und *NCT 2018*) und die Verteilung der Histologie-Schlüssel (nach *ICD-O*) für die vorkommenden Tumorentitäten (nach *ICD-10*) tabellarisch dargestellt.

Der folgenden Tabellen beschreiben Ihnen die Tumorfälle (aufgeschlüsselt nach ICD-10), die in Ihrer Einrichtung im 5-Jahres Berichtszeitraum (2020 bis 2024) diagnostiziert oder im Rahmen der Primärtherapie behandelt worden sind, nach deren **Histologie** (Histologie-Schlüssel nach *ICD-O*).

Als Referenz zur Kategorisierung der Histologie-Schlüssel wurden verwendet:

- ENCR 2017 - Ardanaz et. al.: Working Group ENCR guidelines for reporting of multiple primary malignant (invasive) neoplasms - ENCR Multiple primary rules version 4
- NCT 2018 - Adzersen u. Schäfer: Handbuch der allgemeinen Tumordokumentation, 7. Auflage

Tabelle 11.7: Histologie-Übersicht für C50 - Brustdrüse - absolute Häufigkeiten der Tumorhistologien stratifiziert (nach ENCR 2017, NCT 2018) für einzelne Berichtsjahre

Gruppe	Histologie-Schlüssel	2020	2021	2022	2023	2024	Gesamt
Karzinome							
Plattenepi.- u. Überg.zell-Ca.	8070/3: Plattenepithelkarzinom o.n.A.	0	0	0	0	1	1

Tabelle 11.7: Histologie-Übersicht für C50 - Brustdrüse - absolute Häufigkeiten der Tumorhistologien stratifiziert (nach ENCR 2017, NCT 2018) für einzelne Berichtsjahre (continued)

Gruppe	Histologie-Schlüssel	2020	2021	2022	2023	2024	Gesamt
Plattenepi.- u. Überg.zell-Ca.	8071/3: Verhorrendes PE-Karzinom o.n.A.	0	0	0	0	1	1
Plattenepi.- u. Überg.zell-Ca.	Total	0	0	0	0	2	2
Adnex- u. Hautanhangsneopl.	8401/3: Apokrines Adenokarzinom	1	5	6	3	4	19
Adnex- u. Hautanhangsneopl.	Total	1	5	6	3	4	19
Adenokarzinome	8140/3: Adenokarzinom o.n.A.	4	5	6	4	3	22
Adenokarzinome	8140/6: Adenokarzinom-Metastase o.n.A.	2	1	6	1	2	12
Adenokarzinome	8200/3: Adenoid-zystisches Karzinom	0	1	0	1	1	3
Adenokarzinome	8201/3: Kribiformes Karzinom o.n.A.	2	3	1	2	0	8
Adenokarzinome	8211/3: Tubuläres Adenokarzinom	13	10	10	8	5	46
Adenokarzinome	8260/3: Papilläres Adenokarzinom o.n.A.	1	0	0	0	0	1
Adenokarzinome	8265/3: Mikropapilläres Karzinom o.n.A.	0	1	0	2	1	4
Adenokarzinome	8480/3: Muzinöses Adenokarzinom	21	15	14	23	21	94
Adenokarzinome	8500/2: Nichtinfiltrierendes intraduktales Karzinom o.n.A.	1	0	1	7	2	11
Adenokarzinome	8500/3: Invasives duktales Karzinom o.n.A.	803	901	897	1008	853	4462
Adenokarzinome	8503/2: Nichtinv. Intradukt. papilläres Adenokarzinom	0	0	1	0	0	1
Adenokarzinome	8503/3: Intradukt. papilläres Adenokarzinom m. Invasion	1	1	0	1	0	3
Adenokarzinome	8510/3: Medulläres Karzinom o.n.A.	0	0	1	0	1	2
Adenokarzinome	8513/3: Atypisches medulläres Karzinom	1	0	0	0	0	1
Adenokarzinome	8520/3: Lobuläres Karzinom o.n.A.	147	151	181	177	113	769
Adenokarzinome	8521/3: Invasives duktuläres Karzinom	1	0	0	0	0	1
Adenokarzinome	8522/3: Invasives duktales und lobuläres Karzinom	6	9	10	6	5	36
Adenokarzinome	8523/3: Invasives duktales Karzinom gemischt mit anderen Karzinom-Typen	0	7	1	0	2	10
Adenokarzinome	8524/3: Invasives lobuläres Karzinom gemischt mit anderen Karzinom-Typen	1	0	0	0	0	1
Adenokarzinome	8530/3: Inflammatorisches Karzinom	2	0	0	0	1	3
Adenokarzinome	8540/3: M. Paget der Brust	3	4	4	1	1	13
Adenokarzinome	8574/3: Adenokarzinom m. neuroendokr. Diff.	0	0	1	1	0	2
Adenokarzinome	8575/3: Metaplastisches Karzinom o.n.A.	5	3	4	2	6	20
Adenokarzinome	Total	1014	1112	1138	1244	1017	5525
andere n.b. Karzinome	8046/3: Nichtkleinzelliges Karzinom	0	0	1	0	0	1
andere n.b. Karzinome	8560/3: Adenosquamöses Karzinom	0	0	0	0	1	1
andere n.b. Karzinome	Total	0	0	1	0	1	2
n.n.b. Karzinome	8010/3: Karzinom o.n.A.	11	0	6	1	0	18
n.n.b. Karzinome	8010/6: Karzinom-Metastase o.n.A.	0	2	3	0	1	6
n.n.b. Karzinome	8020/3: Undifferenziertes Karzinom o.n.A.	2	0	0	0	1	3
n.n.b. Karzinome	8050/3: Papilläres Karzinom o.n.A.	0	1	1	0	1	3
n.n.b. Karzinome	Total	13	3	10	1	3	30
	Total	1028	1120	1155	1248	1027	5578
neuroendokrine T.							
neuroendokrine T.	8013/3: Großzell. Neuroendokr. Karzinom	0	0	0	0	1	1
neuroendokrine T.	8246/3: Neuroendokrines Karzinom o.n.A.	0	0	0	1	0	1
neuroendokrine T.	Total	0	0	0	1	1	2
	Total	0	0	0	1	1	2
Sarkome u. Weichgewebetumoren							
Hämangiosarkom u. verw.	9120/3: Hämangiosarkom	2	0	2	0	0	4
Hämangiosarkom u. verw.	Total	2	0	2	0	0	4
andere n.b. Sarkome	8805/3: Undifferenziertes Sarkom	0	0	0	1	0	1
andere n.b. Sarkome	8890/3: Leiomyosarkom o.n.A.	0	0	0	0	1	1
andere n.b. Sarkome	9020/3: Maligner Phylloides-Tumor	1	1	1	0	0	3
andere n.b. Sarkome	Total	1	1	1	1	1	5
n.n.b. Sarkome	8800/3: Sarkom o.n.A.	1	1	0	0	0	2
n.n.b. Sarkome	Total	1	1	0	0	0	2
	Total	4	2	3	1	1	11

Tabelle 11.8: Histologie-Übersicht für D05 - CIS d. Brustdrüse - absolute Häufigkeiten der Tumorhistologien stratifiziert (nach ENCR 2017, NCT 2018) für einzelne Berichtsjahre

Gruppe	Schlüssel	2020	2021	2022	2023	2024	Gesamt
Karzinome							
Adenokarzinome	8140/2: Adenocarcinoma in situ o.n.A.	0	0	1	0	0	1
Adenokarzinome	8500/2: Nichtinfiltrierendes intraduktales Karzinom o.n.A.	135	124	117	120	107	603

Tabelle 11.8: Histologie-Übersicht für D05 - CIS d. Brustdrüse - absolute Häufigkeiten der Tumorhistologien stratifiziert (nach ENCR 2017, NCT 2018) für einzelne Berichtsjahre (continued)

Gruppe	Schlüssel	2020	2021	2022	2023	2024	Gesamt
Adenokarzinome	8500/3: Invasives duktales Karzinom o.n.A.	0	0	1	1	0	2
Adenokarzinome	8501/2: Nichtinvasives Komedokarzinom	0	0	0	1	0	1
Adenokarzinome	8503/2: Nichtinv. Intradukt. papilläres	1	2	0	0	1	4
Adenokarzinome	8520/2: Lobuläres Carcinoma in situ o.n.A.	6	1	0	7	5	19
Adenokarzinome	8522/2: Intraduktales Karzinom und lobuläres Carcinoma in situ	0	0	0	1	0	1
Adenokarzinome	8540/3: M. Paget der Brust	0	1	0	1	0	2
Adenokarzinome	Total	142	128	119	131	113	633
n.n.b. Karzinome	8010/2: Carcinoma in situ o.n.A.	2	0	1	0	0	3
n.n.b. Karzinome	8050/2: Papilläres Carcinoma in situ	0	0	0	1	0	1
n.n.b. Karzinome	Total	2	0	1	1	0	4
	Total	144	128	120	132	113	637

11.3.3 Histopathologisches Grading und UICC-Klassifikation

Die Analyse des histopathologischen Gradings beruht auf den ermittelten **häufigsten Tumorentitäten** (nach ICD-10) (siehe *Abschnitt 7.1*). Von diesen Tumoren wurden ausschließlich die gradingpflichtigen ausgewählt (Entscheidungskriteria basierend auf ICD-10, ICD-O und Histologie), deren Diagnose histologisch oder zytologisch gesichert wurde, und bezüglich der Verteilung der Differenzierungsgrade analysiert.

Folgende Differenzierungsgrade wurden ausgewertet:

- **G1** -> gut differenziert
- **G2** -> mäßig differenziert
- **G3** -> schlecht differenziert
- **G4** -> undifferenziert
- **GX** -> unbekannt

Abbildung 11.1 gibt Ihnen für die häufigsten Tumorfälle Ihrer Einrichtung einen Überblick über die absolute und relative Häufigkeiten der Differenzierungsgrade des histopathologischen Gradings für die betrachteten Tumorfälle von gradingpflichtigen Tumorentitäten. Im Gegensatz zu **Abbildung 11.1 a)** ist in **Abbildung 11.1 b)** das Grading (absolute und relative Häufigkeiten) **ohne** die Fälle mit fehlender Angabe zu den Differenzierungsgraden dargestellt.

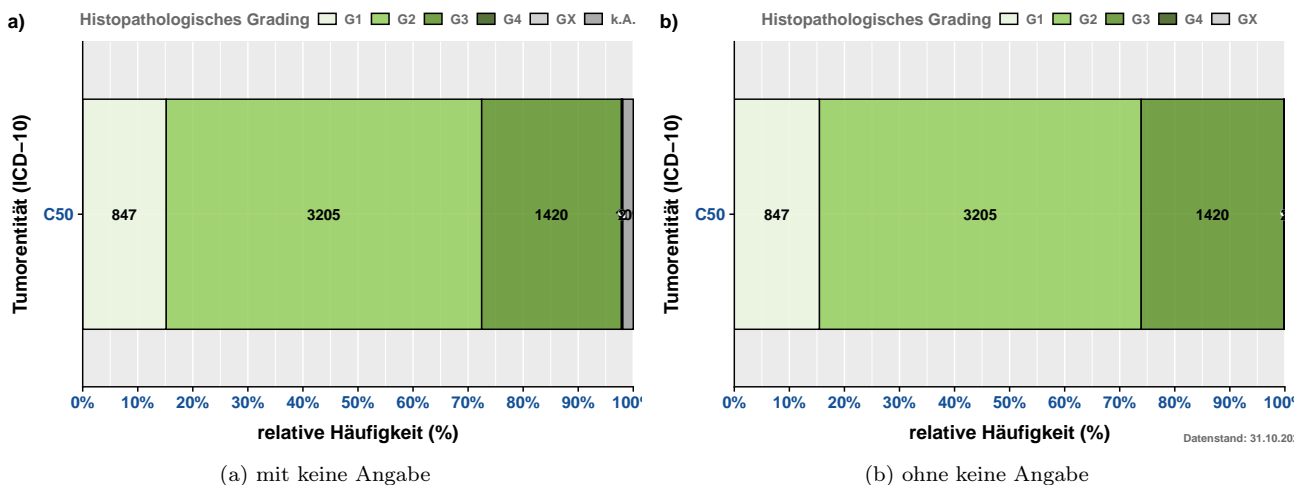


Abbildung 11.1: Histopathologisches Grading für den 5-Jahres Berichtszeitraum (2020 - 2024) - absolute und relative Häufigkeiten der Differenzierungsgrade

11.3.4 UICC-Klassifikation

Die Beschreibung der Stadienverteilung nach UICC beruht auf den ermittelten invasiven Tumorentitäten (nach ICD-10). Von diesen Tumoren wurden ausschließlich die TNM-pflichtigen ausgewählt (Entscheidungskriteria basierend auf ICD-10, ICD-O und Histologie) und bezüglich der Verteilung der Stadien analysiert. In der Auswertung wurden vorrangig pathologische UICC-Stadien verwendet. Lag aufgrund neoadjuvanter oder nicht operativer Behandlungen die pathologische Variante nicht vor, wurde in der Berechnung auf die klinischen UICC-Stadien zurückgegriffen.

Die folgende Abbildung gibt Ihnen einen Überblick über die absoluten und relativen Häufigkeiten der einzelnen Stadien nach UICC für die betrachteten Fälle von TNM-pflichtigen Tumorentitäten (Tumorentitätengruppen nach ICD-10).

11.3.5 Staging

Die Beschreibung der TNM-Verteilung beruht auf den ermittelten häufigsten invasiven Tumorentitäten und wird in der folgenden Abbildung dargestellt. Von diesen Tumoren wurden ausschließlich die TNM-pflichtigen ausgewählt und analysiert (Entscheidungskriteria basierend auf ICD-10, ICD-O und Histologie). In der Auswertung

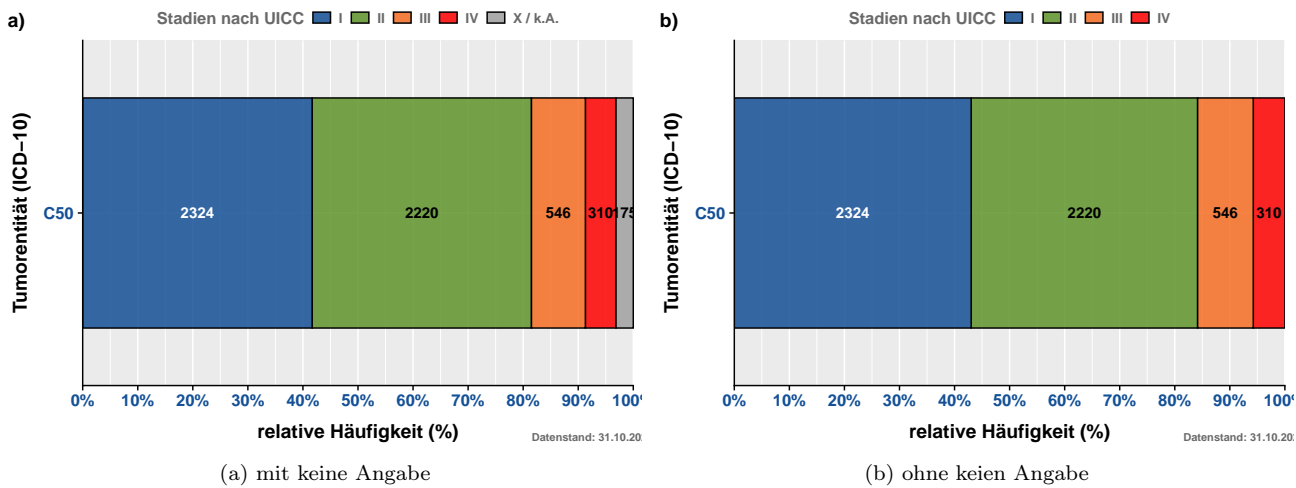


Abbildung 11.2: Stadienverteilung nach UICC für invasive Tumorentitäten (TNM-pflichtig) für den 5-Jahres Berichtszeitraum (2020 - 2024) - absolute und relative Häufigkeiten der Differenzierungsgrade

wurden vorrangig pathologische TNM-Kategorien verwendet. Lag aufgrund neoadjuvanter oder nicht operativer Behandlungen die pathologische Variante nicht vor, wurde in der Berechnung auf die klinischen TNM-Kategorien zurückgegriffen.

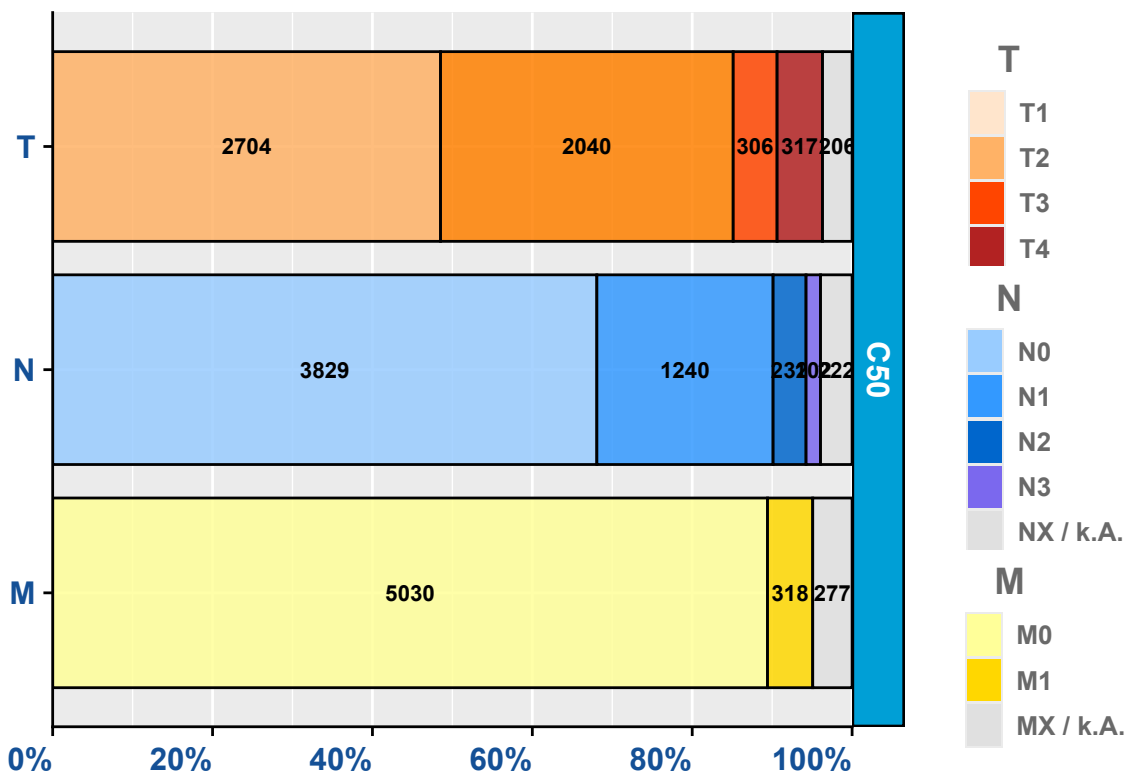


Abbildung 11.3: TNM - Verteilung der TNM-Kategorien der 10 häufigsten invasiven Tumorentitätengruppen (TNM-pflichtig)

11.3.6 Primäre Metastasierung

In diesem Abschnitt wird die primäre Metastasierung Ihrer Tumorfälle analysiert. Primäre Metastasierung umfasst Metastasen, die innerhalb von 92 Tagen nach Diagnosestellung aufgetreten sind. **Tabelle 11.9** listet die primär metastasierten Tumorfälle für die häufigsten Tumorentitäten (ICD-10) auf.

Tabelle 11.9: Absolute und relative Häufigkeiten der Tumorfälle mit primärer Metastasierung nach ICD-10 und Zeitraum

ICD-10 (Diagnose)	Berichtsjahr					GESAMT
	2020	2021	2022	2023	2024	
C50 - Brustdrüse	83 (100.0%)	75 (100.0%)	80 (100.0%)	62 (100.0%)	65 (100.0%)	365 (100.0%)
GESAMT	83	75	80	62	65	365

Anmerkung: aktueller Datenstand: 31.10.2025

Tabelle 11.10 zeigt die absolute Häufigkeit der Lokalisationen der primären Fernmetastasen.

Tabelle 11.10: Absolute Häufigkeit der Lokalisation primärer Metastasen (stratifiziert nach ICD-10)

Lokalisation		C50	n
GEN	Generalisierte Metastasierung	2	2
SKI	Hautmetastasen	24	24
BRA	Hirnmetastasen	10	10
MAR	Knochenmarkmetastasen	7	7
OSS	Knochenmetastasen	233	233
HEP	Lebermetastasen	97	97
PUL	Lungenmetastasen	115	115
LYM	Lymphknotenmetastasen	60	60
OTH	Metastasen in anderen Organen	24	24
SPL	Milzmetastasen	0	0
ADR	Nebennierenmetastasen	7	7
PER	Peritoneummetastasen	17	17
PLE	Pleurametastasen	40	40
gesamt		636	636

Anmerkung: aktueller Datenstand: 31.10.2025

11.4. Patientenstruktur

Im Abschnitt Patientenstruktur wird Ihnen für die Patienten mit Tumordiagnosen C50-C50 - Brustdrüse das Geschlechterverhältnis, die Altersstruktur sowie die Herkunft der Fälle zum Zeitpunkt der Diagnose dargestellt. Dabei wird der 5-Jahres Berichtszeitraum von **2020 bis 2024** betrachtet.

Abbildung 11.4 zeigt Ihnen die absolute Häufigkeit der betrachteten Tumorfälle aufgesplittet nach Geschlecht (männlich / weiblich) und Tumorentität (ICD-10). Abgebildet sind die in Ihrer Einrichtung aufgetretenen invasiven Tumorentitäten der Berichtsjahre 2020 bis 2024 (basierend auf dem Diagnosejahr).

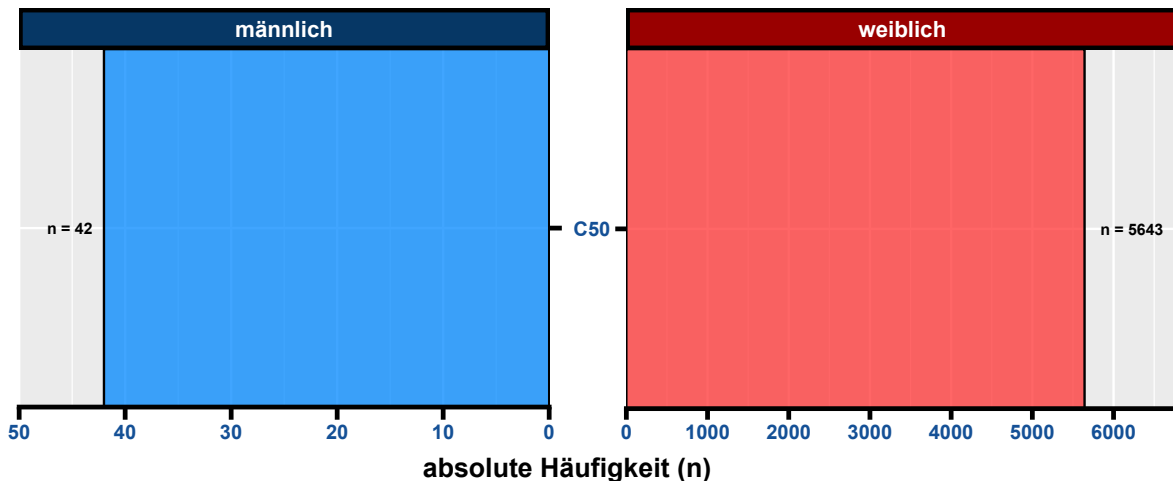


Abbildung 11.4: Geschlechterverhältnis (männlich / weiblich) der Tumorfälle für die Tumorentitäten (nach ICD-10) 5-Jahres Berichtszeitraum (2020 - 2024)

Abbildung 11.5 veranschaulicht Ihnen die Altersverteilung der Tumorentitäten (nach ICD-10) für Männer und Frauen.

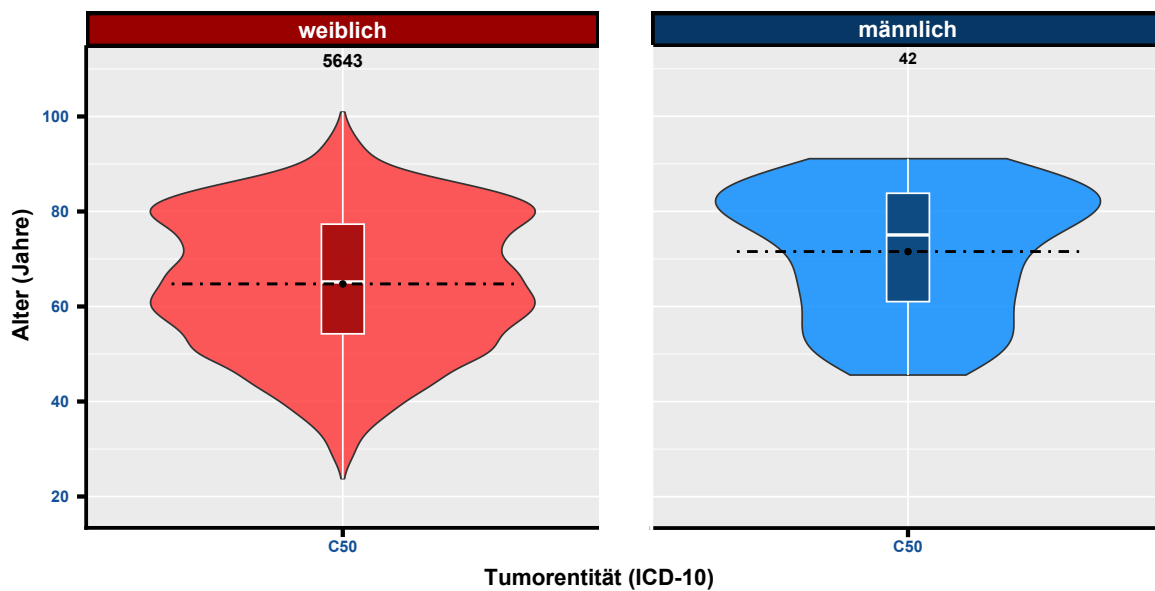


Abbildung 11.5: Altersverteilung der vorkommenden Tumorentitäten (nach ICD-10) je Geschlecht

11.4.1 Herkunft

Das Patientenkollektiv Ihrer Einrichtung stammt, basierend auf dem Wohnort zum Zeitpunkt der Diagnose, aus **12 Bundesländern**. Dabei kommen **5.546** Fälle aus dem Bundesland Berlin und **701** Fälle aus dem Bundesland Brandenburg. Aus dem Bundesland Niedersachsen kommen mit 50 Fällen die meisten Patienten, die nicht in der Region Brandenburg-Berlin zum Zeitpunkt der Diagnose wohnhaft waren. Die folgenden kartographischen Darstellungen stellen Ihnen den Wohnort zum Zeitpunkt der Diagnose Ihrer Patienten detaillierter dar (wenn mindestens 25 Tumorfälle vorliegen). Für Patienten aus dem Bundesland Brandenburg werden die Zahlen (prozentual) auf Gemeindeebene, für Berliner Patienten basierend auf den Prognoseräumen (Konzept der Lebensweltlich orientierten Räumen (LOR)) erhoben. Bitte beachten Sie, dass nur Prognoseräume und Gemeinden in der Darstellung berücksichtigt werden, wenn diese mindestens 5 Tumorfälle vorweisen (**Abbildung 11.6**).

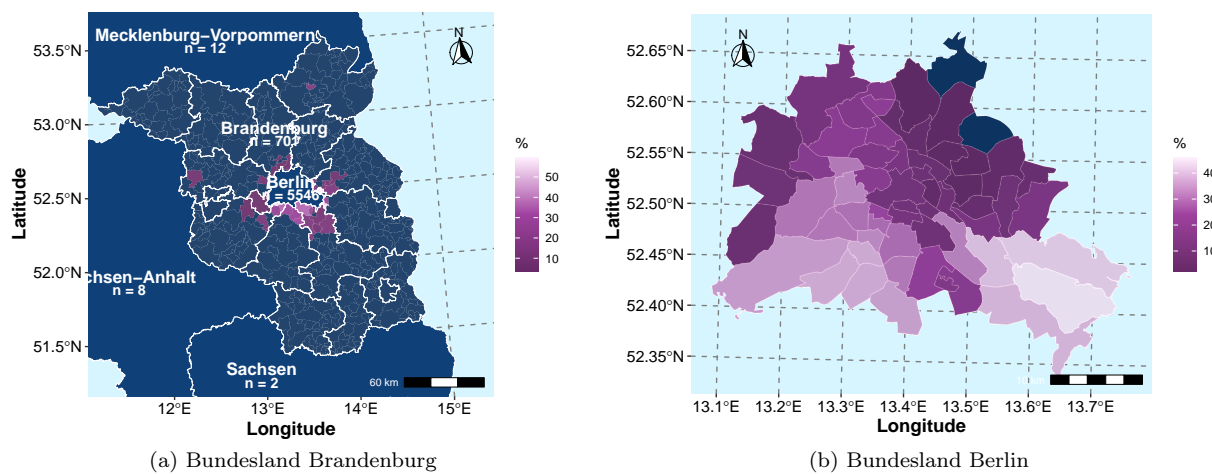


Abbildung 11.6: Prozentuale Darstellung des Wohnorts der Patienten zum Zeitpunkt der Diagnose für Brandenburg (Gemeindeebene) und Berlin (LOR) (mit mindestens 5 Fällen) - 5-Jahres Berichtszeitraum (2020 - 2024)

Tabelle 11.11 stellt Ihnen die absoluten Häufigkeiten der betrachteten Tumorfälle nach Wohnort zum Zeitpunkt der Krebsdiagnose getrennt nach Diagnosejahr (einzelne Berichtsjahre 2020 - 2024) dar. Dabei steht "BB" für Brandenburg, "BE" für Berlin und "Andere BL" für alle anderen Bundesländer.

Tabelle 11.11: Absolute Häufigkeit der Tumorfälle je Wohnort (Bundeslandebene) und pro Berichtsjahr (Diagnosejahr)

Berichtsjahr	BB	BE	Andere BL
2020	142	1034	18
2021	149	1101	13
2022	144	1140	15
2023	158	1234	29
2024	108	1037	21

Anmerkung: aktueller Datenstand: 31.10.2025

11.5. Überlebensanalysen (nach Kaplan-Meier)

Dieser Abschnitt beschreibt das absolute Überleben (Anteil der Patienten, die zu einem bestimmten Zeitpunkt nach ihrer Diagnose noch leben; basierend auf Kaplan-Meier-Schätzwerten) für Patienten Ihrer Einrichtung (diagnostiziert bzw. primärtherapiert) mit Tumordiagnosen der Gruppe **C50-C50 - Brustdrüse**, stellt Vergleiche mit Ihrer entsprechenden Referenz (siehe: Beschreibung in der Einleitung) an und analysiert das Gesamtüberleben stratifiziert u. a. nach UICC-Klassifikation, Geschlecht und Alter ("18-49 Jahre", "50-74 Jahre", "75+ Jahre"). Dabei ist zu berücksichtigen, dass das Patientenkollektiv Ihrer Einrichtung sich hinsichtlich Alter, Geschlecht, ECOG, Krankheitsstadien und weiteren Tumoreigenschaften von dem anderer Einrichtungen unterscheiden kann, was die direkte Vergleichbarkeit einschränkt. Stichtag für die Überlebensberechnungen ist der 31.12.2024, das bedeutet, dass die Betrachtung der Überlebenszeit bis zu diesem Datum erfolgt, da bis zu diesem Datum von einer vollständigen Erfassung des Lebendstatus der Patientinnen und Patienten auszugehen ist.

Bei der Interpretation der Überlebensstatistiken achten Sie bitte auf folgende Punkte:

- es werden nur für invasive Tumorentitäten (C00-C97) Überlebensanalysen gerechnet
- die Kaplan-Meier-Schätzwerte beruhen auf den Daten von 01.01.2020 bis zum aktuellen Stichtag 31.12.2024
- Konfidenzintervalle, die eine große Spannweite aufweisen, deuten auf ein größere Ungenauigkeit des Kaplan-Meier-Schätzers hin
- eine geringe Fallanzahl (Gesamt oder pro untersuchte Gruppe) führt zu größeren Konfidenzintervallen

Auf Anfrage (per E-Mail an Datenauswertung@kkrbb.de) stellen wir Ihnen gerne weitere Überlebensdarstellungen und Statistiken Tumorentitäten zur Verfügung.

11.5.1 Überblick für C50-C50 - Brustdrüse

Tabelle 11.12 gibt Ihnen einen Überblick über das Patientenkollektiv, für die die Überlebensanalysen gerechnet wurden. Des Weiteren finden Sie für die fünf häufigsten ICD-10 dieser Gruppe ($n \geq 50$) eine separate Auflistung der Merkmale der betrachteten Population.

Tabelle 11.12: Beschreibung des Patientenkollektivs: Charakteristika der eingeschlossenen Patienten für die Überlebensanalysen ('overall' - alle; einzelne ICD-10 ($n \geq 50$))

Variable	**Overall**, N = 5,449	**C50**, N = 5,449
Geschlecht, n (%)		
M	39 (0.7%)	39 (0.7%)
S	1 (<0.1%)	1 (<0.1%)
W	5,409 (99%)	5,409 (99%)
Alter bei Diagnose, Median (IQR)	65 (54, 77)	65 (54, 77)
Altersgruppe, n (%)		
18-49	908 (17%)	908 (17%)
50-74	2,929 (54%)	2,929 (54%)
75+	1,612 (30%)	1,612 (30%)
Diagnosejahr, n (%)		
2020	1,008 (18%)	1,008 (18%)
2021	1,096 (20%)	1,096 (20%)
2022	1,104 (20%)	1,104 (20%)
2023	1,224 (22%)	1,224 (22%)
2024	1,017 (19%)	1,017 (19%)
UICC-Klassifikation, n (%)		
I	2,329 (43%)	2,329 (43%)
II	2,228 (41%)	2,228 (41%)
III	553 (10%)	553 (10%)
IV	339 (6.2%)	339 (6.2%)
ECOG, n (%)		
0	3,441 (63%)	3,441 (63%)
1	584 (11%)	584 (11%)
2	172 (3.2%)	172 (3.2%)
3	42 (0.8%)	42 (0.8%)
4	9 (0.2%)	9 (0.2%)
U	5 (<0.1%)	5 (<0.1%)

Tabelle 11.12: Beschreibung des Patientenkollektivs: Charakteristika der eingeschlossenen Patienten für die Überlebensanalysen ('overall' - alle; einzelne ICD-10 (n >= 50)) (continued)

Variable	**Overall**, N = 5,449	**C50**, N = 5,449
X	1,196 (22%)	1,196 (22%)

Anmerkung: aktueller Datenstand: 31.10.2025; aktueller Stichtag: 31.12.2024

11.5.2 Überblick für C50 - Brustdrüse

Abbildung 11.7 a) stellt die absoluten Überlebensraten (Kaplan-Meier-Schätzer) für Patienten mit Tumordiagnosen der Tumorentität C50 - Brustdrüse Ihrer Einrichtung im Vergleich zur Referenz bis 5 Jahre nach Erstdiagnose (60 Monate) grafisch dar. In **Abbildung 11.7 b)** werden die absoluten Überlebensraten Ihrer Einrichtung stratifiziert nach UICC-Klassifikation gezeigt.

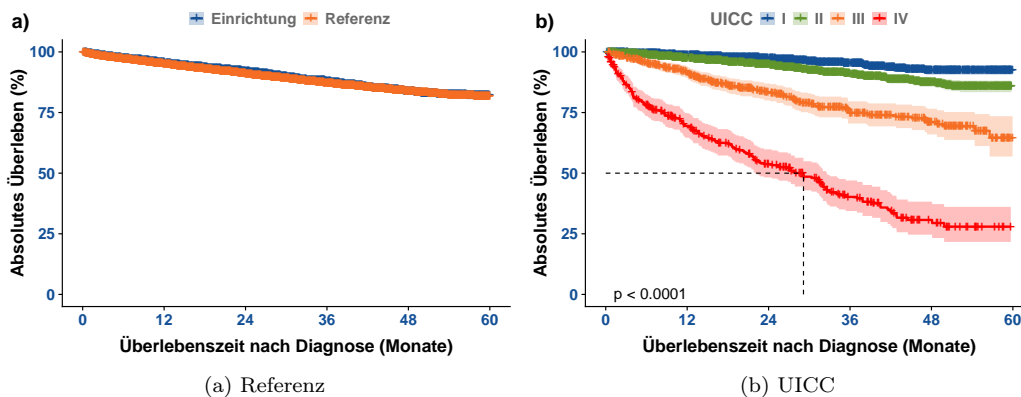


Abbildung 11.7: Darstellung des absoluten Überlebens (Kaplan-Meier-Schätzer) für C50 - Brustdrüse - a) im Vergleich zur Referenz, b) nach UICC-Klassifikation

In den **Tabellen 11.13** und **11.14** werden die Kaplan-Meier-Schätzer (mit Konfidenzintervallen) stratifiziert für das 1-Jahres bis 5-Jahres Überleben sowie für den entsprechenden Median aufgelistet.

Tabelle 11.13: Tabellarische Darstellung der Kaplan-Meier-Schätzwerte mit Konfidenzintervallen (KI) für das Gesamtüberleben für C50 - Brustdrüse der Einrichtung und Referenz

Zeit (Monate)	Einrichtung		Referenz	
	Überlebensrate (%)	95%-KI (%)	Überlebensrate (%)	95%-KI (%)
0	100.0	99.9 - 100	100.0	100 - 100
12	95.6	95.1 - 96.2	95.1	94.8 - 95.4
24	92.2	91.4 - 93	91.1	90.6 - 91.5
36	88.0	86.9 - 89	87.2	86.7 - 87.7
48	84.0	82.6 - 85.4	83.9	83.2 - 84.6
Median (Monate)	NA	NA - NA	NA	NA - NA

Tabelle 11.14: Tabellarische Darstellung der Kaplan-Meier-Schätzwerte mit Konfidenzintervallen (KI) für das Gesamtüberleben für C50 - Brustdrüse stratifiziert nach UICC-Klassifikation

Zeit (Monate)	UICC = I		UICC = II		UICC = III		UICC = IV	
	Überlebensrate (%)	95%-KI (%)						
0	100.0	100 - 100	100.0	100 - 100	100.0	100 - 100	99.7	99.1 - 100
12	98.6	98.1 - 99.1	97.5	96.8 - 98.2	91.7	89.3 - 94.1	69.5	64.6 - 74.7
24	97.5	96.8 - 98.2	94.9	93.8 - 95.9	83.4	80 - 87	53.7	48.2 - 59.8
36	95.6	94.5 - 96.7	91.1	89.7 - 92.6	74.9	70.5 - 79.6	40.2	34.4 - 47
48	92.3	90.6 - 94.1	87.6	85.7 - 89.6	71.1	66 - 76.6	30.7	24.6 - 38.3
Median (Monate)	NA	NA - NA	NA	NA - NA	NA	NA - NA	29.1	22 - 32.6

Anmerkung: aktueller Datenstand: 31.10.2025; aktueller Stichtag: 31.12.2024

Die folgenden Abbildungen **11.8** stellen das Gesamtüberleben für Patienten Ihrer Einrichtung mit Tumordiagnosen der Gruppe C50 - Brustdrüse nach Geschlecht und Alter bei Diagnose dar. In den **Tabellen 11.15** und **11.16** werden die Kaplan-Meier-Schätzer (mit Konfidenzintervallen) stratifiziert nach Geschlecht und Alter bei Diagnose für das 1-Jahres bis 5-Jahres Überleben sowie für den entsprechenden Median aufgelistet.

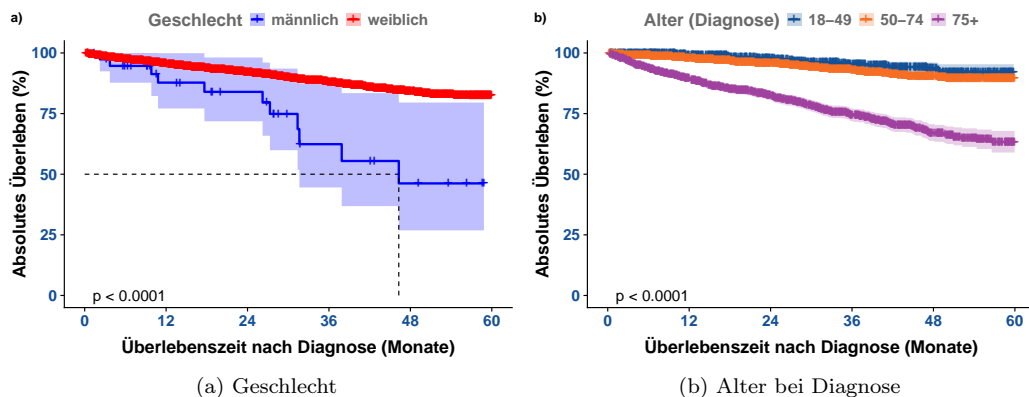


Abbildung 11.8: Darstellung des absoluten Überlebens (Kaplan-Meier-Schätzer) für C50 - Brustdrüse - a) nach Geschlecht, b) nach Alter bei Diagnose in Gruppen

Tabelle 11.15: Tabellarische Darstellung der Kaplan-Meier-Schätzwerte mit Konfidenzintervallen (KI) für das Gesamtüberleben für C50 - Brustdrüse stratifiziert nach Geschlecht

Zeit (Monate)	männlich		weiblich	
	Überlebensrate (%)	95%-KI (%)	Überlebensrate (%)	95%-KI (%)
0	100.0	100 - 100	100.0	99.9 - 100
12	87.8	77.1 - 99.9	95.7	95.1 - 96.3
24	84.0	71.8 - 98.1	92.2	91.5 - 93
36	62.4	44.5 - 87.4	88.1	87.1 - 89.2
48	46.2	26.8 - 79.6	84.3	82.9 - 85.7
Median (Monate)	46.3	31.6 - NA	NA	NA - NA

Anmerkung: aktueller Datenstand: 31.10.2025; aktueller Stichtag: 31.12.2024

Tabelle 11.16: Tabellarische Darstellung der Kaplan-Meier-Schätzwerte mit Konfidenzintervallen (KI) für das Gesamtüberleben für C50 - Brustdrüse stratifiziert nach Alter bei Diagnose

Zeit (Monate)	Alter = 18-49		Alter = 50-74		Alter = 75+	
	Überlebensrate (%)	95%-KI (%)	Überlebensrate (%)	95%-KI (%)	Überlebensrate (%)	95%-KI (%)
0	100.0	100 - 100	100.0	100 - 100	99.9	99.8 - 100
12	99.1	98.4 - 99.8	97.9	97.4 - 98.5	89.5	87.9 - 91
24	97.8	96.6 - 98.9	95.7	94.9 - 96.6	82.6	80.5 - 84.7
36	95.5	93.8 - 97.3	93.1	91.9 - 94.2	74.5	71.9 - 77.2
48	93.6	91.2 - 96.1	90.3	88.8 - 91.9	67.1	63.8 - 70.6
Median (Monate)	NA	NA - NA	NA	NA - NA	NA	NA - NA

Anmerkung: aktueller Datenstand: 31.10.2025; aktueller Stichtag: 31.12.2024

12 | C60-C63 - männliche Genitalorgane

Das Kapitel **C60-C63 - männliche Genitalorgane** dieses Rückmeldeberichtes stellt Ihnen verschiedene Auswertungen und Darstellungen zu Tumorfällen von Patienten mit Diagnosen der Gruppe C60-C63 - männliche Genitalorgane zu Verfügung. Neben den Fall- und Behandlungszahlen sowie den Vollständigkeitsangaben werden die Tumoreigenschaften und Patientenstruktur als auch Überlebensanalysen präsentiert.

12.1. Allgemeine Informationen

Tabelle 12.1 fasst die Anzahl der neu diagnostizierten Fälle und therapeutischen Behandlungen (einzelner oder mehrerer Therapieanwendungen) nach Art der Therapie (Operation, Strahlentherapie/Nuklearmedizin, systemische Therapie oder abwartende Therapie) und Verlauf für Tumoren der Gruppe C60-C63 - männliche Genitalorgane Ihrer Einrichtung über den 5-Jahres Berichtszeitraum (2020 bis 2024), als auch für das aktuelle Berichtsjahr (2024) zusammen.

Tabelle 12.1: Anzahl der gemeldeten Diagnosen, therapeutischen Behandlungen und Verläufe für C60-C63 - männliche Genitalorgane

TYP	Anzahl der Behandlungen		Anzahl der Fälle	
	Einrichtung	REF	Einrichtung	REF
5-Jahres Berichtszeitraum (2020 - 2024)				
Diagnose			2399	16.95%
therapeutische Behandlungen	3306	20.02%	2649	18.74%
Operation	1663	13.48%	1530	13.15%
Strahlentherapie	1118	46.62%	1048	50.63%
Systemtherapie	470	32.96%	312	28.08%
abwartende Therapie	47	14.83%	47	14.83%
Verlauf	1717	37.12%	1105	33.39%
Gesamt			4876	18.68%
Aktuelles Berichtsjahr (2024)				
Diagnose			563	18.36%
therapeutische Behandlungen	775	22.15%	688	21.77%
Operation	458	17.68%	427	17.25%
Strahlentherapie	214	39.70%	211	45.18%
Systemtherapie	99	34.38%	76	32.07%
abwartende Therapie	3	3.80%	3	3.80%
Verlauf	272	42.77%	256	43.32%
Gesamt			1114	22.84%

Anmerkung: Gesamt = Fall mit Diagnose oder Therapie in der Einrichtung; aktueller Datenstand: 31.10.2025

12.2. Vollständigkeit

Im Abschnitt **Vollständigkeit** werden analog zu Teil II “Qualität und Vollständigkeit” die Vollständigkeit sowie die Qualität der an das KKRBB gesandten Meldungen zu tumorrelevanten Behandlungen bezüglich der in Ihrer Einrichtung diagnostizierten und / oder therapierten Krebserkrankungen der Tumorentitätengruppe **C60-C63 - männliche Genitalorgane** für den 5-Jahres Berichtszeitraum (2020 bis 2024) beschrieben. Weitere Informationen bezüglich Definition dieser Merkmale finden Sie in Teil II “Qualität und Vollständigkeit” des Rückmeldeberichts.

12.2.1 Vollständigkeit von Diagnose- und Histologiemerkmalen

Tabelle 12.2 gibt Ihnen einen Überblick über die Qualität und Vollständigkeit der beschriebenen Diagnose- und Histologiemerkmale für durchgeführte Diagnosen Ihrer Einrichtung; sowohl für den Gesamtzeitraum als auch für die einzelnen Berichtsjahre (basierend auf dem Diagnosejahr). Zudem zeigt Ihnen **Tabelle 12.2** zur Einordnung Ihrer Zahlen die prozentualen Ergebnisse der Vollständigkeit der Referenz (REF).

Tabelle 12.2: Qualität und Vollständigkeit von Diagnose- und Histologiemerkmalen im Zeitverlauf (REF - Referenz)

Merkmalsname	2020	2021	2022	2023	2024	Gesamt	REF
Thematik: DIAGNOSE und HISTOLOGIE							
Gesamt	389	296	449	702	563	2399	
Diagnose-Datum	n 389	n 296	n 449	n 702	n 563	n 2399	
	% 100.0%	% 100.0%	% 100.0%	% 100.0%	% 100.0%	% 100.0%	100.0%
tagesgen. Diagnose-Datum	n 364	n 282	n 431	n 673	n 551	n 2301	
	% 93.6%	% 95.3%	% 96.0%	% 95.9%	% 97.9%	% 95.9%	95.1%
Diagnosesicherung (DS)	n 389	n 296	n 449	n 700	n 563	n 2397	
	% 100.0%	% 100.0%	% 100.0%	% 99.7%	% 100.0%	% 99.9%	100.0%
DS (histol. od. zytol.)	n 376	n 290	n 432	n 677	n 542	n 2317	
	% 96.7%	% 98.0%	% 96.2%	% 96.4%	% 96.3%	% 96.6%	97.8%
Lokalisation	n 389	n 296	n 449	n 702	n 563	n 2399	
	% 100.0%	% 100.0%	% 100.0%	% 100.0%	% 100.0%	% 100.0%	100.0%
Seitenlokalisation	n 389	n 296	n 449	n 702	n 563	n 2399	
	% 100.0%	% 100.0%	% 100.0%	% 100.0%	% 100.0%	% 100.0%	100.0%
Histologie*	n 376	n 287	n 430	n 673	n 540	n 2306	
	% 100.0%	% 100.0%	% 100.0%	% 99.9%	% 100.0%	% 100.0%	100.0%
Histologie-Schlüssel*	n 375	n 285	n 430	n 668	n 536	n 2294	
	% 99.7%	% 99.3%	% 100.0%	% 99.1%	% 99.3%	% 99.4%	99.4%
Histologie-Datum*	n 376	n 287	n 429	n 668	n 537	n 2297	
	% 100.0%	% 100.0%	% 99.8%	% 99.1%	% 99.4%	% 99.6%	99.9%
Grading*	n 5	n 6	n 7	n 15	n 7	n 40	
	% 100.0%	% 100.0%	% 100.0%	% 100.0%	% 100.0%	% 100.0%	99.3%
klin. u. / od. pathol. TNM							
UICC-Klassifikation*	n 351	n 266	n 397	n 622	n 530	n 2166	
	% 93.4%	% 92.7%	% 91.3%	% 92.1%	% 96.7%	% 93.3%	97.0%
TNM (T-Kategorie)*	n 344	n 255	n 383	n 606	n 526	n 2114	
	% 91.5%	% 88.9%	% 88.0%	% 89.8%	% 96.0%	% 91.1%	96.0%
TNM (N-Kategorie)*	n 298	n 220	n 361	n 548	n 486	n 1913	
	% 79.3%	% 76.7%	% 83.0%	% 81.2%	% 88.7%	% 82.4%	85.2%
TNM (M-Kategorie)*	n 302	n 228	n 369	n 565	n 488	n 1952	
	% 89.1%	% 88.0%	% 90.9%	% 88.7%	% 90.5%	% 89.5%	86.1%
klin. TNM							
UICC-Klassifikation*	n 288	n 219	n 327	n 520	n 435	n 1789	
	% 85.0%	% 84.6%	% 80.5%	% 81.6%	% 80.7%	% 82.1%	81.9%
TNM (T-Kategorie)*	n 289	n 220	n 331	n 519	n 435	n 1794	
	% 85.3%	% 84.9%	% 81.5%	% 81.5%	% 80.7%	% 82.3%	83.6%
TNM (N-Kategorie)*	n 264	n 206	n 310	n 483	n 412	n 1675	
	% 77.9%	% 79.5%	% 76.4%	% 75.8%	% 76.4%	% 76.8%	78.4%
TNM (M-Kategorie)*	n 268	n 205	n 315	n 487	n 412	n 1687	
	% 79.1%	% 79.2%	% 77.6%	% 76.5%	% 76.4%	% 77.4%	77.7%
ECOG	n 190	n 167	n 260	n 505	n 444	n 1566	
	% 54.1%	% 62.3%	% 62.1%	% 77.1%	% 80.9%	% 69.8%	50.9%

Tabelle 12.2: Qualität und Vollständigkeit von Diagnose- und Histologiemerkmalen im Zeitverlauf (REF - Referenz) (continued)

Merkmalname	2020	2021	2022	2023	2024	Gesamt	REF
-------------	------	------	------	------	------	--------	-----

Anmerkung: n - Anzahl; aktueller Datenstand vom 31.10.2025

* n des Merkmals weicht von Gesamt n ab

12.2.2 Vollständigkeit von Therapiemerkmalen

12.2.2.1 Operation

Tabelle 12.3 gibt Ihnen einen Überblick über die Qualität und Vollständigkeit der beschriebenen Therapiemerkmale für durchgeführte Operationen Ihrer Einrichtung; sowohl für den Gesamtzeitraum als auch für die einzelnen Berichtsjahre (basierend auf dem Jahr der Leistungserbringung). Zudem zeigt Ihnen **Tabelle 12.3** zur Einordnung der Zahlen Ihrer Einrichtung die prozentualen Ergebnisse der Vollständigkeit der Referenz (REF).

Tabelle 12.3: Operation - Qualität und Vollständigkeit von Merkmalen im Zeitverlauf (REF - Referenz)

Merkmalname	2020	2021	2022	2023	2024	Gesamt	REF
Behandlung: OPERATION							
Gesamt	287	208	295	415	458	1663	
OP-Datum	n 287	n 208	n 295	n 415	n 458	n 1663	
	% 100.0%	% 100.0%	% 100.0%	% 100.0%	% 100.0%	% 100.0%	100.0%
Tagesgenauigkeit (OP)	n 287	n 208	n 295	n 415	n 458	n 1663	
	% 100.0%	% 100.0%	% 100.0%	% 100.0%	% 100.0%	% 100.0%	99.9%
Therapieintention	n 287	n 208	n 295	n 414	n 458	n 1662	
	% 100.0%	% 100.0%	% 100.0%	% 99.8%	% 100.0%	% 99.9%	99.9%
OP-Schlüssel vollst.	n 284	n 204	n 291	n 408	n 455	n 1642	
	% 99.0%	% 98.1%	% 98.6%	% 98.3%	% 99.3%	% 98.7%	99.1%
lokale R-Klass.*	n 223	n 157	n 238	n 331	n 386	n 1335	
	% 99.6%	% 100.0%	% 98.8%	% 96.2%	% 98.5%	% 98.3%	99.3%
globale R-Klass.*	n 199	n 155	n 226	n 329	n 378	n 1287	
	% 88.8%	% 98.7%	% 93.8%	% 95.6%	% 96.4%	% 94.8%	95.8%
Anzahl Lymphkn. (unters.)*	n 160	n 136	n 184	n 270	n 337	n 1087	
	% 93.6%	% 98.6%	% 97.4%	% 97.5%	% 97.1%	% 96.9%	87.7%
Anzahl Lymphkn. (befall.)*	n 160	n 136	n 184	n 269	n 337	n 1086	
	% 93.6%	% 98.6%	% 97.4%	% 97.1%	% 97.1%	% 96.8%	87.7%
Anzahl Sent.-LK. (unters.)*	n 0	n 0	n 0	n 0	n 0	n 0	
	% 0.0%	% 0.0%	% 0.0%	% 0.0%	% 0.0%	% 0.0%	
Anzahl Sent.-LK. (befall.)*	n 0	n 0	n 0	n 0	n 0	n 0	
	% 0.0%	% 0.0%	% 0.0%	% 0.0%	% 0.0%	% 0.0%	
Komplikationen	n 47	n 35	n 120	n 303	n 192	n 697	
	% 16.4%	% 16.8%	% 40.7%	% 73.0%	% 41.9%	% 41.9%	65.0%

Anmerkung: aktueller Datenstand vom 31.10.2025

* n des Merkmals weicht von Gesamt n ab

12.2.2.2 Strahlentherapie / Nuklearmedizin

Tabelle 12.4 gibt Ihnen einen Überblick über die Qualität und Vollständigkeit der beschriebenen Therapiemerkmale für durchgeführte Strahlentherapien Ihres Hauses; sowohl für den Gesamtzeitraum als auch für die einzelnen Berichtsjahre (basierend auf dem Jahr der Leistungserbringung). Zudem zeigt Ihnen **Tabelle 12.4** zur Einordnung der Zahlen Ihres Hauses die prozentualen Ergebnisse Referenz.

Tabelle 12.4: Strahlentherapie - Qualität und Vollständigkeit von Therapiemerkmalen im Zeitverlauf

Merkmal_name	TYP	2020	2021	2022	2023	2024	Gesamt	REF
--------------	-----	------	------	------	------	------	--------	-----

Behandlung: STRAHLENTHERAPIE und NUKLEARMEDIZIN

Tabelle 12.4: Strahlentherapie - Qualität und Vollständigkeit von Therapiemerkmalen im Zeitverlauf (continued)

Merkmal_name	TYP	2020	2021	2022	2023	2024	Gesamt	REF
Gesamt		214	206	227	257	214	1118	
Anfang und Ende d. Th.*	n	214	205	226	253	174	1072	
	%	100.0%	99.5%	99.6%	98.4%	81.3%	95.9%	98.4%
Anfang der Th.	n	214	206	227	257	214	1118	
	%	100.0%	100.0%	100.0%	100.0%	100.0%	100.0%	100.0%
Ende der Th.*	n	214	205	226	253	174	1072	
	%	100.0%	99.5%	99.6%	98.4%	81.3%	95.9%	98.4%
Einzeldosis*	n	212	206	226	249	200	1093	
	%	99.1%	100.0%	99.6%	96.9%	93.5%	97.8%	88.0%
Gesamtdosis	n	211	206	226	251	178	1072	
	%	98.6%	100.0%	99.6%	97.7%	83.2%	95.9%	98.1%
Therapieintention	n	214	206	227	257	214	1118	
	%	100.0%	100.0%	100.0%	100.0%	100.0%	100.0%	99.9%
Stellung zur OP	n	214	206	227	257	214	1118	
	%	100.0%	100.0%	100.0%	100.0%	100.0%	100.0%	100.0%
Applikationsart	n	214	206	227	257	214	1118	
	%	100.0%	100.0%	100.0%	100.0%	100.0%	100.0%	99.9%
Nebenwirkungen	n	9	37	192	27	3	268	
	%	4.2%	18.0%	84.6%	10.5%	1.4%	24.0%	49.1%
Grad der NW*	n	0	1	0	2	0	3	
	%	0.0%	50.0%	0.0%	100.0%	0.0%	75.0%	0.0%
Therapieabschluss	n	212	203	218	250	170	1053	
	%	99.1%	98.5%	96.0%	97.3%	79.4%	94.2%	97.0%

Anmerkung: aktueller Datenstand vom 31.10.2025

* n des Merkmals weicht von Gesamt n ab

12.2.2.3 Systemtherapie

Die folgende Tabelle gibt Ihnen einen Überblick über die Qualität und Vollständigkeit der beschriebenen Therapiemerkmale für durchgeführte Systemtherapien Ihrer Einrichtung; sowohl für den Gesamtzeitraum als auch für die einzelnen Berichtsjahre (basierend auf dem Jahr der Leistungserbringung). Zudem zeigt Ihnen diese Tabelle zur Einordnung der Zahlen Ihrer Einrichtung die prozentualen Ergebnisse der Vollständigkeit der Referenz (REF).

Tabelle 12.5: Systemtherapie - Qualität und Vollständigkeit von Therapiemerkmalen im Zeitverlauf

Merkmalname	2020	2021	2022	2023	2024	Gesamt	REF	
Behandlung: SYSTEMTHERAPIE								
Gesamt	99	76	96	100	99	470		
Anfang und Ende d. Th.*	n	54	44	54	46	44	242	
	%	79.4%	74.6%	80.6%	80.7%	56.4%	73.6%	70.8%
Anfang der Th.	n	99	76	96	100	99	470	
	%	100.0%	100.0%	100.0%	100.0%	100.0%	100.0%	100.0%
Ende der Th.*	n	54	44	54	46	44	242	
	%	79.4%	74.6%	80.6%	80.7%	56.4%	73.6%	70.8%
Typ d. syst. Th.	n	99	76	96	100	97	468	
	%	100.0%	100.0%	100.0%	100.0%	98.0%	99.6%	99.0%
Th.protokoll / Subs.	n	99	76	94	98	99	466	
	%	100.0%	100.0%	97.9%	98.0%	100.0%	99.1%	98.4%
Therapieintention	n	98	76	92	99	99	464	
	%	99.0%	100.0%	95.8%	99.0%	100.0%	98.7%	98.5%
Stellung zur OP	n	98	75	94	95	99	461	
	%	99.0%	98.7%	97.9%	95.0%	100.0%	98.1%	97.6%
Nebenwirkungen*	n	12	23	68	10	15	128	
	%	12.1%	30.3%	70.8%	10.0%	15.2%	27.2%	33.2%
Therapieabschluss	n	61	47	65	54	48	275	
	%	61.6%	61.8%	67.7%	54.0%	48.5%	58.5%	57.4%

Anmerkung: aktueller Datenstand vom 31.10.2025

* n des Merkmals weicht von Gesamt n ab

12.3. Tumoreigenschaften

Im Abschnitt **Tumoreigenschaften** wird Ihnen für die Patienten mit Tumordiagnosen der Tumorentitätengruppe **C60-C63 - männliche Genitalorgane** Ihrer Einrichtung u. a. die Histologien, Klassifizierungen und Metastasen dargestellt. Bei den Analysen wird der 5-Jahres Berichtszeitraum von **2020 bis 2024** betrachtet.

12.3.1 Tumordiagnose (nach ICD-10)

Die Tumordiagnosen werden in diesem Unterabschnitt basierend auf der 5-stelligen ICD-10 beschrieben. **Tabelle 12.6** umfasst die absolute und relative Häufigkeiten der Tumorentitäten beruhend auf dem Jahr der Erstdiagnose für die einzelnen Berichtsjahre und dem Zeitraum (2020 bis 2024). Die prozentualen Angaben in diesen Spalten beziehen sich auf die Gesamtanzahl an Tumorfällen Ihrer Einrichtung. Zudem zeigt Ihnen **Tabelle 12.6** in Spalte *REF* den prozentualen Anteil Ihrer Einrichtung an den entsprechenden Gesamtzahlen der in der Referenz diagnostizierten Tumorfälle.

Tabelle 12.6: ICD-10 - Absolute und relative Häufigkeiten der Tumorentitäten im Zeitverlauf (basierend auf Diagnosejahr)

ICD-10 (Diagnose)	2020	2021	2022	2023	2024	Gesamt	REF
C60 - Penis	C60.0	1 (0.2%)	1 (0.2%)	1 (0.1%)	1 (0.2%)	5 (0.2%)	6.4%
	C60.1	3 (0.6%)	3 (0.7%)	5 (0.9%)	12 (1.6%)	30 (1.0%)	15.2%
	C60.2	-	2 (0.5%)	-	-	2 (0.1%)	7.7%
	C60.8	2 (0.4%)	1 (0.2%)	1 (0.2%)	1 (0.1%)	-	7.8%
	C60.9	1 (0.2%)	-	-	2 (0.3%)	1 (0.2%)	5.1%
	gesamt	7 (1.4%)	7 (1.7%)	7 (1.2%)	16 (2.1%)	9 (1.4%)	10.3%
C61 - Prostata	C61	444 (89.2%)	373 (91.9%)	515 (90.7%)	710 (91.7%)	585 (91.1%)	2627 (91.0%)
	gesamt	444 (89.2%)	373 (91.9%)	515 (90.7%)	710 (91.7%)	585 (91.1%)	2627 (91.0%)
C62 - Hoden	C62.0	1 (0.2%)	3 (0.7%)	2 (0.4%)	1 (0.1%)	-	15.6%
	C62.1	23 (4.6%)	11 (2.7%)	19 (3.3%)	14 (1.8%)	10 (1.6%)	11.1%
	C62.9	23 (4.6%)	12 (3.0%)	24 (4.2%)	32 (4.1%)	36 (5.6%)	14.8%
	gesamt	47 (9.4%)	26 (6.4%)	45 (7.9%)	47 (6.1%)	46 (7.2%)	13.2%
C63 - n.n.b.	C63.0	-	-	1 (0.2%)	-	-	100.0%
	C63.1	-	-	-	-	1 (0.2%)	7.1%
	C63.2	-	-	-	1 (0.1%)	-	10.0%
	C63.7	-	-	-	-	1 (0.2%)	25.0%
	gesamt	-	-	1 (0.2%)	1 (0.1%)	2 (0.3%)	12.1%
GESAMT	GESAMT	498	406	568	774	642	2888
Anmerkung: aktueller Datenstand: 31.10.2025							

12.3.2 Histologie

Die nachfolgenden Analysen umfassen sowohl eine Kategorisierung der Tumoren nach deren dokumentierter Histologie (Hauptklassen nach *ENCR 2017* und *NCT 2018*) sowie das Vorkommen dieser **Histologie-Hauptklassen** (bspw. Karzinome) innerhalb der fünf am häufigsten vorkommenden Entitäten innerhalb der Tumorentitätengruppe **C60-C63 - männliche Genitalorgane** Ihrer Einrichtung. Zudem werden die **Histologie-Hauptklassen** nach den vorhandenen Histologie-Gruppen (nach *ENCR 2017* und *NCT 2018*) und die Verteilung der Histologie-Schlüssel (nach *ICD-O*) für die vorkommenden Tumorentitäten (nach *ICD-10*) tabellarisch dargestellt.

Der folgenden Tabellen beschreiben Ihnen die Tumorfälle (aufgeschlüsselt nach ICD-10), die in Ihrer Einrichtung im 5-Jahres Berichtszeitraum (2020 bis 2024) diagnostiziert oder im Rahmen der Primärtherapie behandelt worden sind, nach deren **Histologie** (Histologie-Schlüssel nach *ICD-O*).

Als Referenz zur Kategorisierung der Histologie-Schlüssel wurden verwendet:

- ENCR 2017 - Ardanaz et. al.: Working Group ENCR guidelines for reporting of multiple primary malignant (invasive) neoplasms - ENCR Multiple primary rules version 4
- NCT 2018 - Adzersen u. Schäfer: Handbuch der allgemeinen Tumordokumentation, 7. Auflage

Tabelle 12.7: Histologie-Übersicht für C61 - Prostata - absolute Häufigkeiten der Tumorhistologien stratifiziert (nach ENCR 2017, NCT 2018) für einzelne Berichtsjahre

Gruppe	Histologie-Schlüssel	2020	2021	2022	2023	2024	Gesamt
Karzinome							
Plattenepi.- u. Überg.zell-Ca.	8120/3: Übergangszellkarzinom o.n.A.	0	1	0	0	0	1
Plattenepi.- u. Überg.zell-Ca.	Total	0	1	0	0	0	1
Adenokarzinome	8140/3: Adenokarzinom o.n.A.	427	353	497	683	568	2528
Adenokarzinome	8140/6: Adenokarzinom-Metastase o.n.A.	6	13	5	11	9	44
Adenokarzinome	8230/3: Solides Karzinom o.n.A.	0	0	0	0	1	1
Adenokarzinome	8500/3: Invasives duktales Karzinom o.n.A.	0	0	3	0	0	3
Adenokarzinome	8550/3: Azinuszellkarzinom	2	0	2	1	0	5
Adenokarzinome	8551/3: Azinuszell-Zystadenokarzinom	0	0	0	1	0	1
Adenokarzinome	8552/3: Gemischtes azinär-duktales Karzinom	1	0	0	0	0	1
Adenokarzinome	8574/3: Adenokarzinom m. neuroendokr. Diff.	0	1	0	0	0	1
Adenokarzinome	Total	436	367	507	696	578	2584
n.n.b. Karzinome	8010/3: Karzinom o.n.A.	1	3	1	5	2	12
n.n.b. Karzinome	8010/6: Karzinom-Metastase o.n.A.	0	0	0	0	1	1
n.n.b. Karzinome	Total	1	3	1	5	3	13
		437	371	508	701	581	2598
neuroendokrine T.							
neuroendokrine T.	8013/3: Großzell. Neuroendokr. Karzinom	0	0	0	1	1	2
neuroendokrine T.	8041/3: Kleinzell. Karzinom o.n.A.	4	0	0	0	0	4
neuroendokrine T.	8244/3: Gem. adeno-neuroendokr. Karzinom	0	0	1	0	0	1
neuroendokrine T.	Total	4	0	1	1	1	7
		4	0	1	1	1	7

Tabelle 12.8: Histologie-Übersicht für C62 - Hoden - absolute Häufigkeiten der Tumorhistologien stratifiziert (nach ENCR 2017, NCT 2018) für einzelne Berichtsjahre

Gruppe	Schlüssel	2020	2021	2022	2023	2024	Gesamt
Karzinome							
andere n.b. Karzinome	8046/3: Nichtkleinzelliges Karzinom	0	0	0	0	1	1
andere n.b. Karzinome	Total	0	0	0	0	1	1
		0	0	0	0	1	1
Sarkome u. Weichgewebetumoren							
andere n.b. Sarkome	8901/3: Adultes pleomorphes Rhabdomyosarkom	0	0	0	1	0	1
andere n.b. Sarkome	Total	0	0	0	1	0	1
		0	0	0	1	0	1
Keimzell-Tumoren							
Keimzell-Tumoren	9061/3: Seminom o.n.A.	29	13	22	28	29	121
Keimzell-Tumoren	9063/3: Spermatozytisches Seminom	0	0	0	0	1	1
Keimzell-Tumoren	9064/3: Germinom	2	3	2	2	1	10
Keimzell-Tumoren	9065/3: Nichtseminomatöser Keimzelltumor	4	2	6	4	3	19
Keimzell-Tumoren	9070/3: Embryonalkarzinom o.n.A.	4	1	5	6	4	20
Keimzell-Tumoren	9085/3: Germinaler Mischtumor	5	7	6	6	7	31
Keimzell-Tumoren	9101/3: Chorionkarz. in Komb. m. sonst.	1	0	0	0	0	1
Keimzell-Tumoren	Keimzellelementen	45	26	41	46	45	203
	Total	45	26	41	46	45	203

Tabelle 12.9: Histologie-Übersicht für C60 - Penis - absolute Häufigkeiten der Tumorhistologien stratifiziert (nach ENCR 2017, NCT 2018) für einzelne Berichtsjahre

Gruppe	Schlüssel	2020	2021	2022	2023	2024	Gesamt
Karzinome							

Tabelle 12.9: Histologie-Übersicht für C60 - Penis - absolute Häufigkeiten der Tumorhistologien stratifiziert (nach ENCR 2017, NCT 2018) für einzelne Berichtsjahre (continued)

Gruppe	Schlüssel	2020	2021	2022	2023	2024	Gesamt
Plattenepi.- u. Überg.zell-Ca.	8051/3: Verruköses Karzinom o.n.A.	0	0	1	1	0	2
Plattenepi.- u. Überg.zell-Ca.	8070/3: Plattenepithelkarzinom o.n.A.	4	4	2	9	3	22
Plattenepi.- u. Überg.zell-Ca.	8071/3: Verhorrendes PE-Karzinom o.n.A.	2	2	3	3	4	14
Plattenepi.- u. Überg.zell-Ca.	8072/3: Großzell. n. verh. PE-Karzinom o.n.A.	0	0	0	0	1	1
Plattenepi.- u. Überg.zell-Ca.	8083/3: Basaloïdes Plattenepithelkarzinom	0	0	1	1	0	2
Plattenepi.- u. Überg.zell-Ca.	8086/3: Plattenepithelkarzinom, HPV-negativ	0	0	0	0	1	1
Plattenepi.- u. Überg.zell-Ca.	Total	6	6	7	14	9	42
n.n.b. Karzinome	8010/3: Karzinom o.n.A.	0	0	0	1	0	1
n.n.b. Karzinome	Total	0	0	0	1	0	1
	Total	6	6	7	15	9	43

12.3.3 Histopathologisches Grading und UICC-Klassifikation

Die Analyse des histopathologischen Gradings beruht auf den ermittelten **häufigsten Tumorentitäten** (nach ICD-10) (siehe *Abschnitt 7.1*). Von diesen Tumoren wurden ausschließlich die gradingpflichtigen ausgewählt (Entscheidungskriteria basierend auf ICD-10, ICD-O und Histologie), deren Diagnose histologisch oder zytologisch gesichert wurde, und bezüglich der Verteilung der Differenzierungsgrade analysiert.

Folgende Differenzierungsgrade wurden ausgewertet:

- **G1** -> gut differenziert
- **G2** -> mäßig differenziert
- **G3** -> schlecht differenziert
- **G4** -> undifferenziert
- **GX** -> unbekannt

Abbildung 12.1 gibt Ihnen für die häufigsten Tumorfälle Ihrer Einrichtung einen Überblick über die absolute und relative Häufigkeiten der Differenzierungsgrade des histopathologischen Gradings für die betrachteten Tumorfälle von gradingpflichtigen Tumorentitäten. Im Gegensatz zu **Abbildung 12.1 a)** ist in **Abbildung 12.1 b)** das Grading (absolute und relative Häufigkeiten) **ohne** die Fälle mit fehlender Angabe zu den Differenzierungsgraden dargestellt.

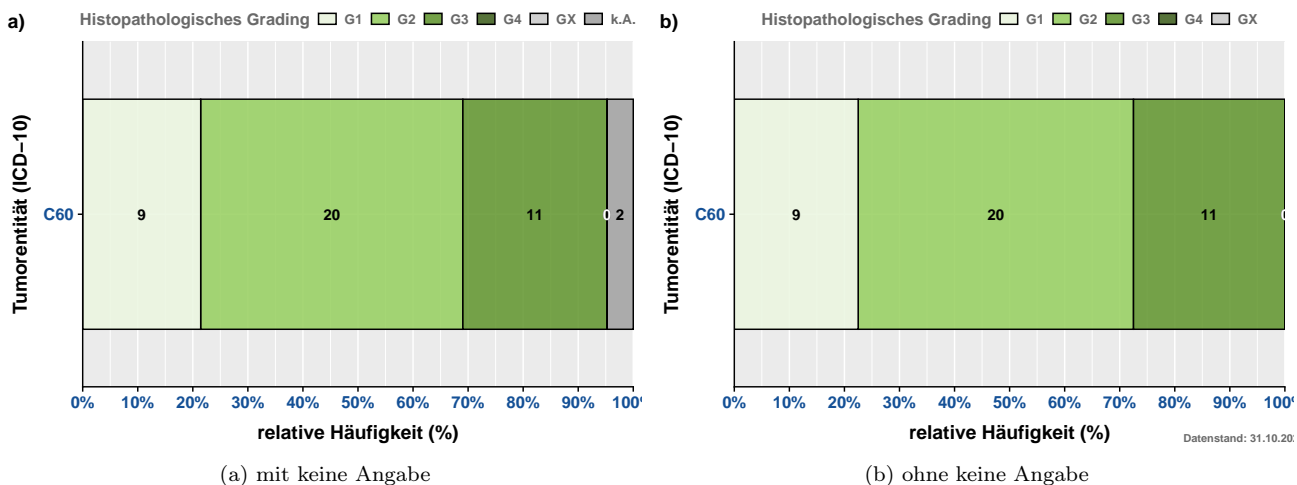


Abbildung 12.1: Histopathologisches Grading für den 5-Jahres Berichtszeitraum (2020 - 2024) - absolute und relative Häufigkeiten der Differenzierungsgrade

12.3.4 UICC-Klassifikation

Die Beschreibung der Stadienverteilung nach UICC beruht auf den ermittelten invasiven Tumorentitäten (nach ICD-10). Von diesen Tumoren wurden ausschließlich die TNM-pflichtigen ausgewählt (Entscheidungskriteria basierend auf ICD-10, ICD-O und Histologie) und bezüglich der Verteilung der Stadien analysiert. In der Auswertung wurden vorrangig pathologische UICC-Stadien verwendet. Lag aufgrund neoadjuvanter oder nicht operativer Behandlungen die pathologische Variante nicht vor, wurde in der Berechnung auf die klinischen UICC-Stadien zurückgegriffen.

Die folgende Abbildung gibt Ihnen einen Überblick über die absoluten und relativen Häufigkeiten der einzelnen Stadien nach UICC für die betrachteten Fälle von TNM-pflichtigen Tumorentitäten (Tumorentitätengruppen nach ICD-10).

12.3.5 Staging

Die Beschreibung der TNM-Verteilung beruht auf den ermittelten häufigsten invasiven Tumorentitäten und wird in der folgenden Abbildung dargestellt. Von diesen Tumoren wurden ausschließlich die TNM-pflichtigen ausgewählt und analysiert (Entscheidungskriteria basierend auf ICD-10, ICD-O und Histologie). In der Auswertung

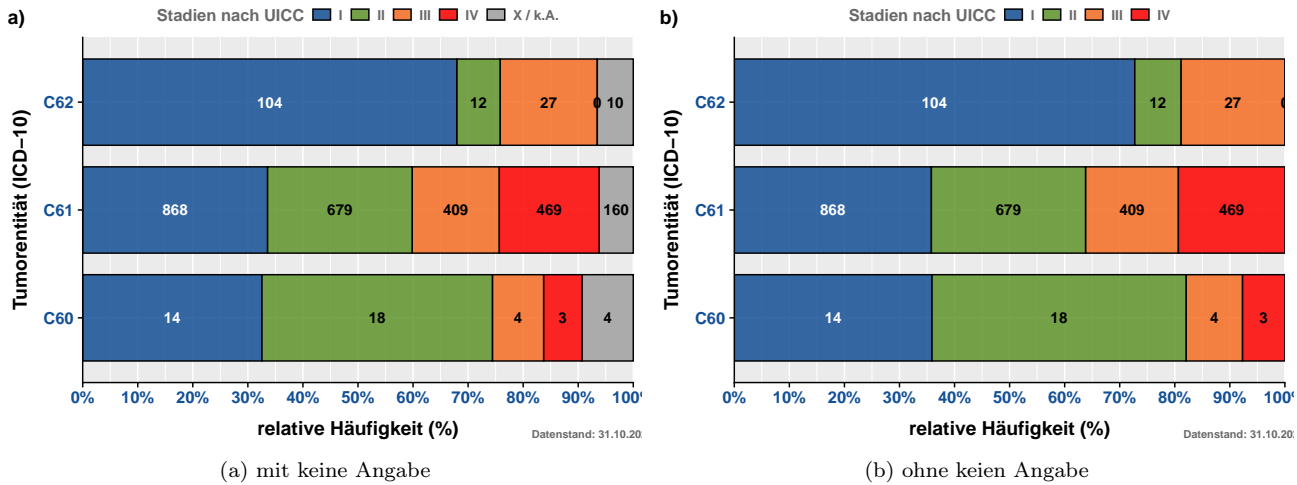


Abbildung 12.2: Stadienverteilung nach UICC für invasive Tumorentitäten (TNM-pflichtig) für den 5-Jahres Berichtszeitraum (2020 - 2024) - absolute und relative Häufigkeiten der Differenzierungsgrade

wurden vorrangig pathologische TNM-Kategorien verwendet. Lag aufgrund neoadjuvanter oder nicht operativer Behandlungen die pathologische Variante nicht vor, wurde in der Berechnung auf die klinischen TNM-Kategorien zurückgegriffen.

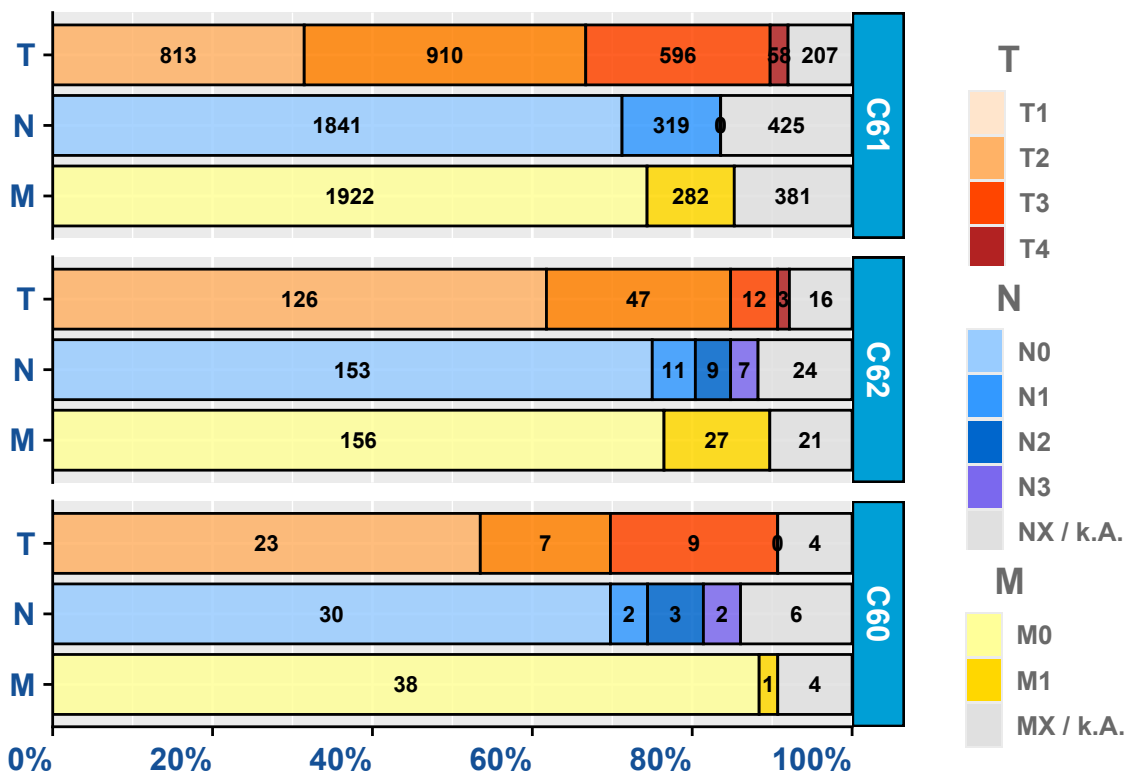


Abbildung 12.3: TNM - Verteilung der TNM-Kategorien der 10 häufigsten invasiven Tumorentitätengruppen (TNM-pflichtig)

12.3.6 Primäre Metastasierung

In diesem Abschnitt wird die primäre Metastasierung Ihrer Tumorfälle analysiert. Primäre Metastasierung umfasst Metastasen, die innerhalb von 92 Tagen nach Diagnosestellung aufgetreten sind. **Tabelle 12.10** listet die primär metastasierten Tumorfälle für die häufigsten Tumorentitäten (ICD-10) auf.

Tabelle 12.10: Absolute und relative Häufigkeiten der Tumorfälle mit primärer Metastasierung nach ICD-10 und Zeitraum

ICD-10 (Diagnose)	Berichtsjahr					GESAMT
	2020	2021	2022	2023	2024	
C60 - Penis	-	-	1 (1.3%)	1 (1.0%)	-	2 (0.6%)
C61 - Prostata	53 (88.3%)	55 (91.7%)	67 (88.2%)	89 (92.7%)	49 (87.5%)	313 (89.9%)
C62 - Hoden	7 (11.7%)	5 (8.3%)	8 (10.5%)	6 (6.2%)	7 (12.5%)	33 (9.5%)
C63 - n.n.b.	-	-	-	-	-	-
GESAMT	60	60	76	96	56	348

Anmerkung: aktueller Datenstand: 31.10.2025

Tabelle 12.11 zeigt die absolute Häufigkeit der Lokalisationen der primären Fernmetastasen.

Tabelle 12.11: Absolute Häufigkeit der Lokalisation primärer Metastasen (stratifiziert nach ICD-10)

Lokalisation	C61	C62	C60	n
GEN Generalisierte Metastasierung	0	0	0	0
SKI Hautmetastasen	0	0	0	0
BRA Hirnmetastasen	1	1	0	2
MAR Knochenmarkmetastasen	7	0	0	7
OSS Knochenmetastasen	261	1	0	262
HEP Lebermetastasen	23	4	0	27
PUL Lungenmetastasen	33	15	1	49
LYM Lymphknotenmetastasen	96	18	1	115
OTH Metastasen in anderen Organen	7	2	0	9
SPL Milzmetastasen	0	0	0	0
ADR Nebennierenmetastasen	0	0	0	0
PER Peritoneummetastasen	4	0	0	4
PLE Pleurametastasen	1	0	0	1
gesamt	433	41	2	476

Anmerkung: aktueller Datenstand: 31.10.2025

12.4. Patientenstruktur

Im Abschnitt Patientenstruktur wird Ihnen für die Patienten mit Tumordiagnosen C60-C63 - männliche Genitalorgane das Geschlechterverhältnis, die Altersstruktur sowie die Herkunft der Fälle zum Zeitpunkt der Diagnose dargestellt. Dabei wird der 5-Jahres Berichtszeitraum von **2020 bis 2024** betrachtet.

Abbildung 12.4 zeigt Ihnen die absolute Häufigkeit der betrachteten Tumorfälle aufgesplittet nach Geschlecht (männlich / weiblich) und Tumorentität (ICD-10). Abgebildet sind die in Ihrer Einrichtung aufgetretenen invasiven Tumorentitäten der Berichtsjahre 2020 bis 2024 (basierend auf dem Diagnosejahr).

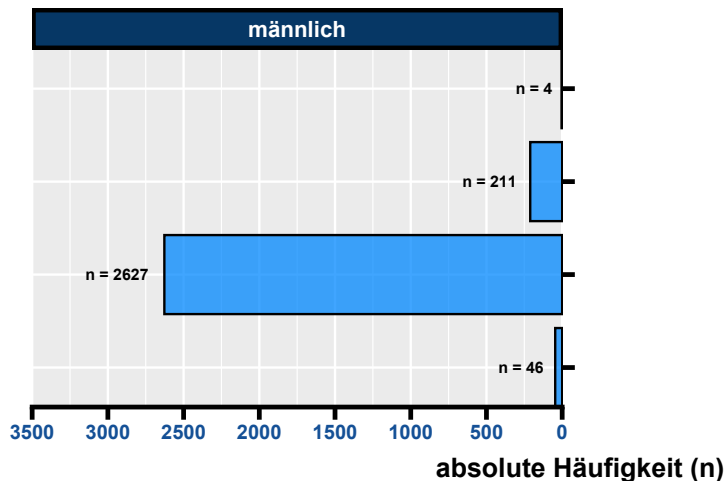


Abbildung 12.4: Geschlechterverhältnis (männlich / weiblich) der Tumorfälle für die Tumorentitäten (nach ICD-10) 5-Jahres Berichtszeitraum (2020 - 2024)

Abbildung 12.5 veranschaulicht Ihnen die Altersverteilung der Tumorentitäten (nach ICD-10) für Männer und Frauen.

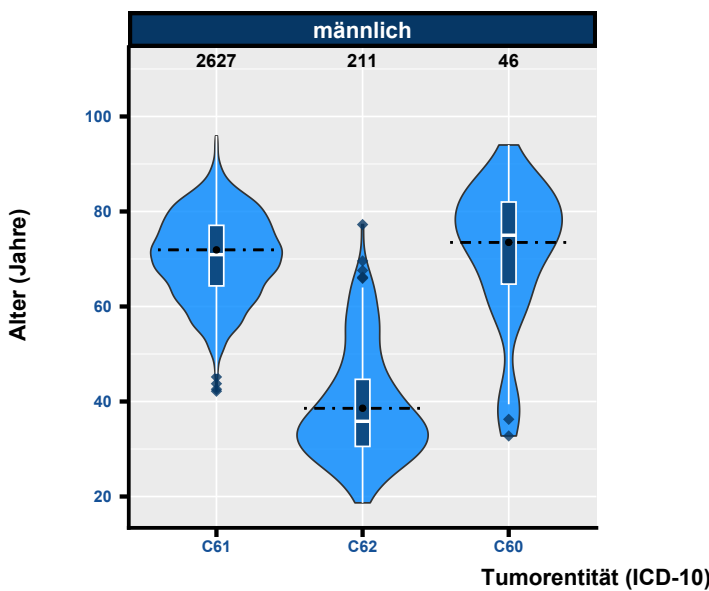


Abbildung 12.5: Altersverteilung der vorkommenden Tumorentitäten (nach ICD-10) je Geschlecht

12.4.1 Herkunft

Das Patientenkollektiv Ihrer Einrichtung stammt, basierend auf dem Wohnort zum Zeitpunkt der Diagnose, aus **16 Bundesländern**. Dabei kommen **2.063** Fälle aus dem Bundesland Berlin und **670** Fälle aus dem Bundesland Brandenburg. Aus dem Bundesland Mecklenburg-Vorpommern kommen mit 34 Fällen die meisten Patienten, die nicht in der Region Brandenburg-Berlin zum Zeitpunkt der Diagnose wohnhaft waren. Die folgenden kartographischen Darstellungen stellen Ihnen den Wohnort zum Zeitpunkt der Diagnose Ihrer Patienten detaillierter dar (wenn mindestens 25 Tumorfälle vorliegen). Für Patienten aus dem Bundesland Brandenburg werden die Zahlen (prozentual) auf Gemeindeebene, für Berliner Patienten basierend auf den Prognoseräumen (Konzept der Lebensweltlich orientierten Räumen (LOR)) erhoben. Bitte beachten Sie, dass nur Prognoseräume und Gemeinden in der Darstellung berücksichtigt werden, wenn diese mindestens 5 Tumorfälle vorweisen (**Abbildung 12.6**).

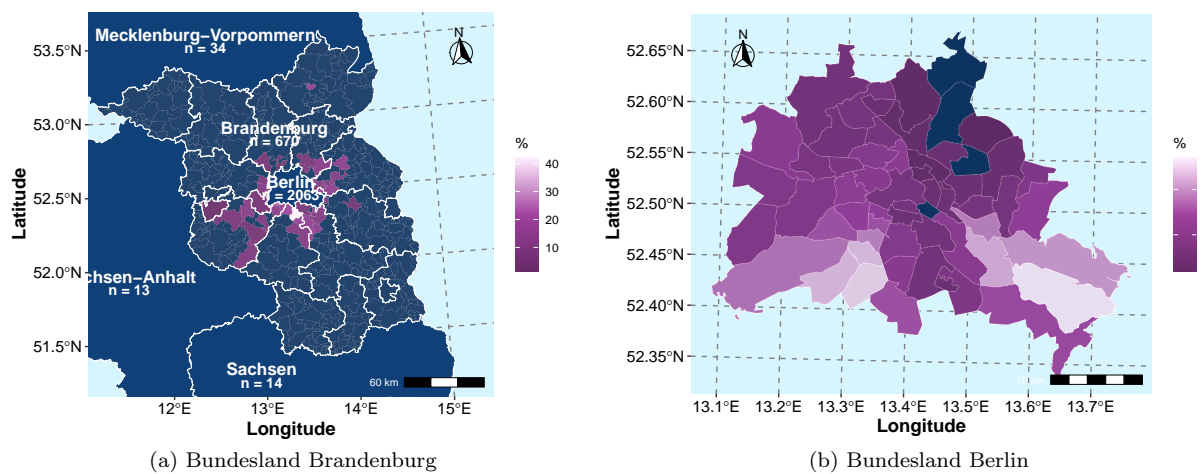


Abbildung 12.6: Prozentuale Darstellung des Wohnorts der Patienten zum Zeitpunkt der Diagnose für Brandenburg (Gemeindeebene) und Berlin (LOR) (mit mindestens 5 Fällen) - 5-Jahres Berichtszeitraum (2020 - 2024)

Tabelle 12.12 stellt Ihnen die absoluten Häufigkeiten der betrachteten Tumorfälle nach Wohnort zum Zeitpunkt der Krebsdiagnose getrennt nach Diagnosejahr (einzelne Berichtsjahre 2020 - 2024) dar. Dabei steht "BB" für Brandenburg, "BE" für Berlin und "Andere BL" für alle anderen Bundesländer.

Tabelle 12.12: Absolute Häufigkeit der Tumorfälle je Wohnort (Bundeslandebene) und pro Berichtsjahr (Diagnosejahr)

Berichtsjahr	BB	BE	Andere BL
2020	120	352	25
2021	81	307	18
2022	127	412	28
2023	173	559	42
2024	169	433	40

Anmerkung: aktueller Datenstand: 31.10.2025

12.5. Überlebensanalysen (nach Kaplan-Meier)

Dieser Abschnitt beschreibt das absolute Überleben (Anteil der Patienten, die zu einem bestimmten Zeitpunkt nach ihrer Diagnose noch leben; basierend auf Kaplan-Meier-Schätzwerten) für Patienten Ihrer Einrichtung (diagnostiziert bzw. primärtherapiert) mit Tumordiagnosen der Gruppe **C60-C63 - männliche Genitalorgane**, stellt Vergleiche mit Ihrer entsprechenden Referenz (siehe: Beschreibung in der Einleitung) an und analysiert das Gesamtüberleben stratifiziert u. a. nach UICC-Klassifikation, Geschlecht und Alter ("18-49 Jahre", "50-74 Jahre", "75+ Jahre"). Dabei ist zu berücksichtigen, dass das Patientenkollektiv Ihrer Einrichtung sich hinsichtlich Alter, Geschlecht, ECOG, Krankheitsstadien und weiteren Tumoreigenschaften von dem anderer Einrichtungen unterscheiden kann, was die direkte Vergleichbarkeit einschränkt. Stichtag für die Überlebensberechnungen ist der 31.12.2024, das bedeutet, dass die Betrachtung der Überlebenszeit bis zu diesem Datum erfolgt, da bis zu diesem Datum von einer vollständigen Erfassung des Lebendstatus der Patientinnen und Patienten auszugehen ist.

Bei der Interpretation der Überlebensstatistiken achten Sie bitte auf folgende Punkte:

- es werden nur für invasive Tumorentitäten (C00-C97) Überlebensanalysen gerechnet
- die Kaplan-Meier-Schätzwerte beruhen auf den Daten von 01.01.2020 bis zum aktuellen Stichtag 31.12.2024
- Konfidenzintervalle, die eine große Spannweite aufweisen, deuten auf ein größere Ungenauigkeit des Kaplan-Meier-Schätzers hin
- eine geringe Fallanzahl (Gesamt oder pro untersuchte Gruppe) führt zu größeren Konfidenzintervallen

Auf Anfrage (per E-Mail an Datenauswertung@kkrbb.de) stellen wir Ihnen gerne weitere Überlebensdarstellungen und Statistiken Tumorentitäten zur Verfügung.

12.5.1 Überblick für C60-C63 - männliche Genitalorgane

Tabelle 12.13 gibt Ihnen einen Überblick über das Patientenkollektiv, für die die Überlebensanalysen gerechnet wurden. Des Weiteren finden Sie für die fünf häufigsten ICD-10 dieser Gruppe (n >= 50) eine separate Auflistung der Merkmale der betrachteten Population.

Tabelle 12.13: Beschreibung des Patientenkollektivs: Charakteristika der eingeschlossenen Patienten für die Überlebensanalysen ('overall' - alle; einzelne ICD-10 (n >= 50))

Variable	**Overall**, N = 2,648	**C61**, N = 2,457	**C62**, N = 150
Geschlecht, n (%)			
M	2,648 (100%)	2,457 (100%)	150 (100%)
Alter bei Diagnose, Median (IQR)	70 (63, 77)	71 (64, 77)	37 (31, 45)
Altersgruppe, n (%)			
18-49	144 (5.4%)	16 (0.7%)	125 (83%)
50-74	1,695 (64%)	1,653 (67%)	25 (17%)
75+	809 (31%)	788 (32%)	0 (0%)
Diagnosejahr, n (%)			
2020	468 (18%)	423 (17%)	38 (25%)
2021	377 (14%)	352 (14%)	20 (13%)
2022	507 (19%)	468 (19%)	33 (22%)
2023	700 (26%)	656 (27%)	30 (20%)
2024	596 (23%)	558 (23%)	29 (19%)
UICC-Klassifikation, n (%)			
I	993 (38%)	871 (35%)	106 (71%)
II	716 (27%)	685 (28%)	13 (8.7%)
III	445 (17%)	411 (17%)	30 (20%)
IV	494 (19%)	490 (20%)	1 (0.7%)
ECOG, n (%)			
0	1,498 (57%)	1,351 (55%)	128 (85%)
1	209 (7.9%)	204 (8.3%)	2 (1.3%)
2	52 (2.0%)	49 (2.0%)	0 (0%)
3	20 (0.8%)	20 (0.8%)	0 (0%)
4	1 (<0.1%)	1 (<0.1%)	0 (0%)
X	868 (33%)	832 (34%)	20 (13%)

Anmerkung: aktueller Datenstand: 31.10.2025; aktueller Stichtag: 31.12.2024

12.5.2 Überblick für C61 - Prostata

Abbildung 12.7 a) stellt die absoluten Überlebensraten (Kaplan-Meier-Schätzer) für Patienten mit Tumordiagnosen der Tumorentität C61 - Prostata Ihrer Einrichtung im Vergleich zur Referenz bis 5 Jahre nach Erstdiagnose (60 Monate) grafisch dar. In **Abbildung 12.7 b)** werden die absoluten Überlebensraten Ihrer Einrichtung stratifiziert nach UICC-Klassifikation gezeigt.

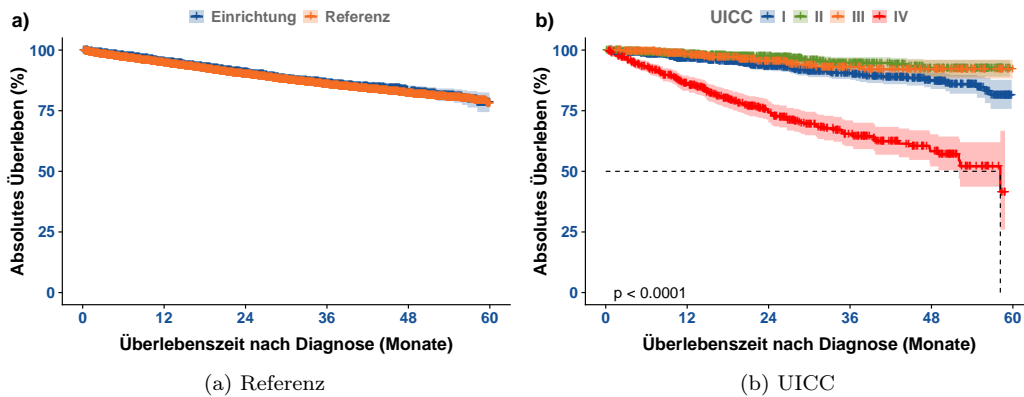


Abbildung 12.7: Darstellung des absoluten Überlebens (Kaplan-Meier-Schätzer) für C61 - Prostata - a) im Vergleich zur Referenz, b) nach UICC-Klassifikation

In den **Tabellen 12.14** und **12.15** werden die Kaplan-Meier-Schätzer (mit Konfidenzintervallen) stratifiziert für das 1-Jahres bis 5-Jahres Überleben sowie für den entsprechenden Median aufgelistet.

Tabelle 12.14: Tabellarische Darstellung der Kaplan-Meier-Schätzwerte mit Konfidenzintervallen (KI) für das Gesamtüberleben für C61 - Prostata der Einrichtung und Referenz

Zeit (Monate)	Einrichtung			Referenz		
	Überlebensrate (%)	95%-KI (%)	Überlebensrate (%)	95%-KI (%)		
0	100.0	100 - 100	100.0	99.9 - 100		
12	95.3	94.4 - 96.2	94.8	94.5 - 95.1		
24	90.8	89.5 - 92.2	90.2	89.7 - 90.6		
36	86.6	84.9 - 88.4	86.0	85.4 - 86.5		
48	83.1	80.8 - 85.4	82.3	81.6 - 83		
Median (Monate)	NA	NA - NA	NA	NA - NA		

Tabelle 12.15: Tabellarische Darstellung der Kaplan-Meier-Schätzwerte mit Konfidenzintervallen (KI) für das Gesamtüberleben für C61 - Prostata stratifiziert nach UICC-Klassifikation

Zeit (Monate)	UICC = I		UICC = II		UICC = III		UICC = IV	
	Überlebensrate (%)	95%-KI (%)						
0	100.0	100 - 100	100.0	100 - 100	100.0	100 - 100	100.0	100 - 100
12	96.6	95.3 - 97.9	98.5	97.6 - 99.5	98.3	96.9 - 99.7	86.3	83.2 - 89.5
24	93.5	91.6 - 95.4	97.4	96.1 - 98.8	95.5	93.1 - 98	74.6	70.4 - 79.1
36	90.6	88.1 - 93.1	94.7	92.3 - 97.1	93.1	89.8 - 96.5	65.5	60.4 - 71
48	87.2	84 - 90.7	92.4	89 - 95.9	92.1	88.3 - 96	58.3	52 - 65.3
Median (Monate)	NA	NA - NA	NA	NA - NA	NA	NA - NA	58.2	52 - NA

Anmerkung: aktueller Datenstand: 31.10.2025; aktueller Stichtag: 31.12.2024

Die folgenden Abbildungen **12.8** stellen das Gesamtüberleben für Patienten Ihrer Einrichtung mit Tumordiagnosen der Gruppe C61 - Prostata nach Geschlecht und Alter bei Diagnose dar. In den **Tabellen 12.16** und **12.17** werden die Kaplan-Meier-Schätzer (mit Konfidenzintervallen) stratifiziert nach Geschlecht und Alter bei Diagnose für das 1-Jahres bis 5-Jahres Überleben sowie für den entsprechenden Median aufgelistet.

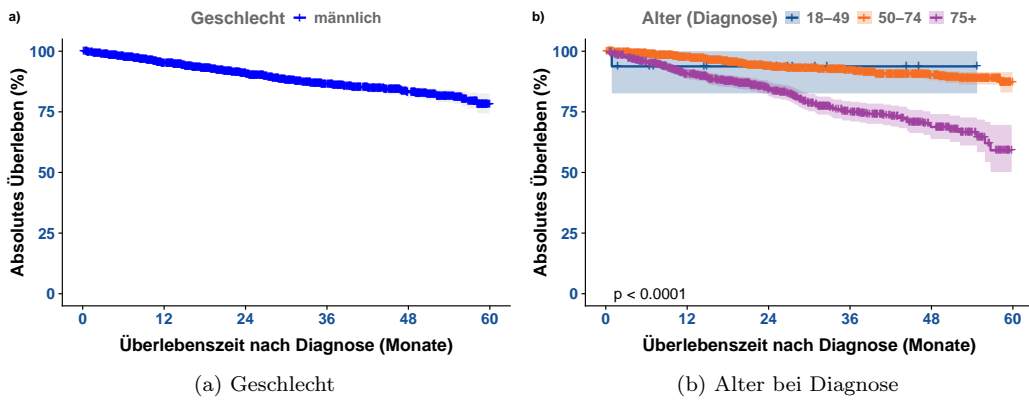


Abbildung 12.8: Darstellung des absoluten Überlebens (Kaplan-Meier-Schätzer) für C61 - Prostata - a) nach Geschlecht, b) nach Alter bei Diagnose in Gruppen

Tabelle 12.16: Tabellarische Darstellung der Kaplan-Meier-Schätzwerte mit Konfidenzintervallen (KI) für das Gesamtüberleben für C61 - Prostata stratifiziert nach Geschlecht

Zeit (Monate)	männlich	
	Überlebensrate (%)	95%-KI (%)
0	100.0	100 - 100
12	95.3	94.4 - 96.2
24	90.8	89.5 - 92.2
36	86.6	84.9 - 88.4
48	83.1	80.8 - 85.4
Median (Monate)	NA	NA - NA

Tabelle 12.17: Tabellarische Darstellung der Kaplan-Meier-Schätzwerte mit Konfidenzintervallen (KI) für das Gesamtüberleben für C61 - Prostata stratifiziert nach Alter bei Diagnose

Zeit (Monate)	Alter = 18-49		Alter = 50-74		Alter = 75+	
	Überlebensrate (%)	95%-KI (%)	Überlebensrate (%)	95%-KI (%)	Überlebensrate (%)	95%-KI (%)
0	100.0	100 - 100	100.0	100 - 100	100.0	100 - 100
12	93.8	82.6 - 100	97.5	96.7 - 98.3	90.7	88.6 - 92.9
24	93.8	82.6 - 100	94.0	92.6 - 95.4	84.5	81.6 - 87.4
36	93.8	82.6 - 100	92.2	90.6 - 93.9	75.3	71.4 - 79.4
48	93.8	82.6 - 100	90.1	88 - 92.3	68.7	63.8 - 74.1
Median (Monate)	NA	NA - NA	NA	NA - NA	NA	NA - NA

Anmerkung: aktueller Datenstand: 31.10.2025; aktueller Stichtag: 31.12.2024

12.5.3 Überblick für C62 - Hoden

Abbildung 12.9 a) stellt die absoluten Überlebensraten (Kaplan-Meier-Schätzer) für Patienten Ihrer Einrichtung im Vergleich zur Referenz bis 5 Jahre nach Erstdiagnose (60 Monate) grafisch dar. In **Abbildung 12.9 b)** werden die absoluten Überlebensraten Ihrer Einrichtung stratifiziert nach UICC-Klassifikation gezeigt.

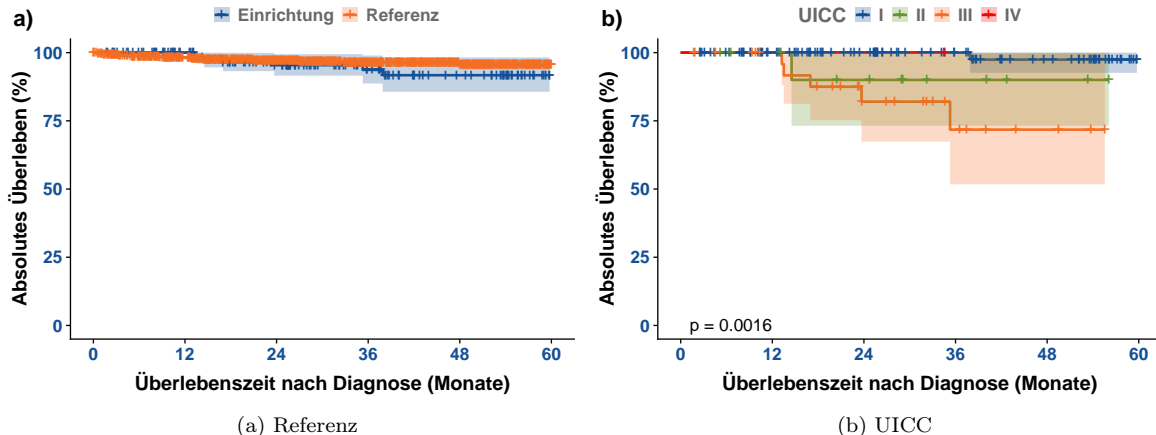


Abbildung 12.9: Darstellung des absoluten Überlebens (Kaplan-Meier-Schätzer) für C62 - Hoden - a) im Vergleich zur Referenz, b) nach UICC-Klassifikation

In den **Tabellen 12.18** und **12.19** werden die Kaplan-Meier-Schätzer (mit Konfidenzintervallen) stratifiziert für das 1-Jahres bis 5-Jahres Überleben sowie für den entsprechenden Median aufgelistet.

Tabelle 12.18: Tabellarische Darstellung der Kaplan-Meier-Schätzwerte mit Konfidenzintervallen (KI) für das Gesamtüberleben für C62 - Hoden der Einrichtung und Referenz

Zeit (Monate)	Einrichtung		Referenz	
	Überlebensrate (%)	95%-KI (%)	Überlebensrate (%)	95%-KI (%)
0	100.0	100 - 100	100.0	100 - 100
12	100.0	100 - 100	98.2	97.4 - 99
24	95.4	91.5 - 99.4	97.1	96 - 98.1
36	93.7	88.7 - 99	96.5	95.3 - 97.7
48	91.7	85.6 - 98.2	95.8	94.3 - 97.4
Median (Monate)	NA	NA - NA	NA	NA - NA

Tabelle 12.19: Tabellarische Darstellung der Kaplan-Meier-Schätzwerte mit Konfidenzintervallen (KI) für das Gesamtüberleben für C62 - Hoden stratifiziert nach UICC-Klassifikation

Zeit (Monate)	UICC = I		UICC = II		UICC = III		UICC = IV	
	Überlebensrate (%)	95%-KI (%)	Überlebensrate (%)	95%-KI (%)	Überlebensrate (%)	95%-KI (%)	Überlebensrate (%)	95%-KI (%)
0	100.0	100 - 100	100	100 - 100	100.0	100 - 100	100	100 - 100
12	100.0	100 - 100	100	100 - 100	100.0	100 - 100	100	100 - 100
24	100.0	100 - 100	90	73.2 - 100	82.0	67.4 - 99.9	100	100 - 100
36	100.0	100 - 100	90	73.2 - 100	71.8	51.7 - 99.6	NA	NA - NA
48	97.4	92.6 - 100	90	73.2 - 100	71.8	51.7 - 99.6	NA	NA - NA
Median (Monate)	NA	NA - NA	NA	NA - NA	NA	NA - NA	NA	NA - NA

Anmerkung: aktueller Datenstand: 31.10.2025; aktueller Stichtag: 31.12.2024

Die folgenden Abbildungen **12.10** stellen das Gesamtüberleben für Patienten Ihrer Einrichtung nach Geschlecht und Alter bei Diagnose dar. In den **Tabellen 12.20** und **12.21** werden die Kaplan-Meier-Schätzer (mit Konfidenzintervallen) stratifiziert nach Geschlecht und Alter bei Diagnose für das 1-Jahres bis 5-Jahres Überleben sowie für den entsprechenden Median aufgelistet.

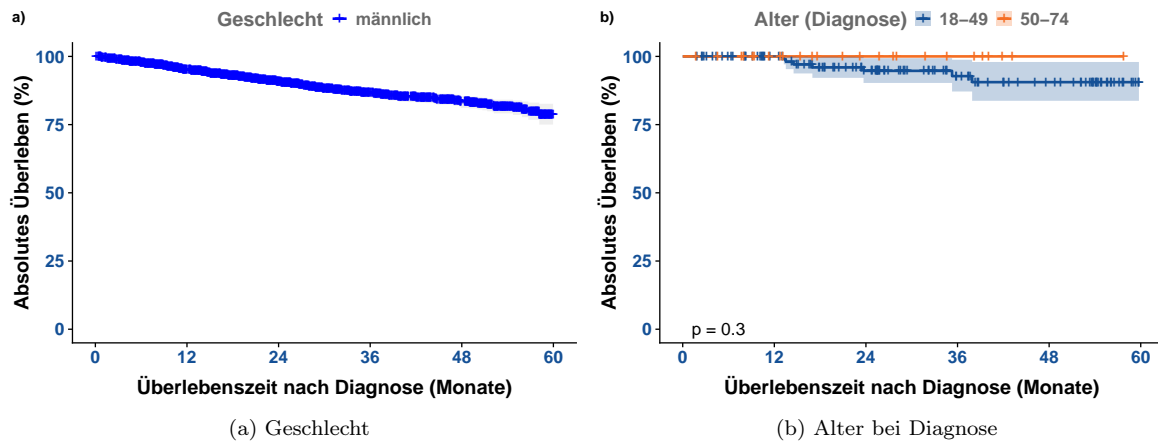


Abbildung 12.10: Darstellung des absoluten Überlebens (Kaplan-Meier-Schätzer) - a) nach Geschlecht, b) nach Alter bei Diagnose in Gruppen

Tabelle 12.20: Tabellarische Darstellung der Kaplan-Meier-Schätzwerte mit Konfidenzintervallen (KI) für das Gesamtüberleben für C62 - Hoden stratifiziert nach Geschlecht

Zeit (Monate)	männlich	
	Überlebensrate (%)	95%-KI (%)
0	100.0	100 - 100
12	95.2	94.3 - 96.1
24	90.7	89.5 - 92
36	86.7	85 - 88.4
48	83.3	81.1 - 85.5
Median (Monate)	NA	NA - NA

Tabelle 12.21: Tabellarische Darstellung der Kaplan-Meier-Schätzwerte mit Konfidenzintervallen (KI) für das Gesamtüberleben für C62 - Hoden stratifiziert nach Alter bei Diagnose

Zeit (Monate)	Alter = 18-49		Alter = 50-74	
	Überlebensrate (%)	95%-KI (%)	Überlebensrate (%)	95%-KI (%)
0	100.0	100 - 100	100	100 - 100
12	100.0	100 - 100	100	100 - 100
24	94.7	90.3 - 99.4	100	100 - 100
36	92.8	87.1 - 98.8	100	100 - 100
48	90.6	83.7 - 98	100	100 - 100
Median (Monate)	NA	NA - NA	NA	NA - NA

Anmerkung: aktueller Datenstand: 31.10.2025; aktueller Stichtag: 31.12.2024

13 | C81-C96 - lymph., blutbd. u. verw. Gewebes

Das Kapitel **C81-C96 - lymph., blutbd. u. verw. Gewebes** dieses Rückmeldeberichtes stellt Ihnen verschiedene Auswertungen und Darstellungen zu Tumorfällen von Patienten mit Diagnosen der Gruppe C81-C96 - lymph., blutbd. u. verw. Gewebes zu Verfügung. Neben den Fall- und Behandlungszahlen sowie den Vollständigkeitsangaben werden die Tumoreigenschaften und Patientenstruktur als auch Überlebensanalysen präsentiert.

13.1. Allgemeine Informationen

Tabelle 13.1 fasst die Anzahl der neu diagnostizierten Fälle und therapeutischen Behandlungen (einzelner oder mehrerer Therapieanwendungen) nach Art der Therapie (Operation, Strahlentherapie/Nuklearmedizin, systemische Therapie oder abwartende Therapie) und Verlauf für Tumoren der Gruppe C81-C96 - lymph., blutbd. u. verw. Gewebes Ihrer Einrichtung über den 5-Jahres Berichtszeitraum (2020 bis 2024), als auch für das aktuelle Berichtsjahr (2024) zusammen.

Tabelle 13.1: Anzahl der gemeldeten Diagnosen, therapeutischen Behandlungen und Verläufe für C81-C96 - lymph., blutbd. u. verw. Gewebes

TYP	Anzahl der Behandlungen		Anzahl der Fälle	
	Einrichtung	REF	Einrichtung	REF
5-Jahres Berichtszeitraum (2020 - 2024)				
Diagnose			2433	32.04%
therapeutische Behandlungen	3384	27.80%	1988	29.06%
Operation	214	23.65%	194	23.32%
Strahlentherapie	124	19.31%	121	20.10%
Systemtherapie	2818	28.15%	1724	28.63%
abwartende Therapie	43	43.43%	43	43.43%
Verlauf	2003	31.18%	1154	31.71%
Gesamt			3856	32.08%
Aktuelles Berichtsjahr (2024)				
Diagnose			418	31.38%
therapeutische Behandlungen	837	33.35%	497	31.32%
Operation	28	23.53%	26	22.41%
Strahlentherapie	28	25.00%	27	24.55%
Systemtherapie	739	33.70%	459	31.81%
abwartende Therapie	3	23.08%	3	23.08%
Verlauf	466	36.61%	353	34.71%
Gesamt			798	31.98%

Anmerkung: Gesamt = Fall mit Diagnose oder Therapie in der Einrichtung; aktueller Datenstand: 31.10.2025

13.2. Vollständigkeit

Im Abschnitt *Vollständigkeit* werden analog zu Teil II “Qualität und Vollständigkeit” die Vollständigkeit sowie die Qualität der an das KKRBB gesandten Meldungen zu tumorrelevanten Behandlungen bezüglich der in Ihrer Einrichtung diagnostizierten und / oder therapierten Krebskrankungen der Tumorentitätengruppe **C81-C96 - lymph., blutbd. u. verw. Gewebes** für den 5-Jahres Berichtszeitraum (2020 bis 2024) beschrieben. Weitere Informationen bezüglich Definition dieser Merkmale finden Sie in Teil II “Qualität und Vollständigkeit” des Rückmeldeberichts.

13.2.1 Vollständigkeit von Diagnose- und Histologiemerkmalen

Tabelle 13.2 gibt Ihnen einen Überblick über die Qualität und Vollständigkeit der beschriebenen Diagnose- und Histologiemerkmale für durchgeführte Diagnosen Ihrer Einrichtung; sowohl für den Gesamtzeitraum als auch für die einzelnen Berichtsjahre (basierend auf dem Diagnosejahr). Zudem zeigt Ihnen **Tabelle 13.2** zur Einordnung Ihrer Zahlen die prozentualen Ergebnisse der Vollständigkeit der Referenz (REF).

Tabelle 13.2: Qualität und Vollständigkeit von Diagnose- und Histologiemerkmalen im Zeitverlauf (REF - Referenz)

Merkmalsname	2020	2021	2022	2023	2024	Gesamt	REF
DIAGNOSE und HISTOLOGIE							
Gesamt	518	478	526	493	418	2433	
Diagnose-Datum	n 518	n 478	n 526	n 493	n 418	2433	
	% 100.0%	% 100.0%	% 100.0%	% 100.0%	% 100.0%	100.0%	100.0%
tagesgen. Diagnose-Datum	n 488	n 442	n 459	n 452	n 383	2224	
	% 94.2%	% 92.5%	% 87.3%	% 91.7%	% 91.6%	91.4%	94.1%
Diagnosesicherung (DS)	n 517	n 477	n 526	n 493	n 418	2431	
	% 99.8%	% 99.8%	% 100.0%	% 100.0%	% 100.0%	99.9%	100.0%
DS (histol. od. zytol.)	n 500	n 467	n 506	n 482	n 406	2361	
	% 96.5%	% 97.7%	% 96.2%	% 97.8%	% 97.1%	97.0%	85.7%
Lokalisation	n 518	n 478	n 526	n 493	n 418	2433	
	% 100.0%	% 100.0%	% 100.0%	% 100.0%	% 100.0%	100.0%	99.9%
Seitenlokalisation	n 518	n 478	n 526	n 493	n 418	2433	
	% 100.0%	% 100.0%	% 100.0%	% 100.0%	% 100.0%	100.0%	99.9%
Histologie*	n 500	n 467	n 506	n 481	n 405	2359	
	% 100.0%	% 100.0%	% 100.0%	% 100.0%	% 99.8%	100.0%	99.9%
Histologie-Schlüssel*	n 500	n 467	n 506	n 481	n 405	2359	
	% 100.0%	% 100.0%	% 100.0%	% 100.0%	% 99.8%	100.0%	99.9%
Histologie-Datum*	n 500	n 467	n 505	n 481	n 404	2357	
	% 100.0%	% 100.0%	% 99.8%	% 100.0%	% 99.5%	99.9%	99.4%
ECOG	n 302	n 282	n 305	n 345	n 299	1533	
	% 67.3%	% 63.9%	% 64.3%	% 77.0%	% 73.3%	69.1%	62.3%
klin. u. / od. pathol. TNM							
klin. TNM							

Anmerkung: n - Anzahl; aktueller Datenstand vom 31.10.2025

* n des Merkmals weicht von Gesamt n ab

13.2.2 Vollständigkeit von Therapiemerkmalen

13.2.2.1 Operation

Tabelle 13.3 gibt Ihnen einen Überblick über die Qualität und Vollständigkeit der beschriebenen Therapiemerkmale für durchgeführte Operationen Ihrer Einrichtung; sowohl für den Gesamtzeitraum als auch für die einzelnen Berichtsjahre (basierend auf dem Jahr der Leistungserbringung). Zudem zeigt Ihnen **Tabelle 13.3** zur Einordnung der Zahlen Ihrer Einrichtung die prozentualen Ergebnisse der Vollständigkeit der Referenz (REF).

Tabelle 13.3: Operation - Qualität und Vollständigkeit von Merkmalen im Zeitverlauf (REF - Referenz)

Merkmalname	2020	2021	2022	2023	2024	Gesamt	REF
Behandlung: OPERATION							
Gesamt	80	43	38	25	28	214	
OP-Datum	n 80	n 43	n 38	n 25	n 28	214	
	% 100.0%	% 100.0%	% 100.0%	% 100.0%	% 100.0%	100.0%	100.0%
Tagesgenauigkeit (OP)	n 79	n 43	n 38	n 25	n 28	213	
	% 98.8%	% 100.0%	% 100.0%	% 100.0%	% 100.0%	99.5%	99.9%
Therapieintention	n 80	n 43	n 38	n 25	n 28	214	
	% 100.0%	% 100.0%	% 100.0%	% 100.0%	% 100.0%	100.0%	99.3%
OP-Schlüssel vollst.	n 77	n 42	n 38	n 25	n 28	210	
	% 96.2%	% 97.7%	% 100.0%	% 100.0%	% 100.0%	98.1%	98.6%
Anzahl Lymphkn. (unters.)*	n 2	n 2	n 0	n 1	n 2	7	
	% 6.1%	% 14.3%	% 0.0%	% 20.0%	% 22.2%	10.4%	10.1%
Anzahl Lymphkn. (befall.)*	n 2	n 2	n 0	n 1	n 2	7	
	% 6.1%	% 14.3%	% 0.0%	% 20.0%	% 22.2%	10.4%	10.1%
Komplikationen	n 64	n 32	n 27	n 21	n 21	165	
	% 80.0%	% 74.4%	% 71.1%	% 84.0%	% 75.0%	77.1%	50.4%

Anmerkung: aktueller Datenstand vom 31.10.2025

* n des Merkmals weicht von Gesamt n ab

13.2.2.2 Strahlentherapie / Nuklearmedizin

Tabelle 13.4 gibt Ihnen einen Überblick über die Qualität und Vollständigkeit der beschriebenen Therapiemerkmale für durchgeführte Strahlentherapien Ihres Hauses; sowohl für den Gesamtzeitraum als auch für die einzelnen Berichtsjahre (basierend auf dem Jahr der Leistungserbringung). Zudem zeigt Ihnen **Tabelle 13.4** zur Einordnung der Zahlen Ihres Hauses die prozentualen Ergebnisse Referenz.

Tabelle 13.4: Strahlentherapie - Qualität und Vollständigkeit von Therapiemerkmale im Zeitverlauf

Merkmal_name	TYP	2020	2021	2022	2023	2024	Gesamt	REF
Behandlung: STRAHLENTHERAPIE und NUKLEARMEDIZIN								
Gesamt		38	9	22	27	28	124	
Anfang und Ende d. Th.*	n 33	n 9	n 20	n 25	n 26	113		
	% 86.8%	% 100.0%	% 90.9%	% 92.6%	% 92.9%	91.1%		98.5%
Anfang der Th.	n 38	n 9	n 22	n 27	n 28	124		
	% 100.0%	% 100.0%	% 100.0%	% 100.0%	% 100.0%	100.0%		100.0%
Ende der Th.*	n 33	n 9	n 20	n 25	n 26	113		
	% 86.8%	% 100.0%	% 90.9%	% 92.6%	% 92.9%	91.1%		98.5%
Einzeldosis*	n 30	n 9	n 21	n 27	n 22	109		
	% 78.9%	% 100.0%	% 95.5%	% 100.0%	% 78.6%	87.9%		95.6%
Gesamtdosis	n 31	n 9	n 21	n 27	n 25	113		
	% 81.6%	% 100.0%	% 95.5%	% 100.0%	% 89.3%	91.1%		97.3%
Therapieintention	n 38	n 9	n 22	n 27	n 28	124		
	% 100.0%	% 100.0%	% 100.0%	% 100.0%	% 100.0%	100.0%		100.0%
Stellung zur OP	n 38	n 9	n 22	n 27	n 28	124		
	% 100.0%	% 100.0%	% 100.0%	% 100.0%	% 100.0%	100.0%		100.0%
Applikationsart	n 38	n 9	n 22	n 27	n 28	124		
	% 100.0%	% 100.0%	% 100.0%	% 100.0%	% 100.0%	100.0%		100.0%
Nebenwirkungen	n 23	n 5	n 12	n 14	n 17	71		
	% 60.5%	% 55.6%	% 54.5%	% 51.9%	% 60.7%	57.3%		83.4%
Therapieabschluss	n 30	n 9	n 19	n 25	n 27	110		
	% 78.9%	% 100.0%	% 86.4%	% 92.6%	% 96.4%	88.7%		97.3%

Anmerkung: aktueller Datenstand vom 31.10.2025

* n des Merkmals weicht von Gesamt n ab

13.2.2.3 Systemtherapie

Die folgende Tabelle gibt Ihnen einen Überblick über die Qualität und Vollständigkeit der beschriebenen Therapiemerkmale für durchgeführte Systemtherapien Ihrer Einrichtung; sowohl für den Gesamtzeitraum als auch für

die einzelnen Berichtsjahre (basierend auf dem Jahr der Leistungserbringung). Zudem zeigt Ihnen diese Tabelle zur Einordnung der Zahlen Ihrer Einrichtung die prozentualen Ergebnisse der Vollständigkeit der Referenz (REF).

Tabelle 13.5: Systemtherapie - Qualität und Vollständigkeit von Therapiemerkmalen im Zeitverlauf

Merkmalsname	2020	2021	2022	2023	2024	Gesamt	REF
Behandlung: SYSTEMTHERAPIE							
Gesamt	480	400	555	646	737	2818	
Anfang und Ende d. Th.*	n 371	314	394	504	483	2066	
	% 77.3%	78.7%	71.2%	78.5%	65.5%	73.5%	74.9%
Anfang der Th.	n 480	400	555	646	737	2818	
	% 100.0%	100.0%	100.0%	100.0%	100.0%	100.0%	100.0%
Ende der Th.*	n 371	314	394	504	483	2066	
	% 77.3%	78.7%	71.2%	78.5%	65.5%	73.5%	74.9%
Typ d. syst. Th.	n 480	400	554	646	736	2816	
	% 100.0%	100.0%	99.8%	100.0%	99.9%	99.9%	99.9%
Th.protokoll / Subs.	n 473	396	549	641	722	2781	
	% 98.5%	99.0%	98.9%	99.2%	98.0%	98.7%	98.7%
Therapieintention	n 454	398	551	643	735	2781	
	% 94.6%	99.5%	99.3%	99.5%	99.7%	98.7%	99.2%
Stellung zur OP	n 473	396	548	639	721	2777	
	% 98.5%	99.0%	98.7%	98.9%	97.8%	98.5%	98.1%
Nebenwirkungen*	n 205	194	214	225	119	957	
	% 42.7%	48.5%	38.6%	34.8%	16.1%	34.0%	41.9%
Therapieabschluss	n 367	309	380	488	441	1985	
	% 76.5%	77.2%	68.5%	75.5%	59.8%	70.4%	74.3%

Anmerkung: aktueller Datenstand vom 31.10.2025

* n des Merkmals weicht von Gesamt n ab

13.3. Tumoreigenschaften

Im Abschnitt *Tumoreigenschaften* wird Ihnen für die Patienten mit Tumordiagnosen der Tumorentitätengruppe **C81-C96 - lymph., blutbd. u. verw. Gewebes** Ihrer Einrichtung u. a. die Histologien, Klassifizierungen und Metastasen dargestellt. Bei den Analysen wird der 5-Jahres Berichtszeitraum von **2020 bis 2024** betrachtet.

13.3.1 Tumordiagnose (nach ICD-10)

Die Tumordiagnosen werden in diesem Unterabschnitt basierend auf der 5-stelligen ICD-10 beschrieben. **Tabelle 13.6** umfasst die absolute und relative Häufigkeiten der Tumorentitäten beruhend auf dem Jahr der Erstdiagnose für die einzelnen Berichtsjahre und dem Zeitraum (2020 bis 2024). Die prozentualen Angaben in diesen Spalten beziehen sich auf die Gesamtanzahl an Tumorfällen Ihrer Einrichtung. Zudem zeigt Ihnen **Tabelle 13.6** in Spalte *REF* den prozentualen Anteil Ihrer Einrichtung an den entsprechenden Gesamtzahlen der in der Referenz diagnostizierten Tumorfälle.

Tabelle 13.6: ICD-10 - Absolute und relative Häufigkeiten der Tumorentitäten im Zeitverlauf (basierend auf Diagnosejahr)

ICD-10 (Diagnose)	2020	2021	2022	2023	2024	Gesamt	REF
C81 - Hodgkin-Lymphom	C81.0	4 (0.8%)	1 (0.2%)	1 (0.2%)	2 (0.4%)	8 (1.8%)	16 (0.7%) 15.4%
	C81.1	13 (2.6%)	13 (2.8%)	11 (2.2%)	11 (2.2%)	12 (2.8%)	60 (2.5%) 18.5%
	C81.2	12 (2.4%)	6 (1.3%)	9 (1.8%)	3 (0.6%)	6 (1.4%)	36 (1.5%) 18.2%
	C81.3	1 (0.2%)	-	2 (0.4%)	-	-	3 (0.1%) 37.5%
	C81.4	1 (0.2%)	1 (0.2%)	2 (0.4%)	2 (0.4%)	3 (0.7%)	9 (0.4%) 13.4%
	C81.7	-	-	1 (0.2%)	-	4 (0.9%)	5 (0.2%) 11.6%
	C81.9	7 (1.4%)	7 (1.5%)	10 (2.0%)	8 (1.6%)	8 (1.8%)	40 (1.7%) 14.6%
	gesamt	38 (7.5%)	28 (6.0%)	36 (7.0%)	26 (5.2%)	41 (9.4%)	169 (7.0%) 16.5%
	C82.0	14 (2.8%)	7 (1.5%)	8 (1.6%)	6 (1.2%)	5 (1.2%)	40 (1.7%) 13.6%

Tabelle 13.6: ICD-10 - Absolute und relative Häufigkeiten der Tumorentitäten im Zeitverlauf (basiert auf Diagnosejahr) (continued)

ICD-10 (Diagnose)	2020	2021	2022	2023	2024	Gesamt	REF
C82 - folliculäres Lymph.	C82.1	30 (5.9%)	10 (2.1%)	19 (3.7%)	11 (2.2%)	12 (2.8%)	82 (3.4%) 17.7%
	C82.2	8 (1.6%)	4 (0.9%)	7 (1.4%)	5 (1.0%)	5 (1.2%)	29 (1.2%) 17.9%
	C82.3	5 (1.0%)	1 (0.2%)	2 (0.4%)	2 (0.4%)	2 (0.5%)	12 (0.5%) 22.6%
	C82.4	-	1 (0.2%)	-	-	-	1 (0.0%) 8.3%
	C82.6	-	-	1 (0.2%)	-	-	1 (0.0%) 3.2%
	C82.7	-	-	1 (0.2%)	-	-	1 (0.0%) 20.0%
	C82.9	8 (1.6%)	7 (1.5%)	18 (3.5%)	16 (3.2%)	16 (3.7%)	65 (2.7%) 14.9%
	gesamt	65 (12.8%)	30 (6.4%)	56 (11.0%)	40 (8.0%)	40 (9.2%)	231 (9.5%) 15.9%
C83 - nicht folliculäres Lymph.	C83.0	13 (2.6%)	19 (4.1%)	10 (2.0%)	14 (2.8%)	13 (3.0%)	69 (2.9%) 9.4%
	C83.1	17 (3.3%)	12 (2.6%)	20 (3.9%)	20 (4.0%)	16 (3.7%)	85 (3.5%) 17.1%
	C83.3	103 (20.2%)	96 (20.5%)	104 (20.4%)	124 (24.9%)	110 (25.3%)	537 (22.2%) 18.1%
	C83.5	1 (0.2%)	1 (0.2%)	1 (0.2%)	2 (0.4%)	-	5 (0.2%) 17.9%
	C83.7	3 (0.6%)	-	4 (0.8%)	6 (1.2%)	-	13 (0.5%) 17.1%
	C83.8	1 (0.2%)	-	1 (0.2%)	-	-	2 (0.1%) 22.2%
	gesamt	138 (27.1%)	128 (27.4%)	140 (27.4%)	166 (33.3%)	139 (32.0%)	711 (29.4%) 16.4%
C84 - reifzellige T/NK-Zell-Lymph.	C84.0	4 (0.8%)	2 (0.4%)	-	2 (0.4%)	1 (0.2%)	9 (0.4%) 5.1%
	C84.1	1 (0.2%)	-	-	-	-	1 (0.0%) 3.7%
	C84.4	5 (1.0%)	6 (1.3%)	6 (1.2%)	5 (1.0%)	3 (0.7%)	25 (1.0%) 16.3%
	C84.6	-	-	1 (0.2%)	1 (0.2%)	2 (0.5%)	4 (0.2%) 10.8%
	C84.7	-	1 (0.2%)	1 (0.2%)	2 (0.4%)	2 (0.5%)	6 (0.2%) 15.4%
	C84.8	2 (0.4%)	2 (0.4%)	3 (0.6%)	1 (0.2%)	-	8 (0.3%) 25.0%
	gesamt	12 (2.4%)	11 (2.4%)	11 (2.2%)	11 (2.2%)	8 (1.8%)	53 (2.2%) 11.2%
C85 - Non-Hodgkin n.n.b.	C85.1	-	-	-	1 (0.2%)	2 (0.5%)	3 (0.1%) 5.0%
	C85.2	2 (0.4%)	2 (0.4%)	1 (0.2%)	4 (0.8%)	3 (0.7%)	12 (0.5%) 16.4%
	C85.7	-	-	-	1 (0.2%)	1 (0.2%)	2 (0.1%) 7.4%
	C85.9	29 (5.7%)	19 (4.1%)	19 (3.7%)	18 (3.6%)	11 (2.5%)	96 (4.0%) 13.4%
	gesamt	31 (6.1%)	21 (4.5%)	20 (3.9%)	24 (4.8%)	17 (3.9%)	113 (4.7%) 12.8%
C86 - weitere spez. T/NK-Zell-Lymph.	C86.0	-	-	-	1 (0.2%)	-	1 (0.0%) 7.1%
	C86.2	1 (0.2%)	2 (0.4%)	2 (0.4%)	1 (0.2%)	2 (0.5%)	8 (0.3%) 47.1%
	C86.3	-	1 (0.2%)	-	-	-	1 (0.0%) 25.0%
	C86.5	5 (1.0%)	3 (0.6%)	5 (1.0%)	4 (0.8%)	7 (1.6%)	24 (1.0%) 24.0%
	gesamt	6 (1.2%)	6 (1.3%)	7 (1.4%)	6 (1.2%)	9 (2.1%)	34 (1.4%) 21.2%
C88 - immunproliferative Krankh.	C88.0	1 (0.2%)	3 (0.6%)	4 (0.8%)	4 (0.8%)	4 (0.9%)	16 (0.7%) 9.2%
	C88.00	2 (0.4%)	-	-	-	-	2 (0.1%) 10.5%
	C88.4	21 (4.1%)	18 (3.8%)	16 (3.1%)	16 (3.2%)	4 (0.9%)	75 (3.1%) 15.6%
	C88.40	-	1 (0.2%)	2 (0.4%)	-	2 (0.5%)	5 (0.2%) 7.6%
	C88.7	-	-	-	-	1 (0.2%)	1 (0.0%) 33.3%
	gesamt	24 (4.7%)	22 (4.7%)	22 (4.3%)	20 (4.0%)	11 (2.5%)	99 (4.1%) 13.1%
C90 - Plasmoz. u. Plazmaz.-Nbldg.	C90.0	92 (18.1%)	70 (15.0%)	88 (17.2%)	67 (13.5%)	50 (11.5%)	367 (15.2%) 16.0%
	C90.00	4 (0.8%)	9 (1.9%)	6 (1.2%)	8 (1.6%)	9 (2.1%)	36 (1.5%) 9.5%
	C90.1	1 (0.2%)	-	1 (0.2%)	1 (0.2%)	-	3 (0.1%) 15.0%
	C90.2	-	3 (0.6%)	-	-	-	3 (0.1%) 10.3%
	C90.3	2 (0.4%)	1 (0.2%)	1 (0.2%)	5 (1.0%)	-	9 (0.4%) 7.8%
	C90.30	2 (0.4%)	-	2 (0.4%)	1 (0.2%)	1 (0.2%)	6 (0.2%) 42.9%
	gesamt	101 (19.8%)	83 (17.7%)	98 (19.2%)	82 (16.5%)	60 (13.8%)	424 (17.5%) 14.7%
	C91.0	9 (1.8%)	9 (1.9%)	4 (0.8%)	6 (1.2%)	12 (2.8%)	40 (1.7%) 19.0%
	C91.00	-	-	-	1 (0.2%)	-	1 (0.0%) 2.5%

Tabelle 13.6: ICD-10 - Absolute und relative Häufigkeiten der Tumorentitäten im Zeitverlauf (basiert auf Diagnosejahr) (continued)

ICD-10 (Diagnose)	2020	2021	2022	2023	2024	Gesamt	REF
C91 - lymphatische Leukämie	C91.1	15 (2.9%)	19 (4.1%)	23 (4.5%)	23 (4.6%)	16 (3.7%)	96 (4.0%) 4.9%
	C91.10	1 (0.2%)	2 (0.4%)	2 (0.4%)	2 (0.4%)	2 (0.5%)	9 (0.4%) 4.4%
	C91.4	2 (0.4%)	1 (0.2%)	1 (0.2%)	4 (0.8%)	2 (0.5%)	10 (0.4%) 11.0%
	C91.5	-	-	-	1 (0.2%)	-	1 (0.0%) 10.0%
	C91.6	-	1 (0.2%)	-	1 (0.2%)	-	2 (0.1%) 8.7%
	C91.7	1 (0.2%)	-	1 (0.2%)	-	-	2 (0.1%) 11.1%
	C91.80	-	-	1 (0.2%)	-	-	1 (0.0%) 50.0%
	C91.9	-	-	1 (0.2%)	-	-	1 (0.0%) 1.2%
	C91.90	-	-	-	-	1 (0.2%)	1 (0.0%) 50.0%
	gesamt	28 (5.5%)	32 (6.8%)	33 (6.5%)	38 (7.6%)	33 (7.6%)	164 (6.8%) 6.1%
C92 - myeloische Leukämie	C92.0	35 (6.9%)	50 (10.7%)	45 (8.8%)	36 (7.2%)	36 (8.3%)	202 (8.3%) 16.5%
	C92.00	4 (0.8%)	10 (2.1%)	10 (2.0%)	9 (1.8%)	10 (2.3%)	43 (1.8%) 11.7%
	C92.1	5 (1.0%)	5 (1.1%)	10 (2.0%)	5 (1.0%)	7 (1.6%)	32 (1.3%) 8.4%
	C92.10	-	2 (0.4%)	2 (0.4%)	-	1 (0.2%)	5 (0.2%) 8.1%
	C92.2	-	1 (0.2%)	-	-	-	1 (0.0%) 8.3%
	C92.3	-	-	-	1 (0.2%)	-	1 (0.0%) 5.3%
	C92.4	1 (0.2%)	5 (1.1%)	1 (0.2%)	1 (0.2%)	-	8 (0.3%) 24.2%
	C92.40	-	1 (0.2%)	-	-	-	1 (0.0%) 14.3%
	C92.5	1 (0.2%)	2 (0.4%)	-	2 (0.4%)	3 (0.7%)	8 (0.3%) 12.1%
	C92.50	-	2 (0.4%)	1 (0.2%)	2 (0.4%)	2 (0.5%)	7 (0.3%) 36.8%
C93 - Monozytenleukämie	C92.6	-	1 (0.2%)	-	-	-	1 (0.0%) 10.0%
	C92.8	8 (1.6%)	11 (2.4%)	8 (1.6%)	13 (2.6%)	6 (1.4%)	46 (1.9%) 19.8%
	C92.80	-	-	-	-	1 (0.2%)	1 (0.0%) 6.7%
	C92.9	-	-	-	1 (0.2%)	-	1 (0.0%) 1.3%
	C92.90	-	-	-	-	1 (0.2%)	1 (0.0%) 50.0%
	gesamt	54 (10.6%)	90 (19.2%)	77 (15.1%)	70 (14.1%)	67 (15.4%)	358 (14.8%) 14.0%
	C93.0	1 (0.2%)	5 (1.1%)	2 (0.4%)	2 (0.4%)	1 (0.2%)	11 (0.5%) 28.2%
	C93.00	1 (0.2%)	1 (0.2%)	1 (0.2%)	1 (0.2%)	1 (0.2%)	5 (0.2%) 45.5%
	C93.1	4 (0.8%)	3 (0.6%)	3 (0.6%)	5 (1.0%)	2 (0.5%)	17 (0.7%) 8.0%
	C93.10	1 (0.2%)	4 (0.9%)	1 (0.2%)	-	1 (0.2%)	7 (0.3%) 25.9%
C94 - sonst. Leukämie n.b. Zelltyps	gesamt	7 (1.4%)	13 (2.8%)	7 (1.4%)	8 (1.6%)	5 (1.2%)	40 (1.7%) 13.6%
	C94.0	1 (0.2%)	-	-	-	-	1 (0.0%) 5.0%
	C94.00	-	-	-	-	1 (0.2%)	1 (0.0%) 50.0%
	C94.3	-	-	-	1 (0.2%)	-	1 (0.0%) 16.7%
	C94.40	-	-	1 (0.2%)	-	-	1 (0.0%) 50.0%
C95 - n.n.b. Leukämien	C94.60	-	-	1 (0.2%)	-	-	1 (0.0%) 10.0%
	gesamt	1 (0.2%)	-	2 (0.4%)	1 (0.2%)	1 (0.2%)	5 (0.2%) 3.9%
	C95.0	3 (0.6%)	-	-	2 (0.4%)	1 (0.2%)	6 (0.2%) 11.8%
	C95.00	-	1 (0.2%)	2 (0.4%)	-	-	3 (0.1%) 33.3%
C96 - n.n.b.	gesamt	3 (0.6%)	1 (0.2%)	2 (0.4%)	2 (0.4%)	1 (0.2%)	9 (0.4%) 7.3%
	C96.2	1 (0.2%)	-	-	3 (0.6%)	-	4 (0.2%) 16.7%
	C96.5	-	-	-	-	1 (0.2%)	1 (0.0%) 50.0%
	C96.6	-	3 (0.6%)	-	1 (0.2%)	1 (0.2%)	5 (0.2%) 19.2%
gesamt		1 (0.2%)	3 (0.6%)	-	4 (0.8%)	2 (0.5%)	10 (0.4%) 10.9%
GESAMT	GESAMT	509	468	511	498	434	2420 13.6%

Anmerkung: aktueller Datenstand: 31.10.2025

13.3.2 Histologie

Die nachfolgenden Analysen umfassen sowohl eine Kategorisierung der Tumoren nach deren dokumentierter Histologie (Hauptklassen nach *ENCR 2017* und *NCT 2018*) sowie das Vorkommen dieser **Histologie-Hauptklassen** (bspw. Karzinome) innerhalb der fünf am häufigsten vorkommenden Entitäten innerhalb der Tumorentitätengruppe **C81-C96 - lymph., blutbd. u. verw. Gewebes** Ihrer Einrichtung. Zudem werden die **Histologie-Hauptklassen** nach den vorhandenen Histologie-Gruppen (nach *ENCR 2017* und *NCT 2018*) und die Verteilung der Histologie-Schlüssel (nach *ICD-O*) für die vorkommenden Tumorentitäten (nach *ICD-10*) tabellarisch dargestellt.

Der folgenden Tabellen beschreiben Ihnen die Tumorfälle (aufgeschlüsselt nach *ICD-10*), die in Ihrer Einrichtung im 5-Jahres Berichtszeitraum (2020 bis 2024) diagnostiziert oder im Rahmen der Primärtherapie behandelt worden sind, nach deren **Histologie** (Histologie-Schlüssel nach *ICD-O*).

Als Referenz zur Kategorisierung der Histologie-Schlüssel wurden verwendet:

- ENCR 2017 - Ardanaz et. al.: Working Group ENCR guidelines for reporting of multiple primary malignant (invasive) neoplasms - ENCR Multiple primary rules version 4
- NCT 2018 - Adzersen u. Schäfer: Handbuch der allgemeinen Tumordokumentation, 7. Auflage

Tabelle 13.7: Histologie-Übersicht für C83 - nicht folliculäres Lymph. - absolute Häufigkeiten der Tumorhistologien stratifiziert (nach ENCR 2017, NCT 2018) für einzelne Berichtsjahre

Gruppe	Histologie-Schlüssel	2020	2021	2022	2023	2024	Gesamt
T. d. hämatopoiet. u. lymph. Gew.							
B-Zell Neoplasien	9671/3: Lymphoplasmozytisches Lymphom	3	3	1	1	4	12
B-Zell Neoplasien	9673/3: Mantelzell-Lymphom	17	12	20	20	15	84
B-Zell Neoplasien	9680/3: Diffuses großzell.	101	93	102	123	107	526
B-Zell Neoplasien	B-Zell-Lymphom o.n.A.						
B-Zell Neoplasien	9684/3: Großzell. diffuses B-Zell-Lymphom, immunoblastische Variante o.n.A.	0	1	0	1	1	3
B-Zell Neoplasien	9687/3: Burkitt-Lymphom o.n.A.	3	0	4	5	0	12
B-Zell Neoplasien	9689/3: Marginalzonen-B-Zell-Lymphom der Milz	0	2	0	1	0	3
B-Zell Neoplasien	9699/3: Marginalzonen-B-Zell-Lymphom o.n.A.	9	7	7	6	4	33
B-Zell Neoplasien	9712/3: Intravaskul. großzell. B-Zell-Lymphom	1	0	0	0	0	1
B-Zell Neoplasien	9735/3: Plasmablastisches Lymphom	1	2	1	1	1	6
B-Zell Neoplasien	9823/3: Chron. Lymphat. B-Zell-Leuk./kleinz. Lymphozyt. Lymphom	0	0	1	2	0	3
B-Zell Neoplasien	Total	135	120	136	160	132	683
n.n.b. Neoplasien	9591/3: Malignes Non-Hodgkin-Lymphom o.n.A	0	0	1	0	0	1
n.n.b. Neoplasien	Total	0	0	1	0	0	1
	Total	135	120	137	160	132	684

Tabelle 13.8: Histologie-Übersicht für C90 - Plasmoz. u. Plasmaz.-Nbldg. - absolute Häufigkeiten der Tumorhistologien stratifiziert (nach ENCR 2017, NCT 2018) für einzelne Berichtsjahre

Gruppe	Schlüssel	2020	2021	2022	2023	2024	Gesamt
T. d. hämatopoiet. u. lymph. Gew.							
B-Zell Neoplasien	9731/3: Plasmozytom o.n.A.	20	18	13	11	2	64
B-Zell Neoplasien	9733/3: Plazmazell-Leukämie	1	0	1	1	0	3
B-Zell Neoplasien	9734/3: Extramedulläres Plasmozytom	0	3	0	0	0	3
B-Zell Neoplasien	Total	21	21	14	12	2	70
	Total	21	21	14	12	2	70

Tabelle 13.9: Histologie-Übersicht für C92 - myeloische Leukämie - absolute Häufigkeiten der Tumorhistologien stratifiziert (nach ENCR 2017, NCT 2018) für einzelne Berichtsjahre (continued)

Gruppe	Schlüssel	2020	2021	2022	2023	2024	Gesamt
T. d. hämatopoiet. u. lymph. Gew.							
Myeloide Neoplasien	9860/3: Myeloische Leukämie o.n.A.	0	0	0	1	1	2
Myeloide Neoplasien	9861/3: Akute myeloische Leukämie o.n.A.	30	48	41	36	33	188
Myeloide Neoplasien	9863/3: Chronische myeloische Leukämie o.n.A.	2	6	5	3	4	20
Myeloide Neoplasien	9866/3: Akute Promyelozytenleukämie, t(15;17)(q22;q11-12)	1	5	1	1	0	8
Myeloide Neoplasien	9867/3: Akute myelomonozytäre Leukämie	0	2	0	3	2	7
Myeloide Neoplasien	9869/3: AML mit inv(3)(q21q26.2) oder t(3;3)(q21;q26.2); RPN1-EVI1	0	0	0	1	0	1
Myeloide Neoplasien	9871/3: Akute myelomonozyt. Leukämie mit Eosinophilie	1	0	0	0	1	2
Myeloide Neoplasien	9872/3: AML mit minimaler Ausreifung	0	0	0	0	1	1
Myeloide Neoplasien	9874/3: AML mit Ausreifung	0	1	0	0	0	1
Myeloide Neoplasien	9875/3: CML, BCR/ABL positiv	3	2	7	2	4	18
Myeloide Neoplasien	9891/3: Akute Monozytenleukämie	1	2	1	0	1	5
Myeloide Neoplasien	9895/3: AML m. Myelodysplasie-ähnл. Veränderungen	10	11	8	12	7	48
Myeloide Neoplasien	9896/3: AML, t(8;21)(q22;q22)	1	1	1	0	1	4
Myeloide Neoplasien	9897/3: AML mit 11q23-Abnornitäten	0	1	0	0	0	1
Myeloide Neoplasien	9920/3: Therapiebedingte myeloische Neoplasie	3	2	2	4	2	13
Myeloide Neoplasien	9930/3: Myelosarkom	0	0	0	1	0	1
Myeloide Neoplasien	9931/3: Akute Panmyelose mit Myelofibrose	1	0	0	0	0	1
Myeloide Neoplasien	9989/3: Myelodysplast. Syndrom o.n.A.	0	0	0	0	1	1
Myeloide Neoplasien	Total	53	81	66	64	58	322
n.n.b. Neoplasien	9801/3: Akute Leukämie o.n.A.	0	2	0	0	0	2
n.n.b. Neoplasien	Total	0	2	0	0	0	2
Total		53	83	66	64	58	324

Tabelle 13.10: Histologie-Übersicht für C82 - folliculäres Lymph. - absolute Häufigkeiten der Tumorhistologien stratifiziert (nach ENCR 2017, NCT 2018) für einzelne Berichtsjahre

Gruppe	Schlüssel	2020	2021	2022	2023	2024	Gesamt
T. d. hämatopoiet. u. lymph. Gew.							
B-Zell Neoplasien	9680/3: Diffuses großzell. B-Zell-Lymphom o.n.A.	1	0	0	0	0	1
B-Zell Neoplasien	9690/3: Follikuläres Lymphom o.n.A.	9	7	20	17	20	73
B-Zell Neoplasien	9691/3: Follikuläres Lymphom, Grad 2	29	10	18	10	8	75
B-Zell Neoplasien	9695/3: Follikuläres Lymphom, Grad 1	14	7	8	6	5	40
B-Zell Neoplasien	9698/3: Follikuläres Lymphom, Grad 3	11	6	9	7	7	40
B-Zell Neoplasien	Total	64	30	55	40	40	229
n.n.b. Neoplasien	9590/3: Malignes Lymphom o.n.A.	0	0	1	0	0	1
n.n.b. Neoplasien	9591/3: Malignes Non-Hodgkin-Lymphom o.n.A	1	0	0	0	0	1
n.n.b. Neoplasien	Total	1	0	1	0	0	2
Total		65	30	56	40	40	231

Tabelle 13.11: Histologie-Übersicht für C81 - Hodgkin-Lymphom - absolute Häufigkeiten der Tumorhistologien stratifiziert (nach ENCR 2017, NCT 2018) für einzelne Berichtsjahre

Gruppe	Schlüssel	2020	2021	2022	2023	2024	Gesamt
T. d. hämatopoiet. u. lymph. Gew.							
Hodgkin-Lymphom	9650/3: Hodgkin-Lymphom o.n.A.	7	7	12	7	11	44
Hodgkin-Lymphom	9651/3: Hodgkin-Lymphom, lymphozytenreich	1	1	1	2	3	8

Tabelle 13.11: Histologie-Übersicht für C81 - Hodgkin-Lymphom - absolute Häufigkeiten der Tumorhistologien stratifiziert (nach ENCR 2017, NCT 2018) für einzelne Berichtsjahre (continued)

Gruppe	Schlüssel	2020	2021	2022	2023	2024	Gesamt
Hodgkin-Lymphom	9652/3: HL, gemischtzellige Form o.n.A.	12	7	9	3	6	37
Hodgkin-Lymphom	9653/3: Hodgkin-Lymphom, lymphozytenarmer Typ o.n.A.	1	0	2	0	0	3
Hodgkin-Lymphom	9661/3: Hodgkin-Granulom	0	0	0	1	0	1
Hodgkin-Lymphom	9663/3: Hodgkin-Lymphom, nodulär-sklerosierender Typ o.n.A.	13	12	10	9	13	57
Hodgkin-Lymphom	9665/3: Hodgkin-Lymphom, nodulär-sklerosierender Typ, Grad I	0	0	1	0	0	1
Hodgkin-Lymphom	9667/3: Hodgkin-Lymphom, nodulär-sklerosierender Typ, Grad II	0	0	0	2	0	2
Hodgkin-Lymphom	Total	34	27	35	24	33	153
	Total	34	27	35	24	33	153

13.3.3 Histopathologisches Grading und UICC-Klassifikation

Die Analyse des histopathologischen Gradings beruht auf den ermittelten **häufigsten Tumorentitäten** (nach ICD-10) (siehe *Abschnitt 7.1*). Von diesen Tumoren wurden ausschließlich die gradingpflichtigen ausgewählt (Entscheidungskriteria basierend auf ICD-10, ICD-O und Histologie), deren Diagnose histologisch oder zytologisch gesichert wurde, und bezüglich der Verteilung der Differenzierungsgrade analysiert.

Folgende Differenzierungsgrade wurden ausgewertet:

- **G1** -> gut differenziert
- **G2** -> mäßig differenziert
- **G3** -> schlecht differenziert
- **G4** -> undifferenziert
- **GX** -> unbekannt

Abbildung 13.1 gibt Ihnen für die häufigsten Tumorfälle Ihrer Einrichtung einen Überblick über die absolute und relative Häufigkeiten der Differenzierungsgrade des histopathologischen Gradings für die betrachteten Tumorfälle von gradingpflichtigen Tumorentitäten. Im Gegensatz zu **Abbildung 13.1 a)** ist in **Abbildung 13.1 b)** das Grading (absolute und relative Häufigkeiten) **ohne** die Fälle mit fehlender Angabe zu den Differenzierungsgraden dargestellt.

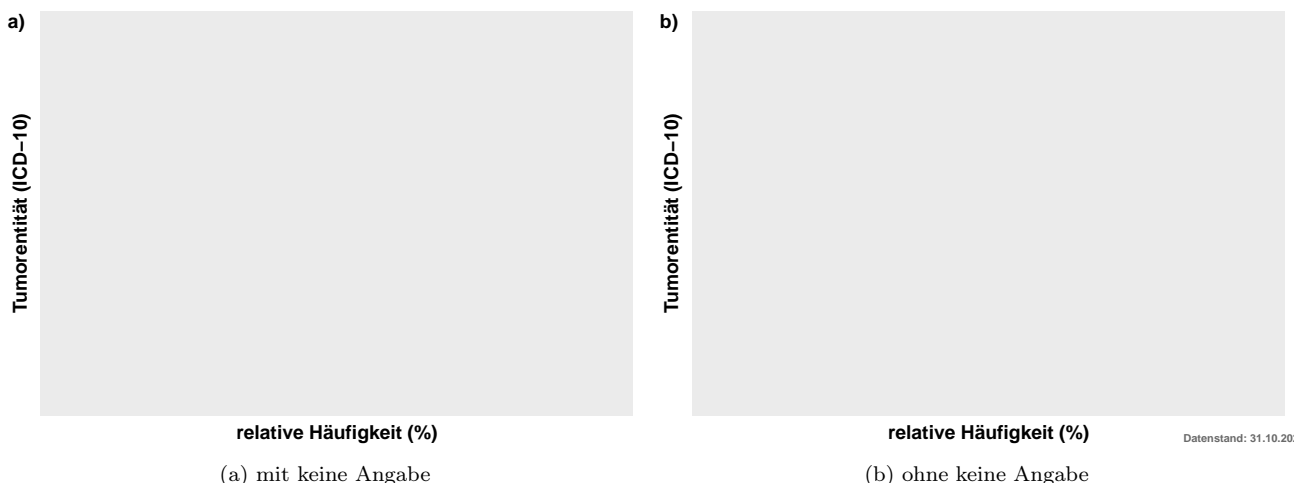


Abbildung 13.1: Histopathologisches Grading für den 5-Jahres Berichtszeitraum (2020 - 2024) - absolute und relative Häufigkeiten der Differenzierungsgrade

13.3.4 UICC-Klassifikation

Die Beschreibung der Stadienverteilung nach UICC beruht auf den ermittelten invasiven Tumorentitäten (nach ICD-10). Von diesen Tumoren wurden ausschließlich die TNM-pflichtigen ausgewählt (Entscheidungskriteria basierend auf ICD-10, ICD-O und Histologie) und bezüglich der Verteilung der Stadien analysiert. In der Auswertung wurden vorrangig pathologische UICC-Stadien verwendet. Lag aufgrund neoadjuvanter oder nicht operativer Behandlungen die pathologische Variante nicht vor, wurde in der Berechnung auf die klinischen UICC-Stadien zurückgegriffen.

Die folgende Abbildung gibt Ihnen einen Überblick über die absoluten und relativen Häufigkeiten der einzelnen Stadien nach UICC für die betrachteten Fälle von TNM-pflichtigen Tumorentitäten (Tumorentitätengruppen nach ICD-10).

13.3.5 Staging

Die Beschreibung der TNM-Verteilung beruht auf den ermittelten häufigsten invasiven Tumorentitäten und wird in der folgenden Abbildung dargestellt. Von diesen Tumoren wurden ausschließlich die TNM-pflichtigen ausgewählt und analysiert (Entscheidungskriteria basierend auf ICD-10, ICD-O und Histologie). In der Auswertung

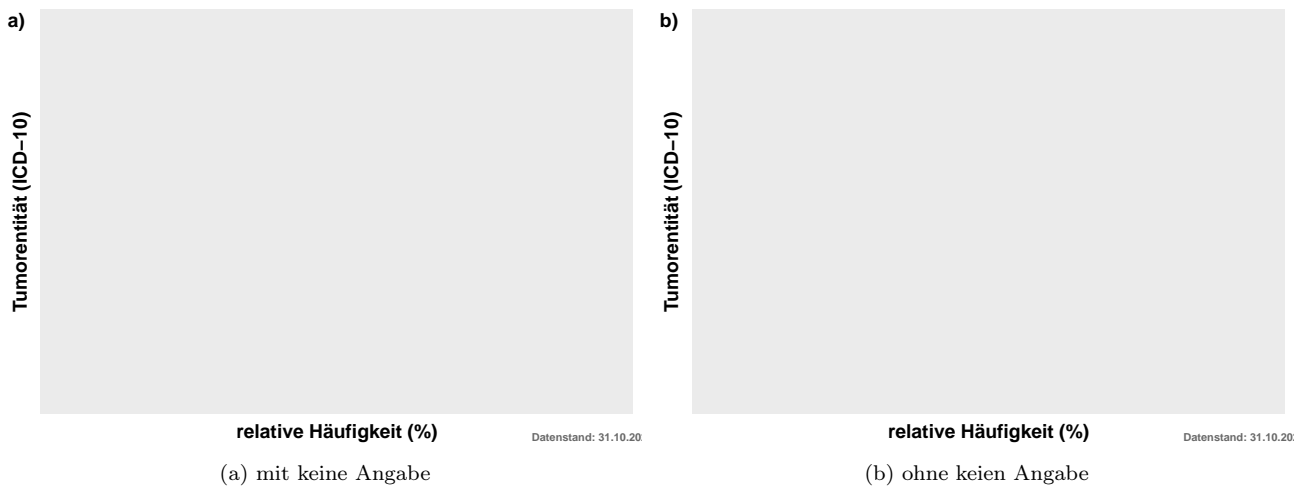


Abbildung 13.2: Stadienverteilung nach UICC für invasive Tumorentitäten (TNM-pflichtig) für den 5-Jahres Berichtszeitraum (2020 - 2024) - absolute und relative Häufigkeiten der Differenzierungsgrade

wurden vorrangig pathologische TNM-Kategorien verwendet. Lag aufgrund neoadjuvanter oder nicht operativer Behandlungen die pathologische Variante nicht vor, wurde in der Berechnung auf die klinischen TNM-Kategorien zurückgegriffen.

13.3.6 Primäre Metastasierung

In diesem Abschnitt wird die primäre Metastasierung Ihrer Tumorfälle analysiert. Primäre Metastasierung umfasst Metastasen, die innerhalb von 92 Tagen nach Diagnosestellung aufgetreten sind. **Tabelle 13.12** listet die primär metastasierten Tumorfälle für die häufigsten Tumorentitäten (ICD-10) auf.

Tabelle 13.12: Absolute und relative Häufigkeiten der Tumorfälle mit primärer Metastasierung nach ICD-10 und Zeitraum

ICD-10 (Diagnose)	Berichtsjahr					GESAMT
	2020	2021	2022	2023	2024	
C81 - Hodgkin-Lymphom	-	-	-	-	-	-
C82 - folliculäres Lymph.	-	-	-	1 (20.0%)	-	1 (7.1%)
C83 - nicht folliculäres Lymph.	-	1 (33.3%)	3 (60.0%)	3 (60.0%)	-	7 (50.0%)
C84 - reifzellige T/NK-Zell-Lymph.	1 (100.0%)	-	-	-	-	1 (7.1%)
C85 - Non-Hodgkin n.n.b.	-	1 (33.3%)	1 (20.0%)	-	-	2 (14.3%)
C88 - immunproliferative Krankh.	-	-	-	-	-	-
C90 - Plasmoz. u. Plasmaz.-Nbldg.	-	1 (33.3%)	-	1 (20.0%)	-	2 (14.3%)
C91 - lymphatische Leukämie	-	-	1 (20.0%)	-	-	1 (7.1%)
C92 - myeloische Leukämie	-	-	-	-	-	-
C93 - Monozytenleukämie	-	-	-	-	-	-
GESAMT	1	3	5	5	0	14

Anmerkung: aktueller Datenstand: 31.10.2025

Tabelle 13.13 zeigt die absolute Häufigkeit der Lokalisationen der primären Fernmetastasen.

Tabelle 13.13: Absolute Häufigkeit der Lokalisation primärer Metastasen (stratifiziert nach ICD-10)

Lokalisation	C83	C85	C91	C82	C90	C84	n
GEN Generalisierte Metastasierung	0	0	0	0	0	0	0
SKI Hautmetastasen	0	0	0	0	0	0	0
BRA Hirnmetastasen	0	0	0	0	0	0	0
MAR Knochenmarkmetastasen	0	0	0	0	0	0	0
OSS Knochenmetastasen	0	0	0	1	2	0	3
HEP Lebermetastasen	1	1	0	0	0	0	2
PUL Lungenmetastasen	1	0	0	0	0	0	1
LYM Lymphknotenmetastasen	4	0	1	0	0	0	5
OTH Metastasen in anderen Organen	2	1	0	0	0	1	4
SPL Milzmetastasen	0	0	0	0	0	0	0
ADR Nebennierenmetastasen	0	0	0	0	0	0	0
PER Peritoneummetastasen	0	0	0	0	0	0	0
PLE Pleurametastasen	1	0	0	0	0	0	1
gesamt	9	2	1	1	2	1	16

Anmerkung: aktueller Datenstand: 31.10.2025

13.4. Patientenstruktur

Im Abschnitt Patientenstruktur wird Ihnen für die Patienten mit Tumordiagnosen C81-C96 - lymph., blutbd. u. verw. Gewebes das Geschlechterverhältnis, die Altersstruktur sowie die Herkunft der Fälle zum Zeitpunkt der Diagnose dargestellt. Dabei wird der 5-Jahres Berichtszeitraum von **2020 bis 2024** betrachtet.

Abbildung 13.3 zeigt Ihnen die absolute Häufigkeit der betrachteten Tumorfälle aufgesplittet nach Geschlecht (männlich / weiblich) und Tumorentität (ICD-10). Abgebildet sind die in Ihrer Einrichtung aufgetretenen invasiven Tumorentitäten der Berichtsjahre 2020 bis 2024 (basierend auf dem Diagnosejahr).

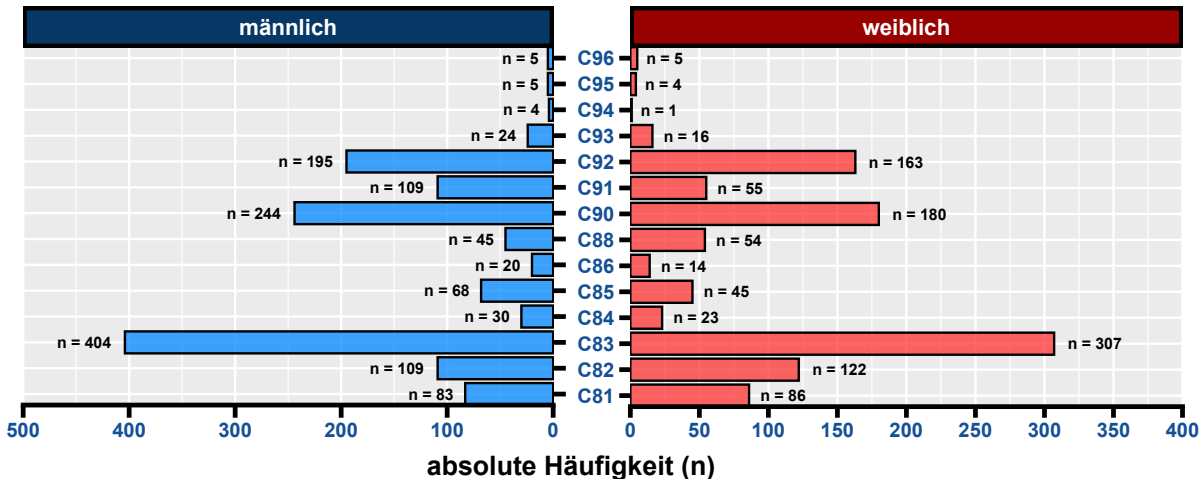


Abbildung 13.3: Geschlechterverhältnis (männlich / weiblich) der Tumorfälle für die Tumorentitäten (nach ICD-10) 5-Jahres Berichtszeitraum (2020 - 2024)

Abbildung 13.4 veranschaulicht Ihnen die Altersverteilung der Tumorentitäten (nach ICD-10) für Männer und Frauen.

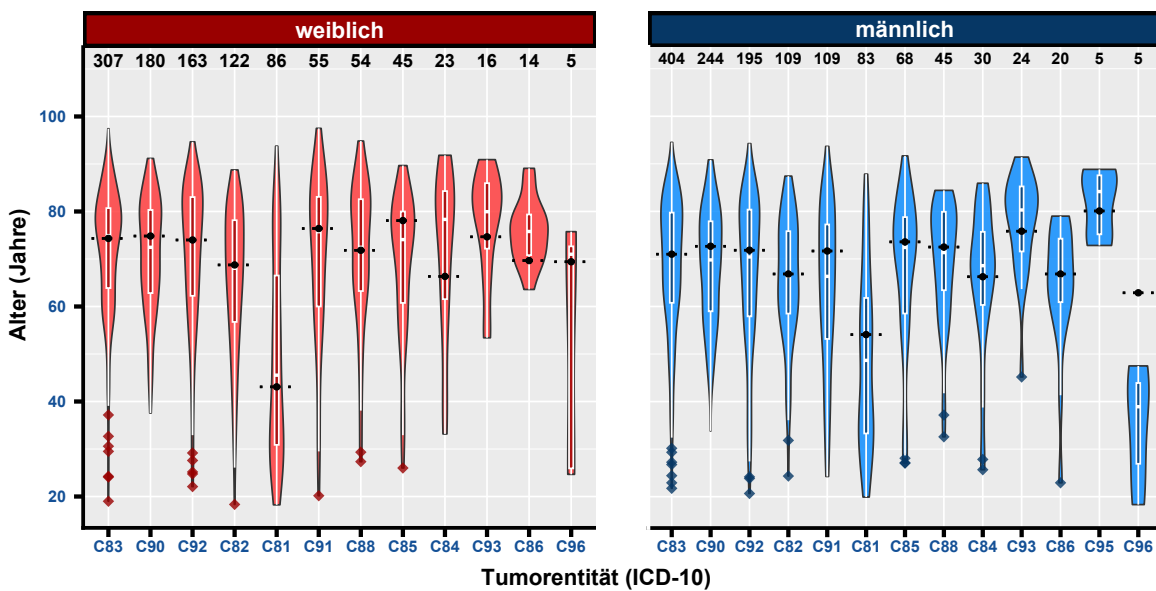


Abbildung 13.4: Altersverteilung der vorkommenden Tumorentitäten (nach ICD-10) je Geschlecht

13.4.1 Herkunft

Das Patientenkollektiv Ihrer Einrichtung stammt, basierend auf dem Wohnort zum Zeitpunkt der Diagnose, aus **13 Bundesländern**. Dabei kommen **1.964** Fälle aus dem Bundesland Berlin und **405** Fälle aus dem Bundesland Brandenburg. Aus dem Bundesland Niedersachsen kommen mit 14 Fällen die meisten Patienten, die nicht in der Region Brandenburg-Berlin zum Zeitpunkt der Diagnose wohnhaft waren. Die folgenden kartographischen Darstellungen stellen Ihnen den Wohnort zum Zeitpunkt der Diagnose Ihrer Patienten detaillierter dar (wenn mindestens 25 Tumorfälle vorliegen). Für Patienten aus dem Bundesland Brandenburg werden die Zahlen (prozentual) auf Gemeindeebene, für Berliner Patienten basierend auf den Prognoseräumen (Konzept der Lebensweltlich orientierten Räumen (LOR)) erhoben. Bitte beachten Sie, dass nur Prognoseräume und Gemeinden in der Darstellung berücksichtigt werden, wenn diese mindestens 5 Tumorfälle vorweisen (**Abbildung 13.5**).

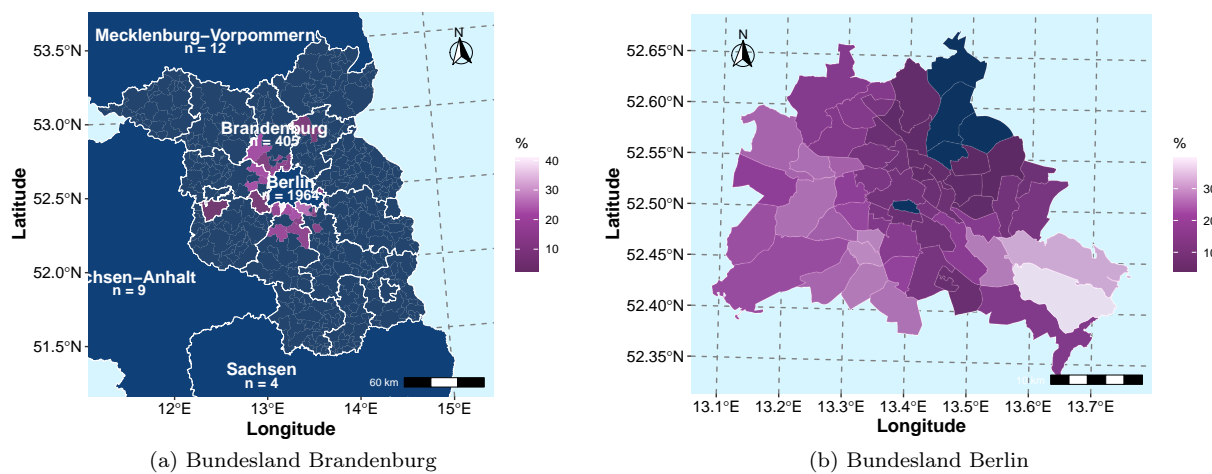


Abbildung 13.5: Prozentuale Darstellung des Wohnorts der Patienten zum Zeitpunkt der Diagnose für Brandenburg (Gemeindeebene) und Berlin (LOR) (mit mindestens 5 Fällen) - 5-Jahres Berichtszeitraum (2020 - 2024)

Tabelle 13.14 stellt Ihnen die absoluten Häufigkeiten der betrachteten Tumorfälle nach Wohnort zum Zeitpunkt der Krebsdiagnose getrennt nach Diagnosejahr (einzelne Berichtsjahre 2020 - 2024) dar. Dabei steht "BB" für Brandenburg, "BE" für Berlin und "Andere BL" für alle anderen Bundesländer.

Tabelle 13.14: Absolute Häufigkeit der Tumorfälle je Wohnort (Bundeslandebene) und pro Berichtsjahr (Diagnosejahr)

Berichtsjahr	BB	BE	Andere BL
2020	87	412	9
2021	62	395	11
2022	91	409	11
2023	89	399	10
2024	76	349	9

Anmerkung: aktueller Datenstand: 31.10.2025

13.5. Überlebensanalysen (nach Kaplan-Meier)

Dieser Abschnitt beschreibt das absolute Überleben (Anteil der Patienten, die zu einem bestimmten Zeitpunkt nach ihrer Diagnose noch leben; basierend auf Kaplan-Meier-Schätzwerten) für Patienten Ihrer Einrichtung (diagnostiziert bzw. primärtherapiert) mit Tumordiagnosen der Gruppe **C81-C96 - lymph., blutbd. u. verw. Gewebes**, stellt Vergleiche mit Ihrer entsprechenden Referenz (siehe: Beschreibung in der Einleitung) an und analysiert das Gesamtüberleben stratifiziert u. a. nach UICC-Klassifikation, Geschlecht und Alter ("18-49 Jahre", "50-74 Jahre", "75+ Jahre"). Dabei ist zu berücksichtigen, dass das Patientenkollektiv Ihrer Einrichtung sich hinsichtlich Alter, Geschlecht, ECOG, Krankheitsstadien und weiteren Tumoreigenschaften von dem anderer Einrichtungen unterscheiden kann, was die direkte Vergleichbarkeit einschränkt. Stichtag für die Überlebensberechnungen ist der 31.12.2024, das bedeutet, dass die Betrachtung der Überlebenszeit bis zu diesem Datum erfolgt, da bis zu diesem Datum von einer vollständigen Erfassung des Lebendstatus der Patientinnen und Patienten auszugehen ist.

Bei der Interpretation der Überlebensstatistiken achten Sie bitte auf folgende Punkte:

- es werden nur für invasive Tumorentitäten (C00-C97) Überlebensanalysen gerechnet
- die Kaplan-Meier-Schätzwerte beruhen auf den Daten von 01.01.2020 bis zum aktuellen Stichtag 31.12.2024
- Konfidenzintervalle, die eine große Spannweite aufweisen, deuten auf ein größere Ungenauigkeit des Kaplan-Meier-Schätzers hin
- eine geringe Fallanzahl (Gesamt oder pro untersuchte Gruppe) führt zu größeren Konfidenzintervallen

Auf Anfrage (per E-Mail an Datenauswertung@kkrbb.de) stellen wir Ihnen gerne weitere Überlebensdarstellungen und Statistiken Tumorentitäten zur Verfügung.

13.5.1 Überblick für C81-C96 - lymph., blutbd. u. verw. Gewebes

Tabelle 13.15 gibt Ihnen einen Überblick über das Patientenkollektiv, für die die Überlebensanalysen gerechnet wurden. Des Weiteren finden Sie für die fünf häufigsten ICD-10 dieser Gruppe ($n \geq 50$) eine separate Auflistung der Merkmale der betrachteten Population.

Tabelle 13.15: Beschreibung des Patientenkollektivs: Charakteristika der eingeschlossenen Patienten für die Überlebensanalysen ('overall' - alle; einzelne ICD-10 (n >= 50))

Variable	**Overall**, N = 2,420	**C81**, N = 169	**C82**, N = 231	**C83**, N = 711	**C90**, N = 424	**C92**, N = 358
Geschlecht, n (%)						
M	1,345 (56%)	83 (49%)	109 (47%)	404 (57%)	244 (58%)	195 (54%)
W	1,075 (44%)	86 (51%)	122 (53%)	307 (43%)	180 (42%)	163 (46%)
Alter bei Diagnose, Median (IQR)	71 (59, 80)	47 (32, 64)	67 (57, 77)	73 (62, 80)	71 (60, 79)	72 (60, 81)
AGE_gr25, n (%)						
18-49	330 (14%)	91 (54%)	32 (14%)	62 (8.7%)	30 (7.1%)	44 (12%)
50-74	1,152 (48%)	51 (30%)	130 (56%)	343 (48%)	233 (55%)	162 (45%)
75+	938 (39%)	27 (16%)	69 (30%)	306 (43%)	161 (38%)	152 (42%)
Diagnosejahr, n (%)						
2020	509 (21%)	38 (22%)	65 (28%)	138 (19%)	101 (24%)	54 (15%)
2021	468 (19%)	28 (17%)	30 (13%)	128 (18%)	83 (20%)	90 (25%)
2022	511 (21%)	36 (21%)	56 (24%)	140 (20%)	98 (23%)	77 (22%)
2023	498 (21%)	26 (15%)	40 (17%)	166 (23%)	82 (19%)	70 (20%)
2024	434 (18%)	41 (24%)	40 (17%)	139 (20%)	60 (14%)	67 (19%)
ECOG, n (%)						
0	745 (31%)	73 (43%)	92 (40%)	211 (30%)	100 (24%)	91 (25%)
1	531 (22%)	21 (12%)	39 (17%)	170 (24%)	94 (22%)	85 (24%)
2	179 (7.4%)	4 (2.4%)	7 (3.0%)	59 (8.3%)	41 (9.7%)	39 (11%)
3	71 (2.9%)	2 (1.2%)	1 (0.4%)	30 (4.2%)	12 (2.8%)	16 (4.5%)
4	30 (1.2%)	0 (0%)	1 (0.4%)	15 (2.1%)	4 (0.9%)	4 (1.1%)
X	864 (36%)	69 (41%)	91 (39%)	226 (32%)	173 (41%)	123 (34%)

Anmerkung: aktueller Datenstand: 31.10.2025; aktueller Stichtag: 31.12.2024

13.5.2 Überblick für C83 - nicht follikuläres Lymph.

Abbildung 13.6 a) stellt die absoluten Überlebensraten (Kaplan-Meier-Schätzer) für Patienten mit Tumordiagnosen der Tumorentität C83 - nicht follikuläres Lymph. Ihrer Einrichtung im Vergleich zur Referenz bis 5 Jahre nach Erstdiagnose (60 Monate) grafisch dar. In **Abbildung 13.6 b)** werden die absoluten Überlebensraten Ihrer Einrichtung stratifiziert nach UICC-Klassifikation gezeigt.

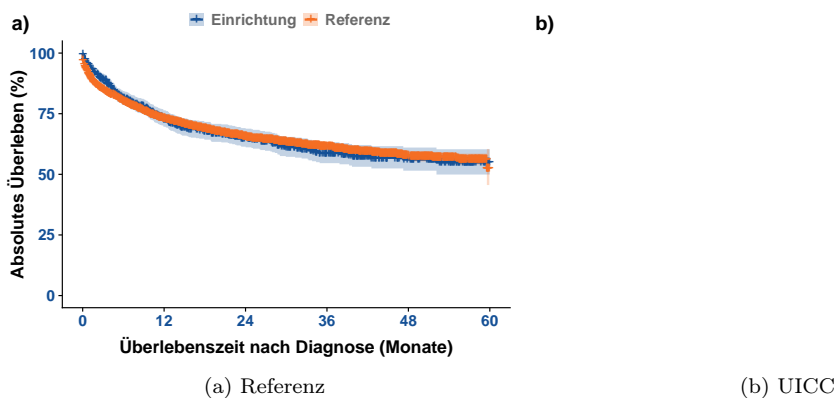


Abbildung 13.6: Darstellung des absoluten Überlebens (Kaplan-Meier-Schätzer) für C83 - nicht follikuläres Lymph. - a) im Vergleich zur Referenz, b) nach UICC-Klassifikation

In den **Tabellen 13.16** und ?? werden die Kaplan-Meier-Schätzer (mit Konfidenzintervallen) stratifiziert für das 1-Jahres bis 5-Jahres Überleben sowie für den entsprechenden Median aufgelistet.

Tabelle 13.16: Tabellarische Darstellung der Kaplan-Meier-Schätzwerte mit Konfidenzintervallen (KI) für das Gesamtüberleben für C83 - nicht follikuläres Lymph. der Einrichtung und Referenz

Zeit (Monate)	Einrichtung		Referenz	
	Überlebensrate (%)	95%-KI (%)	Überlebensrate (%)	95%-KI (%)
0	99.9	99.6 - 100	97.2	96.7 - 97.7
12	72.9	69.6 - 76.4	73.2	71.7 - 74.7
24	65.1	61.4 - 69.1	65.6	64 - 67.3
36	58.8	54.6 - 63.3	61.5	59.8 - 63.3
48	56.1	51.5 - 61	57.7	55.8 - 59.8
Median (Monate)	NA	52.1 - NA	NA	59.6 - NA

Die folgenden Abbildungen 13.7 stellen das Gesamtüberleben für Patienten Ihrer Einrichtung mit Tumordiagnosen der Gruppe C83 - nicht follikuläres Lymph. nach Geschlecht und Alter bei Diagnose dar. In den **Tabellen 13.17** und **13.18** werden die Kaplan-Meier-Schätzer (mit Konfidenzintervallen) stratifiziert nach Geschlecht und Alter bei Diagnose für das 1-Jahres bis 5-Jahres Überleben sowie für den entsprechenden Median aufgelistet.

Tabelle 13.17: Tabellarische Darstellung der Kaplan-Meier-Schätzwerte mit Konfidenzintervallen (KI) für das Gesamtüberleben für C83 - nicht follikuläres Lymph. stratifiziert nach Geschlecht

Zeit (Monate)	männlich		weiblich	
	Überlebensrate (%)	95%-KI (%)	Überlebensrate (%)	95%-KI (%)
0	99.8	99.3 - 100	100.0	100 - 100
12	72.4	68 - 77	73.7	68.8 - 79
24	64.3	59.4 - 69.6	66.2	60.7 - 72.3
36	60.6	55.3 - 66.4	56.0	49.5 - 63.4
48	56.9	50.9 - 63.6	54.6	47.7 - 62.4
Median (Monate)	NA	52.1 - NA	NA	34.4 - NA

Anmerkung: aktueller Datenstand: 31.10.2025; aktueller Stichtag: 31.12.2024

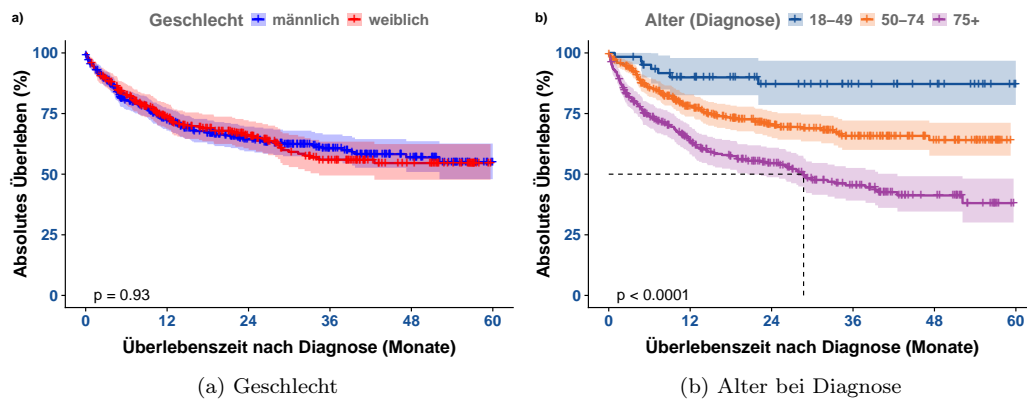


Abbildung 13.7: Darstellung des absoluten Überlebens (Kaplan-Meier-Schätzer) für C83 - nicht follikuläres Lymph. - a) nach Geschlecht, b) nach Alter bei Diagnose in Gruppen

Tabelle 13.18: Tabellarische Darstellung der Kaplan-Meier-Schätzwerte mit Konfidenzintervallen (KI) für das Gesamtüberleben für C83 - nicht follikuläres Lymph. stratifiziert nach Alter bei Diagnose

Zeit (Monate)	Alter = 18-49		Alter = 50-74		Alter = 75+	
	Überlebensrate (%)	95%-KI (%)	Überlebensrate (%)	95%-KI (%)	Überlebensrate (%)	95%-KI (%)
0	100.0	100 - 100	99.7	99.1 - 100	100.0	100 - 100
12	89.9	82.6 - 97.9	78.2	73.8 - 82.9	63.5	58.2 - 69.4
24	87.2	78.5 - 96.8	70.6	65.5 - 76.1	54.5	48.7 - 60.9
36	87.2	78.5 - 96.8	65.8	60 - 72.1	45.4	39.1 - 52.6
48	87.2	78.5 - 96.8	64.1	57.6 - 71.2	41.2	34.6 - 49.2
Median (Monate)	NA	NA - NA	NA	NA - NA	28.7	20.4 - 42.5

Anmerkung: aktueller Datenstand: 31.10.2025; aktueller Stichtag: 31.12.2024

13.5.3 Überblick für C90 - Plasmoz. u. Plasmaz.-Nbldg.

Abbildung 13.8 a) stellt die absoluten Überlebensraten (Kaplan-Meier-Schätzer) für Patienten Ihrer Einrichtung im Vergleich zur Referenz bis 5 Jahre nach Erstdiagnose (60 Monate) grafisch dar. In **Abbildung 13.8 b)** werden die absoluten Überlebensraten Ihrer Einrichtung stratifiziert nach UICC-Klassifikation gezeigt.

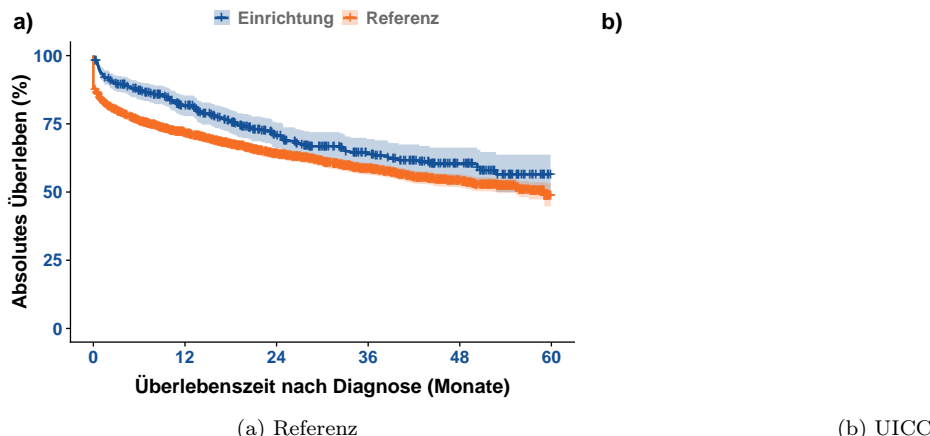


Abbildung 13.8: Darstellung des absoluten Überlebens (Kaplan-Meier-Schätzer) für C90 - Plasmoz. u. Plasmaz.-Nbldg. - a) im Vergleich zur Referenz, b) nach UICC-Klassifikation

In den **Tabellen 13.19** und ?? werden die Kaplan-Meier-Schätzer (mit Konfidenzintervallen) stratifiziert für das 1-Jahres bis 5-Jahres Überleben sowie für den entsprechenden Median aufgelistet.

Tabelle 13.19: Tabellarische Darstellung der Kaplan-Meier-Schätzwerte mit Konfidenzintervallen (KI) für das Gesamtüberleben für C90 - Plasmoz. u. Plasmaz.-Nbldg. der Einrichtung und Referenz

Zeit (Monate)	Einrichtung		Referenz	
	Überlebensrate (%)	95%-KI (%)	Überlebensrate (%)	95%-KI (%)
0	99.8	99.3 - 100	88.1	86.9 - 89.4
12	81.5	77.8 - 85.4	71.6	69.8 - 73.5
24	70.5	66 - 75.4	64.1	62.1 - 66.1
36	63.9	58.8 - 69.4	58.5	56.3 - 60.7
48	60.2	54.8 - 66.3	54.1	51.7 - 56.6
Median (Monate)	NA	52.8 - NA	59.1	52.9 - NA

Die folgenden Abbildungen **13.9** stellen das Gesamtüberleben für Patienten Ihrer Einrichtung nach Geschlecht und Alter bei Diagnose dar. In den **Tabellen 13.20** und **13.21** werden die Kaplan-Meier-Schätzer (mit Konfidenzintervallen) stratifiziert nach Geschlecht und Alter bei Diagnose für das 1-Jahres bis 5-Jahres Überleben sowie für den entsprechenden Median aufgelistet.

Tabelle 13.20: Tabellarische Darstellung der Kaplan-Meier-Schätzwerte mit Konfidenzintervallen (KI) für das Gesamtüberleben für C90 - Plasmoz. u. Plasmaz.-Nbldg. stratifiziert nach Geschlecht

Zeit (Monate)	männlich		weiblich	
	Überlebensrate (%)	95%-KI (%)	Überlebensrate (%)	95%-KI (%)
0	99.9	99.6 - 100	99.5	99.1 - 99.9
12	75.1	72.7 - 77.5	75.8	73.2 - 78.4
24	66.5	63.8 - 69.3	68.2	65.3 - 71.3
36	61.3	58.4 - 64.4	63.4	60.1 - 66.7
48	58.2	54.9 - 61.6	60.9	57.4 - 64.5
Median (Monate)	NA	NA - NA	NA	NA - NA

Anmerkung: aktueller Datenstand: 31.10.2025; aktueller Stichtag: 31.12.2024

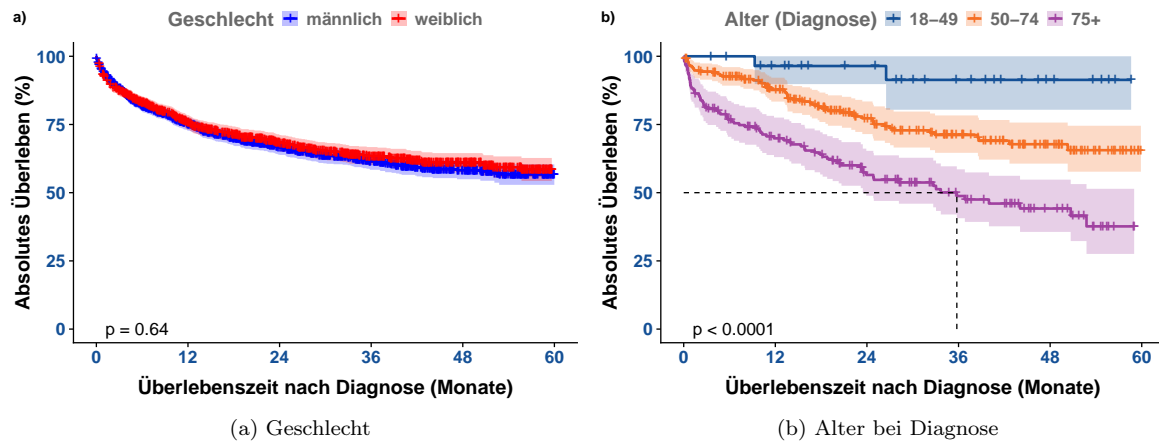


Abbildung 13.9: Darstellung des absoluten Überlebens (Kaplan-Meier-Schätzer) - a) nach Geschlecht, b) nach Alter bei Diagnose in Gruppen

Tabelle 13.21: Tabellarische Darstellung der Kaplan-Meier-Schätzwerte mit Konfidenzintervallen (KI) für das Gesamtüberleben für C90 - Plasmoz. u. Plasmaz.-Nbldg. stratifiziert nach Alter bei Diagnose

Zeit (Monate)	Alter = 18-49		Alter = 50-74		Alter = 75+	
	Überlebensrate (%)	95%-KI (%)	Überlebensrate (%)	95%-KI (%)	Überlebensrate (%)	95%-KI (%)
0	100.0	100 - 100	99.6	98.7 - 100	100.0	100 - 100
12	96.4	89.8 - 100	87.7	83.4 - 92.1	69.9	63 - 77.5
24	96.4	89.8 - 100	77.2	71.5 - 83.4	56.5	48.9 - 65.3
36	91.4	80.4 - 100	71.1	64.6 - 78.3	48.8	40.6 - 58.6
48	91.4	80.4 - 100	67.8	60.7 - 75.7	44.2	35.6 - 54.8
Median (Monate)	NA	NA - NA	NA	NA - NA	35.8	23.5 - NA

Anmerkung: aktueller Datenstand: 31.10.2025; aktueller Stichtag: 31.12.2024

13.5.4 Überblick für C92 - myeloische Leukämie

Abbildung 13.10 a) stellt die absoluten Überlebensraten (Kaplan-Meier-Schätzer) für Patienten Ihrer Einrichtung im Vergleich zur Referenz bis 5 Jahre nach Erstdiagnose (60 Monate) grafisch dar. In **Abbildung 13.10 b)** werden die absoluten Überlebensraten Ihrer Einrichtung stratifiziert nach UICC-Klassifikation gezeigt.

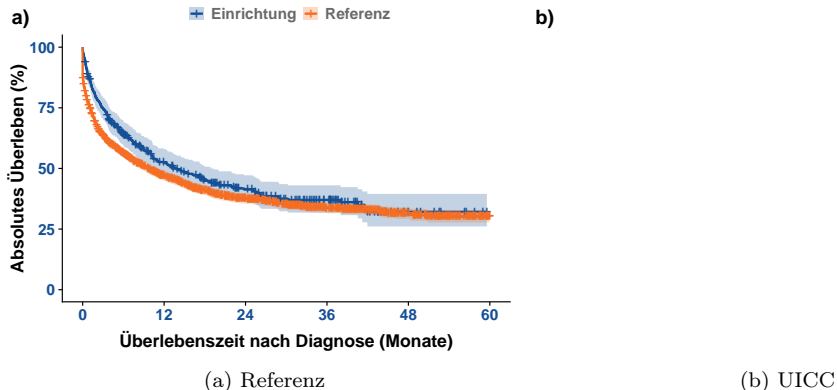


Abbildung 13.10: Darstellung des absoluten Überlebens (Kaplan-Meier-Schätzer) für C92 - myeloische Leukämie
- a) im Vergleich zur Referenz, b) nach UICC-Klassifikation

In den **Tabellen 13.22** und ?? werden die Kaplan-Meier-Schätzer (mit Konfidenzintervallen) stratifiziert für das 1-Jahres bis 5-Jahres Überleben sowie für den entsprechenden Median aufgelistet.

Tabelle 13.22: Tabellarische Darstellung der Kaplan-Meier-Schätzwerte mit Konfidenzintervallen (KI) für das Gesamtüberleben für C92 - myeloische Leukämie der Einrichtung und Referenz

Zeit (Monate)	Einrichtung		Referenz	
	Überlebensrate (%)	95%-KI (%)	Überlebensrate (%)	95%-KI (%)
0	99.4	98.7 - 100	88.2	86.8 - 89.5
12	52.3	47.2 - 57.9	47.0	44.9 - 49.2
24	41.3	36.1 - 47.2	37.6	35.5 - 39.8
36	37.0	31.8 - 43	33.7	31.6 - 36
48	32.1	26.1 - 39.5	31.5	29.2 - 34
Median (Monate)	13.6	10.3 - 18.9	9.7	8.4 - 11.2

Die folgenden Abbildungen **13.11** stellen das Gesamtüberleben für Patienten Ihrer Einrichtung nach Geschlecht und Alter bei Diagnose dar. In den **Tabellen 13.23** und **13.24** werden die Kaplan-Meier-Schätzer (mit Konfidenzintervallen) stratifiziert nach Geschlecht und Alter bei Diagnose für das 1-Jahres bis 5-Jahres Überleben sowie für den entsprechenden Median aufgelistet.

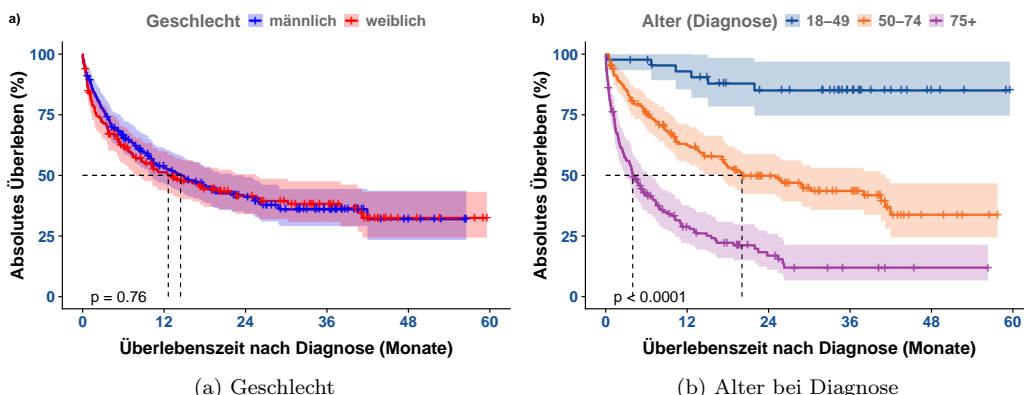


Abbildung 13.11: Darstellung des absoluten Überlebens (Kaplan-Meier-Schätzer) für C92 - myeloische Leukämie
- a) nach Geschlecht, b) nach Alter bei Diagnose in Gruppen

Tabelle 13.23: Tabellarische Darstellung der Kaplan-Meier-Schätzwerte mit Konfidenzintervallen (KI) für das Gesamtüberleben für C92 - myeloische Leukämie stratifiziert nach Geschlecht

Zeit (Monate)	männlich		weiblich	
	Überlebensrate (%)	95%-KI (%)	Überlebensrate (%)	95%-KI (%)
0	100.0	100 - 100	98.8	97.1 - 100
12	53.1	46.3 - 60.9	51.3	43.9 - 59.8
24	41.1	34.3 - 49.3	41.5	34.1 - 50.5
36	36.0	29.1 - 44.4	38.3	30.8 - 47.5
48	32.0	23.4 - 43.7	32.4	24.3 - 43.3
Median (Monate)	14.4	10.2 - 23.8	12.6	7.9 - 25.6

Anmerkung: aktueller Datenstand: 31.10.2025; aktueller Stichtag: 31.12.2024

Tabelle 13.24: Tabellarische Darstellung der Kaplan-Meier-Schätzwerte mit Konfidenzintervallen (KI) für das Gesamtüberleben für C92 - myeloische Leukämie stratifiziert nach Alter bei Diagnose

Zeit (Monate)	Alter = 18-49		Alter = 50-74		Alter = 75+	
	Überlebensrate (%)	95%-KI (%)	Überlebensrate (%)	95%-KI (%)	Überlebensrate (%)	95%-KI (%)
0	100.0	100 - 100	100.0	100 - 100	98.7	96.9 - 100
12	92.9	85.5 - 100	62.3	55 - 70.5	28.9	22.1 - 37.7
24	85.0	74.6 - 96.9	49.9	42.3 - 58.9	16.9	11 - 25.9
36	85.0	74.6 - 96.9	43.6	35.8 - 53.1	12.0	6.7 - 21.4
48	85.0	74.6 - 96.9	33.8	24.4 - 46.8	12.0	6.7 - 21.4
Median (Monate)	NA	NA - NA	20.1	17.2 - 41.2	4.0	2.8 - 6.8

Anmerkung: aktueller Datenstand: 31.10.2025; aktueller Stichtag: 31.12.2024

13.5.5 Überblick für C82 - follikuläres Lymph.

Abbildung 13.12 a) stellt die absoluten Überlebensraten (Kaplan-Meier-Schätzer) für Patienten Ihrer Einrichtung im Vergleich zur Referenz bis 5 Jahre nach Erstdiagnose (60 Monate) grafisch dar. In **Abbildung 13.12 b)** werden die absoluten Überlebensraten Ihrer Einrichtung stratifiziert nach UICC-Klassifikation gezeigt.

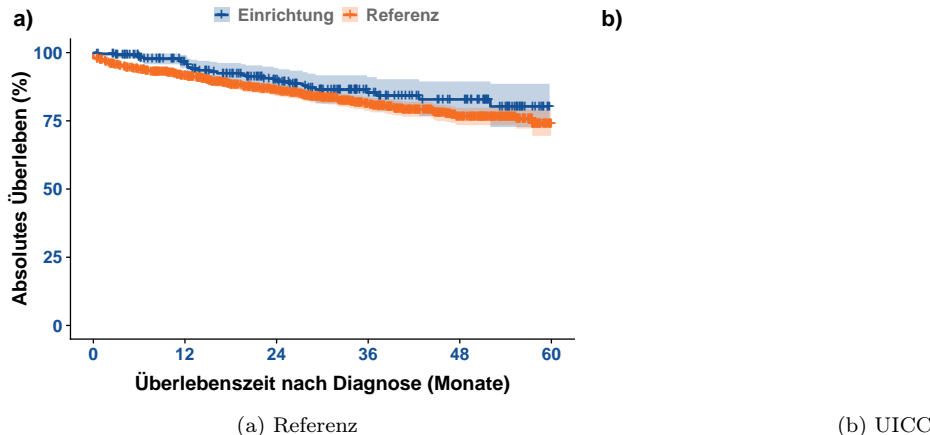


Abbildung 13.12: Darstellung des absoluten Überlebens (Kaplan-Meier-Schätzer) für C82 - follikuläres Lymph.
- a) im Vergleich zur Referenz, b) nach UICC-Klassifikation

In den **Tabellen 13.25** und ?? werden die Kaplan-Meier-Schätzer (mit Konfidenzintervallen) stratifiziert für das 1-Jahres bis 5-Jahres Überleben sowie für den entsprechenden Median aufgelistet.

Tabelle 13.25: Tabellarische Darstellung der Kaplan-Meier-Schätzwerte mit Konfidenzintervallen (KI) für das Gesamtüberleben für C82 - follikuläres Lymph. der Einrichtung und Referenz

Zeit (Monate)	Einrichtung		Referenz	
	Überlebensrate (%)	95%-KI (%)	Überlebensrate (%)	95%-KI (%)
0	100.0	100 - 100	98.0	97.3 - 98.8
12	96.7	94.3 - 99.1	91.6	90.1 - 93.2
24	90.0	85.8 - 94.4	86.1	84.1 - 88.3
36	85.3	80 - 91	81.2	78.7 - 83.8
48	82.8	76.7 - 89.4	76.5	73.4 - 79.8
Median (Monate)	NA	NA - NA	NA	NA - NA

Die folgenden Abbildungen 13.13 stellen das Gesamtüberleben für Patienten Ihrer Einrichtung nach Geschlecht und Alter bei Diagnose dar. In den **Tabellen 13.26** und **13.27** werden die Kaplan-Meier-Schätzer (mit Konfidenzintervallen) stratifiziert nach Geschlecht und Alter bei Diagnose für das 1-Jahres bis 5-Jahres Überleben sowie für den entsprechenden Median aufgelistet.

Tabelle 13.26: Tabellarische Darstellung der Kaplan-Meier-Schätzwerte mit Konfidenzintervallen (KI) für das Gesamtüberleben für C82 - follikuläres Lymph. stratifiziert nach Geschlecht

Zeit (Monate)	männlich		weiblich	
	Überlebensrate (%)	95%-KI (%)	Überlebensrate (%)	95%-KI (%)
0	99.9	99.6 - 100	99.5	99.1 - 99.9
12	75.1	72.7 - 77.5	75.8	73.2 - 78.4
24	66.5	63.8 - 69.3	68.2	65.3 - 71.3
36	61.3	58.4 - 64.4	63.4	60.1 - 66.7
48	58.2	54.9 - 61.6	60.9	57.4 - 64.5
Median (Monate)	NA	NA - NA	NA	NA - NA

Anmerkung: aktueller Datenstand: 31.10.2025; aktueller Stichtag: 31.12.2024

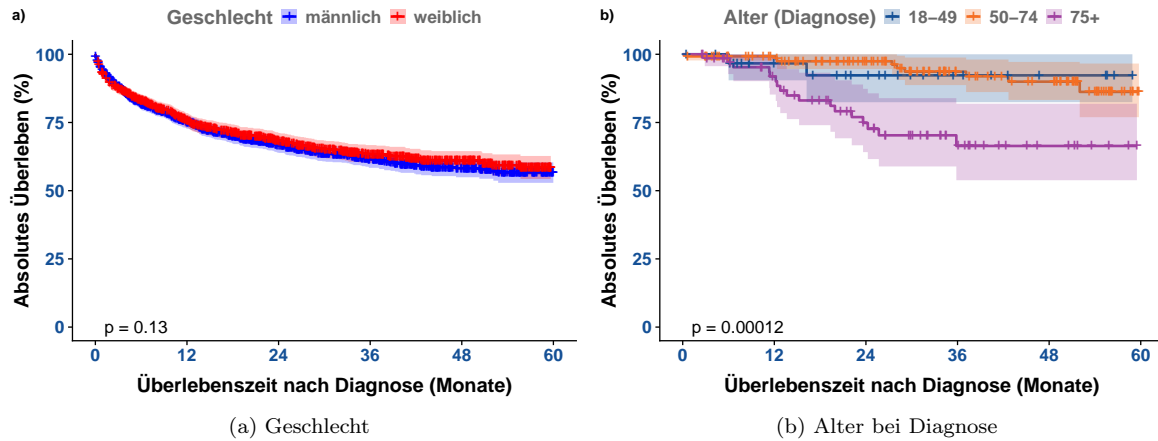


Abbildung 13.13: Darstellung des absoluten Überlebens (Kaplan-Meier-Schätzer) für C82 - folliculäres Lymph.
- a) nach Geschlecht, b) nach Alter bei Diagnose in Gruppen

Tabelle 13.27: Tabellarische Darstellung der Kaplan-Meier-Schätzwerte mit Konfidenzintervallen (KI) für das Gesamtüberleben für C82 - folliculäres Lymph. stratifiziert nach Alter bei Diagnose

Zeit (Monate)	Alter = 18-49		Alter = 50-74		Alter = 75+	
	Überlebensrate (%)	95%-KI (%)	Überlebensrate (%)	95%-KI (%)	Überlebensrate (%)	95%-KI (%)
0	100.0	100 - 100	100.0	100 - 100	100.0	100 - 100
12	96.7	90.5 - 100	99.2	97.7 - 100	91.8	85.2 - 99
24	92.3	82.4 - 100	97.4	94.6 - 100	74.8	64.1 - 87.3
36	92.3	82.4 - 100	93.6	88.7 - 98.8	66.4	53.8 - 81.9
48	92.3	82.4 - 100	90.0	83.3 - 97.2	66.4	53.8 - 81.9
Median (Monate)	NA	NA - NA	NA	NA - NA	NA	NA - NA

Anmerkung: aktueller Datenstand: 31.10.2025; aktueller Stichtag: 31.12.2024

13.5.6 Überblick für C81 - Hodgkin-Lymphom

Abbildung 13.14 a) stellt die absoluten Überlebensraten (Kaplan-Meier-Schätzer) für Patienten Ihrer Einrichtung im Vergleich zur Referenz bis 5 Jahre nach Erstdiagnose (60 Monate) grafisch dar. In **Abbildung 13.14 b)** werden die absoluten Überlebensraten Ihrer Einrichtung stratifiziert nach UICC-Klassifikation gezeigt.

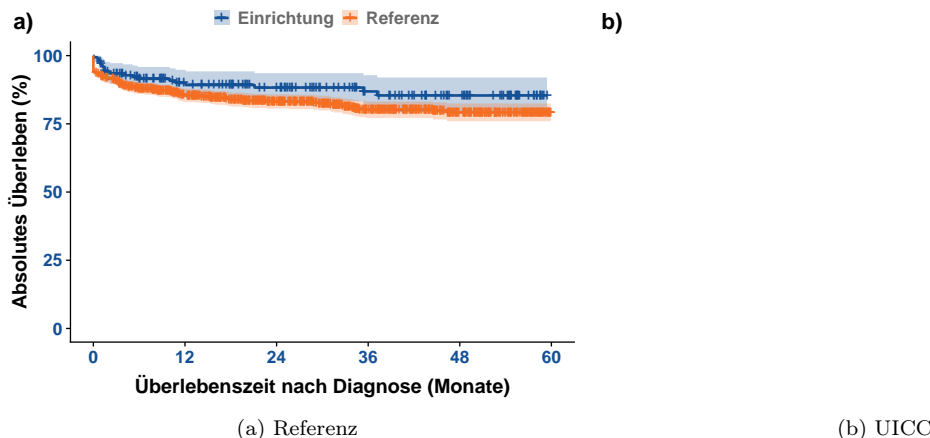


Abbildung 13.14: Darstellung des absoluten Überlebens (Kaplan-Meier-Schätzer) für C81 - Hodgkin-Lymphom
- a) im Vergleich zur Referenz, b) nach UICC-Klassifikation

In den **Tabellen 13.28** und ?? werden die Kaplan-Meier-Schätzer (mit Konfidenzintervallen) stratifiziert für das 1-Jahres bis 5-Jahres Überleben sowie für den entsprechenden Median aufgelistet.

Tabelle 13.28: Tabellarische Darstellung der Kaplan-Meier-Schätzwerte mit Konfidenzintervallen (KI) für das Gesamtüberleben für C81 - Hodgkin-Lymphom der Einrichtung und Referenz

Zeit (Monate)	Einrichtung		Referenz	
	Überlebensrate (%)	95%-KI (%)	Überlebensrate (%)	95%-KI (%)
0	100.0	100 - 100	94.4	92.8 - 95.9
12	90.0	85.4 - 94.8	85.5	83.1 - 87.9
24	88.3	83.3 - 93.6	83.2	80.6 - 85.8
36	86.9	81.3 - 92.8	80.1	77.2 - 83.2
48	85.4	79.3 - 92	79.2	76 - 82.5
Median (Monate)	NA	NA - NA	NA	NA - NA

Die folgenden Abbildungen 13.15 stellen das Gesamtüberleben für Patienten Ihrer Einrichtung nach Geschlecht und Alter bei Diagnose dar. In den **Tabellen 13.29** und **13.30** werden die Kaplan-Meier-Schätzer (mit Konfidenzintervallen) stratifiziert nach Geschlecht und Alter bei Diagnose für das 1-Jahres bis 5-Jahres Überleben sowie für den entsprechenden Median aufgelistet.

Tabelle 13.29: Tabellarische Darstellung der Kaplan-Meier-Schätzwerte mit Konfidenzintervallen (KI) für das Gesamtüberleben für C81 - Hodgkin-Lymphom stratifiziert nach Geschlecht

Zeit (Monate)	männlich		weiblich	
	Überlebensrate (%)	95%-KI (%)	Überlebensrate (%)	95%-KI (%)
0	99.9	99.6 - 100	99.5	99.1 - 99.9
12	75.1	72.7 - 77.5	75.8	73.2 - 78.4
24	66.5	63.8 - 69.3	68.2	65.3 - 71.3
36	61.3	58.4 - 64.4	63.4	60.1 - 66.7
48	58.2	54.9 - 61.6	60.9	57.4 - 64.5
Median (Monate)	NA	NA - NA	NA	NA - NA

Anmerkung: aktueller Datenstand: 31.10.2025; aktueller Stichtag: 31.12.2024

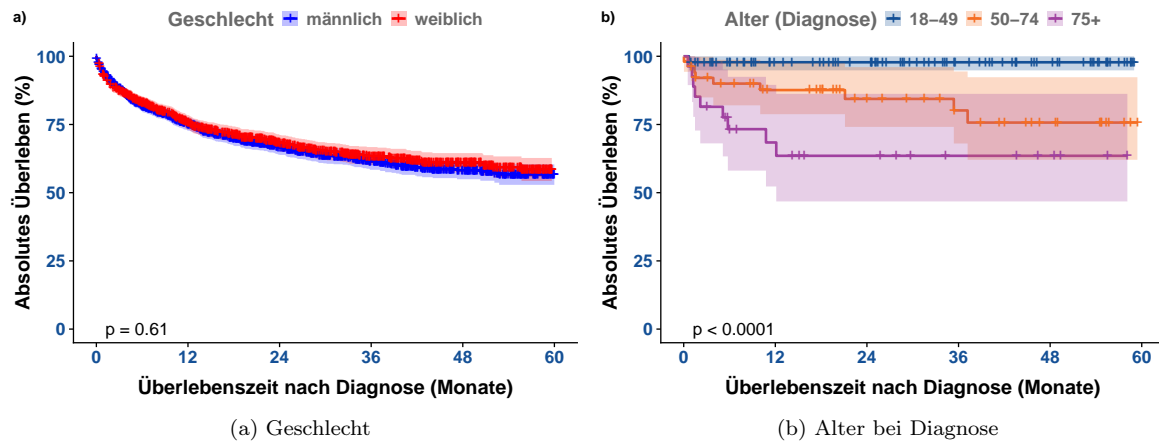


Abbildung 13.15: Darstellung des absoluten Überlebens (Kaplan-Meier-Schätzer) für C81 - Hodgkin-Lymphom
- a) nach Geschlecht, b) nach Alter bei Diagnose in Gruppen

Tabelle 13.30: Tabellarische Darstellung der Kaplan-Meier-Schätzwerte mit Konfidenzintervallen (KI) für das Gesamtüberleben für C81 - Hodgkin-Lymphom stratifiziert nach Alter bei Diagnose

Zeit (Monate)	Alter = 18-49		Alter = 50-74		Alter = 75+	
	Überlebensrate (%)	95%-KI (%)	Überlebensrate (%)	95%-KI (%)	Überlebensrate (%)	95%-KI (%)
0	100.0	100 - 100	100.0	100 - 100	100.0	100 - 100
12	97.8	94.8 - 100	87.6	78.8 - 97.4	68.4	52.3 - 89.5
24	97.8	94.8 - 100	84.4	74.1 - 96	63.5	46.8 - 86.2
36	97.8	94.8 - 100	80.2	68 - 94.4	63.5	46.8 - 86.2
48	97.8	94.8 - 100	75.7	62.1 - 92.3	63.5	46.8 - 86.2
Median (Monate)	NA	NA - NA	NA	NA - NA	NA	12.1 - NA

Anmerkung: aktueller Datenstand: 31.10.2025; aktueller Stichtag: 31.12.2024

TEIL V

QUALITÄTSINDIKATOREN DER LEITLINIEN



S3-Leitlinien enthalten in der Regel tumorspezifische Qualitätsindikatoren (siehe unter <https://www.leitlinienprogramm-onkologie.de>). Viele dieser Indikatoren können mithilfe des den Krebsregistern zur Verfügung stehenden bundeseinheitlichen onkologischen Basisdatensatzes berechnet werden. Die Berechnungen erfolgen gemäß bundeseinheitlicher Rechenregeln, die mit den Krebsregistern und der Deutschen Krebsgesellschaft (DKG) abgestimmt sind.

In unserer neuen Berichtsreihe zu den verschiedenen Tumorentitäten werden unter vielem anderen alle berechenbaren Qualitätsindikatoren pseudonymisiert auch auf Leistungserbringerebene dargestellt. Die Berichte finden Sie auf unserer Website unter <https://kkrrbb.de/berichte-und-auswertungen/#Tumorentitaeten>. Das Pseudonym kann vom jeweiligen Leistungserbringer für seine Einrichtung unter Datenauswertung@kkrrbb.de angefragt werden.

Zudem werden für die Qualitätskonferenzen des Klinisch-epidemiologischen Krebsregisters Brandenburg-Berlin die leitlinienbasierten Qualitätsindikatoren inklusive anonymisierter Auswertungen auf Leistungserbringerebene regelmäßig ausgewertet und präsentiert. Die Präsentationen finden Sie auf unserer Website unter <https://kkrrbb.de/qualitaetskonferenzen-vortraege>.

Auswertungen zu leitlinienbasierten Qualitätsindikatoren können bei Bedarf direkt beim *KKRBB* unter Datenauswertung@kkrrbb.de angefragt werden; wir stellen Ihnen diese zeitnah zur Verfügung. Bitte nennen Sie uns hierfür die gewünschten Tumorentitäten. Beachten Sie, dass eine Berechnung erst ab einer ausreichenden Fallzahl sinnvoll ist. Zu berücksichtigen ist zudem, dass sich viele Qualitätsindikatoren auf ausgewählte Subgruppen der Tumorentitäten beziehen.

Falls Sie wünschen, dass diese Qualitätsindikatoren regelmäßig im Rückmeldebericht erscheinen, teilen Sie uns dies bitte bis zum 31.03.2026 mit, damit die Inhalte in zukünftige Berichte aufgenommen werden können.